



## ใบรับรองวิทยานิพนธ์ บัณฑิตวิทยาลัย มหาวิทยาลัยเกษตรศาสตร์

วิทยาศาสตรมหาบัณฑิต (การจัดการลุ่มน้ำและสิ่งแวดล้อม)

ปริญญา

การจัดการลุ่มน้ำและสิ่งแวดล้อม

อนุรักษ์วิทยา

สาขาวิชา

ภาควิชา

เรื่อง ผลของปรากฏการณ์เอลนีโน และล้านีนา ต่อปริญญาน้ำฝน อุณหภูมิอากาศ และปริมาณน้ำท่าในพื้นที่ลุ่มน้ำแม่แตง เชิญ และคลองยัน

Effect of El Nino and La Nina Phenomena on Rainfall Amount, Air Temperature and Stream Flow at Mae Taeng, Choen and Khlong Yan Watersheds

นามผู้วิจัย นางสาวจตุพร ผลุงกาญจน์

ได้พิจารณาให้ชอบโดย

อาจารย์ที่ปรึกษาวิทยานิพนธ์หลัก

( อาจารย์ปิยะพงษ์ ทองศินอก, ปร.ด. )

อาจารย์ที่ปรึกษาวิทยานิพนธ์ร่วม

( รองศาสตราจารย์วิชา นิยม, Ph.D. )

หัวหน้าภาควิชา

( ผู้ช่วยศาสตราจารย์ดร.ชนี เอมพันธ์, Ph.D. )

บัณฑิตวิทยาลัย มหาวิทยาลัยเกษตรศาสตร์รับรองแล้ว

( รองศาสตราจารย์กัญญา ธีระกุล, D.Agr. )

คณบดีบัณฑิตวิทยาลัย

วันที่ \_\_\_\_\_ เดือน \_\_\_\_\_ พ.ศ. \_\_\_\_\_

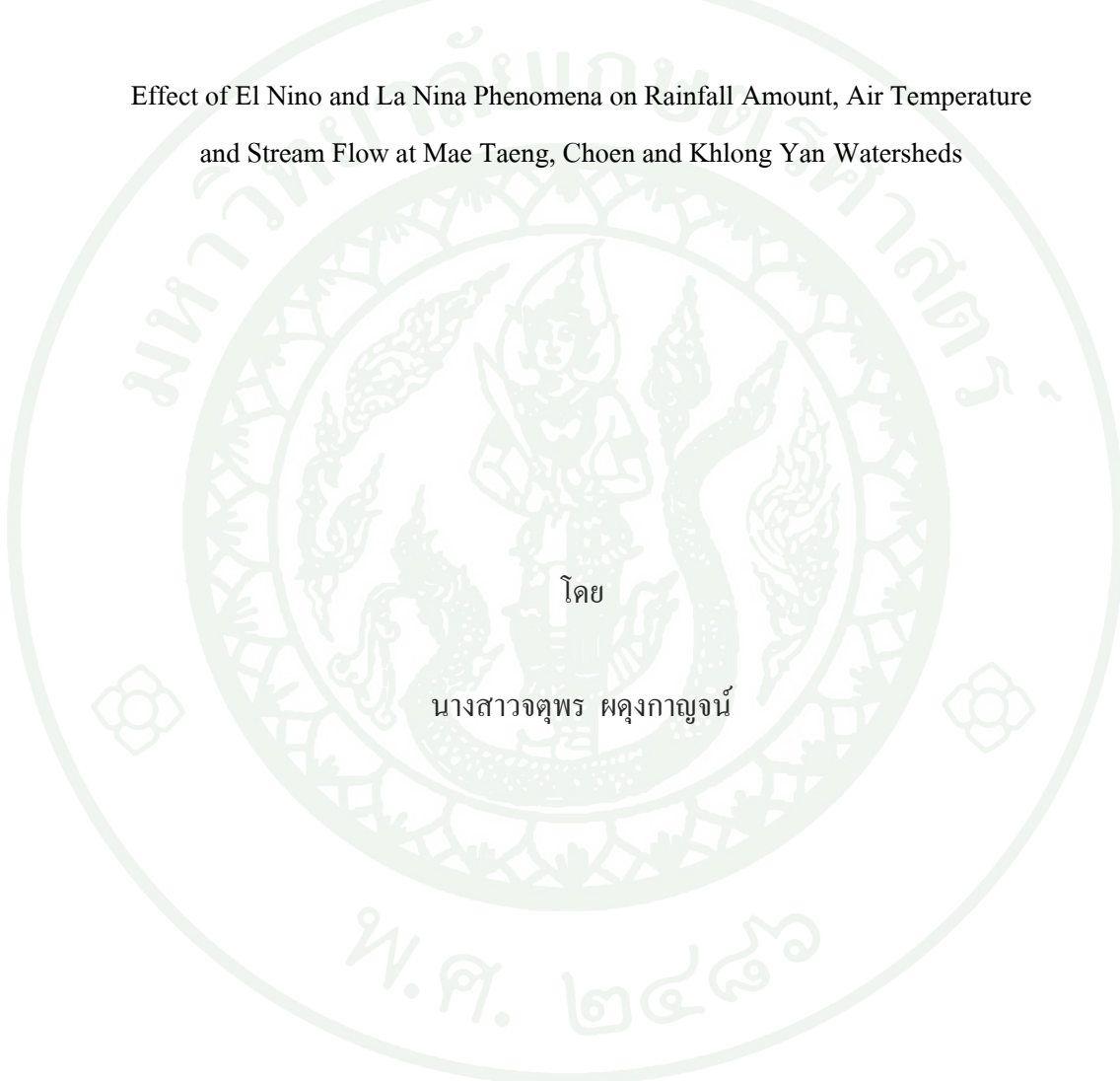
สิงห์ มนต์วิทยาลัยเกษตรศาสตร์

วิทยานิพนธ์

เรื่อง

ผลของปรากฏการณ์เอล Niño และลานีนา ต่อปริมาณน้ำฝน อุณหภูมิอากาศ  
และปริมาณน้ำท่าในพื้นที่คุ่นน้ำแม่แตง เชิง และคลองยัน

Effect of El Nino and La Nina Phenomena on Rainfall Amount, Air Temperature  
and Stream Flow at Mae Taeng, Choen and Khlong Yan Watersheds



เสนอ

บัณฑิตวิทยาลัย มหาวิทยาลัยเกษตรศาสตร์  
เพื่อความสมบูรณ์แห่งปริญญาวิทยาศาสตร์มหาบัณฑิต (การจัดการคุ่นน้ำและสิ่งแวดล้อม)

พ.ศ. 2555

สิงหนาท มหาวิทยาลัยเกษตรศาสตร์

จดหมาย ผดุงกาญจน์ 2555: ผลของปรากฏการณ์อ่อนนิ่ง และลานีญา ต่อปริมาณน้ำฝน อุณหภูมิอากาศ และปริมาณน้ำท่าในพื้นที่ลุ่มน้ำแม่แตง เชิญ และคลองขัน ปริญญาวิทยาศาสตรมหาบัณฑิต (การจัดการลุ่มน้ำและสิ่งแวดล้อม) สาขาวิชาการจัดการลุ่มน้ำ และสิ่งแวดล้อม ภาควิชาอนุรักษ์วิทยา อาจารย์ที่ปรึกษาวิทยานิพนธ์หลัก: อาจารย์ปิยพงษ์ ทองดีนook, ปร.ศ. 159 หน้า

การศึกษาในครั้งนี้มีวัตถุประสงค์เพื่อศึกษาความผันแปร วิเคราะห์ความสัมพันธ์ และทดสอบความแตกต่างของปริมาณน้ำฝน อุณหภูมิอากาศ และปริมาณน้ำท่า ในปีปกติ ปีอ่อนนิ่ง และปีลานีญา ของพื้นที่ลุ่มน้ำแม่แตง เชิญ และคลองขัน โดยใช้ข้อมูลปริมาณน้ำฝน อุณหภูมิอากาศ จากกรมอุตุนิยมวิทยา และปริมาณน้ำท่าเฉลี่ยรายเดือนจากการชุดประทานและกรมทรัพยากรน้ำ ระหว่างปี พ.ศ. 2494 – 2552 ทดสอบความแตกต่างของกลุ่มข้อมูลแบบสองทาง (two tailed test) โดยใช้สถิติทดสอบที (t-test) ที่ระดับความเชื่อมั่นร้อยละ 95 โดยแบ่งเป็น 3 ช่วงเวลา ได้แก่ ช่วงรายปี ช่วงน้ำหลาก และช่วงน้ำแล้ง

ผลการศึกษา พบว่าปริมาณน้ำฝนเฉลี่ยของลุ่มน้ำแม่แตง เชิญ และคลองขัน มีค่าเท่ากับ 1,199.6 1,328.53 และ 2,116.48 มิลลิเมตร ตามลำดับ โดยปรากฏการณ์อ่อนนิ่งไม่มีผลกระทบต่อปริมาณน้ำฝนในทุกๆ ลุ่มน้ำ ขณะที่ปรากฏการณ์ลานีญามีผลกระทบต่อปริมาณน้ำฝนช่วงน้ำหลากในพื้นที่ลุ่มน้ำคลองขันอย่างมีนัยสำคัญทางสถิติ ส่วนพื้นที่อื่นปริมาณน้ำฝนไม่มีความแตกต่างจากปีปกติ สำหรับอุณหภูมิอากาศ พบว่า ค่าเฉลี่ยของลุ่มน้ำแม่แตง เชิญ และคลองขัน มีค่าเท่ากับ 25.86 27.06 และ 27.35 องศาเซลเซียส ตามลำดับ โดยปรากฏการณ์อ่อนนิ่งและลานีญาไม่มีผลกระทบต่ออุณหภูมิอากาศในทุกๆ ลุ่มน้ำ และผลการศึกษาปริมาณน้ำท่า พบว่า ลุ่มน้ำแม่แตง เชิญ และคลองขัน มีปริมาณน้ำท่าเฉลี่ย เท่ากับ 477.8 437.22 และ 959.6 ล้านลูกบาศก์เมตร ตามลำดับ การเปรียบเทียบอิทธิพลของปรากฏการณ์อ่อนนิ่งและลานีญาต่อค่าเฉลี่ยปริมาณน้ำท่า พบว่า ปรากฏการณ์อ่อนนิ่งและลานีญาไม่มีความแตกต่างอย่างมีนัยสำคัญทางสถิติทุกๆ ลุ่มน้ำ

/ /

ลายมือชื่อนิสิต

ลายมือชื่ออาจารย์ที่ปรึกษาวิทยานิพนธ์หลัก

Jatuporn Padungkarn 2012: Effect of El Nino and La Nina Phenomena on Rainfall Amount, Air Temperature and Stream Flow at Mae Taeng, Choen and Khlong Yan Watersheds. Master of Science (Watershed and Environmental Management), Major Field: Watershed and Environmental Management, Department of Conservation.

Thesis Advisor: Mr.Piyapong Tongdeenok, Ph.D. 159 pages.

The objectives of this research were to study variation analysis, relationship and testing analysis of variance among rainfall, air temperature and stream flow under El Nino and La Nina phenomena at difference typical watershed as Mae taeng, Choen and Khlong Yan. The methodologies were use difference hydro-meteorological characteristics as rainfall amount, air temperature and stream flow during 1951 to 2009. Source of rainfall amount and temperature data were belong to Thai meteorological department while stream flow measurement was belong to royal irrigation department and department of water resources. All data were analyzed by trend analysis, regression method and analysis of variance among 3 condition as annually, wet period and dry period, respectively under the significant level of 95 percent.

The results showed that annually average of rainfall amount at Mae Taeng, Choen and Khlong Yan watersheds were 1,199.60, 1,328.53 and 2,116.48 millimeters, respectively. The data were analyzed for testing the difference two mean significant that implied to effect of changing phenomena. The results indicated that El Nino phenomena was non significant among 3 watersheds while La Nina phenomena was significantly effect to wet period at Khlong Yan watershed. Air temperature, the annual average of air temperature at Mae Taeng, Choen and Khlong Yan watersheds were 25.86, 27.06 and 27.35 degree of celsius, respectively. The air temperature variation among 3 watersheds showed non significant during El Nino and La Nina phenomena. And stream flow measurement was explained as the annual average of stream flow data at Mae Taeng, Choen and Khlong Yan watersheds were 477.80, 437.22 and 959.60 million cubic meters, respectively. Differently testing stream flow data among 3 watershed showed non significant data during El Nino and La Nina phenomena.

---

Student's signature

Thesis Advisor's signature

/ /

## กิตติกรรมประกาศ

ผู้วิจัยขอกราบขอบพระคุณ อาจารย์ ดร.ปิยะพงษ์ ทองดีนอกร อาจารย์ที่ปรึกษาวิทยานิพนธ์ หลัก ก ที่กรุณาให้คำแนะนำ อบรม สั่งสอน ตรวจแก้ไขข้อบกพร่องด้วยความเอาใจใส่และเป็นแบบอย่างที่ดีแก่ผู้วิจัยมาโดยตลอด กราบขอบพระคุณรองศาสตราจารย์ ดร.วิชา นิยม กรรมการที่ปรึกษาวิทยานิพนธ์ที่กรุณาให้คำแนะนำต่อผลงานช่วยแก้ไขวิทยานิพนธ์ให้มีความสมบูรณ์ ทราบขอบพระคุณผู้ช่วยศาสตราจารย์ ดร.สมนิมิตร พุกงาม ประธานการสอบ และ ดร.พงษ์ศักดิ์ วิภาสชูติกุล ผู้ทรงคุณวุฒิภายนอก ที่ให้คำแนะนำในการปรับปรุง แก้ไขข้อบกพร่องจากการสอบ ทำให้วิทยานิพนธ์ฉบับนี้มีความถูกต้องและสมบูรณ์มาก

ขอกราบขอบพระคุณคณาจารย์ภาควิชาอนุรักษ์วิทยาทุกท่าน ที่ได้อบรมสั่งสอน และให้การถ่ายทอดความรู้อันเป็นประโยชน์อย่างยิ่ง และทราบขอบพระคุณกรรมชลประทาน กรมทรัพยากรน้ำ และกรมอุตุนิยมวิทยาที่อนุเคราะห์ข้อมูลเพื่อการทำวิทยานิพนธ์ในครั้งนี้

ขอบคุณพี่น้องสาขาวิชาการจัดการคุณน้ำและสิ่งแวดล้อมที่ให้กำลังใจและความช่วยเหลือ และขอบคุณเพื่อน ๆ ทุกคนที่เคยให้กำลังใจ และช่วยสนับสนุนมาโดยตลอด

สุดท้ายขอกราบขอบพระคุณครอบครัว คุณพ่อ คุณแม่ และญาติพี่น้องทุก ๆ คน ที่เคยให้ความรัก การอบรมดูแลที่ดี สนับสนุน และให้ความอบอุ่นแก่ข้าพเจ้าเสมอมา ซึ่งถือเป็นกำลังใจที่สำคัญสำหรับการทำงานวิจัยในวิทยานิพนธ์เล่มนี้จนสำเร็จสมบูรณ์

จตุพร พดุงกาญจน์  
กุมภาพันธ์ 2555

## สารบัญ

หน้า

สารบัญ	(1)
สารบัญตาราง	(2)
สารบัญภาพ	(5)
คำนำ	1
วัตถุประสงค์	3
การตรวจเอกสาร	4
อุปกรณ์และวิธีการ	47
อุปกรณ์	47
วิธีการ	48
ผลและวิจารณ์	59
สรุปและข้อเสนอแนะ	116
สรุป	116
ข้อเสนอแนะ	119
เอกสารและสิ่งอ้างอิง	120
ภาคผนวก	128
ประวัติการศึกษาและการทำงาน	159

## สารบัญตาราง

ตารางที่	หน้า
1 ปริมาณการปลดปล่อยก๊าซเรือนกระจกของประเทศไทยใน พ.ศ. 2532 - 2533 และ 2541	11
2 การใช้ประโยชน์ที่ดินบริเวณพื้นที่ลุ่มน้ำแม่แตง จังหวัดเชียงใหม่	36
3 การใช้ประโยชน์ที่ดินบริเวณพื้นที่ลุ่มน้ำเชญ จังหวัดชัยภูมิ ขอนแก่น และเพชรบูรณ์	41
4 การใช้ประโยชน์ที่ดินบริเวณพื้นที่ลุ่มน้ำคลองยัน จังหวัดสุราษฎร์ธานี และจังหวัดระนอง	45
5 รายชื่อและตำแหน่งสถานีวัดปริมาณน้ำฝนภายในลุ่มน้ำและบริเวณโดยรอบลุ่มน้ำแม่แตง	48
6 รายชื่อและตำแหน่งสถานีตรวจสอบสภาพบริเวณพื้นที่ใกล้เคียงลุ่มน้ำแม่แตง	49
7 รายชื่อและตำแหน่งสถานีวัดปริมาณน้ำฝนภายในลุ่มน้ำและบริเวณโดยรอบลุ่มน้ำเชญ	50
8 รายชื่อและตำแหน่งสถานีตรวจสอบสภาพบริเวณพื้นที่ใกล้เคียงลุ่มน้ำเชญ	51
9 รายชื่อและตำแหน่งสถานีวัดปริมาณน้ำฝนภายในลุ่มน้ำและบริเวณโดยรอบลุ่มน้ำคลองยัน	51
10 รายชื่อและตำแหน่งสถานีตรวจสอบสภาพบริเวณพื้นที่ใกล้เคียงลุ่นคลองยัน	52
11 สถิติการเกิดปรากฏการณ์โอลนีโญ (El Nino) และลานีญา (La Nina) ขนาดครุณแรง	53
12 ปริมาณน้ำฝนรายปีของลุ่มน้ำแม่แตง จังหวัดเชียงใหม่	60
13 ปริมาณน้ำฝนรายเดือนตามชนิดปีของลุ่มน้ำแม่แตง จังหวัดเชียงใหม่ ระหว่างปี พ.ศ. 2504 - 2552	65
14 เปรียบเทียบข้อมูลปริมาณน้ำฝนรายเดือนระหว่างปีปกติกับปีโอลนีโญ และปีลานีญา ของลุ่มน้ำแม่แตง จังหวัดเชียงใหม่	67
15 ปริมาณน้ำฝนรายปีของลุ่มน้ำเชญ จังหวัดชัยภูมิ ขอนแก่น และเพชรบูรณ์	69
16 ปริมาณน้ำฝนรายเดือนตามชนิดปีของลุ่มน้ำเชญ จังหวัดชัยภูมิ ขอนแก่น และเพชรบูรณ์ ระหว่างปี พ.ศ. 2518 - 2552	73

### สารบัญตาราง (ต่อ)

ตารางที่	หน้า
17 เปรียบเทียบข้อมูลปริมาณน้ำฝนรายเดือนระหว่างปีปกติกับปีเออลนีโญ และปีล้านีญา ของคุณน้ำเชิญ จังหวัดชัยภูมิ ขอนแก่น และเพชรบูรณ์	75
18 ปริมาณน้ำฝนรายเดือนตามช่วงเวลาของคุณน้ำคลองยัน จังหวัดสุราษฎร์ธานี และจังหวัดระนอง	76
19 ปริมาณน้ำฝนรายเดือนตามชนิดปีของคุณน้ำคลองยัน จังหวัดสุราษฎร์ธานี และจังหวัดระนอง ระหว่างปี พ.ศ. 2518 - 2552	80
20 เปรียบเทียบข้อมูลปริมาณน้ำฝนรายเดือนระหว่างปีปกติกับปีเออลนีโญ และปีล้านีญา ของคุณน้ำคลองยัน จังหวัดสุราษฎร์ธานี และจังหวัดระนอง	82
21 อุณหภูมิอากาศเฉลี่ยรายปีของคุณน้ำแม่แตง จังหวัดเชียงใหม่	83
22 อุณหภูมิอากาศรายเดือนตามชนิดปีของคุณน้ำแม่แตง จังหวัดเชียงใหม่ ระหว่างปี พ.ศ. 2494 - 2552	86
23 เปรียบเทียบข้อมูลอุณหภูมิอากาศรายเดือนระหว่างปีปกติกับปีเออลนีโญ และปีล้านีญา ของคุณน้ำแม่แตง จังหวัดเชียงใหม่	88
24 อุณหภูมิอากาศเฉลี่ยรายปีของคุณน้ำเชิญ จังหวัดชัยภูมิ ขอนแก่น และเพชรบูรณ์	89
25 อุณหภูมิอากาศรายเดือนตามชนิดปีของคุณน้ำเชิญ จังหวัดชัยภูมิ ขอนแก่น และจังหวัดเพชรบูรณ์ ระหว่างปี พ.ศ. 2494 - 2552	93
26 เปรียบเทียบข้อมูลอุณหภูมิอากาศรายเดือนระหว่างปีปกติกับปีเออลนีโญ และปีล้านีญา ของคุณน้ำเชิญ จังหวัดชัยภูมิ ขอนแก่น และเพชรบูรณ์	94
27 อุณหภูมิอากาศเฉลี่ยรายปีของคุณน้ำคลองยัน จังหวัดสุราษฎร์ธานี และจังหวัดระนอง	96
28 อุณหภูมิอากาศรายเดือนตามชนิดปีของคุณน้ำคลองยัน จังหวัดสุราษฎร์ธานี และจังหวัดระนอง ระหว่างปี พ.ศ. 2494 - 2552	99
29 เปรียบเทียบข้อมูลอุณหภูมิอากาศรายเดือนระหว่างปีปกติกับปีเออลนีโญ และปีล้านีญา ของคุณน้ำคลองยัน จังหวัดสุราษฎร์ธานี และจังหวัดระนอง	101
30 ปริมาณน้ำท่ารายปีบริเวณชุดวัดน้ำสถานีแม่แตง (P.4A) คุณน้ำแม่แตง จังหวัดเชียงใหม่	102

### สารบัญตาราง (ต่อ)

ตารางที่	หน้า
31 ปริมาณน้ำท่ารายเดือนตามชนิดปีบริเวณจุดวัดน้ำสถานีแม่แตง (P.4A) คุณภาพแม่แตง จังหวัดเชียงใหม่ ระหว่างปี พ.ศ. 2498 - 2552	104
32 เปรียบเทียบข้อมูลปริมาณน้ำท่ารายเดือนระหว่างปีปกติกับปีอ่อนนิโญ และปีล้านิญา ของคุณภาพแม่แตง จังหวัดเชียงใหม่	106
33 ปริมาณน้ำท่ารายปีบริเวณจุดวัดน้ำสถานีบ้านท่าเคื่อ (041304) คุณภาพน้ำเชิงลึก จังหวัดชัยภูมิ ขอนแก่น และเพชรบูรณ์	107
34 ปริมาณน้ำท่ารายเดือนตามชนิดปีบริเวณจุดวัดน้ำสถานีบ้านท่าเคื่อ (041304) คุณภาพน้ำเชิงลึก จังหวัดชัยภูมิ ขอนแก่น และเพชรบูรณ์ระหว่างปี พ.ศ. 2521 - 2550	109
35 เปรียบเทียบข้อมูลปริมาณน้ำท่ารายเดือนระหว่างปีปกติกับปีอ่อนนิโญ และปีล้านิญา ของคุณภาพน้ำเชิงลึก จังหวัดชัยภูมิ ขอนแก่น และเพชรบูรณ์	110
36 ปริมาณน้ำท่ารายปีบริเวณจุดตรวจสอบสถานีคลองยันที่บ้านยาง (220903) คุณภาพคลองยัน จังหวัดสุราษฎร์ธานี และจังหวัดระนอง	111
37 ปริมาณน้ำท่ารายเดือนตามชนิดปีบริเวณจุดวัดน้ำสถานีคลองยันที่บ้านยาง (220903) คุณภาพคลองยัน จังหวัดสุราษฎร์ธานี และจังหวัดระนอง ระหว่างปี พ.ศ. 2527 - 2550	113
38 เปรียบเทียบข้อมูลปริมาณน้ำท่ารายเดือนระหว่างปีปกติกับปีอ่อนนิโญ และปีล้านิญา ของคุณภาพคลองยัน จังหวัดสุราษฎร์ธานี และจังหวัดระนอง	115

## สารบัญภาพ

ภาคที่	หน้า
1 ความสัมพันธ์ระหว่างปริมาณกําชาร์บอน dioxide กับอุณหภูมิข้อนหลัง ประมาณ 420,000 ปี ถึงปัจจุบัน	7
2 สภาพการเกิดปรากฏการณ์อลนีโญ	13
3 สภาพการเกิดปรากฏการณ์ลานีโซญา	14
4 ตำแหน่งร่องความกดอากาศต่ำ ทิศทางลมมรสุมและทางเดินพาหุமุนเขตต์ตอน ที่ตั้งและลักษณะภูมิประเทศของลุ่มน้ำแม่แตง จังหวัดเชียงใหม่	17
5 การใช้ประโยชน์ที่ดินในพื้นที่ลุ่มน้ำแม่แตง จังหวัดเชียงใหม่	34
6 การใช้ประโยชน์ที่ดินในพื้นที่ลุ่มน้ำแม่แตง ปี พ.ศ. 2552	37
7 ที่ตั้งและลักษณะภูมิประเทศของลุ่มน้ำเชียง จังหวัดชัยภูมิ ขอนแก่น และเพชรบูรณ์	39
8 การใช้ประโยชน์ที่ดินในพื้นที่ลุ่มน้ำเชียง ปี พ.ศ. 2552	41
9 ที่ตั้งและลักษณะภูมิประเทศของลุ่มน้ำคลองยัน จังหวัดสุราษฎร์ธานี และจังหวัดระนอง	43
10 การใช้ประโยชน์ที่ดินในพื้นที่ลุ่มน้ำคลองยัน ปี พ.ศ. 2552	46
11 รูปหลายเหลี่ยมไทรีเซน (Thiessen method) สำหรับคำนวณค่าปริมาณน้ำฝนเฉลี่ย บริเวณลุ่มน้ำแม่แตง จังหวัดเชียงใหม่	59
12 ความผันแปรของปริมาณน้ำฝนบริเวณลุ่มน้ำแม่แตง จังหวัดเชียงใหม่	62
13 การกระจายของปริมาณน้ำฝนของปีปกติ เอลนีโญ และปีล้านีโซญา บริเวณลุ่มน้ำแม่แตง จังหวัดเชียงใหม่	63
14 ความสัมพันธ์ระหว่างปริมาณน้ำฝนปีปกติกับปริมาณน้ำฝนในปีที่เกิด <sup>†</sup> ปรากฏการณ์อลนีโญและลานีโซญาในพื้นที่ลุ่มน้ำแม่แตง จังหวัดเชียงใหม่	66
15 รูปหลายเหลี่ยมไทรีเซน (Thiessen method) สำหรับคำนวณค่าปริมาณน้ำฝนเฉลี่ย บริเวณลุ่มน้ำเชียง จังหวัดชัยภูมิ ขอนแก่น และเพชรบูรณ์	68
16 ความผันแปรของปริมาณน้ำฝนบริเวณลุ่มน้ำเชียง จังหวัดชัยภูมิ ขอนแก่น และเพชรบูรณ์	69
17 การกระจายของปริมาณน้ำฝนของปีปกติ เอลนีโญ และปีล้านีโซญา บริเวณลุ่มน้ำเชียง จังหวัดชัยภูมิ ขอนแก่น และเพชรบูรณ์	71

## สารบัญภาพ (ต่อ)

ภาคที่	หน้า
18 ความสัมพันธ์ระหว่างปริมาณน้ำฝนปีปกติกับปริมาณน้ำฝนในปีที่เกิด <sup>ปรากฏการณ์อ่อนนีโญและลานีญ่าในพื้นที่ลุ่มน้ำเชิง จังหวัดชัยภูมิ ขอนแก่น และเพชรบูรณ์</sup>	74
19 รูปหลายเหลี่ยม ไธessen (Thiessen method) สำหรับคำนวณค่าปริมาณน้ำฝนเฉลี่ยบริเวณลุ่มน้ำคลองขัน จังหวัดสุราษฎร์ธานี และจังหวัดระนอง	76
20 ความผันแปรของปริมาณน้ำฝนบริเวณลุ่มน้ำคลองขัน จังหวัดสุราษฎร์ธานี และจังหวัดระนอง	77
21 การกระจายของปริมาณน้ำฝนของปีปกติ อ่อนนีโญ และปีลานีญ่า บริเวณลุ่มน้ำคลองขัน จังหวัดสุราษฎร์ธานี และจังหวัดระนอง	78
22 ความสัมพันธ์ระหว่างปริมาณน้ำฝนปีปกติกับปริมาณน้ำฝนในปีที่เกิด <sup>ปรากฏการณ์อ่อนนีโญและลานีญ่าในพื้นที่ลุ่มน้ำคลองขัน จังหวัดสุราษฎร์ธานี และจังหวัดระนอง</sup>	81
23 ความผันแปรของอุณหภูมิอากาศบริเวณลุ่มน้ำแม่แตง จังหวัดเชียงใหม่	84
24 ค่าเฉลี่ยเคลื่อนที่ (moving average) อุณหภูมิอากาศรายเดือน ในปีอ่อนนีโญ ลานีญ่า และปีปกติ บริเวณลุ่มน้ำแม่แตง จังหวัดเชียงใหม่	85
25 ความสัมพันธ์ระหว่างอุณหภูมิอากาศปีปกติกับอุณหภูมิอากาศในปีที่เกิด <sup>ปรากฏการณ์อ่อนนีโญและลานีญ่าในพื้นที่ลุ่มน้ำแม่แตง จังหวัดเชียงใหม่</sup>	87
26 ความผันแปรของอุณหภูมิอากาศบริเวณลุ่มน้ำเชิง จังหวัดชัยภูมิ ขอนแก่น และเพชรบูรณ์	90
27 ค่าเฉลี่ยเคลื่อนที่ (moving average) อุณหภูมิอากาศรายเดือนปีอ่อนนีโญ ลานีญ่า และปีปกติ บริเวณลุ่มน้ำเชิง จังหวัดชัยภูมิ ขอนแก่นและเพชรบูรณ์	91
28 ความสัมพันธ์ระหว่างอุณหภูมิอากาศปีปกติกับอุณหภูมิอากาศในปีที่เกิด <sup>ปรากฏการณ์อ่อนนีโญและลานีญ่าในพื้นที่ลุ่มน้ำเชิง จังหวัดชัยภูมิ ขอนแก่น และเพชรบูรณ์</sup>	94
29 ความผันแปรของอุณหภูมิอากาศบริเวณลุ่มน้ำคลองขัน จังหวัดสุราษฎร์ธานี และจังหวัดระนอง	97

## สารบัญภาพ (ต่อ)

ภาคที่	หน้า
30 ค่าเฉลี่ยเคลื่อนที่ (moving average) อุณหภูมิอากาศรายเดือนปีก่อนนี้โดย ล้านิษฐา และปีปกติ บริเวณลุ่มน้ำคลองขัน จังหวัดสุราษฎร์ธานี และจังหวัดระนอง	98
31 ความสัมพันธ์ระหว่างอุณหภูมิอากาศปีปกติกับอุณหภูมิอากาศในปีที่เกิด ปรากฏการณ์อ่อนนิโญและล้านิษฐาในพื้นที่ลุ่มน้ำคลองขัน จังหวัดสุราษฎร์ธานี และจังหวัดระนอง	100
32 ความผันแปรของปริมาณน้ำท่าบริเวณจุดวัดน้ำสถานีแม่แดง (P.4A) ลุ่มน้ำแม่แดง จังหวัดเชียงใหม่	103
33 ความสัมพันธ์ระหว่างปริมาณน้ำท่าปีปกติกับปริมาณน้ำท่าในปีที่เกิด ปรากฏการณ์อ่อนนิโญและล้านิษฐาในพื้นที่ลุ่มน้ำแม่แดง จังหวัดเชียงใหม่	105
34 ความผันแปรของปริมาณน้ำท่าบริเวณจุดวัดน้ำสถานีบ้านท่าเคื่อ (041304) ลุ่มน้ำเชิงลุงหัวดซัยภูมิ ขอนแก่น และเพชรบูรณ์	107
35 ความสัมพันธ์ระหว่างปริมาณน้ำท่าปีปกติกับปริมาณน้ำท่าในปีที่เกิด ปรากฏการณ์อ่อนนิโญและล้านิษฐาในพื้นที่ลุ่มน้ำเชิงลุงหัวดซัยภูมิ ขอนแก่น และเพชรบูรณ์	110
36 ความผันแปรของปริมาณน้ำท่าบริเวณจุดวัดน้ำสถานีคลองขันที่บ้านยาง (220903) ลุ่มน้ำคลองขัน จังหวัดสุราษฎร์ธานี และจังหวัดระนอง	112
37 ความสัมพันธ์ระหว่างปริมาณน้ำท่าปีปกติกับปริมาณน้ำท่าในปีที่เกิด ปรากฏการณ์อ่อนนิโญและล้านิษฐาในพื้นที่ลุ่มน้ำคลองขัน จังหวัดสุราษฎร์ธานี และจังหวัดระนอง	114

# ผลของปรากฏการณ์เอลนีโญ และลานีนา ต่อปริมาณน้ำฝน อุณหภูมิอากาศ และปริมาณ น้ำท่าในพื้นที่ลุ่มน้ำแม่แตง เชียง แคลล่อนยัน

## Effect of El Nino and La Nina Phenomena on Rainfall Amount, Air Temperature and Stream Flow at Mae Taeng, Choen and Khlong Yan Watersheds

### คำนำ

ปัจจุบันโลกมนุษย์ได้ประสบกับวิกฤตการณ์ความรุนแรงและการเปลี่ยนแปลงอย่างมากอย่างอันเนื่องมาจากภัยทางธรรมชาติ ซึ่งเป็นกระบวนการทางธรรมชาติที่เกิดขึ้นทั้งในบรรยายกาศ ภาคพื้นสมุทรและภาคพื้นดินเป็นภัยอันตรายต่าง ๆ ที่เกิดตามธรรมชาติมีผลกระทบต่อชีวิตและความเป็นอยู่ของมนุษย์ สร้างความเสียหายอย่างมหาศาล นับตั้งแต่อดีตจนถึงปัจจุบัน สำหรับประเทศไทยมีภัยธรรมชาติเกิดขึ้นหลายรูปแบบ ที่สำคัญและประสบปัญหาสร้างความเสียหายอยู่ในปัจจุบัน เช่น อุทกภัย วาตภัย กัยแล้ง เป็นต้น ซึ่งได้ส่งผลกระทบรุนแรงและมีความถี่เพิ่มมากขึ้นทุกปี รัฐบาลและประชาชนต้องใช้ทรัพยากรจำนวนมากเพื่อช่วยเหลือและบูรณะพื้นที่พื้นที่ที่ได้รับความเสียหายจากภัยธรรมชาติเหล่านั้น

ปรากฏการณ์เอลนีโญและลานีนาเป็นภัยธรรมชาติหนึ่งที่เกิดขึ้นในภาคพื้นสมุทรเนื่องมาจากการอุ่นขึ้นและเย็นลงของอุณหภูมิผิวน้ำทะเลตอนกลางและด้านตะวันออกของมหาสมุทรแปซิฟิกบริเวณ ที่ส่งผลกระทบต่อการเกิดฝนและอุณหภูมิของอากาศทั่วโลก สำหรับประเทศไทยซึ่งตั้งอยู่ทางตะวันตกของมหาสมุทรแปซิฟิกหากได้รับผลกระทบจากปรากฏการณ์เอลนีโญและลานีนาทำให้เกิดการเปลี่ยนแปลงของอุณหภูมิอากาศที่เพิ่มสูงขึ้น การตกของฝนที่ไม่ถูกต้องตามฤดูกาลส่งผลให้ปริมาณน้ำฝนมีมากหรือน้อยเกินไปซึ่งกระทบโดยตรงต่อปริมาณน้ำท่า เพราะหากอุณหภูมิเพิ่มสูงขึ้นทำให้การระเหยของน้ำเพิ่มตามไปด้วยเป็นการสูญเสียน้ำโดยเปล่าประโยชน์ ส่วนปริมาณน้ำฝนที่ตกก็เช่นเดียวกันความผันแปรที่เกิดขึ้นย่อมส่งผลต่อปริมาณน้ำท่าในพื้นที่ลุ่มน้ำตามไปด้วย ซึ่งปริมาณน้ำท่าเป็นปัจจัยสำคัญยิ่งต่อการอุปโภค บริโภค และการประกอบอาชีพการเกษตรของประชาชน การเปลี่ยนแปลงสภาพทางอุตุนิยมวิทยาดังกล่าว ส่งผลกระทบต่อกระบวนการทางอุทกิจทางอย่างชัดเจนในพื้นที่ลุ่มน้ำในแต่ละภูมิภาคของประเทศไทย คือ ความผันแปรของปริมาณน้ำท่าที่เปลี่ยนไปในแต่ละภูมิภาค ซึ่งสามารถศึกษาผลกระทบดังกล่าวโดยการเลือกพื้นที่ลุ่มน้ำตัวอย่างของลุ่มน้ำแต่ละภาคในประเทศไทย คือ ลุ่มน้ำแม่แตงเป็น

ตัวแทนภาคเหนือ ลุ่มน้ำเชียงเป็นตัวแทนภาคตะวันออกเฉียงเหนือ และลุ่มน้ำคลองยัณเป็นตัวแทนภาคใต้ (สำนักงานนโยบายและแผนทรัพยากรธรรมชาติและสิ่งแวดล้อม, 2537) โดยทั้ง 3 ลุ่มน้ำนี้ เป็นตัวแทนของพื้นที่ลุ่มน้ำอื่นในประเทศไทยซึ่งได้รับผลกระทบจากการเปลี่ยนแปลงกระบวนการทาง อุตสาหกรรม และการเกิดภัยพิบัติรุนแรงจากการเปลี่ยนแปลงดังกล่าว

ดังนั้น การศึกษาและทำความเข้าใจถึงผลของปรากฏการณ์โอลนีโญ และลานีโญ ต่อ ปริมาณน้ำฝน อุณหภูมิอากาศ และปริมาณน้ำท่าในพื้นที่ลุ่มน้ำแม่แตง เชิญ และคลองยัณซึ่งเป็น ตัวแทนลุ่มน้ำในการศึกษา เพื่อเตรียมความพร้อมหากแนวทางหรือมาตรการให้มีความเหมาะสม ต่อการเปลี่ยนแปลงที่เกิดขึ้นและสามารถลดความสูญเสียพร้อมทั้งเป็นข้อมูลพื้นฐานในการกำหนด แนวทางแก้ไขรวมถึงการสร้างแผนการจัดการลุ่มน้ำในพื้นที่ลุ่มน้ำอื่น ๆ ต่อไป



## วัตถุประสงค์

1. เพื่อศึกษาปริมาณน้ำฝน อุณหภูมิอากาศ และปริมาณน้ำท่าในปีเอล Niño ล้านีน่า (La Nina) และปีปกติ (Normal) ในพื้นที่ลุ่มน้ำแม่แตง ลุ่มน้ำเชียง และลุ่มน้ำคลองยัน
2. เพื่อเปรียบเทียบปริมาณน้ำฝน อุณหภูมิอากาศ และปริมาณน้ำท่าในปีเอล Niño ล้านีน่า (La Nina) และปีปกติ (Normal) ในพื้นที่ลุ่มน้ำแม่แตง ลุ่มน้ำเชียง และลุ่มน้ำคลองยัน
3. เพื่อศึกษาความสัมพันธ์ระหว่างปริมาณน้ำฝน อุณหภูมิอากาศ และปริมาณน้ำท่าในปีปกติกับปีเอล Niño และปีล้านีน่า (La Nina) ในพื้นที่ลุ่มน้ำแม่แตง ลุ่มน้ำเชียง และลุ่มน้ำคลองยัน

## การตรวจเอกสาร

### 1. การเปลี่ยนแปลงสภาพภูมิอากาศ

กรมอุตุนิยมวิทยา (2522) ได้ให้ความหมายของคำว่า ลมฟ้าอากาศ และภูมิอากาศไว้ดังนี้

ลมฟ้าอากาศ (weather) หมายถึง สภาพของบรรยากาศที่เป็นอยู่และเปลี่ยนแปลงในระยะเวลาระยะเวลาสั้น ๆ สภาพของบรรยากาศนี้ทั่วไปหมายรวมถึงอุณหภูมิ ความชื้น ฝน เมฆ หมอก และทัศนวิสัยเข้าด้วยกัน

ภูมิอากาศ (climate) หมายถึง สภาพของบรรยากาศโดยทั่วไปของท้องถิ่นต่าง ๆ ซึ่งเป็นผลเนื่องจากการเปลี่ยนแปลงของลมฟ้าอากาศ ภูมิอากาศจึงเป็นค่าปานกลางของลมฟ้าอากาศในระยะเวลานาน โดยการเฉลี่ยขององค์ประกอบต่าง ๆ เช่น อุณหภูมิ ความชื้น ฝน เป็นต้น

คำจำกัดความของการเปลี่ยนแปลงสภาพภูมิอากาศที่ใช้กันมี 2 แบบ คือ ของ อนุสัญญาสหประชาติว่าด้วยการเปลี่ยนแปลงสภาพภูมิอากาศ (United Nations Framework Convention on Climate Change หรือ UNFCCC และ Intergovernmental Panel on Climate Change หรือ IPCC) ตามที่ กันทรี (2548ก) กล่าวไว้ดังนี้

UNFCCC: “A Change of climate which is attributed directly, or indirectly to human activity that alters the composition of global atmosphere observed over comparable time periods.”

“การเปลี่ยนแปลงใด ๆ ของอากาศ ซึ่งเกิดขึ้นจากกิจกรรมของมนุษย์ ทั้งทางตรงและทางอ้อม อันทำให้ส่วนประกอบของบรรยากาศโลกเปลี่ยนแปลงไป นอกเหนือจากการเปลี่ยนแปลงโดยธรรมชาติในช่วงเวลาเดียวกัน”

IPCC: “Statistical significant variation in either the mean state of climate or in its variability persisting for an extended period (typically decades or longer). Climate change may be due to natural internal processes or external forcing, or to persistent anthropogenic changes in the composition of the atmosphere or in land use”

“ความแปรปรวนอย่างมีนัยสำคัญทางสถิติของสภาพภูมิอากาศ หรือความแปรปรวนที่เกิดขึ้นอย่างถาวรเป็นเวลานาน (ทศวรรษหรือนานกว่านั้น) การเปลี่ยนแปลงภูมิอากาศเกิดขึ้น

เนื่องจากกระบวนการภายในหรือแรงกดดันภายนอก หรือเกิดจากการเปลี่ยนแปลงของบรรยากาศ หรือพื้นดิน ที่เกิดจากกิจกรรมต่อเนื่องของมนุษย์”

ดังนั้น “การเปลี่ยนแปลงสภาพภูมิอากาศ” หมายถึง การมองการเปลี่ยนแปลงในช่วงระยะเวลาที่ยาวนานขึ้น ซึ่งโดยปกติแล้วการสังเกตการเปลี่ยนแปลงที่เกิดขึ้นในช่วงเวลาหลาย ๆ ลิบปี หรือยาวนานกว่าหนึ่น เช่น ช่วงเวลาหนึ่งศตวรรษหรือแม้กระทั่งหลาย ๆ ศตวรรษ เพราการเปลี่ยนแปลงสภาพภูมิอากาศเป็นกระบวนการที่เกิดขึ้นช้า ๆ และแม้ว่าการเปลี่ยนแปลงที่เกิดขึ้นในปัจจุบันจะเกิดขึ้นเร็วกว่าเมื่อก่อน เนื่องจากผลของภาวะโลกร้อนที่เพิ่มรุนแรงขึ้นก็ตาม ขณะนี้การวิเคราะห์ถึงการเปลี่ยนแปลงสภาพภูมิอากาศต้องวิเคราะห์ถึงความแปรปรวนที่เกิดขึ้นในช่วงเวลาหนึ่ง ๆ ว่ามีลักษณะหรือรูปแบบที่เปลี่ยนแปลงไปจากเดิมหรือไม่

### 1.1 สาเหตุและปัจจัยที่มีผลต่อการเกิดการเปลี่ยนแปลงสภาพภูมิอากาศ

การเปลี่ยนแปลงของสภาพภูมิอากาศมาจาก 2 ปัจจัยสำคัญ ได้แก่ ปัจจัยทางธรรมชาติ และปัจจัยจากการเปลี่ยนแปลงปริมาณและความเข้มข้นของก๊าซเรือนกระจกในบรรยากาศ ดังนี้ (สถาบันสิ่งแวดล้อมไทย, 2550)

#### 1.1.1 ปัจจัยทางธรรมชาติ

ปัจจัยทางธรรมชาติที่มีผลทำให้อุณหภูมิของโลกสูงขึ้น ได้แก่ ปัจจัยทางคاراتาสตร์ (astronomical effects) และปัจจัยทางธรณีวิทยา (geological effects) โดยปัจจัยทางคاراتาสตร์ที่มีผลต่อการผันแปรและเปลี่ยนแปลงของสภาพภูมิอากาศบนโลก สถาบันสิ่งแวดล้อมไทย (2550) แบ่งไว้ดังนี้

1) จุดดับบนดวงอาทิตย์ จุดดับบนดวงอาทิตย์จะมีจำนวนมากที่สุดทุก ๆ 11 ปี โดยประมาณ ถึงแม้ว่าจุดดับบนดวงอาทิตย์จะเป็นบริเวณที่มีการแผ่รังสีน้อยกว่าปกติ แต่เมื่อมีจุดดับเกิดขึ้น จะมีบริเวณอื่นในดวงอาทิตย์ที่แผ่รังสีเพิ่มขึ้นมากกว่ารังสีที่ลดลงในบริเวณจุดดับ ดังนั้น ผลโดยรวมเมื่อมีจุดดับ ก็อ ดวงอาทิตย์แผ่รังสีเพิ่มขึ้น ส่งผลให้อุณหภูมิพื้นโลกโดยเฉลี่ยสูงขึ้น เล็กน้อย

2) การโคลจรของโลกรอบดวงอาทิตย์ การโคลจรของโลกรอบดวงอาทิตย์มีลักษณะการโคลจรเป็นวงรี และแกนของโลกเอียงทำมุกกับระนาบการโคลจร ทำให้โลกอยู่ในลักษณะ

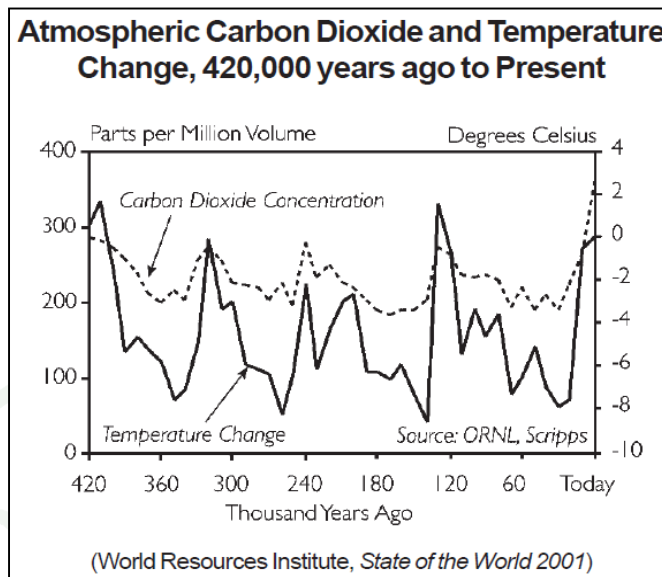
อาทิตย์มากที่สุดเมื่อข้าวโลกเหนือหันออกจากดวงอาทิตย์ (ถดถอยของซีกโลกเหนือ) และโลกจะอยู่ห่างจากดวงอาทิตย์มากที่สุดเมื่อข้าวโลกเหนือหันเข้าหาดวงอาทิตย์ (ถดถอยของซีกโลกเหนือ) แต่ในอีกประมาณ 11,000 ปีข้างหน้า ดวงอาทิตย์จะอยู่ใกล้โลกที่สุดเมื่อซีกโลกเหนือเป็นถดถอย และใกล้ที่สุดเมื่อซีกโลกเหนือเป็นถดถอย ซึ่งทำให้ถดถอยร้อนขึ้น และถดถอยหนาวเย็นลงกว่าปัจจุบัน โดยวงโคจรของโลกรอบดวงอาทิตย์จะเกิดการเปลี่ยนแปลง 3 อย่าง ที่ทำให้เกิดการเปลี่ยนแปลงพลังงานที่โลกได้รับจากดวงอาทิตย์ ได้แก่ การเปลี่ยนแปลงความเอียงศูนย์กลาง (eccentricity) หรือความรีของวงโคจร การเอียงของแกนโลก และการส่ายของขั้วโลกโดยมีความเวลาของการเกิดปรากฏการณ์เหล่านี้เป็น 100,000 ปี 41,000 ปี และ 22,000 ปี ตามลำดับ การเปลี่ยนแปลงทั้ง 3 ประการนี้ ทำให้พลังงานที่โลกได้รับจากดวงอาทิตย์ในแต่ละฤดูและแต่ละตจุดเปลี่ยนไปอย่างมาก

3) การเกิดมีอุกกาบาตขนาดใหญ่ฟุ่งชนโลก ปัจจัยนี้ทำให้เกิดการผันแปรของภูมิอากาศในช่วงเวลาสั้น ๆ เนื่องจากการเพิ่มขึ้นของฝุ่นละอองในบรรยากาศ ซึ่งทำให้รังสีดวงอาทิตย์มาถึงพื้นโลกได้น้อยลง เป็นผลให้อุณหภูมิพื้นโลกลดลง เชื่อกันว่าเหตุการณ์เช่นนี้เคยเกิดขึ้นเมื่อ 65 ล้านปีมาแล้ว และเป็นสาเหตุที่ทำให้ไดโนเสาร์สูญพันธุ์

ส่วนปัจจัยทางธรณีวิทยาที่มีผลต่อภูมิอากาศ ได้แก่ การเลื่อนตัวของทวีปและการเกิดหรือยุบตัวลงของภูเขาซึ่งทำให้ภูมิประเทศเปลี่ยนไป การระเบิดของภูเขาไฟที่ทำให้มีฝุ่นละอองในบรรยากาศเพิ่มขึ้น และฝุ่นละอองนี้อาจคงอยู่ในบรรยากาศได้นานถึง 3 ปี ส่งผลให้อุณหภูมิของโลกลดลง (สถาบันสิ่งแวดล้อมไทย, 2550)

### 1.1.2 ปัจจัยจากการเปลี่ยนแปลงความเข้มข้นของกําชเรือนกระจกในบรรยากาศ

การเปลี่ยนแปลงความเข้มข้นของกําชเรือนกระจกในบรรยากาศ มีผลทำให้อุณหภูมิของโลกสูงขึ้น โดยจากการที่นักวิทยาศาสตร์ได้ศึกษาฟองอากาศในแกนนำแข็ง เพื่อศึกษาสภาพภูมิอากาศในอดีตเมื่อ 400,000 ปีที่ผ่านมา ทำให้พบความสัมพันธ์ระหว่างอุณหภูมิและปริมาณกําชcarbon dioxide ในบรรยากาศ (ภาพที่ 1) กล่าวคือ เมื่อมีปริมาณกําช carbon dioxide ได้ออกไชด์ในบรรยากาศเพิ่มขึ้น อุณหภูมิของโลกก็จะเพิ่มสูงขึ้นตามไป (Grant and Littlejohn, 2001)



**ภาพที่ 1** ความสัมพันธ์ระหว่างปริมาณก๊าซคาร์บอนไดออกไซด์กับอุณหภูมิข้อนหลังประมาณ 420,000 ปี ถึงปัจจุบัน

ที่มา: Grant and Littlejohn (2001)

การเพิ่มขึ้นของก๊าซคาร์บอนไดออกไซด์ในยุคนี้ นักวิทยาศาสตร์ได้สันนิษฐานว่า อาจเกิดจากปัจจัยทางธรรมชาติ เช่น การระเบิดของภูเขาไฟ และการเพิ่มขึ้นจากการหายใจของพืชและจุลินทรีย์ในดิน เป็นต้น อย่างไรก็ตาม ความสัมพันธ์นี้ทำให้ทราบว่า ความเข้มข้นของก๊าซคาร์บอนไดออกไซด์ในบรรยากาศ มีส่วนทำให้อุณหภูมิสูงขึ้นจากการเพิ่มขึ้นของการเกิดปรากฏการณ์เรือนกระจกในธรรมชาตินั่นเอง

การเปลี่ยนแปลงความเข้มข้นของก๊าซเรือนกระจกในบรรยากาศในปัจจุบัน โดยเฉพาะก๊าซคาร์บอนไดออกไซด์ ได้พิสูจน์แล้วว่าเกิดจากกิจกรรมของมนุษย์ โดยตั้งแต่เมื่อโลกเข้าสู่ยุคปฏิวัติอุตสาหกรรมเป็นต้นมา มนุษย์ได้พัฒนาเทคโนโลยีเครื่องจักรกลขึ้นมาใช้ทุนแรงเพิ่มกำลังในการผลิต และอั่มวนความสะควรต่าง ๆ เครื่องจักรกลเหล่านี้ต้องอาศัยเชื้อเพลิงจากชาบฟอสซิลเป็นแหล่งพลังงานหลักซึ่งการเผาไหม้ภายในเครื่องยนต์ได้ปลดปล่อยก๊าซคาร์บอนไดออกไซด์ ในตัวสօอกไซด์และออกซิเจน ออกสู่บรรยากาศในปริมาณที่เพิ่มมากขึ้น ในขณะเดียวกันพื้นที่ป่าไม้ทั่วโลกซึ่งเป็นแหล่งดูดซับก๊าซคาร์บอนไดออกไซด์จากบรรยากาศได้ถูกบุกรุกทำลายลงอย่างมากจากการขยายตัวของภาคเกษตรกรรม ภาคอุตสาหกรรม และพื้นที่อยู่อาศัย

ของมนุษย์ ทำให้แหล่งคุณชับกําชาร์บอนไดออกไซด์ออกจากบรรยายกาศลดน้อยลงกว่าในอดีต จึงยิ่งส่งผลต่อการเพิ่มความเข้มข้นของกําชาร์บอนไดออกไซด์ในบรรยายกาศมากยิ่งขึ้น

## 1.2 กําชาร์เรือนกระจกกับการเปลี่ยนแปลงภูมิอากาศ

กําชาร์เรือนกระจก (greenhouse gas) เป็นกําชาร์ที่ช่วยอบชั้นบรรยายกาศของโลกให้มีอุณหภูมิสูงขึ้น เนื่องจากเป็นกําชาร์ที่สามารถเก็บกักความร้อนที่ผิวโลกเอาไว้ได้ อาจแบ่งเป็นกําชาร์เรือนกระจกตามธรรมชาติและกําชาร์เรือนกระจกจากภาคอุตสาหกรรม โดยองค์ประกอบที่สำคัญของกําชาร์เรือนกระจกได้แก่ ไอน้ำ ซึ่งเป็นกําชาร์เรือนกระจกตามธรรมชาติที่มีสูงสุดคือกําชาร์บอนไดออกไซด์ ประมาณร้อยละ 60 โซโนประมาณร้อยละ 26 โดยกําชาร์ที่มีเป็นส่วนน้อยคือ มีเทนและไนตรัสออกไซด์ ส่วนกําชาร์เรือนกระจกจากภาคอุตสาหกรรมคือ halocarbons, CFC, HCFC-22 เช่น (Freon และ Perfluoromethane), และ SF6 (Sulphur Hexafluoride) เป็นต้น (สาวิตรี, 2547)

กําชาร์เรือนกระจกที่สำคัญ ๆ ได้แก่

1.2.1 กําชาร์บอนไดออกไซด์ (carbon dioxide; CO<sub>2</sub>) เป็นผลมาจากการเผาไหม้ของเชื้อเพลิง ได้แก่ น้ำมัน ถ่านหิน ฟืน และกําชาร์ธรรมชาติ จากกระบวนการผลิตในภาคอุตสาหกรรม การคมนาคมขนส่งที่ใช้เครื่องยนต์การผลิตพลังงานไฟฟ้า เป็นต้น เชื้อเพลิงเหล่านี้มีสารคาร์บอนเป็นองค์ประกอบหลักเมื่อถูกเผาไหม้เกิดกําชาร์บอนไดออกไซด์ออกสู่บรรยายกาศ ซึ่งกําชานี้คือได้ว่าเป็นกําชาร์เรือนกระจกที่สำคัญมากที่สุดในบรรดา กําชาร์เรือนกระจกชนิดอื่น ๆ โดยมีสัดส่วนถึงร้อยละ 76 (สถาบันสิ่งแวดล้อมไทย, 2550)

ปัจจุบันนี้ในชั้นบรรยายกาศมีกําชาร์บอนไดออกไซด์ 380 โมเลกุลในทุกๆ 1 ล้านโมเลกุลของมวลอากาศ หรือ 380 ppm (parts per million) และมีการเพิ่มขึ้นประมาณร้อยละ 1 ต่อปี เมื่อเทียบกับราว 100 ปีก่อน ในยุคปฏิวัติอุตสาหกรรม ระดับความเข้มข้นของกําชาร์บอนไดออกไซด์ในชั้นบรรยายกาศอยู่ที่ประมาณ 280 ppm นักวิทยาศาสตร์คาดการณ์ว่า ในอีก 100 ปีข้างหน้า ถ้าไม่มีการแก้ไขหรือชะลอการใช้พลังงานจากเชื้อเพลิงฟอสซิล ความเข้มข้นของกําชาร์บอนไดออกไซด์จะเพิ่มขึ้นเป็นเกือบ 1,000 ppm ซึ่งเป็นการเพิ่มในอัตราที่เร็วกว่าที่ผ่านมาอย่างมาก (อดิศร, 2551)

1.2.2 ก๊าซมีเทน (methane; CH<sub>4</sub>) เป็นก๊าซที่เกิดจากการย่อยสลายสารอินทรีย์โดยแบคทีเรียที่ไม่ใช้ออกซิเจนหรือการหมักในสภาพไร้อากาศ โดยมักเกิดขึ้นตามธรรมชาติในบริเวณพื้นที่ชั่วโมงน้ำ (swamp wetland) นอกจากนี้ยังมีแหล่งกำเนิดจากการปศุสัตว์ เมืองค่านหินการบุดเจาะแหล่งน้ำมันและก๊าซธรรมชาติ การทำงานข้าว และการฝังกลบขยะมูลฝอย เป็นต้น ปริมาณก๊าซมีเทนในบรรยากาศเพิ่มขึ้นเป็น 2 เท่าตัวตั้งแต่ปี พ.ศ. 2293 (ค.ศ. 1750) โดยเกิดขึ้นทั่วโลกและปล่อยสู่บรรยากาศประมาณ 300 - 500 ล้านตันต่อปีซึ่งคาดประมาณว่าในปี พ.ศ. 2593 จะมีปริมาณก๊าซนี้เพิ่มขึ้นเป็น 2 เท่าของปริมาณในปัจจุบัน ก๊าซมีเทนมีอายุคงอยู่ในบรรยากาศได้ประมาณ 10 ปี และมีศักยภาพในการกักเก็บความร้อน (Global Warming Potential; GWP) ได้มากกว่าก๊าซคาร์บอนไดออกไซด์ถึง 20 เท่า (Nick and Jodan, 2006)

การเปลี่ยนแปลงปริมาณก๊าซมีเทน จะเกิดผลทางเคมีที่ชัดเจน คือกระบวนการที่ทำให้ก๊าซมีเทนถูกเคลื่อนย้ายออกไปจากบรรยากาศ โดยการทำปฏิกิริยาทางเคมีกับ hydroxyl radical (OH) นั่นคือการเพิ่มขึ้นของก๊าซมีเทนในบรรยากาศจะทำให้ปริมาณ OH ในบรรยากาศลดลง เป็นผลให้อัตราการลดลงของการเคลื่อนย้ายออกไปของก๊าซมีเทนลดลงไปด้วย (จำง, 2544)

1.2.3 ก๊าชไนตรัสออกไซด์ (nitrous oxide; N<sub>2</sub>O) ก๊าชไนตรัสออกไซด์ หรือก๊าชหัวเราะ (laughing gas) ถูกปล่อยออกจากการพื้นโลกสู่บรรยากาศตามธรรมชาติ จากทะเล มหาสมุทร และโดยแบคทีเรียในดิน ก๊าชไนตรัสออกไซด์ในบรรยากาศโลกเพิ่มขึ้นกว่าร้อยละ 15 นับตั้งแต่ปี พ.ศ. 2293 (ค.ศ. 1750) เป็นต้นมา และเพิ่มขึ้นในแต่ละปีประมาณ 7 - 13 ล้านตัน โดยมีกิจกรรมทางการเกษตรที่มีการใช้ปุ๋ยที่มีองค์ประกอบของไนโตรเจน โดยปัจจุบันมีปริมาณการใช้ปุ๋ยที่มีไนโตรเจนเป็นองค์ประกอบเพิ่มขึ้นเป็น 2 เท่า ในช่วง 15 ปีที่ผ่านมา ซึ่งเมื่อใช้ปุ๋ยนี้ทำการเกษตรแบคทีเรียจะย่อยสลายและปล่อยก๊าชไนตรัสออกไซด์สู่บรรยากาศ (Nick and Jodan, 2006) ส่วนที่เกิดเองตามธรรมชาติคำนวณได้ยากแต่เป็นไปได้ที่สูงกว่าจากการกระทำการของมนุษย์ถึง 2 เท่า ก๊าชไนตรัสออกไซด์ส่วนใหญ่ถูกเคลื่อนย้ายออกไปโดยแสงอาทิตย์ทำให้แตกตัว (photolysis) ในบรรยากาศชั้นสตราโตเฟียร์ นอกจากนี้ก๊าชไนตรัสออกไซด์ยังมีอายุนานสามารถอยู่ในชั้นบรรยากาศได้นานประมาณ 120 ปี แม้ว่าไม่สามารถคำนวณจากแหล่งปล่อยออกก๊าชไนตรัสออกไซด์ได้อย่างชัดเจน แต่จากการตรวจวัดในบรรยากาศและหลักฐานจากใจกลางน้ำแข็ง (ice core) พบว่าปริมาณก๊าชไนตรัสออกไซด์ในบรรยากาศได้เพิ่มสูงขึ้น ตั้งแต่ก่อนการปฏิวัติอุตสาหกรรมเป็นต้นมา และเกิดจากการกระทำการของมนุษย์เกือบทั้งหมด ก่อนการปฏิวัติอุตสาหกรรม มีปริมาณก๊าชไนตรัสออกไซด์ในบรรยากาศประมาณ 275 ppbv (part per billion by

volume) ส่วนในปี ก.ศ. 1994 เพิ่มขึ้นเป็น 312 ppbv อัตราการเพิ่มขึ้นในปี ก.ศ. 1993 ประมาณ 0.5 ppbv ต่อปี ซึ่งต่ำกว่าที่ตรวจพบในปลายทศวรรษที่ 1980 และต้นทศวรรษที่ 1990 ที่มีอัตราเพิ่มขึ้นประมาณ 0.8 ppbv ต่อปี กำลังการแผ่รังสี เนื่องจากการเปลี่ยนแปลงปริมาณก๊าซในตรัสรอยก๊าซค์ ดังเด่นก่อนการปฏิวัติอุตสาหกรรมประมาณ  $+0.14 \text{ W/m}^2$  (จำง, 2544)

1.2.4 ก๊าซกลุ่มฟลูออโรคาร์บอน (fluorocarbon; FCs) ฟลูออโรคาร์บอน เป็นชื่อทั่วไปของสารประกอบอินทรีย์สังเคราะห์ที่มีสารฟลูออรีน (fluorine) และคาร์บอน (carbon) เป็นองค์ประกอบอยู่ด้วยสารเหล่านี้มีคุณสมบัติสามารถถ่ายเทได้ดี จึงนิยมใช้ในกระป๋องสเปรย์ ตู้เย็น และเครื่องปรับอากาศ เช่น สารคลอโรฟลูออโร-คาร์บอน (chlorofluorocarbons; CFCs) ต่อมาก็ได้มีการยกเลิกการใช้สาร CFCs เนื่องจากเป็นสารที่ทำลายโอโซนในชั้นบรรยากาศ เป็นผลให้เกิดรูหัวของโอโซนในบรรยากาศ จึงทำให้รังสีอุตตรaviolet ออกเสียงสามารถถ่ายผ่านมาถึงพื้นโลกในปริมาณที่มากขึ้น เกิดผลเสียต่อทั้งมนุษย์และสิ่งมีชีวิตบนโลก เช่น การเกิดโรคมะเร็งผิวหนัง จึงหันมาใช้สารกลุ่มไฮโดรฟลูออโรคาร์บอน (HFCs) ซึ่งเป็นสารที่ไม่ทำลายชั้นโอโซนแทนสาร CFCs แต่ HFCs นี้กกลับมีคุณสมบัติดูดกลืนและแผ่ความร้อนในบรรยากาศได้ดี จึงถูกจัดเป็นก๊าซเรือนกระจกชนิดหนึ่งด้วย อย่างไรก็ตาม สารนี้ยังถูกใช้ในภาคอุตสาหกรรมได้ไม่นานนัก (สถาบันสิ่งแวดล้อมไทย, 2550)

### 1.3 การปลดปล่อยก๊าซเรือนกระจกของประเทศไทย

ประเทศไทยทำการประเมินการปลดปล่อยก๊าซเรือนกระจก 3 ครั้ง โดยมีปีฐาน (base year) ในการคำนวณคือ พ.ศ. 2532 2533 และ 2541 มีปริมาณการปลดปล่อยแสดงในตารางที่ 1 (กัณฑรี, 2548x)

**ตารางที่ 1 ปริมาณการปลดปล่อยก๊าซเรือนกระจกของประเทศไทยใน พ.ศ. 2532 - 2533 และ 2541**

ปีฐาน (base year)	การปลดปล่อยก๊าซเรือนกระจกของประเทศไทย						การนำบัด ของเสีย
	ยอดรวม	พลังงาน	กระบวนการ ผลิตในทาง อุตสาหกรรม	การเกษตร	เปลี่ยนแปลง การใช้ที่ดิน		
2532	261.00	71.00	6.00	146.00	38.00	*	
รวมร้อยละ	100.00	27.20	2.30	55.90	14.60	*	
2533	225.00	79.00	10.00	54.00	78.00	3.00	
รวมร้อยละ	99.60	35.10	4.40	24.00	34.70	1.30	
2541	298.00	152.00	11.00	69.00	51.00	15.00	
รวมร้อยละ	100.00	51.00	3.70	23.20	17.10	5.00	

หมายเหตุ \* ไม่มีข้อมูล

ที่มา: กัณฑรี (2548x)

จากตารางที่ 1 จะเห็นได้ว่าการปลดปล่อยก๊าซเรือนกระจกจากภาคการเกษตรใน พ.ศ. 2532 สูงมากคิดเป็นสัดส่วนถึงร้อยละ 56 ของการปลดปล่อยก๊าซเรือนกระจกทั้งประเทศโดยเกิดจากก๊าซมีเทนจากนาข้าวเป็นส่วนใหญ่ ทั้งนี้เนื่องจากการประเมินได้ใช้ค่าสัมประสิทธิ์คง(default emission factor) ของการปลดปล่อยมีเทนจากนาข้าวของ IPCC เนื่องจากยังไม่มีค่าสัมประสิทธิ์ (emission factor) จำเพาะของประเทศไทยการปลดปล่อยก๊าซเรือนกระจกจากภาคป่าไม้มีค่าสูงใน พ.ศ. 2533 เนื่องจากมีการสูญเสียพื้นที่ป่าไม้มาก (กัณฑรี, 2548x)

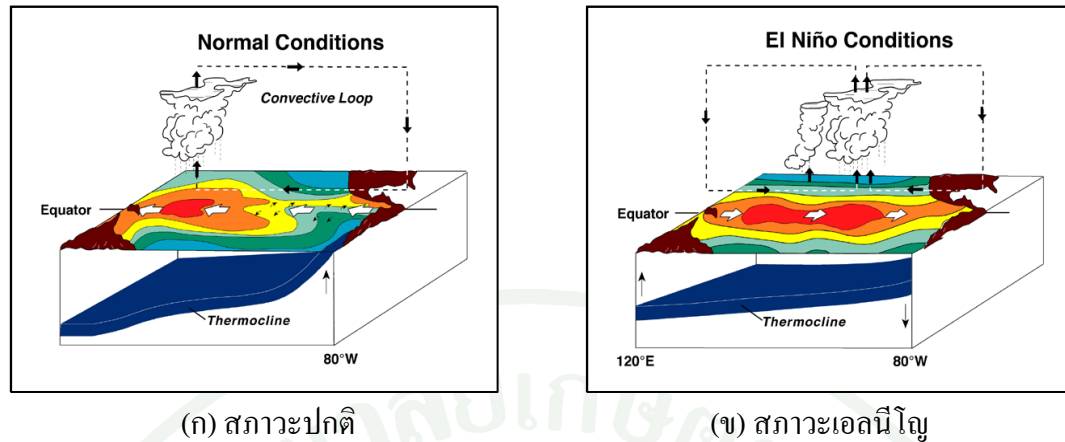
## 2. ปรากฏการณ์อ่อนนิ่ง (El Nino) ล้านิญา (La Nina) และผลกระทบต่อภูมิอากาศในประเทศไทย

เหตุการณ์ทางธรรมชาติที่ก่อให้เกิดความเสียหายต่อชีวิตและทรัพย์สิน ทั้งจากอุทกภัย แผ่นดินถล่ม และความแห้งแล้งที่ยาวนาน ซึ่งส่งผลกระทบตามระดับความรุนแรงที่เกิดขึ้นในแต่ละภูมิภาคของโลก นักวิทยาศาสตร์ในปัจจุบันได้ให้ความสนใจต่อสาเหตุที่ทำให้เกิดเหตุการณ์ทางธรรมชาติดังกล่าว และสาเหตุที่ได้รับความสนใจคือ ปรากฏการณ์อ่อนนิ่ง (El Nino) และปรากฏการณ์ล้านิญา (La Nina)

## 2.1 ปรากฏการณ์เอลนีโญ (El Nino)

เอลนีño (El Nino) หมายถึง การเปลี่ยนแปลงทิศทางการเคลื่อนตัวของกระแสนำอุ่นในมหาสมุทรตามแนวชายฝั่งตะวันตกของทวีปอเมริกาใต้ในช่วงเทศกาลวันคริสต์มาสต่อเนื่องออกไปหลายเดือน เกิดจากความแตกต่างของความกดอากาศต่างในบริเวณประเทศอินโดนีเซียและประเทศไทยมาเลเซีย กับความกดอากาศสูงในบริเวณแอนดามาน้ำสมุทรแปซิฟิกตอนใต้ เมื่อระดับความแตกต่างของความกดอากาศนี้ลดลง ลมสินค้าตะวันตกอ่อนกำลังลง เป็นเหตุให้ผิวน้ำทะเลที่อุ่นเคลื่อนที่ออกจากฝั่งประเทศเปรู จากสาเหตุดังกล่าวมี ความกดอากาศต่ำจึงเคลื่อนตัวไปทางทิศตะวันออกเป็นผลให้ปริมาณฝนตกบริเวณประเทศอินโดนีเซียและประเทศไทยมาเลเซียลดลงแต่ไปเพิ่มปริมาณฝนตามแนวชายฝั่งตะวันตกของอเมริกากลางและทวีปอเมริกาใต้ (มันทนา, 2531)

ตามปกติหนึ่งน่า่นำมามหาสมุทรแปซิฟิกเขตว่อนหรือมหาสมุทรแปซิฟิกเขตศูนย์สูตร มีลมกำถั่วันออกพัดปกคลุมเป็นประจำลมนี้พัดพาผิวน้ำนำทะเลที่อุ่นจากทางตะวันออก (บริเวณชายฝั่งประเทศเอกวาดอร์ เปรู และชิลีตอนเหนือ) ไปสะสมอยู่ทางตะวันตก (ชายฝั่งอินโดนีเซียและออสเตรเลีย) ทำให้บรรยายศาสเนียบบริเวณแปซิฟิกตะวันตกมีความชื้นเนื่องจากกระบวนการระเหย (Glantz, 2001) และมีการก่อตัวของเมฆและฝนบริเวณตะวันออกและตะวันออกเฉียงใต้ของเอเชียรวมทั้งประเทศไทย ๆ ที่เป็นเคาะอยู่ในแปซิฟิกตะวันตก (ภาพที่ 2 ก) ขณะที่ทางตะวันออกของแปซิฟิกเขตศูนย์สูตรมีการไหลขึ้นของน้ำเย็นระดับล่างขึ้นไปยังผิวน้ำและทำให้เกิดความแห้งแล้งบริเวณชายฝั่งอเมริกาใต้ แต่เมื่อมีลมกำถั่วันออกมีกำลังอ่อนกว่าปกติลมที่พัดปกคลุมบริเวณด้านตะวันออกของปาปัวนิวกินี (ปาปัวนิวกินี คือ เกาะที่ตั้งอยู่บริเวณเส้นศูนย์สูตรทางแปซิฟิกตะวันตกเหนือทวีปอสเตรเลีย) จะเปลี่ยนทิศทางจากตะวันออกเป็นตะวันตกทำให้เกิดคลื่นใต้ผิวน้ำพัดพาเรามาวน้ำอุ่นที่สะสมอยู่บริเวณแปซิฟิกตะวันตกไปแทนที่น้ำเย็นทางแปซิฟิกตะวันออก เมื่อมวลน้ำอุ่นได้ถูกพัดพาไปถึงแปซิฟิกตะวันออก (บริเวณชายฝั่งประเทศเอกวาดอร์) ก็จะรวมเข้ากับผิวน้ำทำให้ผิวน้ำนำทะเลเคลื่อนบริเวณนี้อุ่นขึ้นกว่าปกติและน้ำอุ่นนี้ค่อยแผ่ขยายพื้นที่ไปทางตะวันตกถึงตอนกลางของมหาสมุทรล่างผลให้บริเวณที่มีการก่อตัวของเมฆและฝนซึ่งปกติจะอยู่ทางตะวันตกของมหาสมุทรเปลี่ยนแปลงไปอยู่ที่บริเวณตอนกลางและตะวันออก (ภาพที่ 2 ข) บริเวณดังกล่าวจึงมีฝนตกมากกว่าปกติ ในขณะที่แปซิฟิกตะวันตกซึ่งเคยมีฝนมากจะมีฝนน้อยและเกิดความแห้งแล้ง



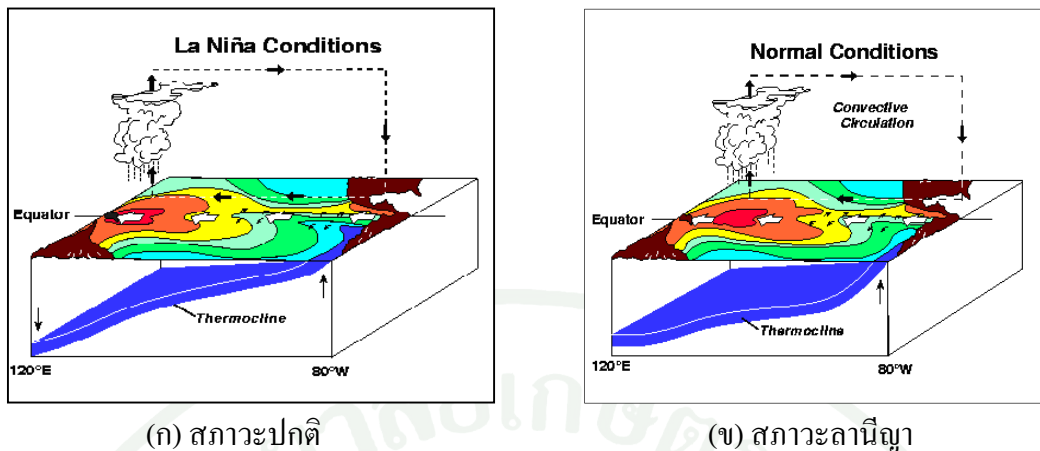
## ภาคที่ 2 สรุปผลการดำเนินการ

## ที่มา: กรมอุตุนิยมวิทยา (2546ก)

## 2.2 ปรากฏการณ์ล้านีลญา (La Nina)

ล้านีน่า (La Nina) หมายถึง ปรากฏการณ์ ที่กลับกันกับเอลนีโน กล่าวคือ อุณหภูมิผิวน้ำทะเลบริเวณตอนกลางและตะวันออกของแปซิฟิกเขตศูนย์สูตรมีค่าต่ำกว่าปกติ เนื่องจากลมค้าตะวันออกเฉียงใต้มีกำลังแรงมากกว่าปกติ จึงพัดพาผิวน้ำทะเลที่อุ่นจากตะวันออกไปสะสมอยู่ทางตะวันตกมากยิ่งขึ้น ทำให้บริเวณดังกล่าวชื้นเดิมมีอุณหภูมิผิวน้ำทะเลและระดับน้ำทะเลสูงกว่าทางตะวันออกอยู่แล้วยิ่งมีอุณหภูมิและระดับน้ำทะเลสูงขึ้น ไปอีก ปรากฏการณ์ล้านีน่าเกิดขึ้นได้ทุก 2 – 3 ปี และปกติจะเกิดขึ้นนานประมาณ 9 – 12 เดือน แต่บางครั้งอาจปรากฏอยู่ได้นานถึง 2 ปี

ปกติมีค่าตัววันออกเนี่ยงได้ในมหาสมุทรเปปซิฟิกเบตต์ร้อนหรือเปปซิฟิกเบตสูนย์สูตรจะพัดพาเข้าอุ่นจากทางตะวันออกของมหาสมุทรไปสะสมอยู่ทางตะวันตก ซึ่งทำให้มีการก่อตัวของเมฆและฝนบริเวณด้านตะวันตกของเปปซิฟิกเบตต์ร้อน ส่วนเปปซิฟิกตะวันออกหรือบริเวณชายฝั่งประเทศเอกวาดอร์และเปรูมีการไหลขึ้นของน้ำเย็นระดับล่างขึ้นไปยังผิวน้ำซึ่งทำให้บริเวณดังกล่าวแห้งแล้ง สถานการณ์เช่นนี้เป็นลักษณะปกติจึงเรียกว่าสภาพอากาศปกติหรือสภาพอากาศที่ไม่ใช่เอลนีโญ (ภาพที่ 3 ก) แต่มีบ่อยครั้งที่สถานการณ์เช่นนี้ถูกมองว่าเป็นได้ทั้งสภาพอากาศปกติและลานีโญ อย่างไรก็ตามเมื่อพิจารณาฐานแบบของสภาพอากาศลานีโญ (ภาพที่ 3 ข) จะเห็นได้ว่าปรากฏการณ์ลานีโญมีความแตกต่างจากสภาพอากาศปกติ (Glantz, 2001)



ภาพที่ 3 สภาวะการเกิดปรากฏการณ์ล้านีนู

ที่มา: กรมอุตุนิยมวิทยา (2546)

นั่นคือลมค้าตะวันออกเฉียงใต้ที่พัดปกคลุมเหนือมหาสมุทรแปซิฟิกบริเวณมีกำลังแรงมากกว่าปกติและพัดพาผิวน้ำทะเลที่อุ่นจากตะวันออกไปสะสมอยู่ทางตะวันตกมากยิ่งขึ้น ทำให้บริเวณแปซิฟิกตะวันตก รวมทั้งบริเวณตะวันออกและตะวันออกเฉียงใต้ของเอเชีย ซึ่งเดิมมีอุณหภูมิผิวน้ำทะเลสูงกว่าทางตะวันออกอยู่แล้วยิ่งมีอุณหภูมน้ำทะเลสูงขึ้นไปอีก อุณหภูมิผิวน้ำทะเลที่สูงขึ้นส่งผลให้อากาศเหนือบริเวณดังกล่าวมีการลอดยวดีขึ้นและกลั่นตัวเป็นเมฆและฝน ส่วนแปซิฟิกตะวันออกนอกฝั่งประเทศไทยและภาคอร์นันด์กระบวนการไหลขึ้นของน้ำเย็นระดับล่างไปสู่ผิวน้ำ (upwelling) จะเป็นไปอย่างต่อเนื่องและรุนแรง อุณหภูมิที่ผิวน้ำทะเลจึงลดลงต่ำกว่าปกติ

### 2.3 ผลกระทบของปรากฏการณ์เอลนีโน (El Nino) ล้านีนู (La Nina) ต่อลักษณะอากาศในประเทศไทย

ปรากฏการณ์เอลนีโน (El Nino) ล้านีนู (La Nina) ที่เกิดขึ้นเป็นสาเหตุหนึ่งที่ส่งผลกระทบต่อลักษณะภูมิอากาศ ไม่เพียงแต่พื้นที่บริเวณใกล้เคียง แต่มีผลกระทบไปทั่วโลก บางพื้นที่ประสบสภาวะอากาศที่ผิดปกติอย่างรุนแรง เช่น ได้เกิดความแห้งแล้งขึ้นอย่างรุนแรงในทวีปอสเตรเลีย อินโดนีเซีย และฟิจิ ส่วนทางด้านตะวันออกของทวีปแอฟริกาได้เกิดฝนตกหนักอย่างผิดปกติจนเกิดน้ำท่วมอย่างรุนแรง ในขณะเดียวกันเกิดฝนทึ่งช่วงยาวนานในหลายพื้นที่บริเวณภาคใต้ฝั่งตะวันตกของทวีปแอฟริกาได้ ในขณะที่ผลกระทบของปรากฏการณ์เอลนีโน (El Nino) ต่อลักษณะการกระจายของฝนในประเทศไทยที่อยู่ในเขตต้อนของทวีปเอเชียมีมากขึ้นในทศวรรษที่ผ่าน

มา ปริมาณฝนที่ตกในเขตแห้งแล้งในประเทศไทยลักษณะสัมพันธ์อยู่กับค่า SOI ในระดับสูง (strong correlation) (Mantua and Battisti, 1994 อ้างใน วีระวุฒิ, 2546) พนความสัมพันธ์ระหว่างระดับน้ำทะเลในเอเชียใต้ (Asian sea level) กับแรงลมในแนวเส้นศูนย์สูตรของมหาสมุทรแปซิฟิก ในปีที่เกิดปรากฏการณ์เอลนีโญ (El Nino) อุณหภูมิของผิวน้ำทะเลในมหาสมุทรอินเดีย พบว่า มีอิทธิพลต่อมรสุมช่วงฤดูร้อน วัฏจักรของน้ำและรวมไปถึงพื้นที่ที่มีพิมพ์ปักคลุมในยุโรป สำหรับในประเทศไทยจากการศึกษาของ (Brikshavana and Nimma, 1995 อ้างใน กนกพร, 2541) โดยใช้ข้อมูลจากสถานีตรวจวัดอากาศ 31 แห่งทั่วประเทศในช่วงระหว่างปี พ.ศ. 2492-2529 วิเคราะห์ดังนี้ เปอร์เซ็นต์ต่อเดือนของฝนที่ตกลาภยเดือน (monthly percentie rainfall indices) พบว่าไม่มีความสัมพันธ์ กับชั้นเรื่องระหว่างการเกิดปรากฏการณ์เอลนีโญ (El Nino) กับรูปแบบการตกลงฝนทั่วประเทศ การศึกษาวิจัยสามารถอธิบายได้ว่าผลกระบวนการของปรากฏการณ์นี้ต่ออัตราณะอุณหภูมิทั่วประเทศ เป็นไปในทำนองเดียวกับที่ มันฑนา และ สุคារ (2542) ได้ศึกษาไว้คืออุณหภูมิในช่วงฤดูหนาว และฤดูร้อนสูงกว่าค่าปกติจากเดือนพฤษภาคมของปีที่มีปรากฏการณ์เอลนีโญ (El Nino) ระดับรุนแรง (คิดเป็นร้อยละ 91 ของทุกสถานีตรวจอากาศ) สามารถอธิบายได้ว่าในปีที่ปรากฏการณ์เอลนีโญ (El Nino) รุนแรงนั้นปรากฏการณ์นี้มีอิทธิพลอย่างมีนัยสำคัญต่ออุณหภูมิพื้นผิว (surface temperature) รายเดือนของฤดูหนาวและฤดูร้อนที่กล่าวมาแล้ว นอกจากนี้จากการศึกษาสภาพ水分 และอุณหภูมิของประเทศไทยในปีเอลนีโญ (El Nino) โดยใช้วิเคราะห์ค่า composite percentile ของปริมาณฝน และ composite standardized ของอุณหภูมิในปี El Nino จากข้อมูลปริมาณฝนและอุณหภูมิรายเดือนในช่วงเวลา 50 ปีตั้งแต่ พ.ศ. 2494 ถึง พ.ศ. 2543 พบว่าในปี El Nino ปริมาณฝนของประเทศไทยส่วนใหญ่ต่ำกว่าปกติ (rainfall index น้อยกว่า 50) โดยเฉพาะในช่วงฤดูร้อนและต้นฤดูฝนและพบว่า El Nino ขนาดปานกลางถึงรุนแรงมีผลกระทบทำให้ปริมาณฝนต่ำกว่าปกติมาก ขึ้น สำหรับอุณหภูมิพบว่าสูงกว่าปกติทุกฤดูในปี El Nino โดยเฉพาะช่วงฤดูร้อนและต้นฤดูฝนและสูงกว่าปกติมากขึ้นในกรณีที่ El Nino มีขนาดปานกลางถึงรุนแรง อย่างไรก็ตามจากการงานของกรมอุตุนิยมวิทยา (2546) พบว่าในช่วงกลางและปลายฤดูฝน ไม่สามารถหาข้อสรุปเกี่ยวกับสภาพ水分ในปี El Nino ได้ชัดเจน นั่นคือ ปริมาณฝนของประเทศไทยมีโอกาสเป็นไปได้ทั้งสูงกว่าปกติ และต่ำกว่าปกติหรืออาจกล่าวได้ว่าช่วงกลางและปลายฤดูฝนเป็นระยะที่ El Nino มีผลกระทบต่อปริมาณฝนของประเทศไทยไม่ชัดเจน

นอกจากนี้ปรากฏการณ์ล้านีนู (La Nina) ก็มีผลกระทบต่ออัตราณะทางภูมิอากาศ เช่นกันจากการศึกษาสภาพ水分 และอุณหภูมิของประเทศไทยในปี La Nina โดยใช้วิเคราะห์ค่า composite percentile ของปริมาณฝน และ composite standardized ของอุณหภูมิในปี La Nina จากข้อมูลปริมาณฝนและอุณหภูมิรายเดือน ในช่วงเวลา 50 ปี ตั้งแต่ พ.ศ. 2494 ถึง พ.ศ. 2543 พบว่าใน

ปี La Nina ปริมาณฝนของประเทศไทยส่วนใหญ่สูงกว่าปกติ โดยเฉพาะช่วงฤดูร้อนและต้นฤดูฝน เป็นระยะที่ La Nina มีผลกระทบต่อสภาพอากาศของประเทศไทยชัดเจนกว่าช่วงอื่น และพบว่าในช่วงกลางและปลายฤดูฝน La Nina มีผลกระทบต่อสภาพอากาศของประเทศไทยไม่ชัดเจน สำหรับ อุณหภูมิพบว่า La Nina มีผลกระทบต่ออุณหภูมิในประเทศไทยชัดเจนกว่าฝน โดยทุกภาคของประเทศไทยมีอุณหภูมิต่ำกว่าปกติทุกฤดู และพบว่า La Nina ที่มีขนาดปานกลางถึงรุนแรงส่งผลให้ ปริมาณฝนของประเทศไทยสูงกว่าปกติมากขึ้น ขณะที่อุณหภูมิต่ำกว่าปกติมากขึ้น (กรม อุตุนิยมวิทยา, 2546) สอดคล้องกับการศึกษาของ มันธนา และสุดาพร (2542) พบว่าฝนในฤดูฝน ที่เกิดปรากฏการณ์ La Nina ขนาดรุนแรง ส่วนใหญ่มีค่าสูงกว่าปกติเกือบทุกภาค ยกเว้นภาค ตะวันออกเฉียงเหนือ แต่ในฤดูหนาวที่ต่อเนื่องจากฤดูฝนสำหรับประเทศไทยตอนบนส่วนใหญ่จะ มีค่าต่ำกว่าปกติ ยกเว้นภาคตะวันออกที่ฝนใกล้เคียงกับค่าปกติ สำหรับภาคใต้ทั้งสองฝั่งในช่วง ครึ่งแรกของฤดูหนาว คือเดือนพฤษภาคมถึงเดือนธันวาคมจะมีฝนสูงกว่าปกติแต่ในช่วงครึ่งหลัง ของฤดูก็อีเดือนมกราคมถึงเดือนกุมภาพันธ์จะมีฝนต่ำกว่าปกติ และในฤดูร้อนปีหลังเกิด La Nina ทั่วประเทศจะมีฝนสูงกว่าปกติ

### 3. สภาพภูมิอากาศของประเทศไทย

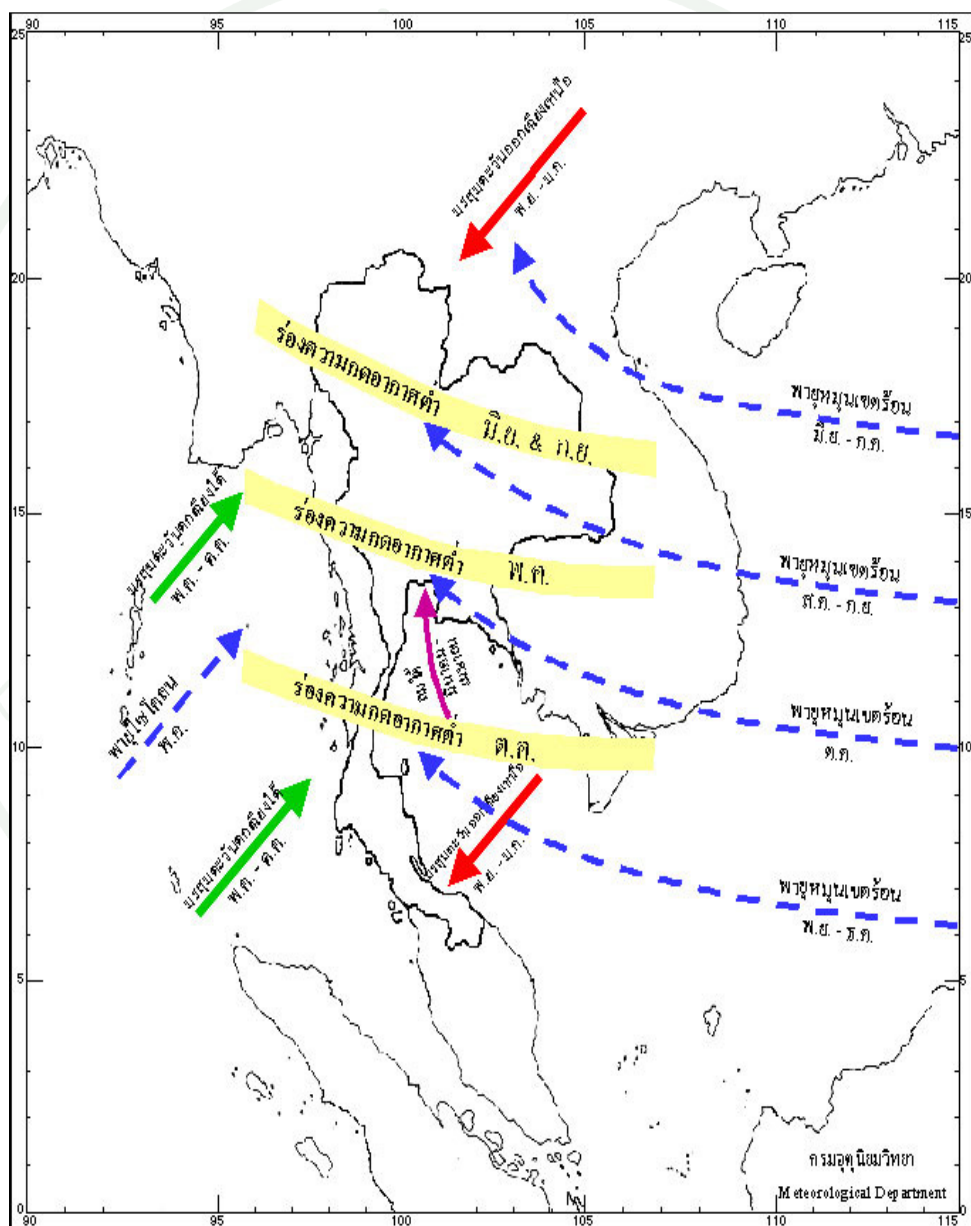
#### 3.1 นิยามและความหมาย

ภูมิอากาศ คือ ค่าเฉลี่ยของลักษณะอากาศที่ทำการตรวจมาในช่วงระยะเวลาหนึ่ง โดยข้อมูลที่นำมาของลักษณะภูมิอากาศหรือองค์ประกอบภูมิอากาศ ได้แก่ อุณหภูมิ ปริมาณน้ำฝน รังสีความอาทิตย์ ความชื้น การหายใจเย็น ลม ช่วงความยาวนานของแสงความกดอากาศ เป็นต้น สำหรับการคาดการณ์สภาพอากาศล่วงหน้านั้นจำเป็นต้องใช้ข้อมูลองค์ประกอบภูมิอากาศที่ถูกต้อง และมีการบันทึกไว้วันละ 35 ปี เป็นอย่างน้อย (Austin, 1961 อ้างใน ประภัสสร, 2549)

ลักษณะภูมิอากาศของประเทศไทยเป็นแบบร้อนชื้น มีลมมรสุมพัดผ่าน พื้นที่ส่วนใหญ่ของประเทศไทยมีฝนตกถึงสี่ในห้า เนื่องจากอิทธิพลของลมมรสุมตะวันตกเฉียงใต้ จากเดือน พฤษภาคมถึงตุลาคม ภูมิอากาศของประเทศไทยมีความชื้นสัมพัทธ์เฉลี่ยร้อยละ 74.4 (ระหว่างร้อยละ 66.0 - 82.8) อุณหภูมิเฉลี่ยตลอดปี 27.6 องศาเซลเซียส (ระหว่าง 23.7 - 32.5 องศาเซลเซียส)

### 3.2 ລັກນະຄຸມອາກາສ

ลักษณะภูมิอากาศในแต่ละภูมิภาคของประเทศไทยนั้นแตกต่างกัน เนื่องจากลักษณะที่ตั้งและตำแหน่งที่แตกต่างกัน รวมทั้งยังมีสภาพภูมิประเทศที่แตกต่างกัน (กรมอุตุนิยมวิทยา, 2549) ดังนั้นจึงส่งผลให้แต่ละภูมิภาคมีลักษณะภูมิอากาศที่แตกต่างกัน ดังภาพที่ 4 ดังนี้



ภาพที่ 4 ตำแหน่งร่องความกดอากาศต่ำ ทิศทางลมมรสุมและทางเดินพายุหมุนเขต草原

## ที่มา: กรมอุตุนิยมวิทยา (2554)

3.2.1 ภาคเหนือ ได้รับอิทธิพลจากลมมรสุมตะวันออกเฉียงเหนือที่มีแหล่งกำเนิดจากสาธารณรัฐประชาชนจีน ที่พัดเข้าสู่ประเทศไทยในช่วงเดือนตุลาคมถึงกุมภาพันธ์ มีผลทำให้พื้นที่ของภาคกลางและภาคเหนือมีอุณหภูมิลดลง อุณหภูมิต่ำสุดของภาคเหนืออยู่ระหว่างเดือนธันวาคม ถึงมกราคม มีค่าเฉลี่ยประมาณ 21.5 องศาเซลเซียส และลมมรสุมตะวันออกเฉียงเหนือเริ่มอ่อนตัวลง ช่วงเปลี่ยนฤดูกาลมาถึง ก่อนที่ลมมรสุมตะวันออกเฉียงใต้จะพัดอาความชุ่มชื้นมานั้นอากาศช่วงนี้ ร้อนอบอ้าวมาก โดยเฉพาะช่วงเดือนเมษายนเป็นช่วงที่ร้อนที่สุด จากนั้นเมื่อลมมรสุมตะวันตก เกียงใต้พัดเข้าสู่ประเทศไทยทำให้เกิดฝนตกหนักตามบริเวณภูเขา ไปจนถึงช่วงกลางเดือนตุลาคม ในช่วงเดือนสิงหาคมถึงกันยายนมีฝนตกหนักที่สุด และมีความถี่ของพายุหมุนเวียนร้อนจากทะเลจีนใต้เคลื่อนเข้าสู่ประเทศไทยตอนบนมากที่สุด ในช่วงเดือนกันยายน ทำให้ฝนตกชุก และเป็นสาเหตุที่ทำให้เกิดน้ำท่วมตามบริเวณที่รับลุ่มสองฝั่งของลำน้ำสายต่าง ๆ

3.2.2 ภาคตะวันออกเฉียงเหนือ มีเทือกเขาสูงทางด้านทิศใต้และทิศตะวันตก จึงทำให้เกิดการปิดกั้นกระแสอากาศที่มีไอน้ำและความชื้นจากทะเล ทำให้ภูมิภาคนี้มีปริมาณฝนตกน้อย และไม่สม่ำเสมอ โดยฝนตกน้อยทางด้านทิศตะวันตกของภาค และค่อย ๆ ตกมากขึ้นในด้านทิศตะวันออกของภาค โดยเฉพาะอย่างยิ่งในพื้นที่จังหวัดหนองคาย ศกลนครและนครพนม ในฤดูหนาวอากาศหนาวจัด เพราะได้รับอิทธิพลจากลมมรสุมตะวันออกเฉียงเหนืออย่างเต็มที่ ส่วนในฤดูร้อนอากาศจะร้อนจัด เช่นเดียวกัน เนื่องจากพื้นดินแห้งและอยู่ห่างไกลจากทะเล อุณหภูมิเฉลี่ยตลอดทั้งปีอยู่ระหว่าง 26 - 27 องศาเซลเซียส

3.2.3 ภาคกลาง อยู่ในเขตโชนร้อน เพราะได้รับอิทธิพลของลมมรสุมตะวันออกเฉียงเหนือในฤดูหนาว ทำให้เกิดอากาศหนาวเย็นและแห้งแล้ง อุณหภูมิโดยเฉลี่ยอยู่ระหว่าง 26 - 33.7 องศาเซลเซียส

3.2.4 ภาคใต้ มีฝนในฤดูมรสุมตะวันตกเฉียงใต้และฤดูมรสุมตะวันออกเฉียงเหนือ โดยเฉพาะบริเวณชายฝั่งทะเลตั้งแต่จังหวัดชุมพรลงไป มีฝนตกชุกมาก ฤดูฝนของภาคใต้นี้มี 2 ระยะ คือ ฤดูมรสุมตะวันตกเฉียงใต้ ระหว่างเดือนพฤษภาคมถึงกันยายน มีฝนตกมากทางฝั่งตะวันตกของภาค และฤดูมรสุมตะวันออกเฉียงเหนือ ระหว่างเดือนพฤศจิกายนถึงกุมภาพันธ์ มีฝนตกมากทางฝั่งตะวันออกของภาค

### 3.3 การจำแนกฤดูกาล

สภาวะอากาศบริเวณประเทศไทยอยู่ภายใต้อิทธิพลของการไหลเวียนของอากาศระหว่างแผ่นดินกับมหาสมุทร ลักษณะการไหลเวียน (air flow) ของอากาศชั้นล่าง และอากาศชั้นบนในแต่ละช่วงเวลาในรอบปี ทั้งนี้ Silverman *et al.* (1986) ได้จำแนกฤดูกาลที่มีความสอดคล้องกับลักษณะการหมุนเวียนของอากาศได้ 5 รูปแบบ ดังนี้

3.3.1 ช่วงฤดูหนาวจากอิทธิพลของลมมรสุมตะวันออกเฉียงเหนือ (northeast monsoonal season; NM) เป็นสภาพภูมิอากาศในช่วงเดือนพฤษภาคม ถึง เดือนกุมภาพันธ์ของปี ถัดไปช่วงเวลานี้ลมมรสุมจากทิศตะวันออกเฉียงเหนือพัดพาอากาศแห้งและเย็นเข้าสู่ภูมิภาคนี้ ทำให้ภาคเหนือมีอากาศหนาว

3.3.2 ช่วงเปลี่ยนฤดูจากฤดูหนาวเข้าสู่ฤดูร้อน (summer intermonsoonal season; SIM) เป็นสภาพภูมิอากาศในช่วงเดือนมีนาคม ถึง เดือนเมษายน ในช่วงนี้ลมชั้นบนและลมชั้นล่าง ส่วนใหญ่มีทิศทางไม่แน่นอน และมีกำลังอ่อน ประกอบกับแนวตั้งจากของดวงอาทิตย์พาดผ่านกลางประเทศ ทำให้แผ่นดินได้รับพลังงานมากและคายพลังงานความร้อนออกมามากจึงมีอุณหภูมิอากาศสูงกว่าฤดูอื่น ช่วงเวลานี้อาจเกิดพายุฤดูร้อนจากการแผ่ขยายลงมาของความกดอากาศสูงและการพัดสอนของลมที่พัดจากทะเลอันดามัน อ่าวไทย และทะเลจีนใต้ ทำให้มีฝนตกแรงแต่บริเวณไม่กว้างมาก

3.3.3 ช่วงเริ่มต้นฤดูฝนจากอิทธิพลของมรสุมตะวันตกเฉียงใต้ (onset southwest monsoonal season; OSM) เป็นสภาพภูมิอากาศในช่วงเดือนพฤษภาคม ถึงต้นเดือนมิถุนายน ช่วงเวลานี้ลมระดับล่างเป็นลมตะวันตกเฉียงใต้กำลังแรงประทะกับลมกำลังอ่อนกว่าจากทิศตะวันออกเฉียงใต้ประกอบกับการเกิดหย่อมความกดอากาศต่ำที่ต่อเนื่องจากการเคลื่อนที่ของแนวตั้งจากของดวงอาทิตย์ของช่วงเวลาที่แล้ว ซึ่งปรากฏนั้นแผ่นดินก่อนเกิดในทะเล ทำให้แนวประทะอากาศวงตัวอยู่ในแนวเฉียงตามการเกิดของหย่อมความกดอากาศต่ำ และมีฝนตกหนักเป็นบริเวณกว้างตามแนวประทะอากาศเบctr้อนหรือร่องมรสุมนี้

3.3.4 ช่วงกลางฤดูฝนจากอิทธิพลของลมมรสุมตะวันตกเฉียงใต้ (southwest monsoonal season; SM) เป็นสภาพภูมิอากาศในช่วงเดือนมิถุนายนถึงเดือนกันยายนช่วงเวลานี้จะอยู่ภายใต้อิทธิพลของลมตะวันตกเฉียงใต้ ในเดือนกรกฎาคมมีฝนตกหน้อยเมื่อเทียบกับเดือนอื่น ๆ

ในช่วงเวลาเดียวกัน หลังจากนั้น ร่องมรสุมจะเคลื่อนที่กลับมาปกคลุมในเดือนสิงหาคม และ กันยายน ทำให้มีฝนตกหนักเป็นบริเวณกว้าง ฝนตกในช่วง 2 เดือนนี้ จะสูงที่สุดในรอบปี

**3.3.5 ช่วงเปลี่ยนฤดูกาลต่อฝนเป็นฤดูหนาว (winter intermonsoonal season; WIM)** เป็นสภาพภูมิอากาศในช่วงเดือนตุลาคม ช่วงเวลานี้ ร่องมรสุมเคลื่อนลงไปปกคลุมตอนล่างของภาคกลางและภาคตะวันออก และเริ่มลงสู่ภาคใต้ บางปีหากร่องมรสุมยังคงอยู่ ประกอบกับความกดอากาศสูงระลอกแรกๆ ของปี ลงมาปะทะกับอากาศอุ่นชื้นจากตอนใต้ จะมีฝนตกมากบริเวณที่ร่องมรสุมยังคงอยู่ แต่ถ้าปีใดร่องมรสุมเคลื่อนสู่ภาคใต้หรือไม่ปรากฏจะเริ่มเข้าสู่ฤดูแล้งเร็กว่าปกติ

#### 4. ฝน

##### 4.1 นิยามและความหมาย

สำหรับประเทศไทย ฝน หรือ precipitation ส่วนใหญ่คือในรูปแบบของ rain เพื่อให้เป็นที่เข้าใจเกี่ยวกับคำน้าฝนในประเทศไทย เกษม (2539) อธิบายไว้วังนี้

4.1.1 Rain หมายถึง หยาดน้ำฟ้าซึ่งเป็นรูปลักษณะเป็นเม็ดเหลว คือ น้ำฝน มีเส้นผ่าศูนย์กลางโดยประมาณ 0.5 มิลลิเมตร หรืออาจเล็กหรือละเอียดกว่า แผ่นกระจายทั่ว ๆ ไป

4.1.2 Drizzle เรียกว่า ละอองฝน หมายถึง หยาดน้ำฟ้าที่เป็นเม็ดน้ำฝนเล็กละเอียด เป็นละออง มีเส้นผ่าศูนย์กลางเล็กกว่า 0.5 มิลลิเมตร ขณะตกคุกคายละอองฝนปลิวลงมาไม่สู้เร็วนัก

4.1.3 Rain shower เรียกว่า ฝนโปรย หมายถึง เม็ดน้ำฝนที่ตกหนักชั่วระยะเวลาอันสั้น เป็นฝนที่ตกหนักในทันทีทันใด และหยุดลงในทันทีทันใด ในระยะเวลาสั้น ๆ

4.1.4 Thundery rain คือ ฝนฟ้าคะนอง หมายถึง ฝนที่ตกเป็นครั้งคราวหรือตกเป็นระยะ ๆ ตกแรงสลับกับตกเบา โดยมากมีฟ้าแลบ หรือมีฟ้าคะนองด้วย แต่ไม่เสมอไป

4.1.5 Thundery shower คือ ฝนฟ้าคะนอง เป็นหยาดน้ำ ฟ้า ซึ่งอาจเป็นเม็ดฝนลูกเท็บ หินะ ตกหนักชั่วระยะเวลาสั้น ๆ แล้วหายไปทันทีทันใด โดยมากเกิดขึ้นพร้อมกับฟ้าคะนอง

4.1.6 Thunderstorm เรียกว่า ฝนพายุฟ้าคะนอง หมายถึง พายุฝนที่เกิดขึ้นพร้อมกับฟ้าแลบ ฟ้าคะนอง และอาจมีลูกเห็บตกลงมาพร้อมกัน ได้

#### 4.2. ปัจจัยที่ทำให้เกิดฝน

เกณม (2539) อธิบายว่า การเกิดฝนได้นั้นต้องมีปัจจัยที่จำ เป็น 3 อย่าง สรุปได้ดังนี้

4.2.1 ไอ้น้ำในบรรยากาศ ปริมาณ ไอ้น้ำในบรรยากาศนั้นมีอยู่เสมอ ไม่ว่าลักษณะบรรยากาศจะแห้งเพียงใดก็ตาม ปริมาณ ไอ้น้ำในบรรยากาศจะมีมากในที่ที่ใกล้แหล่งน้ำและปริมาณ ไอ้น้ำในบรรยากาศเป็นตัวควบคุมปริมาณน้ำฝนที่ตกลงสู่พื้นดิน

4.2.2 กลวิธีของการควบแน่น คือกระบวนการต่าง ๆ ที่จะทำให้ความชื้นในบรรยากาศเกิดความเย็น ขบวนการนี้เป็นตัวการสำคัญที่ทำให้อุณหภูมิของก้อนอากาศที่ชื้น เย็นตัว แล้วกลายเป็นหยดน้ำตกลงมาเป็นฝน

4.2.3 ผุ่นละอองในบรรยากาศ ทำหน้าที่เป็นตัวกลางในการดูดซับ ไอ้น้ำให้ยึดกันเมื่อมีปริมาณมากขึ้น ก็จะเกิดกลวิธีของการควบแน่น จนกระทั่งมีน้ำหนักมากก็จะตกลงสู่พื้นดิน ในรูป ต่าง ๆ กัน

#### 4.3 ลักษณะการตกของฝนในประเทศไทย

ฝนที่ตกในประเทศไทย เกิดขึ้นโดยสาเหตุหลายประการซึ่ง เกณม (2539) สรุปไว้ดังนี้

4.3.1 ฝนที่ตกทางด้านหน้าของภูเขา เกิดขึ้นจากลมไถ่เขา เรียกว่า ฝนลมไถ่เขา (orographic rain) ดังเช่น ฝนที่ตกมากทางด้านตะวันตกของภาคใต้ และระนองจนถึงสตูล ในฤดูมรสุมตะวันตกเฉียงใต้ และฝนที่ตกทางด้านตะวันออกของภาคใต้และจังหวัดนครศรีธรรมราช จนถึง นราธิวาสในฤดูมรสุมตะวันออกเฉียงเหนือ

4.3.2 ฝนที่ตกเป็นแห่ง ๆ ในตอนบ่ายและเย็น ในวันที่ร้อนของฤดูร้อน เป็นฝนเจพะแห่ง (local shower) เป็นฝนเนื่องจากอากาศร้อนไหหลอยขึ้นสู่เบื้องบน (convective rain)

4.3.3 ฝนที่ตกในฤดูฝนเป็นบริเวณกว้าง เมื่อบริเวณความกดอากาศต่ำ หรือพายุดีเปรสชั่นเกิดขึ้นภายในประเทศ หรือเคลื่อนเข้ามาในประเทศ เป็นฝนตกต่อเนื่องกันเป็นเวลากว่า มีปริมาณฝนมากเรียกว่า cyclonic rain แต่ถ้ามีพายุดีเปรสชั่นเกิดขึ้นบ่อย ๆ หรือเคลื่อนเข้ามาติด ๆ กันทำให้มีฝนตกมากอาจทำให้น้ำท่วมได้

4.3.4 ฝนที่ตกเป็นบริเวณกว้างต่อเนื่องกันเป็นเวลากว่า มีปริมาณน้ำฝนเกิดขึ้นเมื่อร่องมรสุม (monsoon through) หรืออีกชื่อหนึ่งเรียกว่า แนวปะทะแห่งโชนร้อน (intertropical convergene zone) พาดอยู่ในประเทศไทยทางภาคหนึ่งภาคใด เรียกว่า ฝนมรสุม (monsoon rain)

4.3.5 ฝนอันเกิดจากอากาศสองกระแสที่มีกำเนิดต่างกันพัดมาปะทะกัน เช่น เมื่อลมตะวันตกเฉียงใต้จากมหาสมุทรอินเดีย หรืออ่าวเบงกอล พัดมาปะทะกับลมฝ่ายตะวันออกจากมหาสมุทรแปซิฟิกและทะเลจีนใต้ ทำให้เกิดเป็นแนวปะทะ หรือแนวล้อมเข้าหากันทำให้เกิดฝนในแนวที่อากาศสองกระแสปะทะกัน ฝนที่ตกโดยลักษณะนี้เกิดขึ้นในฤดูมรสุมตะวันตกเฉียงใต้ สำหรับประเทศไทยในบางครั้งบางคราวมีปริมาณฝนตกมากพอประมาณ มีลักษณะคล้ายฝนที่ตกในแนวปะทะในโชนอุ่น ซึ่งเรียกว่า ฝนแนวปะทะ (frontal rain) แต่ไม่แรงนัก เพราะอากาศสองกระแสที่มาปะทะกันมีอุณหภูมิและความชื้นเกือบท่ากัน

#### 4.4 ชนิดของฝน

เกย์ม และ นิพนธ์ (2517) พบว่าปริมาณของฝนที่แตกต่างกันสามารถแบ่งออกได้ตามลักษณะที่ทำให้เกิดการเย็นตัวโดยการลดอุณหภูมิ ได้ 3 ชนิด คือ

4.4.1 ฝนชั้นเดอร์สตอร์ม (convectional or thunderstorm precipitation) เป็นฝนที่เกิดขึ้นทั่วไปในเขตตropic แต่ในเขตตอนอุ่นก็เกิดขึ้นได้บ้างในฤดูร้อน ทั้งนี้ เพราะพื้นดินเมื่อได้รับความร้อนพื้นดินจะแผ่รังสีคลื่นยาวออกมาทำให้อุณหภูมิของบรรยายอากาศร้อนขึ้น ไอน้ำบริเวณใกล้ผิวดินจะลดอุณหภูมิลง แล้วเกิดการควบแน่นตกลงมาเป็นฝนลักษณะของฝนแบบนี้จะตกในบริเวณไม่กว้าง และเวลาในการตกไม่นานแต่ความหนักเบา (intensity) สูง และมีความปั่นป่วนมาก

4.4.2 ฝนท้องถิ่น (orographic precipitation) ฝนแบบนี้เกิดเนื่องจากก้อนอากาศอุ่นที่มีต้นกำเนิดจากแหล่งที่มีน้ำตกบังคับให้หลอยตัวสูงขึ้น เพราะสภาพภูมิประเทศ เช่น ภูเขาทำให้ก้อน

อากาศเกิดการเย็นตัว ควบแน่นตกลงมาเป็นฝน ฝนแบบนี้มีความหนักเบาต่ำ แต่ตกสมำเสมอ เกือบทั้งปี บริมาณฝนตกตลอดปีจึงมากด้วย

**4.4.3 ฝนไซโคลน (cyclonic precipitation)** ฝนแบบนี้เกิดเนื่องจากก้อนอากาศอุ่นจากบริเวณเส้นศูนย์สูตรเคลื่อนย้าย เนื่องจากแรงเหวี่ยงจากการหมุนของโลก ที่บริเวณเส้นศูนย์สูตรมีมากกว่าจะพัดพาอากาศอุ่นไปลากเคลื่อนไปตามทิศทางการหมุนของโลก คือไปทางทิศตะวันออก แต่ก้อนอากาศอุ่นตอนบนเหนือผิวโลกขึ้นมาจะเฉียงไปทางขั้วโลกน้ำดี ทั้งนี้แรงเหวี่ยงในที่สูงน้อยกว่าตอนใกล้ผิวโลก ก้อนอากาศอุ่นที่เฉียงไปทางขั้วโลกจะเกิดการเย็นตัวโดยการสัมผัสนับอากาศที่เย็นกว่าจากขั้วโลกถอยเป็นฝนในที่สุด แต่บวนการสัมผัสรุนแรงมาก ทำให้เกิดการหมุนของก้อนอากาศแบบไซโคลนนิก จึงเรียกว่าฝนไซโคลน ฝนแบบนี้มีระยะเวลาในการตกนานแต่ความหนักเบาต่ำ การกระจายของฝนที่ตกจะมากน้อยขึ้นกับมุมของการสัมผัสระหว่างก้อนอากาศอุ่นและเย็น

## 5. อุณหภูมิอากาศ

### 5.1 นิยามและความหมาย

อนุภาคของอากาศเป็นตัวการทางฟิสิกส์ที่สำคัญในกระบวนการเปลี่ยนแปลงทางอากาศ การแพร่รังสีเป็นกระบวนการที่ทำให้อุณหภูมิเหนือนอกพื้นผิวโลกมีการเปลี่ยนแปลง รังสีคลื่นสั้นจากดวงอาทิตย์แพร่รังสีมาในช่วงเวลากลางวันและผ่านเข้ามายังชั้นบรรยากาศของโลก ซึ่งถูกคัดซับไว้น้อยมากเมื่อเทียบกับปริมาณรังสีที่แพร่ออกมากทั้งหมด สำหรับวันที่ห้องฟ้าแจ่มใสรังสีคลื่นสั้นที่เดินทางมาถึงโลกมีปริมาณมากกว่ารังสีคลื่นยาวที่ถูกส่งออกไป ทำให้อุณหภูมิของโลกเพิ่มมากขึ้น ดังนั้นจึงทำให้อุณหภูมิของอากาศที่พื้นผิวโลกเพิ่มสูงขึ้นด้วยเช่นกัน ส่วนการแพร่รังสีออกจากโลกนั้นปกติมีการแพร่รังสีทั้งในเวลากลางวันและกลางคืน ซึ่งในคืนที่ห้องฟ้าปลอดโปร่งพื้นผิวดินมีการปล่อยรังสีคลื่นยาวออกไปสู่ชั้นบรรยากาศทำให้อากาศซึ่งสัมผัสนับพื้นดินเย็นลงและส่งผลต่อไปยังอุณหภูมิอากาศให้ลดต่ำลงตามไปด้วย (Wallace and Hobbs, 1977 อ้างใน ประภัสสร, 2549)

นอกจากนี้ กระบวนการระเหยและการควบแน่นก็เป็นกระบวนการที่ทำให้อุณหภูมิมีการเปลี่ยนแปลงไป การระเหยน้ำจากแหล่งน้ำหรือความชื้นจากผิวโลก ต้องการพลังงานความร้อนในการระเหย ซึ่งถ้าแหล่งพลังงานความร้อนที่มาจากการแหล่งน้ำหรือพื้นผิวดิน การระเหยก็ไม่ส่งผลกระแทกต่ออุณหภูมิของอากาศเนื่องจากความร้อนส่วนมากนั้นถูกเก็บสะสมไว้ในน้ำหรือความชื้น

ในดิน และเมื่อเปรียบเทียบกับความร้อนที่สะสมในอากาศในกรณีที่อากาศเย็นและเกิดการควบแน่นส่งผลให้มีพลังงานความร้อนถูกปลดปล่อยออกมากทำให้อัตราการลดลงของอุณหภูมิช้าลง

## 5.2 ความผันแปรของอุณหภูมิ

ความผันผวนของอุณหภูมิอากาศใกล้พื้นดิน เมื่อพื้นดินได้รับความร้อนจากการแผ่รังสีของดวงอาทิตย์จะร้อนกว่าอากาศที่อยู่เบื้องบน และเมื่อผ่านกระบวนการแลกเปลี่ยนความร้อนโดยการนำความร้อนระหว่างอากาศชั้นล่างกับพื้นดิน อากาศที่อยู่ดีกับพื้นดินมากที่สุดจะเย็นที่สุด สาเหตุของการเกิดอุณหภูมิผกผันตามความสูงในเวลากลางคืนมีสาเหตุด้วยกันดังนี้คือ

5.2.1 ฤดูหนาวที่มีช่วงกลางคืนยาว ความร้อนที่โลกสูญเสียไปมีมากกว่าความร้อนที่โลกได้รับ

5.2.2 ในวันที่มีห้องฟ้าแจ่มใส การสูญเสียความร้อนโดยการแผ่รังสีของพื้นดินเป็นไปอย่างรวดเร็ว

5.2.3 ในคืนที่ลมสงบ พื้นผิวดินเย็นตัวลงอย่างรวดเร็ว มีการผสมคุกเคล้าระหว่างอากาศที่พื้นดินและอากาศ ที่อยู่เหนือพื้นดินเล็กน้อยทำให้อากาศที่อยู่เบื้องล่างเย็นกว่าเบื้องบน

Wallace and Hobbs (1977 อ้างใน ประภัสสร, 2549) กล่าวว่าการเปลี่ยนแปลงอุณหภูมิรายวันเกิดขึ้นจากการรับพลังงานที่แพร่มาจากดวงอาทิตย์และการแผ่พลังงานจากพื้นผิวดินออกโลกสู่บรรยากาศ โดยโลกได้รับพลังงานจากดวงอาทิตย์ในเวลาเช้าจากนั้นปริมาณที่ได้รับก็จะเพิ่มมากขึ้นเรื่อยๆ จนถึงเวลาเที่ยงวัน ซึ่งเป็นเวลาที่พื้นผิวโลกได้รับพลังงานจากดวงอาทิตย์มากที่สุด จากนั้นปริมาณพลังงานที่ได้รับก็ลดน้อยลง ตามลำดับจนหมดแสง สำหรับการเปลี่ยนแปลงของอุณหภูมิรายวันสัมพันธ์กับปริมาณรังสีคลื่นสั้นจากดวงอาทิตย์ที่ตกลงบนพื้นผิวโลกเมื่อพื้นผิวโลกมีอุณหภูมิสูงขึ้น ทำให้สามารถแผ่รังสีคลื่นยาวสู่บรรยากาศได้มากขึ้น อากาศเหนือพื้นผิวโลกได้รับพลังงานดังกล่าวจึงทำให้มีอุณหภูมิเพิ่มขึ้น หลังจากนั้นอุณหภูมิของอากาศก็จะลดลงเรื่อยๆ ตามปริมาณพลังงานที่พื้นผิวโลกได้รับจากดวงอาทิตย์

## 6. ปริมาณน้ำท่า

### 6.1 นิยามและความหมาย

การศึกษาเกี่ยวกับปริมาณน้ำในส่วนที่อยู่ในวัฏจักรของน้ำนั้น วิชา (2535) กล่าวไว้ว่า การศึกษาวัฏจักรของน้ำ ประกอบด้วยการศึกษาน้ำใน 4 ขั้นตอนหรือกระบวนการ คือ 1) การสูญเสียน้ำจากแหล่งน้ำสู่บรรยากาศ 2) การเกิดฝน 3) การแพร่สภาพน้ำฝน 4) การเก็บกักน้ำสำหรับการศึกษาในเรื่องของปริมาณน้ำฝนที่แพร่สภาพเป็นปริมาณน้ำในลักษณะต่าง ๆ น้ำในลำธาร (stream flow) เป็นส่วนหนึ่งที่เกิดจากการแพร่สภาพของน้ำฝน น้ำในลำธารนี้อาจเรียกว่า “น้ำท่า” ซึ่งเป็นคำที่ใช้กันทั่วไป ในหมู่นักอุทกศาสตร์ นักการจัดการลุ่มน้ำ และนักการชลประทาน

การเปลี่ยนแปลงปริมาณน้ำท่า เกิดจากการเปลี่ยนแปลงของส่วนต่าง ๆ ในสมดุลน้ำอันได้แก่ ปริมาณน้ำที่เข้าสู่พื้นที่ เช่น การเปลี่ยนแปลงของสภาพภูมิอากาศ ปริมาณน้ำฝน การเปลี่ยนแปลงในส่วนที่นำสูญเสียออกจากพื้นที่ ได้แก่ การรายระเหยน้ำ ซึ่งเปลี่ยนแปลงไปตามการเปลี่ยนแปลงการใช้ที่ดินเพื่อมีการใช้น้ำที่แตกต่างกันในแต่ละการใช้ที่ดิน ดังนั้นมีการเปลี่ยนแปลงภูมิอากาศ (อุณหภูมิ และปริมาณน้ำฝน) มีผลทำให้สมดุลของน้ำของพื้นที่ศึกษานั้นเปลี่ยนแปลงไป โดยเฉพาะปริมาณน้ำท่าที่ออกจากพื้นที่ศึกษา (เจยภู, 2544)

Ward (1974) สรุปไว้ว่า น้ำท่ามีพิมพ์มาอยู่ 4 แหล่ง คือ

6.1.1 น้ำใต้ดิน (groundwater flow) เกิดจากน้ำฝนที่ตกลงมาแล้วซึมลงไปในดิน เป็นแหล่งน้ำที่สำคัญที่ปลดปล่อยออกสู่ล้ำธารอย่างช้า ๆ ตลอดเวลา

6.1.2 น้ำในส่วนที่ไอลอออกสู่ล้ำธารทั้งทางตรงและทางข้าง (infiltration) และขณะที่ซึมผ่านชั้นดินต่าง ๆ ซึ่งมีความสามารถในการยอมให้การซึมผ่านแตกต่างกัน ประกอบกับพื้นที่ที่มีความลาดเอียง ทำให้น้ำในส่วนนี้บางส่วนไอลอออกสู่ล้ำธารทั้งทางตรงและด้านข้าง

6.1.3 น้ำไหลบนพื้นดิน (overland flow) เกิดจากน้ำฝนที่ตกลงกันไม่สามารถซึมผ่านผิวดินได้ทันประกอบกับพื้นที่มีความลาดเอียง ทำให้น้ำส่วนที่เกินนี้ไหลลงสู่ล้ำธาร

6.1.4 น้ำฝนที่ตกลงสู่ลำธาร โดยตรง (channel precipitation) เกิดจากปริมาณน้ำฝนที่ตกลงมาบนผิวของน้ำในลำธาร

## 6.2 ปัจจัยที่มีอิทธิพลต่อการไหลของน้ำท่า

ปัจจัยที่ควบคุมปริมาณและลักษณะการไหลของน้ำท่ามี 3 ปัจจัยด้วยกันคือ ลักษณะภูมิอากาศ ลักษณะภูมิประเทศ และกิจกรรมการใช้ที่ดิน โดยแต่ละปัจจัยส่งผลต่อลักษณะทางอุทกวิทยาในลุ่มน้ำดังนี้

6.2.1 ลักษณะภูมิอากาศ ได้แก่ ความชื้น อุณหภูมิ ปริมาณน้ำฝน ซึ่ง สมเดือน (2522) กล่าวว่าความชื้นหรืออุณหภูมนี้ คือ ฝน ที่ภาคเหนือได้รับปริมาณร้อยละ 40 ได้มาจากมวลอากาศที่พัดมาจากทะเลอันดามันร้อยละ 30 ได้มาจากลมฟายตะวันออกจากทะเลจีนใต้ และอีกร้อยละ 30 มาจากมวลอากาศที่พัดมาจากอ่าวไทย หรือจากลมฝ่ายใต้ เพิ่มศักดิ์ (2522) พบว่า ปริมาณน้ำในลำธาร ในป่าดิบเขารมชาติภาคเหนือของประเทศไทยได้รับจากปริมาณน้ำฝน ปริมาณร้อยละ 65 ของปริมาณน้ำฝนที่ตกทั้งหมด บุญช่วย (2536) พบว่าปริมาณน้ำฝนของลุ่มน้ำ มูล มีความสัมพันธ์กับปริมาณน้ำท่ามากที่สุด เมื่อเปรียบเทียบกับปัจจัยทางชีวภาพอื่น ๆ ของพื้นที่ ลุ่มน้ำ และเมื่อมีค่าความหนักเบาของฝนกระหายทั่วทั้งบริเวณพื้นที่ลุ่มน้ำ จะทำให้เกิดปริมาณน้ำท่าเพิ่มขึ้นอย่างรวดเร็ว โดยปัจจัยรอง ได้แก่ ปัจจัยด้านภูมิอากาศอื่น ๆ เช่น อุณหภูมิ อัตราการระเหย น้ำ ความเร็วลม และรังสีดวงอาทิตย์โดยมีผลกับอัตราการคายระเหยของพืช โดยตรง และเกยม (2539) กล่าวว่าการกระจายของฝน ชนิดของฝน ปริมาณน้ำฝนที่ตกในวันก่อน ๆ (antecedent rainfall) การระเหยน้ำจากลุ่มน้ำ และกระบวนการคายน้ำของพืช ต่างก็มีผลต่อปริมาณการไหลของน้ำในลำธารด้วยเช่นกัน

## 6.2.2 ลักษณะทางภูมิกายภาพ

1) ความลาดชันของพื้นที่และความลาดชันของลำธาร โดยรวมรัตน์ (2540) ได้ศึกษาอิทธิพลของลักษณะทางกายภาพลุ่มน้ำที่มีต่อช่วงเวลาการไหลของน้ำ พบว่าช่วงน้ำหลัก ปัจจัยความลาดชันของพื้นที่และความลาดชันของลำธารสายหลัก มีอิทธิพลอย่างเด่นชัดเป็นปัจจัยแรกในทุกภาคของประเทศไทย ส่วนในช่วงแล้งฝนปัจจัยแรกที่มีอิทธิพลต่อลุ่มน้ำในภาคตะวันออกเฉียงเหนือ คือพื้นที่ลุ่มน้ำและความหนาแน่นของลำธาร ส่วนในลุ่มน้ำภาคใต้คือขนาด

พื้นที่ลุ่มน้ำและรูปร่างคุณน้ำและลุ่มน้ำภาคเหนือพบว่าลักษณะทางกายภาพลุ่มน้ำไม่มีอิทธิพลอย่างเด่นชัดต่อช่วงเวลาการไหลของน้ำในลำธารในช่วงแล้งฝน

2) ชนิดของดินโดยที่ Custodio *et al.* (1991) กล่าวว่าลักษณะดิน มีผลต่อปริมาณน้ำท่าในเรื่องของน้ำไหลบ่าหน้าดินและการขยายระยะเหยน้ำ ดินที่มีความสามารถให้น้ำซึมผ่านได้ดีทำให้เกิดน้ำไหลบ่าหน้าดินสูง ความสามารถในการยึดน้ำของดินแต่ละชนิดส่งผลต่อการขยายน้ำและการขยายของน้ำ ถ้าดินยึดน้ำไว้ได้สูงก็ส่งผลให้มีหยาดน้ำฟ้าลดลงไปด้วย ดินเป็นตัวที่ช่วยบรรเทาลมพิษของน้ำได้ดี และช่วยป้องกันแหล่งน้ำได้ดีนั้นด้วย

3) ระดับความสูงและทิศทางด้านลาด พื้นที่สูงอุณหภูมิและความดันอากาศต่ำ เมื่อมวลอากาศซึ่งเคลื่อนที่มาประทับเข้าที่ดังข้างต้นทิศทางการเคลื่อนที่ มวลอากาศจะถูกบังคับให้เคลื่อนที่สูงขึ้นเกิดการกลับตัวเป็นฝนที่เรียกว่า orographic rain ตกลงด้านภูเขาที่รับลม (สมเจตน์, 2522) พื้นที่ที่อยู่ในระดับสูง ๆ นั้นมักมีปริมาณฝนมากกว่าในพื้นที่ต่ำส่งผลให้มีปริมาณน้ำในลำธารมากตามไปด้วย ส่วนทิศทางด้านลาดที่อยู่ด้านทิศเหนือและทิศตะวันออก จะมีความชื้นมากกว่าด้านทิศใต้ และทิศตะวันตก

4) ลักษณะการระบายน้ำ โดยธรรมชาติแล้วระบบการระบายน้ำของลุ่มน้ำเป็นผลเนื่องมาจากวิวัฒนาการก่อกำเนิดลุ่มน้ำ ซึ่งได้เกิดมาเป็นพัน ๆ ปี การศึกษาการระบายน้ำเป็นส่วนหนึ่งของนักวิชาการจัดการจัดการลุ่มน้ำ เพราะเป็นการช่วยป้องกันภัยธรรมชาติและการบริการต่อประชาชน ซึ่งเกณฑ์ (2539) กล่าวว่าโดยทั่วไปแล้ว พื้นที่ลุ่มน้ำที่มีลักษณะแน่นและมีความยวลดารามาก จะมีความสามารถในการระบายน้ำดี และพื้นที่ลุ่มน้ำที่มีการระบายน้ำดีให้น้ำที่มีคุณภาพดีเช่นกัน

5) ขนาดของพื้นที่ จากการศึกษาของนิพนธ์ (2525) พบว่าขนาดของพื้นที่ลุ่มน้ำมีอิทธิพลต่อการไหลของน้ำในลำธาร เท่ากับร้อยละ 23.9 รองจากปริมาณน้ำฝน และจากการศึกษาของ Ruangpanit and Tangtham (1982) พบว่าขนาดของพื้นที่ลุ่มน้ำมีอิทธิพลต่อการไหลของน้ำในลำธารถึงร้อยละ 62 เกณฑ์และนิพนธ์ (2525) กล่าวว่าลุ่มน้ำที่มีขนาดพื้นที่ขนาดใหญ่ฐานของไทรครรภ์จะกว้าง และส่วนยอด (peak) จะไม่สูงชันหรือลดลงอย่างรวดเร็วเมื่อเทียบกับพื้นที่ลุ่มน้ำขนาดเล็ก และขนาดพื้นที่ลุ่มน้ำอาจมีอิทธิพลในการควบคุมอัตราการไหลของน้ำในลำธารได้บ้าง ซึ่งเป็นอิทธิพลทางอ้อม คือลุ่มน้ำขนาดใหญ่มีแนวโน้มที่ทำให้น้ำในลำธารไหลอย่างสม่ำเสมอตลอดปี เนื่องจากลุ่มน้ำขนาดใหญ่มีพื้นที่กว้าง ทำให้มีคุณสมบัติในการเก็บกักน้ำ

แตกต่างกันไปตามปัจจัยต่าง ๆ เช่น พืชพรรณที่ปกคลุมพื้นที่ ลักษณะสันฐานลุ่มน้ำ และลักษณะการตอบของฝน ซึ่งมีความหลากหลายในพื้นที่ลุ่มน้ำขนาดใหญ่มากกว่าลุ่มน้ำขนาดเล็ก ทำให้ลุ่มน้ำขนาดใหญ่มีน้ำระบายน้ำลงสู่ลำธาร ได้ดีกว่าลุ่มน้ำขนาดเล็กที่แห้งขอดก่อนลุ่มน้ำขนาดใหญ่ ลุ่มน้ำขนาดใหญ่มักมีรูปร่างคล้ายรูปพัดหรือรูปกลมรี ส่วนลุ่มน้ำขนาดเล็กมักมีรูปร่างไม่แน่นอน จึงทำให้ความสามารถในการระบายน้ำแตกต่างกัน

6.2.3 กิจกรรมการใช้ประโยชน์ที่ดิน การเปลี่ยนแปลงการใช้ประโยชน์ที่ดินจากพื้นที่ป่าธรรมชาติไปสู่พื้นที่การใช้ประโยชน์ที่ดินอื่น ๆ ทำให้เกิดการเปลี่ยนแปลงและก่อผลกระทบต่อวัฏจักรของน้ำทำให้ปริมาณน้ำในลำธารในพื้นที่ลุ่มน้ำแต่ละพื้นที่ลุ่มน้ำได้ผลแตกต่างกันไปดังผลการศึกษาของเรณู (2524) พบว่าลุ่มน้ำป่าดิบเขารมชาติมีความผันแปรของปริมาณน้ำในลำธารรายเดือนไม่มากนัก น้ำไหลสม่ำเสมอตลอดทั้งปีในขณะที่พื้นที่ลุ่มน้ำที่ปักคลุมด้วยป่าเบญจพรรณหรือป่าเต็งรัง น้ำในลำธารมักขาดหายในฤดูแล้ง (เกย์ม และนิพนธ์, 2525) ส่วนวิชา (2523) พบว่าลุ่มน้ำหัวขันศาสตร์ซึ่งเป็นป่าดิบแล้งให้น้ำชับตลอดปีไม่ว่าอากาศจะแล้งจัดก็ตาม ยังคงให้น้ำในลำธารตลอดไปในขณะที่ลุ่มน้ำที่เป็นป่าเต็งรังลำธารมักไม่มีน้ำไหลออกจากช่วงเวลาหลังฝนตกเท่านั้นและเมื่อป่าเต็งรังอยู่ปะปนกับป่าดิบแล้งทำให้ศักย์การให้น้ำของพื้นที่ลุ่มน้ำต่ำลงไปและช่วงเวลาการไหลของน้ำในลำธารสั้นขึ้น

## 7. ผลกระทบของการเปลี่ยนแปลงภูมิอากาศในประเทศไทย

โดยผลกระทบที่เกิดขึ้นจากการเปลี่ยนแปลงภูมิอากาศสามารถจำแนกได้ดังนี้

7.1 ป่าไม้ จากการวิเคราะห์ผลกระทบของการเปลี่ยนแปลงสภาพภูมิอากาศต่อพื้นที่ป่าไม้ โดยใช้ภาพจำลองสภาพภูมิอากาศ ที่มีค่าตัวแปรภูมิอากาศ เช่น ปริมาณน้ำฝน อุณหภูมิ และแสงแดดทำการศึกษาเปรียบเทียบกรณีที่ก้าชาร์บอนไดออกไซด์มีปริมาณคงที่ (พ.ศ. 2533) และมีปริมาณเพิ่มขึ้นเป็นสองเท่า โดยใช้ผลการวิเคราะห์จากแบบจำลอง GCMs (general circulation models) สามแบบจำลอง พบว่า ถ้าหากปริมาณก้าชาร์บอนไดออกไซด์เพิ่มขึ้นเป็นสองเท่า จะทำให้โครงสร้างของป่าไม้เปลี่ยนแปลงเป็นอย่างมาก โดยป่าเบต้อนในพื้นที่ส่วนใหญ่ของประเทศไทยลดลงในขณะที่ป่าในพื้นที่ภาคใต้จะเพิ่มขึ้น ป่าบางประเภท เช่นป่าดิบแล้ง (dry evergreen forest) จะเพิ่มมากขึ้นในแถบภาคเหนือและการคาดว่าอุณหภูมิจะเพิ่มขึ้น 2-4 องศาเซลเซียส (สำนักงานคณะกรรมการพัฒนาการเศรษฐกิจและสังคมแห่งชาติ, ม.ป.ป.)

7.2 การเกยต์ฯ จากการศึกษาผลการทดสอบการเปลี่ยนแปลงสภาพภูมิอากาศต่อผลผลิตของข้าวในจังหวัดพระนครศรีอยุธยา โดยใช้แบบจำลองที่ประกอบด้วยสภาพภูมิอากาศ ประเภทของคืน ชนิดพื้นที่ และวิธีการเพาะปลูก โดยแบบจำลองนี้นำไปใช้กับทั้งข้าวนาปีและนาปรังเพื่อศึกษาถึงผลการทดสอบที่เกิดขึ้นกับผลผลิตของข้าวพื้นที่ต่าง ๆ 5 พื้นที่ และประเภทของคืน 2 แบบ เมื่อทำการทดลองโดยสมมติว่ามีการเพิ่มขึ้นของปริมาณกําชาร์บอนไดออกไซด์ 2 เท่า พบร่วมกับการเพิ่มผลผลิตของข้าวบางชนิดพื้นที่ของข้าวนาปีเพิ่มขึ้น แต่บางชนิดพื้นที่กลับลดลงทำให้ผลการทดสอบโดยรวมไม่มากนัก แต่ถ้าหากมีการปลูกข้าวเพียงพื้นที่ใดพื้นที่หนึ่งผลการทดสอบจะมีมาก ไม่ว่าเพิ่มขึ้นหรือลดลง ด้านข้าวนาปรัง พบร่วมกับการเพิ่มผลผลิตสูงขึ้น อย่างไรก็ตามแบบจำลองที่นำมาใช้นี้มีความยุ่งยาก และผลที่ได้อาจไม่ตรงกับผลที่เกิดขึ้นจริง (สำนักงานคณะกรรมการพัฒนาการเศรษฐกิจและสังคมแห่งชาติ, ม.ป.ป.)

นอกจากนี้การเปลี่ยนแปลงสภาพภูมิอากาศจะมีผลทำให้ความหลากหลายทางชีวภาพเปลี่ยนแปลงไป ทำให้สัตว์และพืชบางชนิดสูญพันธุ์ ศัตรูของพืชบางอย่างไม่สามารถควบคุมได้ เช่น การบุกรุกของตัวแทนที่เกิดขึ้นในประเทศไทย เช่น สวนประเทศไทยนั้นผลของการแปรปรวนของอากาศทำให้เกิดปัญหาความมั่นคงทางอาหาร (food security) เนื่องจากความผันผวนของอากาศที่ไม่สอดคล้องกับวิถีชีวิตของเกษตรกรไทย ที่มักมีแบบแผนในการทำการเกษตรอยู่แล้ว แต่ต่อไปนี้ไม่เหมือนเดิมแล้ว ถ้าที่หว่านกล้าไม่มีฝนตก ข้าวอาจตายได้ เมื่อถึงฤดูแล้งเก็บเกี่ยวกลั่นมีน้ำท่วม รวมไปถึงผลกระทบต่อการปลูกยางพาราที่เกษตรกรรู้ดีว่า ช่วงเวลาที่กรีนน้ำยางได้ดีคือช่วงที่ไม่มีฝน ซึ่งเกษตรกรภาคใต้ต้องเผชิญกับปัญหานี้แน่นอน เพราะว่าฤดูฝนของภาคใต้จะยาวนานขึ้น นอกจากยางจะกรีดไม่ได้แล้วน้ำยางจะไม่มีคุณภาพ คุณภาพยางก็จะตกต่ำลง (ชนวัฒน์, 2549) ซึ่งภาวะแห้งแล้งที่เกิดขึ้นในปี พ.ศ. 2534 โดยเกิดปรากฏการณ์ฝนทึ่งช่วง อาการร้อนและแห้งแล้ง ตามด้วยความชื้นสัมพัทธ์ในอากาศสูงติดต่อกันยาวนานในภาคเหนือ ส่งผลให้เกิดการระบาดของโรคไข้หมื่นของต้นข้าวระยะคอร์ว (neck blast) ในข้าวพื้นที่ กท 6 อย่างรุนแรง โดยเฉพาะอย่างยิ่งในจังหวัดเชียงใหม่และลำพูน ซึ่งมีสภาพแวดล้อมที่เหมาะสมกับการระบาดของโรคดังกล่าว ซึ่งเป็นปรากฏการณ์ที่ไม่เคยเกิดขึ้นมาก่อน และล่าสุดในปี พ.ศ. 2547 ในภาคตะวันออกเฉียงเหนือตอนกลางและตอนล่าง เกิดปรากฏการณ์ฤดูฝนสั้นสุดเร็วกว่าปกติถึงแต่เดือนกันยายน ข้าวจึงขาดน้ำในช่วงการสร้างเมล็ด ส่งผลให้คุณภาพของข้าวสารลดลง (สถาบันสิ่งแวดล้อมไทย, 2550)

7.3 ทรัพยากรน้ำ จากการวิเคราะห์แนวโน้มของผลกระทบจากการเปลี่ยนแปลงสภาพภูมิอากาศต่อทรัพยากรน้ำนั้น ได้มีการศึกษาโดยการประเมินผลกระทบต่อข้อความสามารถในการกักเก็บน้ำของเขื่อนศรีนครินทร์และในพื้นที่ลุ่มน้ำเจ้าพระยา ผลการศึกษาของน้ำในเขื่อนศรีนครินทร์ซึ่งให้เห็นว่าอัตราการระเหยของน้ำที่เพิ่มสูงขึ้น อาจทำให้ปริมาณน้ำในลุ่มน้ำแห้งอีกครั้งใน 10 - 15 ปี ส่วนการศึกษาในลุ่มน้ำเจ้าพระยา พบว่าอุณหภูมิที่เพิ่มขึ้นและปริมาณฝนที่ตกน้อยลงอันเนื่องจากการเปลี่ยนแปลงสภาพภูมิอากาศ อาจทำให้ปริมาณน้ำท่าในลุ่มน้ำเจ้าพระยาลดลงมากกว่าร้อยละ 34 - 44 (สำนักงานคณะกรรมการพัฒนาการเศรษฐกิจและสังคมแห่งชาติ, ม.ป.ป.)

7.4 ภัยธรรมชาติ ผลกระทบที่เห็นได้ชัดจากการเปลี่ยนแปลงภูมิอากาศคือ การเกิดภัยธรรมชาติน้ำท่วมอย่างรุนแรงที่เกิดขึ้นในหลายพื้นที่ โดยเฉพาะวัตถุที่เกิดขึ้นอย่างรุนแรงทั่วโลก ตัวอย่างเช่น ในปี พ.ศ. 2541 เกิดพายุเซอร์เคนมิตซ์ ทำให้ประชาชนในประเทศไทยเสียชีวิตกว่า 75,000 คน หรือการเกิดพายุเซอร์เคนแคร์ทิน่าที่พัดกระหน่ำชายฝั่งของมลรัฐหลุยเซียน่า ประเทศสหรัฐอเมริกา สร้างผลให้ผู้คนสูญหาย ล้มตาย และไร้ที่อยู่อาศัยเป็นจำนวนมากอย่างที่ไม่เคยประสบมาก่อน สำหรับในประเทศไทย ได้ประสบภัยน้ำท่วมและอุทกภัยที่ส่งผลเสียหายอย่างรุนแรงขึ้น ทั้งต่อชีวิตและทรัพย์สินหลายครั้ง ตัวอย่างเช่นเหตุการณ์น้ำท่วมและโคลนถล่มที่บ้านน้ำก้อ จังหวัดเพชรบูรณ์ และที่บ้านแม่รำมาด จังหวัดตาก หรือเหตุการณ์ฝนตกหนักติดต่อกันเป็นระยะเวลานาน จนทำให้เกิดภาวะน้ำท่วมหนักใน 47 จังหวัดของประเทศไทย ในช่วงปี พ.ศ. 2549 เป็นต้น (สถาบันสิ่งแวดล้อมไทย, 2550)

กล่าวโดยสรุป การเปลี่ยนแปลงสภาพภูมิอากาศได้ส่งผลกระทบต่อสรรพสิ่งบนโลกในวงกว้างอย่างต่อเนื่อง แบบค่อยเป็นค่อยไป ซึ่งผลกระทบบางประการ นักวิทยาศาสตร์ก็ยังไม่อาจพิสูจน์ได้อีกต่อไป แต่ต้องยอมรับว่าผลกระทบจากการเพิ่มขึ้นของอุณหภูมิของโลก แต่อย่างไรก็ตามในท้ายที่สุดแล้ว “มนุษย์” จะเป็นผู้ได้รับผลกระทบจากภาวะดังกล่าว ดังนั้น การรอดอยเพื่อพิสูจน์สาเหตุของผลกระทบที่เกิดขึ้นเหล่านี้จึงไม่สำคัญเท่ากับการบรรเทาผลกระทบที่เกิดขึ้นแล้ว โดยการร่วมกันแก้ไขการกระทำหรือกิจกรรมที่เราเชื่อกันว่าเป็นสาเหตุของการเกิดภาวะโลกร้อนในปัจจุบันซึ่งจำเป็นต้องอาศัยการร่วมมือของทุกคนในปริมาณที่มากเพียงพอที่จะลดผลกระทบที่เกิดขึ้นดังกล่าว

## 8. งานวิจัยที่เกี่ยวข้อง

Tangitham and Jessada (2000 อ้างใน เจษฎา, 2544) ได้ศึกษาผลกระทบของความเป็นไป ได้ของภาวะโลกร้อนต่อสมดุลน้ำในลุ่มน้ำเจ้าพระยา พ布ว่าปริมาณน้ำฝนในอนาคตมีแนวโน้มลดลง และมีอุณหภูมิเฉลี่ยเพิ่มขึ้นทำให้ปริมาณน้ำท่าของลุ่มน้ำเจ้าพระยามีแนวโน้มลดลงร้อยละ 30 – 50 ในช่วงปีที่มีการบ่อนไดออย่างไรค์เพิ่มขึ้นเป็น 2 เท่า (ปี ค.ศ. 2069 – 2079)

จำนง (2548) ได้ศึกษาข้อมูลทางด้านอุตุนิยมวิทยาจากข้อมูล 54 ปีตั้งแต่ปี พ.ศ. 2494 ซึ่ง เป็นปีแรกที่เริ่มมีการตรวจวัดข้อมูลจนถึง พ.ศ. 2547 พ布ว่าอุณหภูมิของประเทศไทยมีแนวโน้ม สูงขึ้นทั้งอุณหภูมิเฉลี่ย อุณหภูมิสูงสุดเฉลี่ย และอุณหภูมิต่ำสุดเฉลี่ย เป็นที่น่าสังเกตว่าปี พ.ศ. 2541 ซึ่งเป็นปีที่เกิดปรากฏการณ์โอลนีโญรุนแรง ประเทศไทยมีอากาศร้อนอบอ้าวและ อุณหภูมิสูงกว่าปกติมาก โดยเฉพาะอุณหภูมิสูงสุดเฉลี่ยสูงกว่าปกติเกินกว่า 1 องศาเซลเซียส ส่วน ปริมาณน้ำฝนและจำนวนวันที่ฝนตกมีแนวโน้มลดลง ปีที่มีฝนต่ำกว่าปกติส่วนใหญ่สอดคล้องกับ ปีที่เกิดปรากฏการณ์โอลนีโญรุนแรง ซึ่งได้แก่ ปี พ.ศ. 2500 - 2502, 2515 - 2526, 2533 - 2536 และ 2540 – 2541 และปีที่น้ำฝนสูงกว่าปกติส่วนใหญ่สอดคล้องกับปีที่เกิดปรากฏการณ์ลานีญารุนแรง คือ ปี พ.ศ. 2497- 2498, 2517 - 2519, 2531 – 2532 และ 2542 – 2543

วีระศักดิ์ และคณะ (2551) ศึกษาการพัฒนาระบบพยากรณ์อากาศและโอกาสความสำเร็จ ในการปฏิบัติการฝนหลวงในสภาวะโลกร้อน บริเวณประเทศไทย จากการวิเคราะห์การเปลี่ยนแปลงอุณหภูมิของอากาศจากสถานีตรวจอากาศที่ตั้งอยู่ในแต่ละพื้นที่ในแต่ละภูมิภาคอากาศ จำนวน 88 สถานี ตั้งแต่เริ่มทำการตรวจดูจนถึงปัจจุบัน โดยการวิเคราะห์ค่าอัตราการเพิ่มขึ้นของ อุณหภูมิเฉลี่ยสูงสุดแบบเฉลี่ยราย 3, 5 และ 10 ปี อย่างต่อเนื่องทุกปี (moving average 3, 5 and 10 years) ของแต่ละภูมิภาค พ布ว่าบริเวณที่มีอัตราการเพิ่มขึ้นของอุณหภูมิเฉลี่ยมากที่สุดในประเทศไทย คือ บริเวณที่มีฝนปานกลางถึงฝนหนัก มีฤดูกาลที่อากาศเย็นและแห้งแล้ง บริเวณภาคเหนือ ของประเทศไทย (B4) และบริเวณที่มีฝนปานกลางถึงฝนหนักในเขตมรสุมที่มีฤดูฝนแล้งชัดเจน (C1) นอกจากนี้ได้ศึกษาถึงการกระจายของฝนในประเทศไทยโดยจำแนกข้อมูลออกเป็นกลุ่มข้อมูล ในสภาวะอากาศแบบต่าง ๆ และแยกเป็นข้อมูลช่วงเดือนต่าง ๆ เพรียบเทียบระหว่างก่อนปี พ.ศ. 2540 และช่วงปี พ.ศ. 2540 ถึง 2550 พ布ว่าในปัจจุบันเกือบทุกภาคภูมิอากาศมีปริมาณฝนเฉลี่ย มากกว่าในอดีต ยกเว้นบริเวณที่มีฝนปานกลาง (B2) และพื้นที่แห้งแล้งบริเวณอื่น ซึ่งมีปริมาณฝน น้อยลงกว่าเดิม ทั้งนี้เนื่องจากการคำนวณปริมาณฝนเฉลี่ยได้รวมปีที่เกิดปรากฏการณ์โอลนีโญ

ล้านปี และปีปกติเข้าด้วยกัน จึงอาจทำให้ค่าในปัจจุบันมีปริมาณฝนเฉลี่ยสูงขึ้นตามปีล้านปีที่เกิดในช่วงระหว่างปี พ.ศ. 2540 ถึง พ.ศ. 2550

วิรัช และคณะ (2552) ได้ศึกษาถึงพฤติกรรมของอุณหภูมิเฉลี่ยและปริมาณน้ำฝนเฉลี่ยรายเดือนของประเทศไทย ซึ่งประกอบด้วย (1) แนวโน้มการเปลี่ยนแปลงรายปี โดยการวิเคราะห์สมการสหสมพันธ์เชิงเส้น (linear regression) (2) การเปรียบเทียบค่าเฉลี่ยรายเดือนของข้อมูลในอดีตก่อนและหลังปี ก.ศ. 1995 และ (3) พฤติกรรมของความการเกิดชำ ด้วยเทคนิคการแปลงเวฟเล็ต (wavelet transform) เพื่อตอบคำถามว่าสภาพภูมิอากาศและสภาพน้ำฝนในประเทศไทย มีการเปลี่ยนแปลงไปจากอดีตหรือไม่ ผลการศึกษาพบว่าอุณหภูมิเฉลี่ยรายปีของประเทศไทยมีแนวโน้มเพิ่มสูงขึ้นในทุกพื้นที่ของประเทศไทยประมาณ 0.01 - 0.04 องศาเซลเซียสต่อปี อุณหภูมิเฉลี่ยรายเดือนเพิ่มสูงขึ้นจากในอดีตโดยเฉพาะอย่างยิ่งในฤดูหนาว ส่วนแนวโน้มปริมาณน้ำฝนรายปีมีลักษณะที่แตกต่างกันไปตามพื้นที่ แต่โดยรวมมีแนวโน้มลดลงเล็กน้อย ปริมาณน้ำฝนเฉลี่ยรายเดือนส่วนมากเพิ่มขึ้นในฤดูแล้งและลดลงในฤดูฝน สำหรับการศึกษาพฤติกรรมของความการเกิดชำพบว่า ความการเกิดชำที่ 1 ปีของอุณหภูมิเฉลี่ยและน้ำฝนมีความชัดเจนลดลงอย่างมีนัยสำคัญ เมื่อเปรียบเทียบข้อมูลช่วงเวลา ก่อนและหลังปี ก.ศ. 1995 พฤติกรรมเหล่านี้สอดคล้องกับช่วงเวลาการเกิดปรากฏการณ์เอลนิโญครั้งสำคัญในช่วงดังกล่าว ผลการศึกษานี้ทำให้เชื่อได้ว่าสภาพอากาศของประเทศไทยได้เริ่มมีการเปลี่ยนแปลงไปจากเดิม ตั้งแต่ปี ก.ศ. 1995 แล้ว

Yaning et al. (2007) ศึกษาผลกระทบของการเปลี่ยนแปลงสภาพภูมิอากาศต่อทรัพยากร้ำน้ำในคลุ่มน้ำ Tarim ในตะวันตกเนียงหนែของประเทศจีน โดยใช้ข้อมูลพื้นฐานทางอุทกวิทยา อุณหภูมิและปริมาณน้ำฝนจาก 50 ปีที่ผ่านมา ผลการศึกษาพบว่าในรอบ 50 ปี ที่ผ่านมา มีอุณหภูมิเพิ่มขึ้นร้อยละ 5 หรือเพิ่มสูงขึ้นเกือบ 1 องศาเซลเซียส และยังมีปริมาณฝนเพิ่มมากขึ้น โดยมีนัยสำคัญในช่วงปี 1980 - 1990 และ 1990 - 2000 และปริมาณฝนเฉลี่ยรายปีก็มีแนวโน้มเพิ่มมากขึ้น 6.8 มิลลิเมตรต่อทศวรรษ จากการเปลี่ยนแปลงที่เกิดขึ้นทั้งอุณหภูมิและปริมาณฝนทำให้ปริมาณน้ำท่าจากต้นน้ำแม่น้ำ Tarim เพิ่มขึ้นอย่างมีนัยสำคัญในช่วง 20 ปีที่ผ่านมา จากการเพิ่มขึ้นของอุณหภูมิ ปริมาณน้ำฝน และปริมาณน้ำท่า การศึกษานี้อาจนำมาประกอบกับการเปลี่ยนแปลงของสภาพภูมิอากาศได้

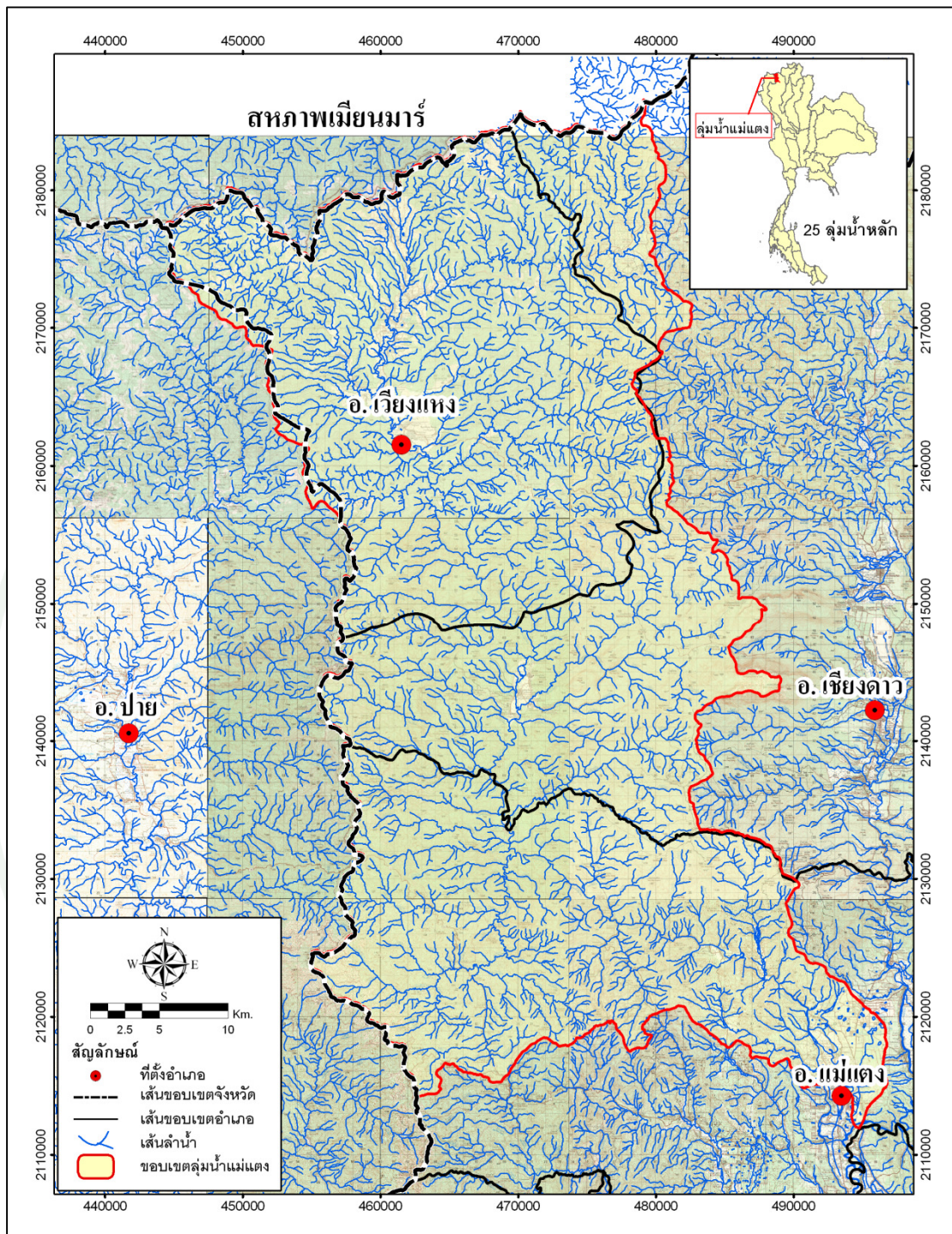
## พื้นที่ศึกษา

ลุ่มน้ำที่ทำการศึกษาเป็นลุ่มน้ำที่ทางนิติคณาธารรัฐมนตรี พ.ศ. 2536 ได้กำหนดให้ลุ่มน้ำแม่แตง ลุ่มน้ำเชญ และลุ่มน้ำคลองยัน เป็นลุ่มน้ำตัวอย่างของประเทศไทย โดยกำหนดให้ลุ่มน้ำแม่แตง เป็นตัวแทนลุ่มน้ำภาคเหนือ ซึ่งอยู่ในเขตจังหวัดเชียงใหม่ ลุ่มน้ำเชญเป็นตัวแทนลุ่มน้ำภาคตะวันออกเฉียงเหนือ อยู่ในเขตจังหวัดเพชรบูรณ์ ขอนแก่น และชัยภูมิ และลุ่มน้ำคลองยัน เป็นตัวแทนลุ่มน้ำในภาคใต้อよyu ในเขต จังหวัดระนอง และสุราษฎร์ธานี ซึ่งการกำหนดลุ่มน้ำทั้งสามนี้ เพื่อเป็นตัวแทนในการสร้างแผน หรือแนวทางในการจัดการลุ่มน้ำต่าง ๆ ซึ่งมีชั้นคุณภาพลุ่มน้ำครบถ้วน 5 ระดับชั้น ตลอดจนมีการบุกรุกเข้าทำประโภชน์จากพื้นที่ลุ่มน้ำนั้น ๆ หลายรูปแบบแตกต่างกัน (สำนักงานนโยบายและแผนทรัพยากรธรรมชาติและสิ่งแวดล้อม, 2537)

### 1. ลุ่มน้ำแม่แตง

1.1 ที่ดังและอาณาเขต ลุ่มน้ำแม่แตงเป็นลุ่มน้ำอยู่ส่วนหนึ่งของลุ่มน้ำปิงตอนบน เป็นตัวแทนของลุ่มน้ำทางภาคเหนือของประเทศไทย ตั้งอยู่ระหว่างพิกัด 2111907 – 2186594 mN. และ 444584 – 496870 mE. ตามแผนที่ภูมิประเทศของกรมแผนที่ทหาร มาตราส่วน 1 : 50,000 ลำดับชุด L7018 ระหว่าง 4647 I, 4647 II, 4648 II, 4748 III, 4748 II, 4747 IV, 4747 I, 4747 III และ 4747 II อยู่ในเขตอำเภอแม่แตง จังหวัดเชียงใหม่และติดต่อกับสาธารณรัฐสัมคุนนิยมแห่งสหภาพเมียนมาร์ ทางตอนเหนือของลุ่มน้ำดังแสดงในภาพที่ 5

1.2 ลักษณะภูมิประเทศ ลุ่มน้ำแม่แตงมีพื้นที่ครอบคลุมประมาณ 1,962.29 ตาราง กิโลเมตร พื้นที่ส่วนใหญ่มีลักษณะเป็นภูเขาสูงปักคลุ่มด้วยป่า โดยความสูงเฉลี่ยทั้งพื้นที่เท่ากับ 1,160.50 เมตรจากระดับน้ำทะเลปานกลาง และมีความลาดชันเฉลี่ยร้อยละ 23.21 ดังภาพที่ 5 และ ข้อมูลลักษณะทางภูมิศาสตร์กายภาพ ดังตารางผนวกที่ 1



ภาพที่ 5 ที่ตั้งและลักษณะภูมิประเทศของคลุ่มน้ำแม่แตง จังหวัดเชียงใหม่

ที่มา: กรมแผนที่ทหาร (2552)

1.3 ลักษณะภูมิอากาศ เนื่องจากลุ่มน้ำแม่แตงเป็นเขางสูงจึงมีอากาศเย็นและฝนตกชุด ซึ่งได้รับอิทธิพลมาจากมรสุมเขตร้อนพัดผ่าน โดยมีลมมรสุมตะวันตกเฉียงใต้กับลมมรสุมตะวันออกเฉียงเหนือ และพายุโชนร้อนจากมหาสมุทรแปซิฟิกบ้างในบางโอกาส โดยมีปริมาณน้ำฝนเฉลี่ย 1,446.16 มิลลิเมตร ปริมาณน้ำฝนต่ำมากที่สุด 309.56 มิลลิเมตร ในเดือนสิงหาคมมีอุณหภูมิเฉลี่ยรายวัน 24.92 องศาเซลเซียส อุณหภูมิสูงสุดเฉลี่ย 30.61 องศาเซลเซียส อุณหภูมิค่าสุดเฉลี่ย 19.22 องศาเซลเซียส อุณหภูมิสูงสุดในเดือนมีนาคม 35.74 องศาเซลเซียส อุณหภูมิค่าสุดเดือนธันวาคม 11.92 องศาเซลเซียส ซึ่งเป็นฤดูหนาว (กรมอุตุฯ แห่งชาติสัตว์ป่าและพันธุ์พืช, ม.ป.ป.)

1.4 ลักษณะพืชพรรณ จากอดีตที่ผ่านมาพื้นที่ส่วนใหญ่ปกคลุมไปด้วยป่าดิบเขา (hill evergreen forest) โดยมีป่าเต็งรังที่ไม่มีดิบเข้าผสมอยู่ (dry dipterocarp with pine forest) แทรกตัวอยู่เป็นหย่อม ๆ บริเวณสันเขาและไหหล่า พันธุ์ไม้เด่นที่ขึ้นอยู่ในบริเวณดังกล่าวมีได้แก่ ก่อเดือย (*Castanopsis acuminatissima*) ก่อแป้น (*Castanopsis diversifolia*) ทะโล๊ (*Schima wallichii*) แข้งกว้าง (*Wendlandia paniculata*) สารกีป้า (*Mammea siamensis*) ในบริเวณป่าดิบเขา ส่วนในบริเวณที่เป็นป่าเต็งรังพันธุ์ไม้เด่นได้แก่ พลวง และเต็ง (กรมอุตุฯ แห่งชาติสัตว์ป่าและพันธุ์พืช, ม.ป.ป.)

1.5 ลักษณะทางธรณีวิทยา ลุ่มน้ำแม่แตงส่วนใหญ่เป็นภูเขาประกอบด้วยหินอัคนีจำพวกแกรนิต และแกรนิตoids ที่เกิดในยุคต่าง ๆ พนมมากเป็นบริเวณกว้างในตอนใต้ของพื้นที่สำหรับหินแกรนิตและแกรนิตoids ที่พบทางตะวันตกเฉียงเหนือของนั้นเกิดในระหว่างยุคไชลูเรียนตอนปลายกับการบอนิเฟอร์สตอนต้น พบรหินชั้นและหินแปร บริเวณทางตอนกลางชั้นไปทางตอนเหนือของพื้นที่ มีอายุอยู่ในยุคการบอนิเฟอร์สตอนต้น ส่วนใหญ่เป็นหินทราย หินเกร็ย แวด หินกรวดมน และหินดินดาน ในบริเวณตอนกลางของพื้นที่ลุ่มน้ำลงมาทางตอนใต้และทางตะวันตกเฉียงใต้ เป็นหินยุคไชลูเรียน ดีโวเนียน และยุคเพอร์เมียน หินที่พบส่วนใหญ่เป็นพะกหินปูน หินดินดาน หินชีลต์ และหินทราย กระจายอยู่ทั่วไป นอกจากนั้นยังพบตะกอนล้าน้ำ ซึ่งเกิดตลอดตามแนวล้าน้ำแม่แตงเป็นแนวแคบ ๆ ตะกอนล้าน้ำเหล่านี้อยู่ในยุคควาเทอร์นารี (สำนักงานนโยบายและแผนทรัพยากรธรรมชาติและสิ่งแวดล้อม, 2537)

1.6 ลักษณะทางปฐพีวิทยา ดินในพื้นที่ลุ่มน้ำแม่แตงมีความอุดมสมบูรณ์ ทึ่งในบริเวณที่ตอนที่มีความชันต่ำและบริเวณพื้นที่สูงชัน เนื่องจากพื้นที่ในที่ลุ่มของลุ่มน้ำมีลักษณะเป็นส่วนหนึ่งของแอ่งหุบเขา ซึ่งได้รับวัสดุที่ส่างเสริมให้คินมีความอุดมสมบูรณ์ในระดับดีจากน้ำและตะกอนจากที่ที่สูงกว่า และมีสภาพภูมิอากาศที่มีช่วงลดอัตราการย่อยสลาย และการสูญเสียสารที่มี

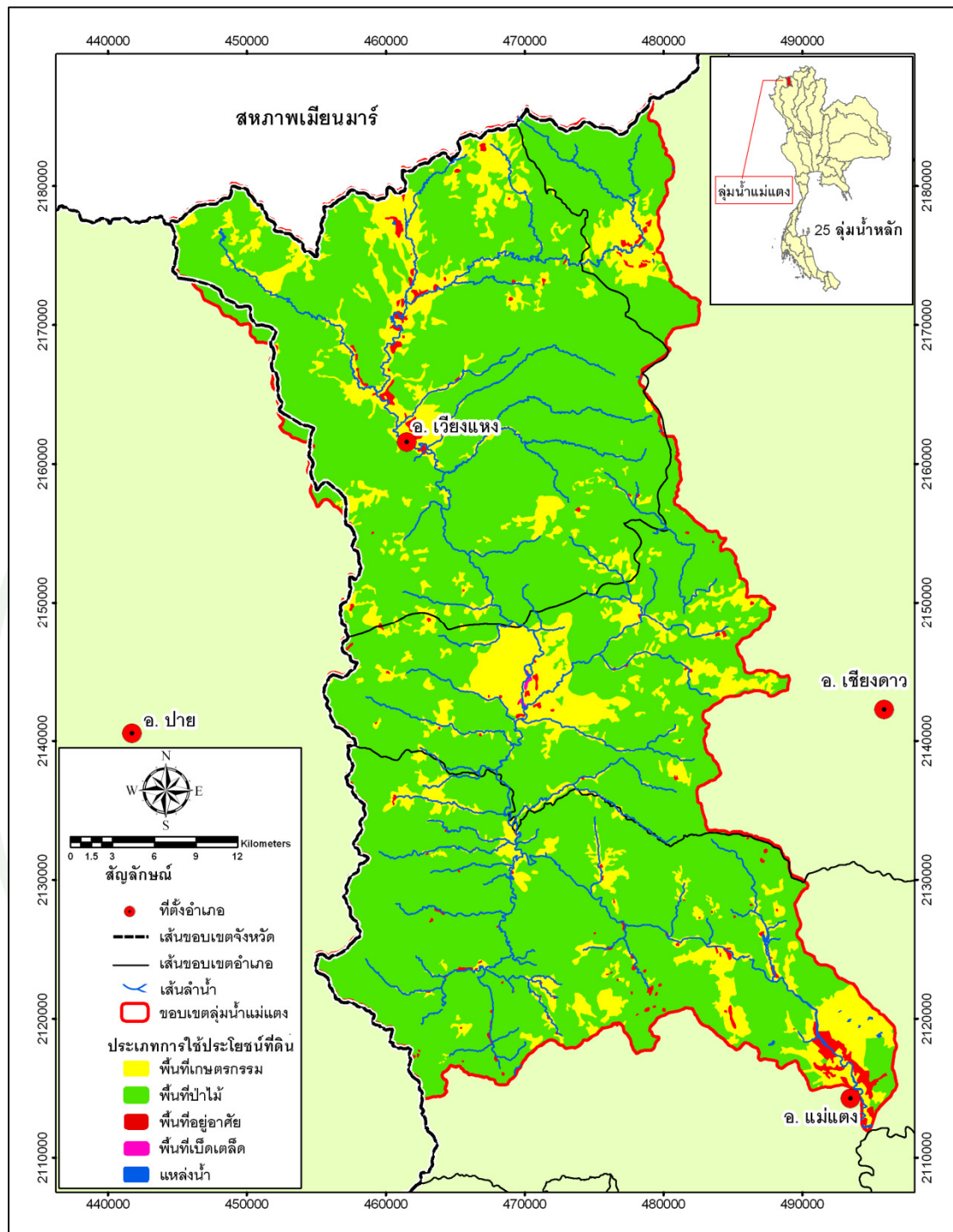
กิจกรรมสูงในดินในแต่ละปีนาพอที่จะทำให้เกิดภาวะการณ์อนุรักษ์ภายนในระบบของดินเองจากผลตังกล่าวทำให้ดินมีศักยภาพสูงสุดทางการเกษตร (ดำเนินงานนโยบายและแผนทรัพยากรธรรมชาติและสิ่งแวดล้อม, 2537)

1.7 การใช้ประโยชน์ที่ดินในพื้นที่ลุ่มน้ำแม่แตง จากแผนที่การใช้ประโยชน์ที่ดินของ กรมพัฒนาที่ดิน (2552) (ตารางที่ 2) พบว่ามีพื้นที่เกษตรกรรม 330.02 ตารางกิโลเมตร คิดเป็นร้อยละ 16.82 ของพื้นที่ทั้งหมด โดยส่วนใหญ่ทำพืชไร่หมุนเวียนผสมและผลไม้มีเมืองหนาว กระจายอยู่ทั่วตอนบนและตอนกลางของลุ่มน้ำ สำหรับพื้นที่ป่าไม้ปะมาณ 1,605.54 ตารางกิโลเมตร คิดเป็นร้อยละ 81.82 กระจายอยู่ทั่วลุ่มน้ำโดยส่วนใหญ่มีป่าดิบเข้า และป่าสนเข้า สำหรับ สำหรับการตั้งถิ่นฐานมีหมู่บ้านอยู่บริเวณตอนล่างของลุ่มน้ำ และตอนบนใกล้แม่น้ำ ส่วนใหญ่เป็นหมู่บ้านบนพื้นที่สูง ดังภาพที่ 6

ตารางที่ 2 การใช้ประโยชน์ที่ดินบริเวณพื้นที่ลุ่มน้ำแม่แตง จังหวัดเชียงใหม่

ประเภท	พื้นที่ (ตร.กม.)	ร้อยละ
พื้นที่เกษตรกรรม	330.02	16.82
พื้นที่ป่าไม้	1,605.54	81.82
พื้นที่เบ็ดเตล็ด	0.63	0.03
พื้นที่อยู่อาศัย	24.26	1.24
แหล่งน้ำ	1.84	0.09
รวม	1,962.29	100.00

ที่มา: กรมพัฒนาที่ดิน (2552)



ກາພທີ່ 6 ກາຣໃຫ້ປະໄຍຊນ໌ທີ່ດິນໃນພື້ນທີ່ລຸ່ມນ້ຳແຕງ ປີ ພ.ສ. 2552

ກົມາ: ກຽມພັດນາທີ່ດິນ (2552)

1.8 สภาพปัจจุบันของพื้นที่ลุ่มน้ำแม่แตง มีลักษณะของปัจจุบันและกิจกรรมหลักหลายประการ เช่น การตั้งถิ่นฐานและการทำการเกษตรบนพื้นที่สูงโดยชาวไทยภูเขา การทำเหมืองแร่ การปลูกปาล์ม油พื้นที่ด้านน้ำลำธาร ในขณะนี้มีหน่วยงานต่าง ๆ เข้าไปดำเนินกิจกรรมในพื้นที่ เช่น กรมป่าไม้จัดทำโครงการพัฒนาที่สูงสามหมื่น เพื่อแก้ไขปัญหาและปรับปรุงคุณภาพชีวิตชาวไทยภูเขา และศูนย์พัฒนาโครงการหลวงเข้าดำเนินโครงการส่งเสริมชาวไทยภูเขาให้ปลูกพืชทดแทนฝืน เป็นต้น สภาพปัจจุบันที่พบในปัจจุบันได้แก่ ป่าดันน้ำลำธารลูกนุกรุกทำลาย การทำการเกษตรบนพื้นที่สูง ทั้งแบบถาวรและแบบไว้เลื่อนลอย การเกิดไฟป่า การชะล้างพังทลายของดิน และการทับถมของตะกอนในพื้นที่ตอนล่างของลุ่มน้ำ อุทกวิญญา และการขาดแคลนไม้ใช้สอย

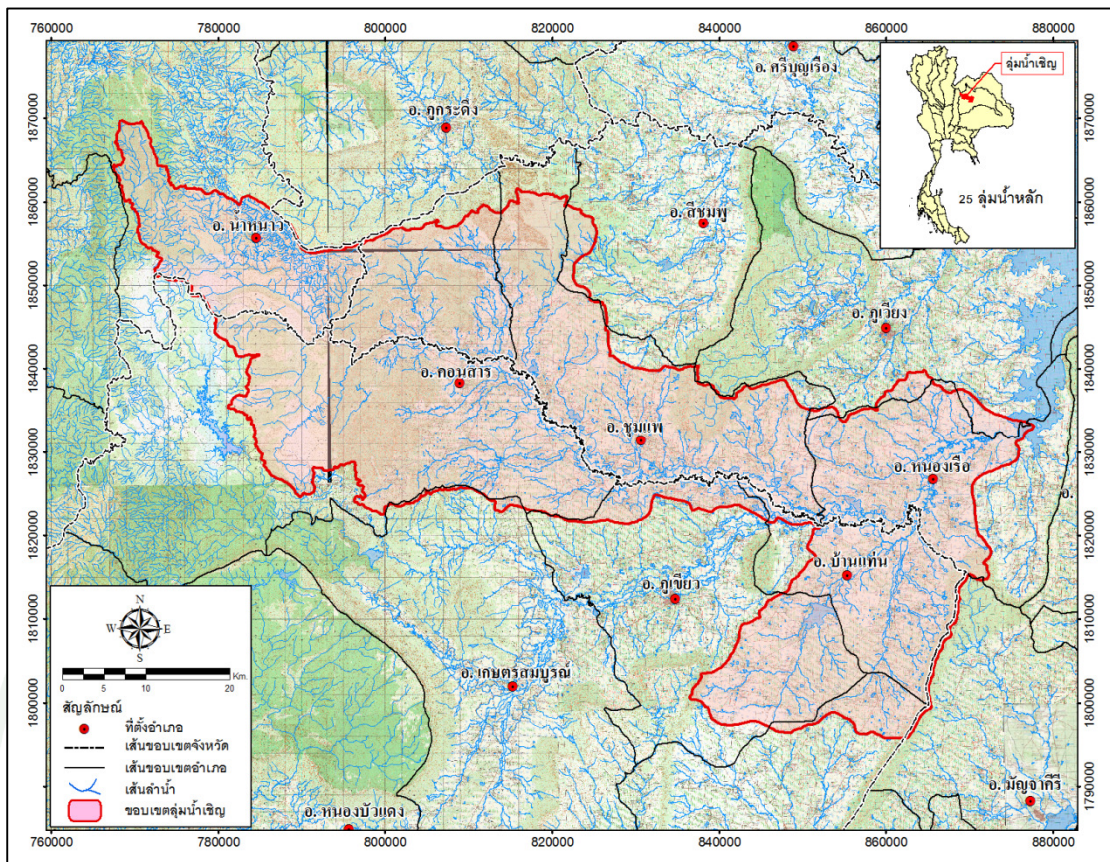
## 2. ลุ่มน้ำเชียง

2.1 ที่ดึําและอาณาเขตลุ่มน้ำเชียงเป็นตัวแทนของลุ่มน้ำในภาคตะวันออกเฉียงเหนือของประเทศไทย ตั้งอยู่ระหว่างพิกัด 1795668 – 1869808 mN. และ 767422 – 877829 mE. ตามแผนที่ภูมิประเทศของกรมแผนที่ทหาร มาตราส่วน 1 : 50,000 ลำดับชุด L7018 ระหว่าง 5342 IV, 5342 I, 5442 IV, 5342 III, 5342 II, 5442 III, 5442 II, 5542 III, 5341 IV, 5341 I, 5441 IV, 5441 I, 5441 III และ 5441 II ตั้งอยู่ในเขตจังหวัดเพชรบูรณ์ ขอนแก่น และชัยภูมิ ดังแสดงในภาพที่ 7

2.2 ลักษณะภูมิประเทศ ลุ่มน้ำเชียงมีพื้นที่ครอบคลุมประมาณ 2,911.51 ตารางกิโลเมตร มีลักษณะภูมิประเทศโดยทั่วไปเป็นพื้นที่เขาสูงทางด้านทิศเหนือ ตะวันตกและทิศใต้ มีพื้นที่ราบถึงลุ่นลอนลาดลับเป็นเขาก้างค้อนกลางและทิศตะวันออกของลุ่มน้ำ โดยความสูงเฉลี่ยทั้งพื้นที่เท่ากับ 644.50 เมตรจากระดับน้ำทะเลปานกลาง และมีความลาดชันเฉลี่ยร้อยละ 12.89 ดังภาพที่ 7 และข้อมูลลักษณะทางภูมิศาสตร์กายภาพ ดังตารางผนวกที่ 2

2.3 ลักษณะภูมิอากาศ ลุ่มน้ำเชียงมีลักษณะภูมิอากาศแบบทุ่งหญ้าชาระหว่างเดือนเมษายนและตุลาคม มีอุณหภูมิเฉลี่ย 27 องศาเซลเซียส และมีปริมาณน้ำเฉลี่ยฝนราย 1,116 มิลลิเมตร สภาพอากาศโดยทั่วไปอยู่ภายใต้อิทธิพลของลมมรสุมตะวันออกเฉียงใต้ และลมมรสุมตะวันออกเฉียงเหนือ และในบางครั้งมีพายุดีเปรสชันพัดมาจากทะเลจีนใต้ทำให้มีฝนตกหนักในช่วงฤดูฝน (รัศมี, 2550)

2.3.1 อิทธิพลของลมมรสุมตะวันตกเฉียงใต้ ทำให้มีฝนช่วงเดือนพฤษภาคมถึงเดือนตุลาคม มีฝนตกหนักในเดือนสิงหาคมถึงเดือนกันยายนรวมทั้งมีพายุดีเปรสชันพัดเข้ามาจากประเทศเวียดนามด้วย



ภาพที่ 7 ที่ตั้งและลักษณะภูมิประเทศของคุ่มน้ำเชิญ จังหวัดชัยภูมิ ขอนแก่น และเพชรบูรณ์

ที่มา: กรมแผนที่ทหาร (2552)

2.3.2 อิทธิพลของรสมุตระวันออกเฉียงเหนือ เมื่อผ่านพื้นจากอิทธิพลของรสมุตระวันตกเฉียงใต้ ลักษณะอากาศโดยทั่วไปก็เริ่มเข้าสู่ภาวะแห้งแล้ง และอุณหภูมิอากาศลดลง อันเนื่องมาจากอิทธิพลของรสมุตระวันออกเฉียงเหนือ ซึ่งได้รับอิทธิพลโดยตรงจากการความกดอากาศสูงในประเทศไทยช่วงเวลาดังกล่าวเริ่มตั้งแต่เดือนพฤษภาคมถึงเดือนกุมภาพันธ์ส่วนช่วงเวลาที่เหลือระหว่างกลางเดือนมีนาคมถึงเดือนพฤษภาคมเป็นช่วงฤดูร้อน ลักษณะอากาศโดยทั่วไปในช่วงเวลานี้จะมีอุณหภูมิสูงและแห้งแล้ง

2.4 ลักษณะพืชพรรณ สภาพเดิมของพืชพรรณในบริเวณพื้นที่คุ่มน้ำเป็นป่าเบญจพรรณ เป็นตึ่งรัง และป่าดินแด้ง แต่ในปัจจุบันถูกเปลี่ยนเป็นพื้นที่การเกษตรอย่างกว้างขวาง โดยเน้นด้านการเพาะปลูกพืชไร่โดยเนพะข้าวโพดเลี้ยงสัตว์ ส่วนไม้ยืนต้นประเภทไม้ผลมีน้อย (สำนักงานนโยบายและแผนทรัพยากรธรรมชาติและสิ่งแวดล้อม, 2537)

2.5 ลักษณะทางชีววิทยา พบว่าประกอบไปด้วยหินในหลายช่วงอายุหินที่พบส่วนใหญ่ เป็นหินซึ้นและหินแปรซึ่งมีหินรายเป็นส่วนประกอบมากที่สุด พบมากในบริเวณตอนเหนือลง มาถึงตอนกลางของพื้นที่ลุ่มน้ำเป็นหินที่เกิดในยุคไทรแอสซิกตอนต้น ทางด้านตะวันออกของ พื้นที่พบหินดินดานและหินปูนในยุคเพอร์เมียนทางด้านตะวันตกของพื้นที่หินที่พบส่วนใหญ่เป็น หินราย และหินดินดานในยุคจูแรสซิกส่วนตอนเหนือสุดของพื้นที่พบหินดินดาน หินราย และ หินปูนในยุคเพอร์เมียน (สำนักงานนโยบายและแผนทรัพยากรธรรมชาติและสิ่งแวดล้อม, 2537)

2.6 ลักษณะทางปูรุพวิทยา ดินในเขตพื้นที่ลุ่มน้ำเช่นมีลักษณะเด่นอยู่ 3 ประการ ตาม สำนักงานนโยบายและแผนทรัพยากรธรรมชาติและสิ่งแวดล้อม (2537) คือ

2.6.1 พื้นที่หรือที่ดินส่วนใหญ่มีลักษณะผิวน้ำเป็นแบบเนินเขาที่มีความชันเฉลี่ย ร้อยละ 16 – 30 ดินส่วนใหญ่เป็นดินลึกและมีพัฒนาการตั้งแต่ปานกลางถึงสูงสมบัติของดินเอง โดยทั่วไปสามารถใช้ผลิตพืชทางการเกษตรได้ แต่ต้องมีการจัดการเกี่ยวกับปูยเพื่อรักษาผลผลิตให้อยู่ในระดับที่พึงพอใจ

2.6.2 ดินส่วนใหญ่ที่อยู่ในพื้นที่สามารถใช้ประโยชน์ทางการเกษตรได้ แต่มีศักยภาพ ปานกลาง ซึ่งเป็นลักษณะทั่วไปของดินที่ดอนในเขตต่อเนื่องระหว่างที่ลุ่มและที่ดอนของภาค ตะวันออกเฉียงเหนือ กล่าวคือดินมีข้อจำกัดกับเนื้อดินซึ่งมีผลต่อการอุ่มน้ำซึ่งทำให้มีข้อจำกัด เกี่ยวกับการผลิตพืชไร่ที่ดอนค่อนข้างชัดเจน

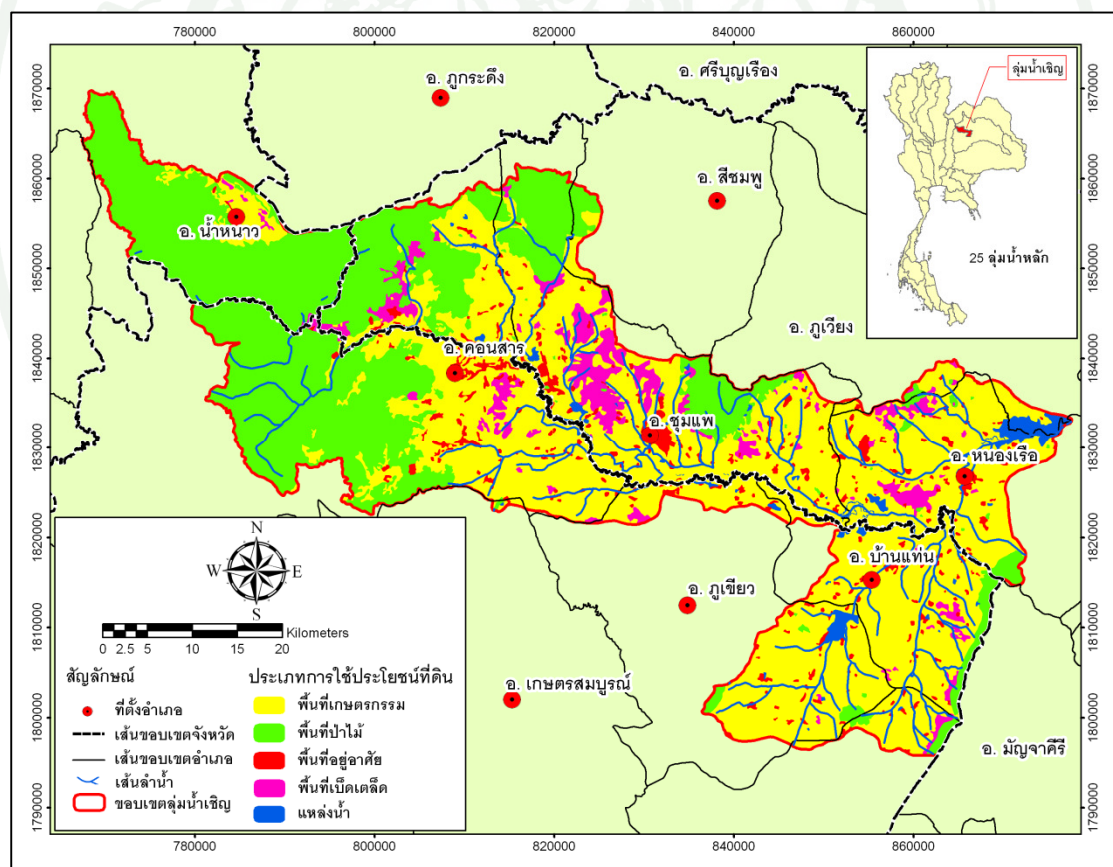
2.6.3 ดินส่วนใหญ่ของพื้นที่ลุ่มน้ำเป็นดินที่มีความอุดมสมบูรณ์ต่ำซึ่งเป็นลักษณะ ตามธรรมชาติของดินในเขตนี้ การใช้ที่ดินเพื่อผลผลิตทางการเกษตรในแบบทุกบริเวณจะต้องการ การจัดการด้านปูยเพื่อรักษาระดับผลผลิต และดินส่วนใหญ่เพิ่มผลผลิตพืชจากการจัดการด้านปูย ในสภาพที่เป็นอยู่ในปัจจุบันได้ไม่มากนัก

2.7 การใช้ประโยชน์ที่ดิน จากแผนที่การใช้ประโยชน์ที่ดินของ กรมพัฒนาที่ดิน (2552) (ตารางที่ 3) พบว่ามีพื้นที่เกษตรกรรม 1,592.54 ตารางกิโลเมตร คิดเป็นร้อยละ 54.70 ของพื้นที่ ทั้งหมด โดยส่วนใหญ่ปลูกอ้อยและข้าวโพดเลี้ยงสัตว์ กระจายอยู่ทั่วทางตอนกลางและตอนล่างของ ลุ่มน้ำ สำหรับพื้นที่ป่าไม้ประมาณ 1,014.29 ตารางกิโลเมตร คิดเป็นร้อยละ 34.84 ส่วนใหญ่อยู่ทาง ตอนบนของลุ่มน้ำเป็นป่าพัดดับไบเดื่อมโตรน สำหรับการตั้งถิ่นฐานมีหมู่บ้านอยู่บริเวณตอนกลาง ของลุ่มน้ำ ดังภาพที่ 8

ตารางที่ 3 การใช้ประโยชน์ที่ดินบริเวณพื้นที่ลุ่มน้ำเชิง จังหวัดชัยภูมิ ขอนแก่น และเพชรบูรณ์

ประเภท	พื้นที่ (ตร.กม.)	ร้อยละ
พื้นที่เกษตรกรรม	1,592.54	54.70
พื้นที่ป่าไม้	1,014.29	34.84
พื้นที่เบื้องเตล็ด	151.80	5.21
พื้นที่อยู่อาศัย	113.45	3.90
แหล่งน้ำ	39.34	1.35
รวม	2,911.42	100.00

ที่มา: กรมพัฒนาที่ดิน (2552)



ภาพที่ 8 การใช้ประโยชน์ที่คุณในพื้นที่กลุ่มน้ำแม่เชิญ ปี พ.ศ. 2552

## ที่มา: กรมพัฒนาที่ดิน (2552)

2.8 สภาพปัจจุหาของพื้นที่ลุ่มน้ำชิญมีลักษณะของปัจจุหาและกิจกรรมหลักที่สำคัญ คือ การตั้งถิ่นฐานของประชากรและการทำการเกษตรแบบชาวบ้าน บริเวณพื้นที่ลุ่มน้ำชั้นที่ 1A การก่อสร้างสันทางคมนาคมและการให้บริการด้านสาธารณูปโภค เนื่องจากประชากรส่วนใหญ่ไม่มีที่ดินเป็นของตนเอง จึงเกิดปัจจุหาการบุกรุกทำลายป่า เพื่อทำการเกษตรและตั้งถิ่นฐานอย่างชาว化合物แนวโน้มเพิ่มขึ้นอย่างรวดเร็ว ประชากรจึงประสบปัญหาขาดแคลนน้ำใช้เพื่อการอุปโภคบริโภค

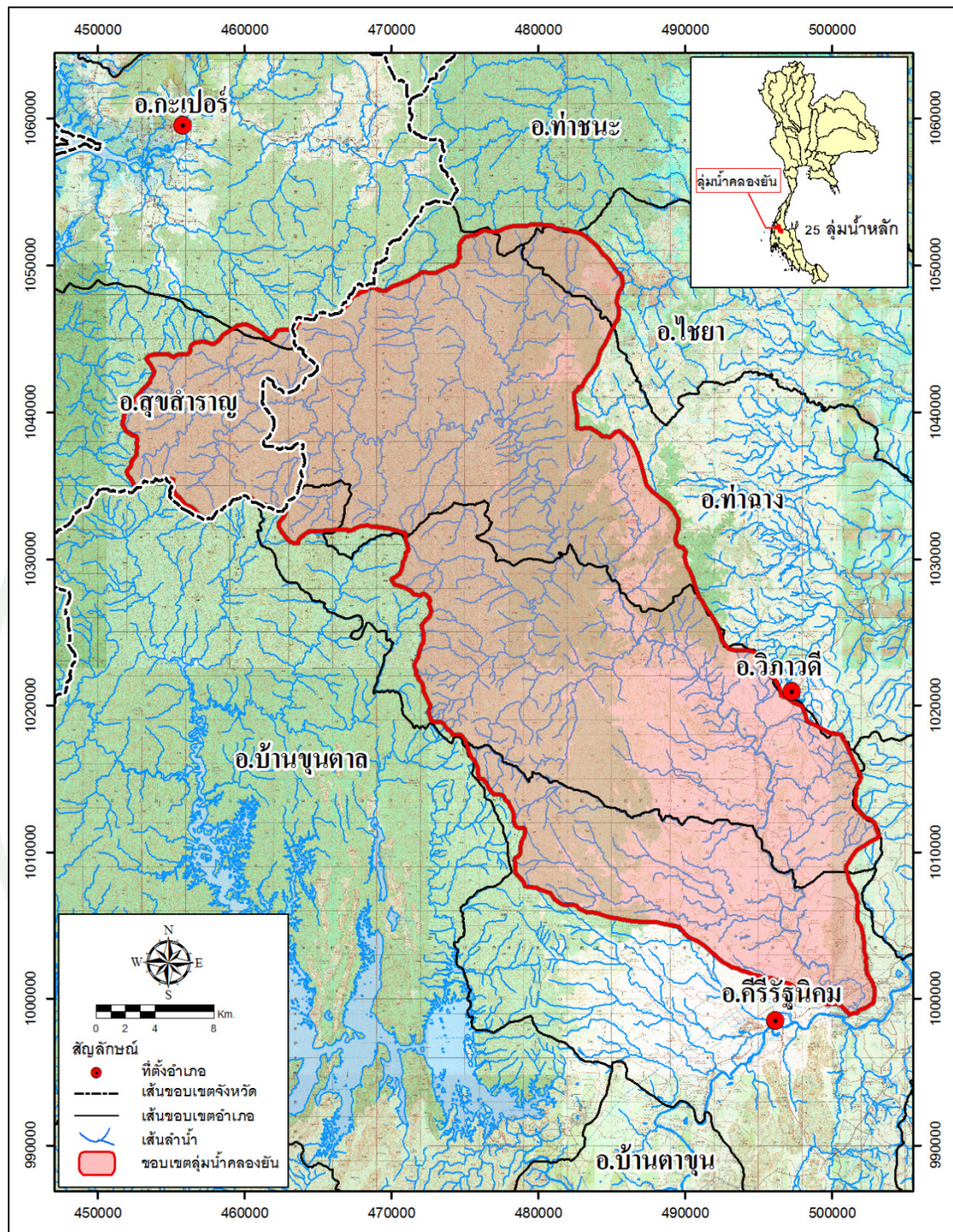
### 3. ลุ่มน้ำคลองยัน

3.1 ที่ดึํงและอาณาเขต ลุ่มน้ำคลองยัน เป็นตัวแทนของลุ่มน้ำทางภาคใต้ของประเทศไทย ตั้งอยู่ระหว่างพิกัด 998639 – 1052767 mN. และ 451827 – 503423 mE. ตามแผนที่ภูมิประเทศของกรมแผนที่ทหาร มาตราส่วน 1 : 50,000 ลำดับชุด L7018 ระหว่าง 4728 II, 4727 IV, 4727 I, 4727 III, 4727 II และ 4827 III ตั้งอยู่ในเขตจังหวัดสุราษฎร์ธานี และจังหวัดระนอง ดังแสดงในภาพที่ 9

3.2 ลักษณะภูมิประเทศ ลุ่มน้ำคลองยันมีพื้นที่ครอบคลุมประมาณ 1,168.01 ตารางกิโลเมตร สภาพภูมิประเทศของลุ่มน้ำคลองยันเป็นที่ราบสลับเนินเขาสองแนวขนานกันในแนวเหนือใต้ โดยความสูงเฉลี่ยทั้งพื้นที่เท่ากับ 709.50 เมตรจากระดับน้ำทะเลปานกลาง และมีความลาดชันเฉลี่ยร้อยละ 14.19 มีคลองยันเป็นลำน้ำสายหลักในเขตอุทยานชาติแก่งกรุง มีต้นกำเนิดที่เกิดจากเทือกเขาตอนกลางของพื้นที่มีความยาวประมาณ 121.84 กิโลเมตร ดังภาพที่ 9 และข้อมูลลักษณะทางภูมิศาสตร์ภายนอก ดังตารางผนวกที่ 3

3.3 ลักษณะภูมิอากาศ สภาพภูมิอากาศโดยทั่วไปเป็นป่าดิบชื้น ทำให้มีฝนตกเกือบทตลอดปี และมีอากาศค่อนข้างเย็น มีฤดูร้อนระหว่างเดือนกุมภาพันธ์ถึงเมษายน และฤดูฝนระหว่างเดือนพฤษภาคมถึงมกราคม โดยฤดูฝนแบ่งเป็น 2 ช่วง คือ ช่วงเดือนพฤษภาคมถึงตุลาคม และช่วงเดือนพฤษจิกายนถึงมกราคม จำนวนวันที่ฝนตกโดยเฉลี่ย 147 วัน ต่อปี อุณหภูมิเฉลี่ยตลอดปีประมาณ 28.08 องศาเซลเซียส และความชื้นสัมพัทธ์เฉลี่ยตลอดปีร้อยละ 61.25 (ภัทร์ประภา, 2549)

3.4 ลักษณะพืชพรรณ เนื่องจากลุ่มน้ำคลองยันมีภูมิประเทศเป็นเทือกเขาสลับซับซ้อนมีปริมาณฝนตกชุด ทำให้ปกคลุมไปด้วยป่าดิบชื้น พบน้ำที่ไม่มากมายทั้งประเทศไทยไม่ยืนต้นขนาดใหญ่ ซึ่งมีค่าทางเศรษฐกิจและน่าศึกษาค้นคว้าทางวิชาการ และเป็นที่อยู่ของสัตว์ป่ามากมาย ไม่ยืนต้นขนาดต่าง ๆ คือ มีไม้ยืนต้นขนาดกลาง ขนาดเล็ก ไม่พุ่ม ไม้พื้นล่างชนิดต่าง ๆ เคوارล์ ไม้



ภาพที่ 9 ที่ตั้งและลักษณะภูมิประเทศของลุ่มน้ำคลองยั่น จังหวัดสุราษฎร์ธานี และจังหวัดระนอง

ที่มา: กรมแผนที่ทหาร (2552)

จำพวก hairy และ pale มีขึ้นปะปนกันอย่างหนาแน่น โดยมีพืชพันธุ์ไม้รวมประมาณ 228 ชนิดพันธุ์ ไม่มีค่าทางเศรษฐกิจที่เพนมากได้แก่ ไม้หลุมพอ ไม่จำปาและไม้ยางนิดต่าง ๆ ไม่พื้นล่าง พวงเฟิร์น มีขึ้นทั่วไป รวมทั้งเถาลักษณะต่าง ๆ ทั้งขนาดใหญ่และเล็ก ทำให้สภาพป่าแนวทីบมาก (ภัทร์ประภา, 2549)

3.5 ลักษณะทางธรณีวิทยา โดยส่วนใหญ่เป็นหินแกรนิต หินปูน หินดินดานและหินทราย ที่เกิดระหว่างยุคเพอร์เมียน และcarboniferous โดยจะพบมากทางตอนเหนือลงมาถึงตอนกลางของพื้นที่ นอกจากนี้ยังพบหินแกรนิตในยุคควอเรสซิกทางตะวันตก ตะวันตกเฉียงใต้ตะวันออกและทางตะวันออกเฉียงเหนือของพื้นที่และยังพบตะกอนล้ำน้ำที่เกิดในยุคควาเทอร์นารีทางตอนใต้ของพื้นที่อีกด้วย (สำนักงานนโยบายและแผนทรัพยากรธรรมชาติและสิ่งแวดล้อม, 2537)

3.6 ลักษณะทางปฐพีวิทยา พนวจว่าในพื้นที่ลุ่มน้ำคลองยันมีลักษณะดินที่เด่นชัดอยู่ 3 ลักษณะ ตาม สำนักงานนโยบายและแผนทรัพยากรธรรมชาติและสิ่งแวดล้อม (2537) คือ

3.6.1. บริเวณที่เป็นที่ชันและพื้นที่ดอน ที่ไม่สูงชันนักมีลักษณะดินคล้ายคลึงกันเป็นส่วนใหญ่ ทั้งนี้เป็นเพราะสภาพแวดล้อมทางดินอยู่ในเบตมีฝนตกชุกมีผลทำให้การผุพังอยู่กับที่ของวัตถุต้นกำเนิดของดินและการสร้างตัวของดินเป็นไปอย่างต่อเนื่อง การเกิดการชะล้างพังทลายของดินและการสร้างตัวของดินอย่างต่อเนื่อง

3.6.2 สภาพพื้นที่เป็นที่ดอนไม่ชันมากจนเกินไป ดินที่พบส่วนใหญ่หรือแทนทั้งหมด เป็นดินลึกถึงดินลึกมากมีพัฒนาการสูงมีการสะสมของดินเหนียวในชั้นดินล่าง ดินมีการระบายน้ำดี มีการชะล้างค่อนข้างสูง มีปฏิกิริยาเป็นกรดและมีความอุดมสมบูรณ์ตามธรรมชาติในระดับปานกลางถึงต่ำอยู่ในสภาพค่อนข้างเสถียร และดินมีความชื้นในลักษณะต่อเนื่องเป็นช่วงเวลานานในรอบปีเป็นดินในกลุ่ม Paleudults Kanhapludults และ Hapludults เป็นส่วนใหญ่

3.6.3 ดินในสภาพที่ลุ่มของพื้นที่ลุ่มน้ำคลองยัน เป็นดินที่ลึกถึงลึกมากมีการพัฒนาการตั้งแต่ปานกลาง ค่อนข้างสูงถึงสูง มีการสะสมดินเหนียวในชั้นดินล่าง มีความอุดมสมบูรณ์ตามธรรมชาติ ปานกลางถึงต่ำ และปฏิกิริยาเป็นกรด ถึงแม้จะอยู่ในสภาพที่เป็นที่ลุ่มของระบบดินเหล่านี้มีการชะล้างที่ค่อนข้างสูงกว่าดินที่ลุ่มที่พบทั่วไป

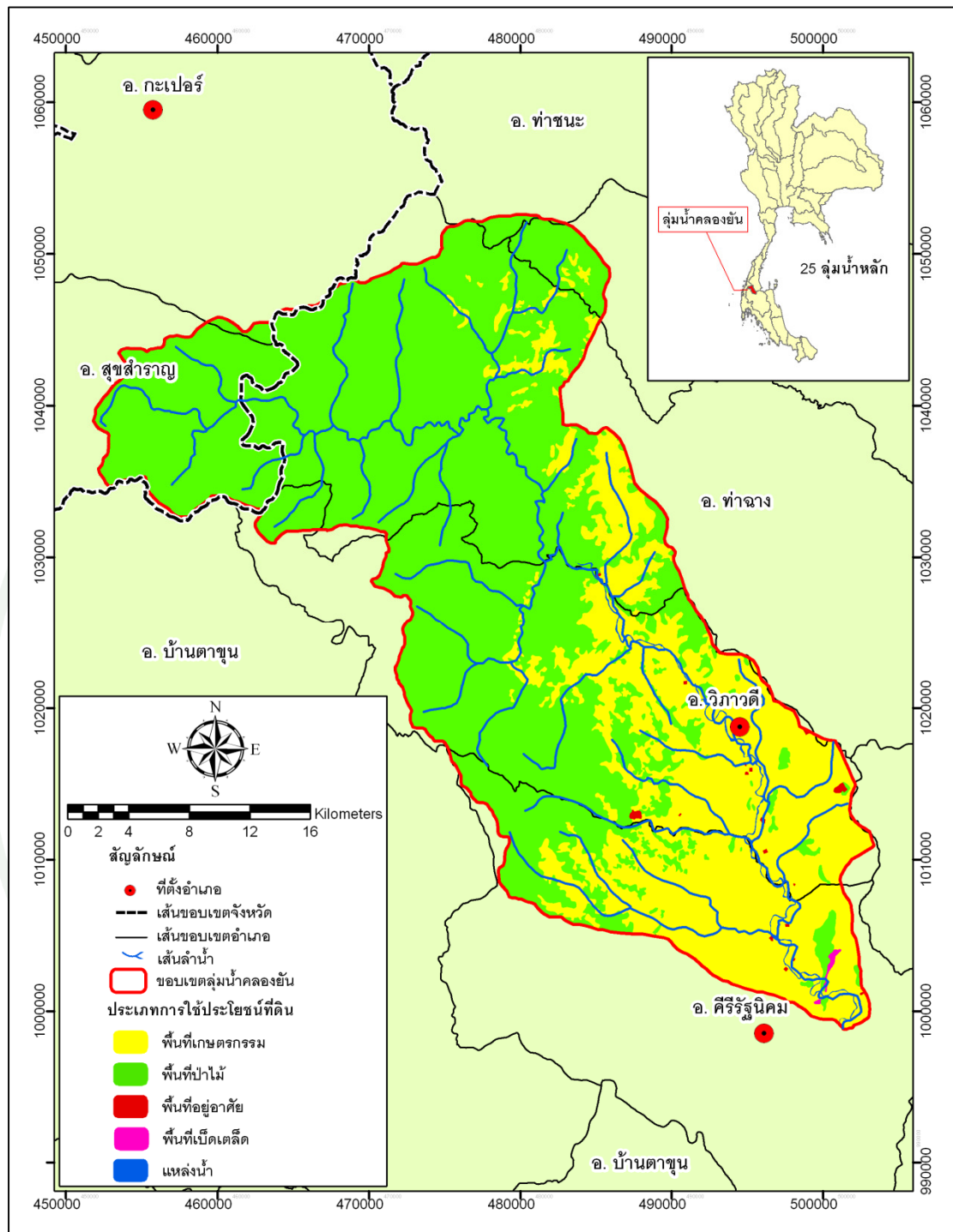
3.7 การใช้ประโยชน์ที่ดิน จากแผนที่การใช้ประโยชน์ที่ดินของ กรมพัฒนาที่ดิน (2552) (ตารางที่ 4) พบว่ามีพื้นที่เกย์ตรกรรม 363.96 ตารางกิโลเมตร คิดเป็นร้อยละ 31.16 ของพื้นที่ทั้งหมด โดยส่วนใหญ่ปลูกยางพาราและปาล์มน้ำมัน อยู่ทางตอนล่างและกระจายอยู่ตอนกลางของลุ่มน้ำ สำหรับพื้นที่ป่าไม้ประมาณ 797.52 ตารางกิโลเมตร คิดเป็นร้อยละ 68.28 ส่วนใหญ่เป็นป่าดิบชืนและสวนผสมอยู่ทางตอนบนของลุ่มน้ำ สำหรับการตั้งถิ่นฐานมีหมู่บ้านอยู่บริเวณตอนล่างของลุ่มน้ำ ดังภาพที่ 10

ตารางที่ 4 การใช้ประโยชน์ที่ดินบริเวณพื้นที่ลุ่มน้ำคลองขัน จังหวัดสุราษฎร์ธานี และจังหวัดระนอง

ประเภท	พื้นที่ (ตร.กม.)	ร้อยละ
พื้นที่เกย์ตรกรรม	363.96	31.16
พื้นที่ป่าไม้	797.52	68.28
พื้นที่เบ็ดเตล็ด	0.88	0.08
พื้นที่อยู่อาศัย	1.63	0.14
แหล่งน้ำ	4.02	0.34
รวม	1,168.01	100.00

ที่มา: กรมพัฒนาที่ดิน (2552)

3.8 สภาพปัญหาของพื้นที่ลุ่มน้ำคลองขันมีลักษณะของปัญหาและกิจกรรมหลักแตกต่างไปจาก 2 ลุ่มน้ำแรกนั่ง คือ มีการตั้งถิ่นฐานของประชากรภายนอกและขอบด้านในอุทยานแห่งชาติ และเขตอุทยานพันธุ์สัตว์ป่า การนำไม้ออกจากพื้นที่ป่า การบุกรุกพื้นที่ป่าสงวนแห่งชาติ เพื่อทำการเกษตร โดยเฉพาะการทำสวนยาง ซึ่งจำเป็นต้องเร่งดำเนินการแก้ไขปัญหาในเรื่องการทำสวนยางบริเวณพื้นที่ด้านน้ำ และการอพยพประชาชนออกจากพื้นที่การฟื้นฟูสภาพป่าที่เสื่อมโทรมจากการทำไม้ และการป้องกันรักษาป่า



ภาพที่ 10 การใช้ประโยชน์ที่ดินในพื้นที่ลุ่มน้ำคลองขัน ปี พ.ศ. 2552

ที่มา: กรมพัฒนาที่ดิน (2552)

## อุปกรณ์และวิธีการ

### อุปกรณ์

#### 1. ข้อมูลแผนที่เชิงเลข (digital map)

- 1.1 แผนที่ขอบเขตลุ่มน้ำ และเส้นลำน้ำบริเวณพื้นที่ลุ่มน้ำแม่แตง เชิญ และคลองยัน มาตราส่วน 1: 50,000 โดยสำนักงานโยธาฯและแผนที่รัฐพยากรณ์ธรรมชาติและสิ่งแวดล้อม
- 1.2 แผนที่ภูมิประเทศบริเวณพื้นที่ลุ่มน้ำแม่แตง เชิญ และคลองยัน มาตราส่วน 1: 50,000 โดยกรมแผนที่ทหาร ลำดับชุด L7018 ลุ่มน้ำแม่แตง ระหว่าง 4647 I, 4647 II, 4648 II, 4748 III, 4748 II, 4747 IV, 4747 I, 4747 III และ 4747 II ลุ่มน้ำเชิญ ระหว่าง 5342 IV, 5342 I, 5442 IV, 5342 III, 5342 II, 5442 III, 5442 II, 5542 III, 5341 IV, 5341 I, 5441 IV, 5441 I, 5441 III และ 5441 II ลุ่มน้ำคลองยัน ระหว่าง 4728 II, 4727 IV, 4727 I, 4727 III, 4727 II และ 4827 III
- 1.3 แผนที่การใช้ประโยชน์ที่ดินบริเวณพื้นที่ลุ่มน้ำแม่แตง เชิญ และคลองยัน มาตราส่วน 1: 50,000 โดยกรมพัฒนาที่ดิน

#### 2. ข้อมูลทุกด้านที่ทางด้านอุตุนิยมวิทยาและอุทกวิทยาภายในพื้นที่ลุ่มน้ำและบริเวณพื้นที่ใกล้เคียงลุ่มน้ำแม่แตง เชิญ และคลองยัน ประกอบด้วย

- 2.1 ข้อมูลปริมาณน้ำฝนรายเดือน จากกรมอุตุนิยมวิทยา (พ.ศ. 2504 - พ.ศ. 2552)
- 2.2 ข้อมูลอุณหภูมิอากาศรายเดือน จากกรมอุตุนิยมวิทยา (พ.ศ. 2494 - พ.ศ. 2552)
- 2.3 ข้อมูลปริมาณน้ำท่ารายเดือน จากระบบประทานและกรมทรัพยากร้ำ (พ.ศ. 2497 - พ.ศ. 2552)
- 2.4 ข้อมูลสถิติปีการเกิดปรากฏการณ์เอลนีโญ (El Nino) และ ลานีนา (La Nina) ขนาดรุนแรงในประเทศไทย โดยกรมอุตุนิยมวิทยา
- 2.5 คอมพิวเตอร์ส่วนบุคคล
- 2.6 โปรแกรมการคำนวณ microsoft excel 2007
- 2.7 โปรแกรมระบบสารสนเทศภูมิศาสตร์

## วิธีการ

### 1. การเก็บรวบรวมข้อมูล

#### 1.1 ลุ่มน้ำแม่แตง

1.1.1 ข้อมูลปริมาณน้ำฝนรายเดือนจากสถานีวัดน้ำฝนในพื้นที่ลุ่มน้ำแม่แตงและพื้นที่ใกล้เคียง จำนวน 5 สถานี ดังตารางที่ 5 และข้อมูลปริมาณน้ำฝน ดังตารางผนวกที่ 4

ตารางที่ 5 รายชื่อและตำแหน่งสถานีวัดปริมาณน้ำฝนภายในลุ่มน้ำและบริเวณโดยรอบ  
ลุ่มน้ำแม่แตง

รหัสสถานี	ชื่อสถานี	ตะวันออก	เหนือ	ช่วงข้อมูล (พ.ศ.)
327016	ที่ว่าการอำเภอเชียงดาว	576069	2178661	2504-2552
300002	ที่ว่าการอำเภอปาย	494944	2106361	2521-2552
327005	ที่ว่าการอำเภอแม่แตง	582611	2110233	2518-2552
327029	ที่ว่าการอำเภอเวียงแหง	514914	2202266	2532-2552
327026	สถานีวิจัยต้นน้ำดอยเชียงดาว อ.แม่แตง	566338	2149112	2518-2552

ที่มา: กรมอุตุนิยมวิทยา (2553)

1.1.2 ข้อมูลอุณหภูมิอากาศรายเดือนจากสถานีตรวจอากาศบริเวณพื้นที่ใกล้เคียงลุ่มน้ำแม่แตง จำนวน 6 สถานี ดังตารางที่ 6 และข้อมูลอุณหภูมิอากาศรายเดือน ดังตารางผนวกที่ 5

1.1.3 ข้อมูลปริมาณน้ำท่ารายเดือนจากสถานีวัดน้ำท่าในพื้นที่ลุ่มน้ำแม่แตง 1 สถานี คือ สถานีแม่แตง (P.4A) ตั้งอยู่ระหว่างพิกัด 491380 mE. และ 2119711 mN. ข้อมูลระหว่าง พ.ศ. 2498 – พ.ศ. 2552 ดังตารางผนวกที่ 6

**ตารางที่ 6 รายชื่อและตำแหน่งสถานีตรวจสอบอากาศบริเวณพื้นที่ใกล้เคียงลุ่มน้ำแม่แตง**

รหัสสถานี	ชื่อสถานี	ตะวันออก	เหนือ	ช่วงข้อมูล (พ.ศ.)
300201	สถานีอุตุนิยมวิทยาแม่ส่องสอน	444847	2106442	2497-2552
327301	สถานีตรวจสอบเกษตรแม่ใจ	500262	2178499	2512-2552
327501	สถานีอุตุนิยมวิทยาเชียงใหม่	585034	2136065	2494-2552
300202	สถานีอุตุนิยมวิทยาแม่สะเรียง	453871	2019498	2494-2552
303201	สถานีอุตุนิยมวิทยาเชียงราย	645888	2269158	2494-2552
303301	สถานีตรวจสอบเกษตรเชียงราย	640161	2268126	2522-2552

ที่มา: กรมอุตุนิยมวิทยา (2553)

**1.2 ลุ่มน้ำเชิง**

1.2.1 ข้อมูลปริมาณน้ำฝนรายเดือนจากสถานีวัดน้ำฝนในพื้นที่ลุ่มน้ำเชิงและพื้นที่ใกล้เคียง จำนวน 12 สถานี ดังตารางที่ 7 และข้อมูลปริมาณน้ำฝน ดังตารางผนวกที่ 7

1.2.2 ข้อมูลอุณหภูมิอากาศรายเดือนจากสถานีตรวจสอบอากาศบริเวณพื้นที่ใกล้เคียงลุ่มน้ำเชิง จำนวน 6 สถานี ดังตารางที่ 8 และข้อมูลอุณหภูมิอากาศรายเดือน ดังตารางผนวกที่ 8

1.2.3 ข้อมูลปริมาณน้ำท่ารายเดือนจากสถานีวัดน้ำท่าในพื้นที่ลุ่มน้ำเชิง 1 สถานี คือ สถานีบ้านท่าเดื่อ (041304) ตั้งอยู่ระหว่างพิกัด 193419 mE. และ 1825539 mN. ข้อมูลระหว่าง พ.ศ. 2521-2550 ดังตารางผนวกที่ 9

**ตารางที่ 7 รายชื่อและตำแหน่งสถานีวัดปริมาณน้ำฝนภายในคุ่น้ำและบริเวณโดยรอบคุ่น้ำเชิง**

รหัสสถานี	ชื่อสถานี	ตะวันออก	เหนือ	ช่วงข้อมูล (พ.ศ.)
353005	ที่ว่าการอำเภอกรุงระดึง	878203	1929169	2518-2552
353011	อุทยานแห่งชาติภูกระดึง	860194	1944634	2518-2552
379020	อุทยานแห่งชาติภูหมอก	844316	1986803	2539-2552
379028	อุทยานแห่งชาติน้ำหนาว	810196	1906878	2539-2552
381003	ที่ว่าการอำเภอชุมแพ	858943	1870732	2518-2552
381007	ที่ว่าการอำเภอสีชุมพู	822323	1925528	2518-2552
381008	ที่ว่าการอำเภอภูเวียง	826204	1904479	2518-2552
381012	ที่ว่าการอำเภอบ้านฝาง	948195	1856642	2525-2552
403002	ที่ว่าการอำเภอเขียว	862121	1833847	2518-2552
403005	ที่ว่าการอำเภอบ้านแท่น	904045	1837275	2518-2552
403010	เขตรักษาพันธุ์สัตว์ป่าภูเขียว (ทุ่งกระมัง) อำเภอคอนสาร	832572	1851832	2532-2552
403012	สถานีพัฒนาและล่งเสริมการอนุรักษ์ สัตว์ป่าห้วยกุ่ม	868153	1852420	2534-2552

ที่มา: กรมอุตุนิยมวิทยา (2553)

**ตารางที่ 8 รายชื่อและตำแหน่งสถานีตรวจสอบอาคารบริเวณพื้นที่ใกล้เคียงลุ่มน้ำเชิง**

รหัสสถานี	ชื่อสถานี	ตะวันออก	เหนือ	ช่วงข้อมูล (พ.ศ.)
353201	สถานีอุตุนิยมวิทยาเลย	850967	1965619	2497-2552
379201	สถานีอุตุนิยมวิทยาเพชรบูรณ์	739790	1859806	2494-2552
379401	สถานีอุตุนิยมวิทยาอุทกิจทางล่อมสัก	782877	1923957	2513-2552
381201	สถานีอุตุนิยมวิทยาขอนแก่น	977309	1863844	2494-2552
381301	สถานีตรวจสอบเกษตรท่าพระ	984081	1845503	2512-2552
403201	สถานีต่ออุตุนิยมวิทยาชัยภูมิ	837779	1675493	2500-2552

ที่มา: กรมอุตุนิยมวิทยา (2553)

1.3 ลุ่มน้ำคลองบัน

1.3.1 ข้อมูลปริมาณน้ำฝนรายเดือนจากสถานีวัดน้ำฝนในพื้นที่ลุ่มน้ำคลองบันและพื้นที่ใกล้เคียง จำนวน 3 สถานี ดังตารางที่ 9 และข้อมูลปริมาณน้ำฝน ดังตารางผนวกที่ 10

**ตารางที่ 9 รายชื่อและตำแหน่งสถานีวัดปริมาณน้ำฝนภายในลุ่มน้ำและบริเวณโดยรอบ  
ลุ่มน้ำคลองบัน**

รหัสสถานี	ชื่อสถานี	ตะวันออก	เหนือ	ช่วงข้อมูล (พ.ศ.)
532002	ที่ว่าการอำเภอปะอ้อ	515612	1118530	25518-2552
551004	ที่ว่าการอำเภอคีรีรัตน์นิคม	586267	1017273	2519-2552
551019	ที่ว่าการอำเภอวิภาวดี	564021	1054086	2536-2552

ที่มา: กรมอุตุนิยมวิทยา (2553)

1.3.2 ข้อมูลอุณหภูมิอากาศรายเดือนจากสถานีตรวจสอบบริเวณพื้นที่ใกล้เคียงลุ่มน้ำคลองบัน จำนวน 6 สถานี ดังตารางที่ 10 และข้อมูลอุณหภูมิอากาศรายเดือน ดังตารางผนวกที่ 11

**ตารางที่ 10 รายชื่อและตำแหน่งสถานีตรวจอากาศบริเวณพื้นที่ใกล้เคียงลุ่มคลองยัน**

รหัสสถานี	ชื่อสถานี	ตะวันออก	เหนือ	ช่วงข้อมูล (พ.ศ.)
551401	สถานีตรวจอากาศเกย์ตรพระแสง	545938	1005412	2542-2552
532201	สถานีอุตุนิยมวิทยาระนอง	522081	1185672	2494-2552
551201	สถานีอุตุนิยมวิทยาสุราษฎร์ธานี	564051	1035658	2494-2552
551202	สถานีอุตุนิยมวิทยาสำนักบินสุราษฎร์ธานี	533367	1035896	2531-2552
551301	สถานีตรวจอากาศเกย์ตรสุราษฎร์ธานี	625476	1029235	2535-2552
561201	สถานีอุตุนิยมวิทยาตะกั่วป่า	458129	1040941	2524-2552

ที่มา: กรมอุตุนิยมวิทยา (2553)

1.3.3 ข้อมูลปริมาณน้ำท่ารายเดือนจากสถานีวัดน้ำท่าในพื้นที่ลุ่มน้ำคลองยัน 1 สถานีคือ สถานีคลองยันที่บ้านยาง (220903) ตั้งอยู่ระหว่างพิกัด 498352 mE. และ 1002144 mN. ข้อมูลระหว่าง พ.ศ.2527 - 2550 ดังตารางผนวกที่ 12

**2. การเตรียมข้อมูล และการจัดรูปแบบของข้อมูลให้อยู่ในรูปแบบเดียวกันของลุ่มน้ำแม่แตง เชิญ และคลองยัน**

2.1 จัดเรียงข้อมูลปริมาณน้ำฝนรายเดือนตั้งแต่ปี พ.ศ. 2504 – 2552 ของลุ่มน้ำแม่แตง เชิญ และคลองยัน

2.2 จัดเรียงข้อมูลอุณหภูมิอากาศรายเดือนตั้งแต่ปี พ.ศ. 2494 – 2552 ของลุ่มน้ำแม่แตง เชิญ และคลองยัน

2.3 จัดเรียงข้อมูลปริมาณน้ำท่ารายเดือนตั้งแต่ปี พ.ศ. 2497 – 2552 ของลุ่มน้ำแม่แตง เชิญ และคลองยัน

### 3. จำแนกช่วงเวลาที่เกิดปรากฏการณ์อ่อนนิโญ (El Nino) และลานีนา (La Nina)

ปรากฏการณ์อ่อนนิโญและลานีนาเป็นปรากฏการณ์ทางสมุทรศาสตร์โดยมีค่าความผิดปกติของดัชนีการผันแปรของระบบอากาศในซีกโลกใต้ (southern oscillation indices anomaly; SOI anomaly) และค่าความผิดปกติของดัชนีของอุณหภูมิไกส์ผิวน้ำทะเล (sea surface temperature anomaly; SST anomaly) เป็นดัชนีที่บ่งบอกถึงการเกิดปรากฏการณ์อ่อนนิโญ และลานีนา และมีการจำแนกการเกิดปรากฏการณ์ออกมาเป็นปี โดยกรมอุตุนิยมวิทยาได้จำแนกช่วงเวลาที่เกิดปรากฏการณ์อ่อนนิโญและลานีนาขนาดรุนแรง ดังตารางที่ 11

ตารางที่ 11 สถิติการเกิดปรากฏการณ์อ่อนนิโญ (El Nino) และลานีนา (La Nina) ขนาดรุนแรง

ปีอ่อนนิโญ (El Nino) (พ.ศ.)	ปีลานีนา (La Nina) (พ.ศ.)
2500	2497
2501	2498
2502	2499
2515	2516
2516	2517
2525	2518
2526	2519
2533	2531
2534	2532
2535	2541**
2536	2542
2540	
2541*	

หมายเหตุ \* = ปรากฏการณ์อ่อนนิโญขนาดรุนแรงในช่วงเดือนกรกฎาคมถึงเดือนมิถุนายน

\*\* = ปรากฏการณ์ลานีนาขนาดรุนแรงในช่วงเดือนกรกฎาคมถึงเดือนธันวาคม  
ปีปกติคือปีที่ไม่มีปรากฏการณ์อ่อนนิโญ และลานีนาขนาดรุนแรง

ที่มา: กรมอุตุนิยมวิทยา (2553)

3.1 จำแนกข้อมูลปริมาณน้ำฝนของลุ่มน้ำแม่แตง เชิญ และคลองยัน ตามปีปกติและปีที่เกิดปรากฏการณ์เอลนีโญและลานีนาขนาดรุนแรง โดยแบ่งเป็นฤดูน้ำหลากรากและฤดูน้ำแล้ง

3.2 จำแนกข้อมูลอุณหภูมิอากาศของลุ่มน้ำแม่แตง เชิญ และคลองยัน ตามปีปกติและปีที่เกิดปรากฏการณ์เอลนีโญและลานีนาขนาดรุนแรง โดยแบ่งเป็นฤดูน้ำหลากรากและฤดูน้ำแล้ง

3.3 จำแนกข้อมูลปริมาณน้ำท่าของลุ่มน้ำแม่แตง เชิญ และคลองยัน ตามปีปกติและปีที่เกิดปรากฏการณ์เอลนีโญและลานีนาขนาดรุนแรง โดยแบ่งเป็นฤดูน้ำหลากรากและฤดูน้ำแล้ง

#### 4. การวิเคราะห์ข้อมูล

##### 4.1 ข้อมูลปริมาณน้ำฝนรายเดือน ของลุ่มน้ำแม่แตง เชิญ และคลองยัน

4.1.1 หาค่าเฉลี่ยปริมาณน้ำฝนโดยวิธีการ Thiessen method ตามปีที่เกิดปรากฏการณ์เอลนีโญ (El Nino) และลานีนา (La Nina) และปีปกติ โดยการกำหนดตำแหน่งของสถานีลงบนแผนที่ตั้งสถานีที่อยู่ในพื้นที่ลุ่มน้ำและพื้นที่ใกล้เคียงแล้วลากเส้นตรงแบ่งครึ่งและตั้งฉากกับเส้นเชื่อมระหว่าง 2 สถานีใกล้กัน จุดตัดของเส้นเหล่านี้จะทำให้เกิดพื้นที่หลายเหลี่ยมล้อมรอบสถานีตรวจวัดน้ำฝน เมื่อเอาพื้นที่รูปหลายเหลี่ยมของแต่ละสถานีหารด้วยพื้นที่ของลุ่มน้ำทั้งหมดจะเป็นเฟกเตอร์ถ่วงน้ำหนัก (weighting factor) ของข้อมูลน้ำฝนแต่ละสถานีปริมาณน้ำฝนเฉลี่ยบนพื้นที่หาได้จากการของ กิรติ (2539) ดังนี้

$$\bar{P} = \frac{1}{A} \sum_{i=1}^n P_i A_i \quad (1)$$

โดยที่	$\bar{P}$	คือ ปริมาณน้ำฝนเฉลี่ย
	$P_i$	คือ ปริมาณน้ำฝนที่วัดได้จากสถานีวัดน้ำฝนที่ i
	$A_i$	คือ พื้นที่รูปหลายเหลี่ยมที่ล้อมรอบสถานีวัดน้ำฝนที่ i
	$A$	คือ พื้นที่ทั้งหมดของลุ่มน้ำที่ต้องการหาค่าเฉลี่ย

4.1.2 ศึกษาความผันแปรโดยการสร้างความสัมพันธ์ของปริมาณน้ำฝนในปีปกติและปีที่เกิดปรากฏการณ์เอลนีโญ และลานีนา ของลุ่มน้ำแม่แตง เชิญ และคลองยัน

4.1.3 วิเคราะห์การกระจายของฝนตามฤดูกาล เพื่อศึกษาปริมาณน้ำฝนในแต่ละช่วงเวลาของแต่ละชนิดปี โดยแบ่งตามปีการเกิดปรากฏการณ์เอล Niño (El Niño) และลา尼ña (La Niña) และปีปกติ ซึ่งสามารถแบ่งช่วงเวลาการกระจายของฝนได้ 5 ช่วงเวลา ใน 3 ฤดู โดย Silverman *et al.* (1986) ได้ศึกษาสภาพภูมิอากาศบริเวณประเทศไทย พบร่องมรสุมและสภาพอากาศระดับภูมิภาคมีอิทธิพลอย่างมากต่อสภาพภูมิอากาศในแต่ละฤดูกาล จึงกำหนดช่วงของฤดูกาลออกมาเป็น 5 ช่วง ประกอบด้วย

- 1) ช่วงฤดูหนาวจากอิทธิพลของลมมรสุมตะวันออกเฉียงเหนือ (northeast monsoonal season; NM) เป็นสภาพภูมิอากาศในช่วงเดือนพฤษภาคม ถึง เดือนกุมภาพันธ์
- 2) ช่วงเปลี่ยนฤดูจากฤดูหนาวเข้าสู่ฤดูร้อน (summer intermonsoonal season; SIM) เป็นสภาพภูมิอากาศในช่วงเดือนมีนาคม ถึง เดือนเมษายน
- 3) ช่วงเริ่มต้นฤดูฝนจากอิทธิพลของลมมรสุมตะวันตกเฉียงใต้ (onset southwest monsoonal season; OSM) เป็นสภาพภูมิอากาศในช่วงเดือนพฤษภาคม ถึง ต้นเดือนมิถุนายน
- 4) ช่วงกลางฤดูฝนจากอิทธิพลของลมมรสุมตะวันตกเฉียงใต้ (southwest monsoonal season; SM) เป็นสภาพภูมิอากาศในช่วงเดือนมิถุนายน ถึง เดือนกันยายน
- 5) ช่วงเปลี่ยนฤดูจากฤดูฝนเป็นฤดูหนาว (winter intermonsoonal season; WIM) เป็นสภาพภูมิอากาศในช่วงเดือนตุลาคม

## 4.2 ข้อมูลอุณหภูมิอากาศรายเดือน ของคุณน้ำแม่แตง เชียง แคลลองยัน

4.2.1 หาค่าเฉลี่ยของอุณหภูมิอากาศรายเดือนโดยวิธี Isohyetal method ตามปีที่เกิดปรากฏการณ์เอล Niño (El Niño) และลา尼ña (La Niña) และปีปกติ โดยการกำหนดสถานีวัดอุณหภูมิลงบนแผนที่ทั้งในบริเวณลุ่มน้ำและบริเวณพื้นที่ใกล้เคียง ตรวจดูแนวโน้มของเส้นชั้นอุณหภูมิ จากนั้นลากเส้นชั้นอุณหภูมิ ซึ่งวิธีการลากเส้นชั้นอุณหภูมนิ่นคือถักกับการลากเส้นระดับความสูง (contour lines) จากนั้นจึงหารปริมาณอุณหภูมิเฉลี่ยระหว่างเส้นชั้นอุณหภูมิ 2 เส้น ที่อยู่ใกล้กันได้  $P_1$ ,  $P_2$  และ  $P_n$  โดยที่  $n$  คือปริมาณอุณหภูมิเฉลี่ยระหว่างเส้นชั้นอุณหภูมิ 2 เส้น หาพื้นที่

ระหว่างเส้นชั้นอุณหภูมิ 2 เส้นที่อยู่ใกล้เคียงกัน และอยู่ภายในขอบเขตลุ่มน้ำจะได้พื้นที่  $A_1, A_2$  และ  $A_n$  จำนวนอุณหภูมิเฉลี่ยได้ดังสมการของ รีตติ (2539) ดังนี้

$$\bar{P} = \frac{1}{A} \sum_{i=1}^n P_i A_i \quad (2)$$

โดยที่  $\bar{P}$  คือ อุณหภูมิเฉลี่ย

$n$  คือ อุณหภูมิเฉลี่ยระหว่างเส้นชั้นอุณหภูมิ 2 เส้น

$P_i$  คือ อุณหภูมิเฉลี่ยระหว่างเส้นชั้นอุณหภูมิ 2 เส้นที่อยู่ใกล้กัน

$A_i$  คือ พื้นที่ระหว่างเส้นชั้นอุณหภูมิ 2 เส้นที่อยู่ใกล้เคียงกัน

$A$  คือ พื้นที่ทั้งหมดของลุ่มน้ำที่ต้องการหาค่าเฉลี่ย

4.2.2 ศึกษาความผันแปร โดยการสร้างความสัมพันธ์ของอุณหภูมิอากาศในปีปกติและปีที่เกิดปรากฏการณ์โอลนีโน้ญ และลานีนา ของลุ่มน้ำแม่แตง เชิญ และคลองยัน

4.2.3 วิเคราะห์ความผันแปรของอุณหภูมิอากาศรายเดือน โดยแบ่งตามปีการเกิดปรากฏการณ์โอลนีโน้ญ (El Nino) และลานีนา (La Nina) และปีปกติ ด้วยค่าเฉลี่ยเคลื่อนที่ (moving average) 3 และ 5 ปี

4.3 ข้อมูลปริมาณน้ำท่ารายเดือน ของลุ่มน้ำแม่แตง เชิญ และคลองยัน

4.3.1 หาค่าเฉลี่ยของปริมาณน้ำท่าเฉลี่ยรายเดือน โดยใช้ข้อมูลปริมาณน้ำท่า ณ จุดตรวจตามปีที่เกิดปรากฏการณ์โอลนีโน้ญ (El Nino) และลานีนา (La Nina) และปีปกติ เพื่อทราบถึงปริมาณน้ำไหลผ่านจุดวัดน้ำในแต่ละช่วงเวลา

4.3.2 ศึกษาความผันแปร โดยการสร้างความสัมพันธ์ของปริมาณน้ำท่าในปีปกติและปีที่เกิดปรากฏการณ์โอลนีโน้ญ และลานีนา ของลุ่มน้ำแม่แตง เชิญ และคลองยัน

5. ศึกษาความสัมพันธ์ระหว่างปริมาณน้ำฝน อุณหภูมิอากาศ และปริมาณน้ำท่า ในปีที่เกิดปรากฏการณ์โอลนีโน้ญ (El Nino) และลานีนา (La Nina) กับปริมาณน้ำฝน อุณหภูมิอากาศ และปริมาณน้ำท่าในปีปกติ

โดยวิเคราะห์ความสัมพันธ์แบบจุดกระจาย (scatter plot) เพื่อแสดงความสัมพันธ์ของปัจจัยทางด้านอุตุ-อุทกวิทยา ของทั้ง 3 ลุ่มน้ำ ดังนี้

5.1 ความสัมพันธ์ระหว่างปริมาณน้ำฝนในปีที่เกิดปรากฏการณ์เอลนีโญ (El Nino) กับปริมาณน้ำฝนปีปกติ ของลุ่มน้ำแม่แตง เชิญ และคลองยัน

5.2 ความสัมพันธ์ระหว่างปริมาณน้ำฝนในปีที่เกิดปรากฏการณ์ลานีนา (La Nina) กับปริมาณน้ำฝนปีปกติ ของลุ่มน้ำแม่แตง เชิญ และคลองยัน

5.3 ความสัมพันธ์ระหว่างอุณหภูมิอากาศในปีที่เกิดปรากฏการณ์เอลนีโญ (El Nino) กับอุณหภูมิอากาศปีปกติ ของลุ่มน้ำแม่แตง เชิญ และคลองยัน

5.4 ความสัมพันธ์ระหว่างอุณหภูมิอากาศในปีที่เกิดปรากฏการณ์ลานีนา (La Nina) กับอุณหภูมิอากาศปีปกติ ของลุ่มน้ำแม่แตง เชิญ และคลองยัน

5.5 ความสัมพันธ์ระหว่างปริมาณน้ำท่าในปีที่เกิดปรากฏการณ์เอลนีโญ (El Nino) กับปริมาณน้ำท่าปีปกติ ของลุ่มน้ำแม่แตง เชิญ และคลองยัน

5.6 ความสัมพันธ์ระหว่างปริมาณน้ำท่าในปีที่เกิดปรากฏการณ์ลานีนา (La Nina) กับปริมาณน้ำท่าปีปกติ ของลุ่มน้ำแม่แตง เชิญ และคลองยัน

## 6. การทดสอบสมมุติฐาน

โดยการทดสอบความแตกต่างของข้อมูลแบบสองทาง (two tailed test) โดยใช้สถิติทดสอบที (t-test) ทดสอบความแตกต่างของกลุ่มประชากรที่ระดับนัยสำคัญทางสถิติ (0.05) ของกลุ่มข้อมูลอุตุ-อุทกวิทยาของทั้ง 3 ลุ่มน้ำ ดังนี้

6.1 ปริมาณน้ำฝนรายเดือนระหว่างปีปกติ ปีเอลนีโญ (El Nino) และปีลานีนา (La Nina) ทั้งรายปี ช่วงน้ำหลาภ (wet period) และช่วงแล้งน้ำ (dry period)

6.2 ข้อมูลอุณหภูมิอากาศรายเดือนระหว่างปีปกติ ปีเอลนีโญ (El Nino) และปีลา尼ญา (La Nina) ทั้งรายปี ช่วงนำ้หลากร (wet period) และช่วงแห้งนำ้ (dry period)

6.3 ปริมาณนำ้ท่ารายเดือนระหว่างปีปกติ ปีเอลนีโญ (El Nino) และปีลา尼ญา (La Nina) ทั้งรายปี ช่วงนำ้หลากร (wet period) และช่วงแห้งนำ้ (dry period)

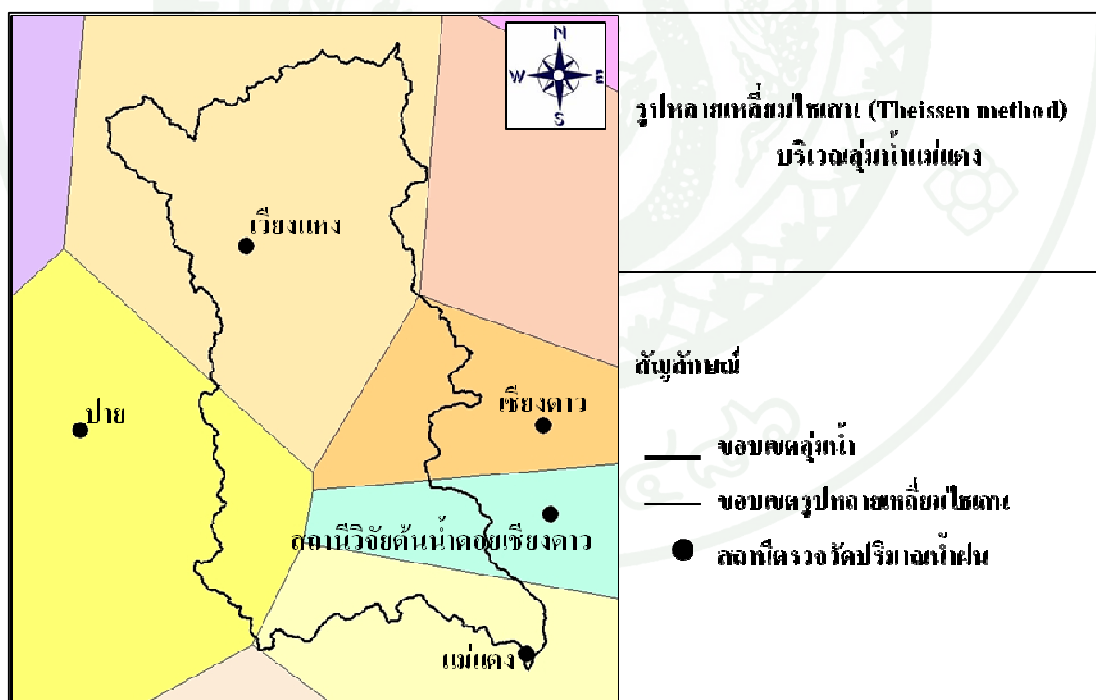
## ผลและวิจารณ์

การศึกษาผลของปรากฏการณ์อ่อนนิญาต และ lanine ต่อปริมาณน้ำฝน อุณหภูมิอากาศ และปริมาณน้ำท่าในพื้นที่ลุ่มน้ำแม่แตง เชียง และลุ่มน้ำคลองขัน ปรากฏผลการศึกษาดังนี้

### 1. ปริมาณน้ำฝน

#### 1.1 ลุ่มน้ำแม่แตง

1.1.1 ปริมาณน้ำฝนเฉลี่ย จากการศึกษาข้อมูลปริมาณน้ำฝนระหว่างปี พ.ศ. 2504 ถึง พ.ศ. 2552 จำนวน 5 สถานี ทั้งสถานีที่อยู่ในพื้นที่ลุ่มน้ำแม่แตง เชียง โดยหาค่าเฉลี่ยด้วยวิธี Thiessen method (ภาพที่ 11) พบว่าซึ่งค่าเฉลี่ยปริมาณน้ำฝนของลุ่มน้ำแม่แตงเท่ากับ 1,199.60 มิลลิเมตรต่อปี โดยปริมาณน้ำฝนสูงสุดมีค่าเท่ากับ 2,024.80 มิลลิเมตร ในปี พ.ศ. 2513 และต่ำสุดมีค่าเท่ากับ 747.53 มิลลิเมตร ในปี พ.ศ. 2522 ดังตารางที่ 12



ภาพที่ 11 รูปหลักเกณฑ์ที่ใช้ในการคำนวณปริมาณน้ำฝนน้ำฝนเฉลี่ย  
บริเวณลุ่มน้ำแม่แตง จังหวัดเชียงใหม่

**ตารางที่ 12 ปริมาณน้ำฝนรายปีของคุณน้ำแม่แตง จังหวัดเชียงใหม่**

ปี (พ.ศ.)	ปริมาณน้ำฝน รายปี (มม.)	ปี (พ.ศ.)	ปริมาณน้ำฝน รายปี (มม.)	ปี (พ.ศ.)	ปริมาณน้ำฝน รายปี (มม.)
2504	1,069.30	2521	1,692.00	2538	1,434.05
2505	1,194.20	2522	747.53	2539	1,108.47
2506	1,469.10	2523	1,103.06	2540	1,009.18
2507	1,223.60	2524	1,465.78	2541	780.93
2508	1,117.60	2525	1,398.01	2542	1,152.32
2509	945.90	2526	1,281.22	2543	1,114.10
2510	1,306.70	2527	1,129.93	2544	1,433.40
2511	1,231.80	2528	1,224.33	2545	1,301.19
2512	*	2529	1,194.80	2546	982.62
2513	2,024.80	2530	1,019.90	2547	1,230.00
2514	1,183.40	2531	1,224.65	2548	1,452.46
2515	*	2532	1,069.91	2549	1,344.82
2516	*	2533	986.37	2550	1,168.74
2517	*	2534	1,091.00	2551	1,243.43
2518	1,405.65	2535	1,052.27	2552	1,040.13
2519	885.70	2536	1,025.48		
2520	1,854.55	2537	1,473.10		

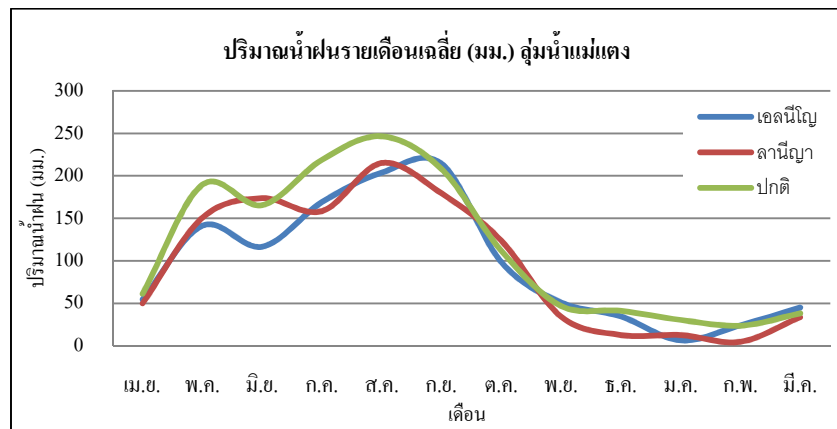
หมายเหตุ \* = ข้อมูลไม่สมบูรณ์

ที่มา: กรมอุตุนิยมวิทยา (2553)

ทั้งนี้เนื่องจากคุณน้ำแม่แตงซึ่งตั้งอยู่ในพื้นที่จังหวัดเชียงใหม่ในภาคเหนือของประเทศไทยซึ่งได้รับอิทธิพลของพายุหมุนเวียนที่เคลื่อนที่มาจากทะเลจีนใต้ผ่านชายฝั่งประเทศเวียดนามและสาธารณรัฐประชาชนจีนโดยประมาณล้าวและอิทธิพลจากกรุงศรีอยุธยาที่มีความกดอากาศต่ำกำลังแรงพาดผ่านภาคเหนือและภาคตะวันออกเฉียงเหนือประกอบกับได้รับอิทธิพลเสริมจากลมร้อนแรงในฤดูหนาวที่มีลมกระโชกแรงและลมกระโชกแรงในฤดูใบไม้ผลิทำให้พื้นที่ภาคเหนือมีฝนตกชุกในช่วงฤดูฝน ทั้งนี้คุณน้ำแม่แตงซึ่งมีลักษณะภูมิประเทศที่

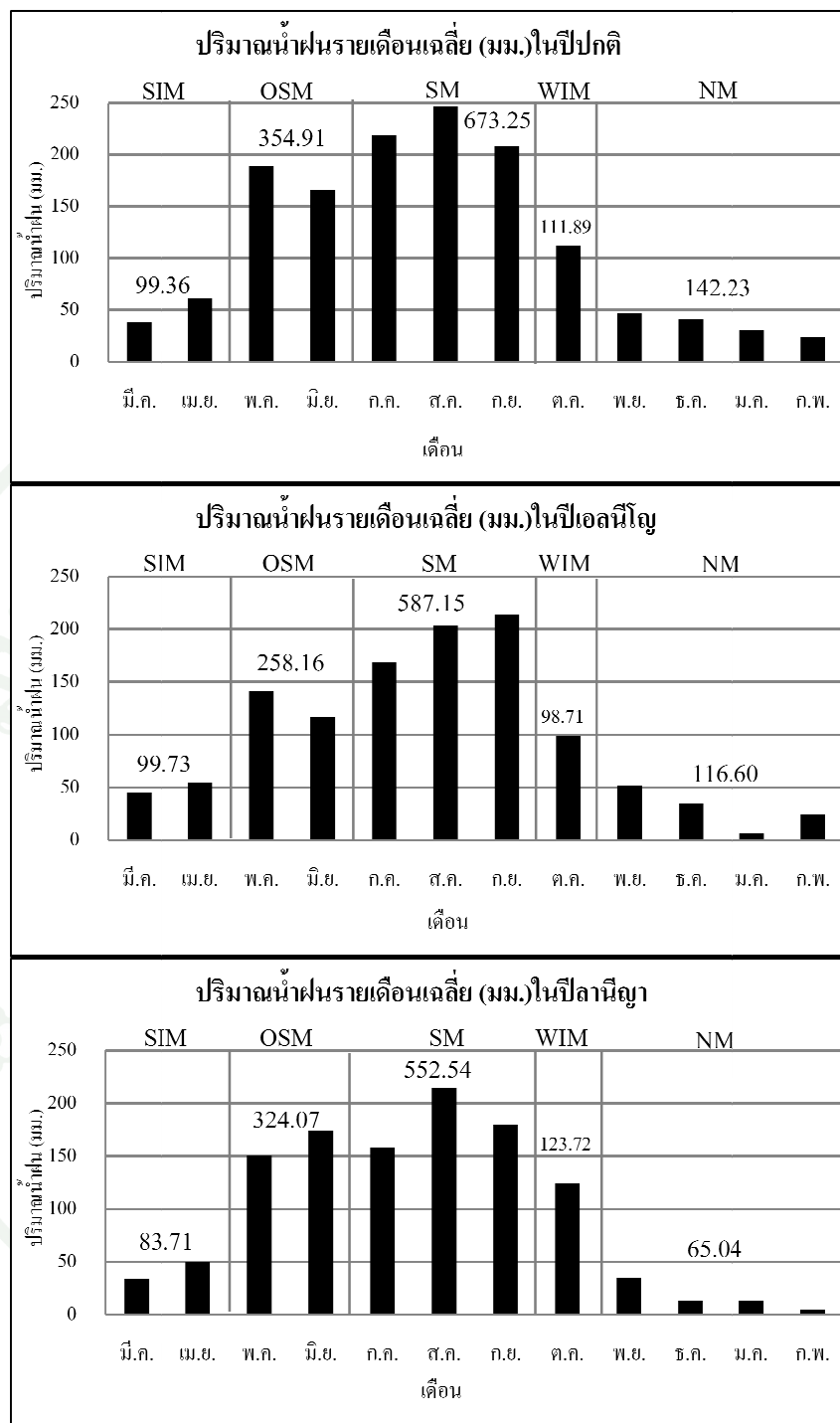
เป็นภูเขาสูงเป็นส่วนใหญ่เมื่อได้รับอิทธิพลจากจากลมมรสุมตะวันตกเฉียงใต้ที่พัดเอาความชื้นมา จากมหาสมุทรอินเดียมาปะทะกับภูเขาสูงในพื้นที่ คือ ดอยหลวงเชียงดาวที่มีความสูงถึง 2,175 เมตรจากระดับน้ำทะเลปานกลาง จึงทำให้เกิดการยกตัวของมวลอากาศทำให้เกิดฝนขึ้นในพื้นที่ ประกอบกับพื้นที่ส่วนใหญ่ประกอบด้วยพื้นที่ป่าสูงต่ำสลับกันไปทำให้เพิ่มความชื้นในบรรยากาศที่ เกิดจากกระบวนการขยายน้ำของพืช ทำให้เกิดการคลุกเคล้าของอากาศจึงทำให้พื้นที่ลุ่มน้ำแม่แตงมี ปริมาณฝนส่วนใหญ่สูงเกือบทุกปีซึ่งปริมาณน้ำฝนสูงสุดในปี พ.ศ. 2513 สูงถึง 2,024.8 มิลลิเมตร ส่วนปีที่มีปริมาณน้ำฝนต่ำสุดคือปี พ.ศ. 2522 มีปริมาณน้ำฝนเพียง 747.53 มิลลิเมตร ดังตารางที่ 12 ซึ่งแสดงค่าองค์กร กรมอุตุนิยมวิทยา (2554) รายงานไว้ว่า พ.ศ. 2522 เป็นปีที่เกิดฝนแล้งรุนแรง โดยมีรายงานว่าเกิดภัยแล้งในช่วงครึ่งหลังของเดือนกรกฎาคมและช่วงปลายเดือนสิงหาคมต่อเนื่อง ถึงสัปดาห์ที่ 3 ของเดือนกันยายน เนื่องจากปริมาณฝนตกลงมามีน้อยมาก ทำความเสียหายและมี ผลกระทบต่อเศรษฐกิจของประเทศไทยโดยเฉพาะด้านเกษตรกรรม และอุตสาหกรรม รวมทั้งการ ผลิตไฟฟ้า นอกจากนี้ยังกระทบต่อความเป็นอยู่ของประชาชนในประเทศ เพราะขาดน้ำกิน น้ำใช้ บริเวณที่แห้งจัดนั้นมีบริเวณกว้างที่สุดคือ ภาคเหนือต่อภาคกลางทั้งหมด ทางตอนบนและด้าน ตะวันตก ของภาคตะวันออกเฉียงเหนือและการได้ฟังตะวันออกตอนบน

1.1.2 ความผันแปรของปริมาณน้ำฝนในพื้นที่ลุ่มน้ำแม่แตง จากภาพที่ 12 พบว่า รูปแบบความผันแปรในปีก่อนนี้โดย ปีล่าสุด และปีปกติมีแนวโน้มความผันแปรไปในทิศทาง เดียวกันคือมีจุดสูงสุดของปริมาณน้ำฝนอยู่ในช่วงน้ำหลากระหว่างเดือนสิงหาคมถึงเดือนกันยายน ซึ่งเป็นช่วงที่พื้นที่ภาคเหนือของประเทศไทยได้รับอิทธิพลจากพายุหมุนเขตร้อนและร่องความกด อากาศต่ำพาดผ่านเข้ามาในช่วงเวลาดังกล่าวจึงทำให้มีปริมาณฝนสูง โดยความผันแปรสูงสุดของ ปริมาณน้ำฝนในลุ่มน้ำแม่แตงมีค่าเท่ากับ 246.51 มิลลิเมตรในเดือนสิงหาคมซึ่งเป็นความผันแปร ของปีปกติ รองลงมาค่าเท่ากับ 214.92 มิลลิเมตรในเดือนสิงหาคมคือความผันแปรของปีล่าสุด ส่วนความผันแปรสูงสุดในปีก่อนนี้โดยมีค่าเท่ากับ 214.32 มิลลิเมตรในเดือนกันยายน ส่วนความผัน แปรในช่วงน้ำแล้งมีรูปแบบความผันแปรไปในทิศทางเดียวกันโดยปริมาณน้ำฝนเริ่มลดลงตั้งแต่ เดือนพฤษภาคมถึงเดือนเมษายนทั้ง 3 ชนิดปีซึ่งมีจุดต่ำสุดอยู่ระหว่างเดือนมกราคมถึงเดือน กุมภาพันธ์ เนื่องจากช่วงเวลาดังกล่าวเป็นช่วงที่ลมมรสุมตะวันออกเฉียงเหนือซึ่งมีกำเนิดจากไซ บีเรียพัดผ่านผืนแผ่นดินใหญ่ของจีนมาสู่ภาคเหนือ ทำให้อากาศหนาวเย็นตึ้งแต่กลางเดือนตุลาคมถึง กลางเดือนกุมภาพันธ์ ซึ่งเกือบไม่มีฝนตกเลย



ภาพที่ 12 ความผันแปรของปริมาณน้ำฝนบ้างในช่วงฤดูแล้ง จังหวัดเชียงใหม่

1.1.3 การกระจายของฝนตามฤดูกาลของลุ่มน้ำแม่แตง จากภาพที่ 13 พบว่าการกระจายของปริมาณน้ำฝนทั้งสามชนิดปีมีการกระจายสูงสุดอยู่ในช่วงในช่วงฤดูฝน (SM; ก.ค.-ก.ย.) และรองลงมาได้แก่ช่วงต้นฤดูฝน (OSM; พ.ค.-มิ.ย.) ทั้งสามชนิดปี โดยปีปกติช่วงฤดูฝน (SM; ก.ค.-ก.ย.) มีปริมาณน้ำฝนเท่ากับ 673.25 มิลลิเมตร ช่วงต้นฤดูฝน (OSM; พ.ค.-มิ.ย.) มีปริมาณน้ำฝนเท่ากับ 354.91 มิลลิเมตร ตามลำดับ ส่วนปีเอกนีญช่วงฤดูฝน (SM; ก.ค.-ก.ย.) มีปริมาณน้ำฝนเท่ากับ 587.15 มิลลิเมตร ช่วงต้นฤดูฝน (OSM; พ.ค.-มิ.ย.) มีปริมาณน้ำฝนเท่ากับ 258.16 มิลลิเมตร ตามลำดับ และปีล้านนาช่วงฤดูฝน (SM; ก.ค.-ก.ย.) มีปริมาณน้ำฝนเท่ากับ 552.54 มิลลิเมตร ช่วงต้นฤดูฝน (OSM; พ.ค.-มิ.ย.) ปริมาณฝนเท่ากับ 324.07 มิลลิเมตร ตามลำดับ ซึ่งสอดคล้องกับ สมามาศ (2553) ได้ศึกษาการกระจายของฝนบ้างในช่วงฤดูแล้ง พบว่าการกระจายของฝนสูงสุดในลุ่มน้ำน่านตอนบนอยู่ในฤดูฝน (SM; ก.ค.-ก.ย.) และรองลงมาช่วงต้นฤดูฝน (OSM; พ.ค.-มิ.ย.) เช่นกัน ซึ่งช่วงเวลาที่มีการกระจายของฝนสูงสุดคือ ฤดูฝน (SM; ก.ค.-ก.ย.) นี้ พื้นที่ทางภาคเหนือของประเทศไทยได้รับอิทธิพลจากลมรสุมตะวันตกเฉียงใต้มีกำลังแรงขึ้น ประกอบกับบางครั้งถ้ามีพายุหมุนเกิดขึ้นในทะเลจีนใต้จะทำให้ลมมรสุมตะวันตกเฉียงใต้มีกำลังแรงขึ้นมาก จึงทำให้เกิดฝนตกหนักในช่วงเวลาดังกล่าว



ภาพที่ 13 การกระจายของปริมาณน้ำฝนของปีปกติ เอ่อนน้อม และปีล้านนาบริเวณลุ่มน้ำแม่แตง จังหวัดเชียงใหม่

1.1.4 ปริมาณน้ำฝนแต่ละชนิดปีของลุ่มน้ำแม่แตง โดยแบ่งออกเป็น 3 ชนิดปี ได้แก่ ปีปกติ ปีอ่อนน้อม และปีล้านนา จากการศึกษาข้อมูลปริมาณน้ำฝนของลุ่มน้ำแม่แตงระหว่างปี พ.ศ.

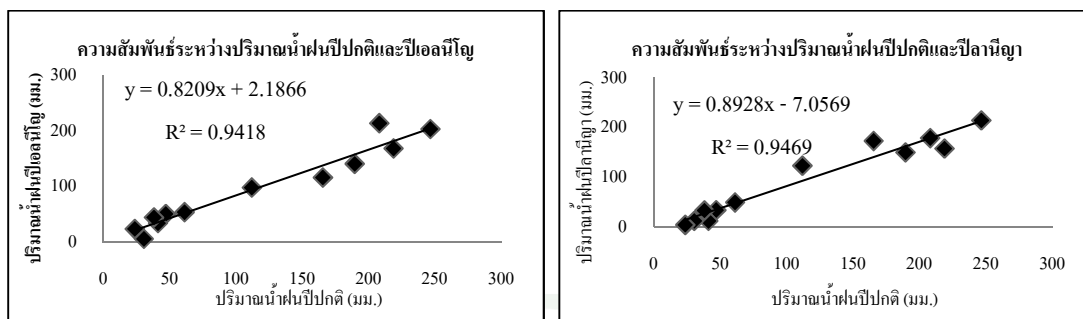
2504 ถึง พ.ศ. 2552 จากตารางที่ 13 พบว่าปีที่เกิดปรากฏการณ์โอลนีโซูนาครุนแรงจำนวน 8 ปี ปริมาณน้ำฝนรายเดือนสูงสุดของปีโอลนีโซูมีค่าเท่ากับ 269.05 มิลลิเมตร ในเดือนสิงหาคม และมีค่าต่ำสุดในเดือนกรกฎาคมมีปริมาณน้ำฝนเพียง 1 มิลลิเมตร ส่วนปรากฏการณ์ล้านีโซูนาครุนแรงมีจำนวน 6 ปี ซึ่งปริมาณน้ำฝนสูงสุดในปีล้านีโซูเท่ากับ 357.40 มิลลิเมตร ในเดือนกันยายนและปริมาณฝนต่ำสุดในเดือนกุมภาพันธ์เท่ากับ 0.4 มิลลิเมตร เมื่อพิจารณาปริมาณน้ำฝนรายปีของปีโอลนีโซูและล้านีโซู พบว่าในปีล้านีโซูมีปริมาณน้ำฝนรายปีสูงกว่าปริมาณน้ำฝนรายปีของปีโอลนีโซูในทุกค่าทั้งค่าสูงสุด ต่ำสุด และค่าเฉลี่ย ซึ่งอธิบายได้ว่าปรากฏการณ์โอลนีโซูและล้านีโซูส่งผลผลกระทบต่อการตกของฝนในพื้นที่ลุ่มน้ำแม่แม่แดง ในส่วนของปีปกติที่มีปริมาณน้ำฝนสูงกว่าทั้งปีโอลนีโซูและล้านีโซูนั้น เนื่องมาจากพื้นที่ทางภาคเหนือนี้มีร่องความกดอากาศต่ำพาดผ่านในช่วงเดือนมิถุนายนถึงเดือนกันยายนประกอบกับในบางครั้งได้รับอิทธิพลจากพายุหมุนเขตร้อนซึ่งส่งผลให้เกิดสภาพฝนตกหนัก อุ่นเช่นปี พ.ศ. 2548 ซึ่งเป็นปีปกติแต่มีสถานการณ์น้ำท่วมเชียงใหม่ถึง 5 ครั้ง โดยครั้งที่ 1 เกิดขึ้นระหว่างวันที่ 13 - 16 สิงหาคม เนื่องมาจากอิทธิพลของพายุดีเปรสชั่นก่อตัวขึ้นบริเวณมหาสมุทรแปซิฟิกทางด้านตะวันออกของประเทศไทยปีนี้ ก่อให้เกิดร่องความกดอากาศต่ำพาดผ่านบริเวณภาคเหนือตอนบน ครั้งที่ 2 เกิดขึ้นระหว่างวันที่ 12 - 13 กันยายน เนื่องมาจากการร่องความกดอากาศต่ำพาดผ่านภาคเหนือตอนบน ก่อให้เกิดฝนตกหนักทางภาคเหนือโดยเฉพาะบริเวณจังหวัดเชียงใหม่และไกล้าเคียง ครั้งที่ 3 เกิดขึ้นระหว่างวันที่ 20 - 22 กันยายน เนื่องมาจากอิทธิพลของพายุดีเปรสชั่น “วีเซนเต” ได้พัดผ่านเข้ามาในบริเวณตอนบนของประเทศไทย ทำให้ฝนตกหนักถึงหนักมากครอบคลุมบริเวณต้นแม่น้ำปิงและดันน้ำแม่แดง ครั้งที่ 4 เกิดขึ้นระหว่างวันที่ 29 กันยายน ถึง 2 ตุลาคม เนื่องมาจากอิทธิพลของพายุโซนร้อน “ด้อมเรย” ก่อตัวขึ้นในบริเวณทะเลจีนใต้ทางด้านตะวันออกของประเทศไทย แล้วยกเคลื่อนตัวอย่างต่อเนื่องไปทางทิศตะวันตก พัดผ่านตอนบนของเวียดนามและเข้าสู่สาธารณรัฐประชาธิปไตยประชาชนลาว ทางด้านตะวันออก ทำให้เกิดฝนตกหนักถึงหนักในภาคเหนือตอนบน และครั้งที่ 5 เกิดขึ้นระหว่างวันที่ 1 - 3 พฤศจิกายน เนื่องมาจากอิทธิพลของแนวลมพัดสอบเข้าหากันของลมใต้และลมตะวันตกเฉียงใต้พาดผ่านภาคเหนือตอนบนประกอบความกดอากาศสูงหรือมวลอากาศเย็นจากประเทศไทยได้แพร่มาปกคลุมภาคเหนือ บวกกับพายุไฝ “ไกตึก” ในทะเลจีนใต้ ได้เคลื่อนขึ้นฝั่งประเทศไทยเวียดนาม (หน่วยวิจัยภัยพิบัติทางธรรมชาติ, 2554)

ตารางที่ 13 ปริมาณน้ำฝนรายเดือนตามชนิดปีของลุ่มน้ำแม่แตง จังหวัดเชียงใหม่ ระหว่างปี พ.ศ. 2504 - 2552

เดือน	ปริมาณน้ำฝนรายเดือน (มิลลิเมตร)								
	ปีปกติ			ปีอ่อนน้อมๆ			ปีแล้ง		
	สูงสุด	ต่ำสุด	เฉลี่ย	สูงสุด	ต่ำสุด	เฉลี่ย	สูงสุด	ต่ำสุด	เฉลี่ย
ม.ค.	88.10	1.00	33.07	16.07	1.00	7.25	22.80	2.83	12.82
ก.พ.	46.40	7.13	24.27	28.13	20.48	24.30	8.70	0.40	4.77
มี.ค.	183.40	2.60	42.53	231.10	1.30	60.94	48.27	19.20	33.73
เม.ย.	176.00	8.40	63.15	120.28	16.54	57.35	96.38	7.58	50.64
พ.ค.	381.73	57.94	191.23	220.80	34.13	138.6	229.10	53.10	147.84
มิ.ย.	351.00	47.90	167.47	190.43	61.96	118.66	294.65	84.72	178.15
ก.ค.	535.83	10.70	221.94	247.38	99.00	169.94	216.50	107.1	159.18
ส.ค.	380.34	141.7	247.36	269.05	136.7	203.61	324.60	160.1	221.78
ก.ย.	394.30	23.80	208.08	262.27	123.8	209.59	357.40	94.60	190.99
ต.ค.	509.20	18.20	122.01	129.86	50.67	96.83	205.10	28.46	121.99
พ.ย.	140.93	1.00	48.87	129.93	7.50	55.62	63.63	19.90	36.55
ธ.ค.	114.13	1.70	43.27	103.88	3.70	41.08	30.50	1.55	13.75
ปริมาณน้ำฝนรายปี	2,024.8	747.5	1,413.24	1,235.38	254.7	1,033.93	1,405.65	484.0	1,172.17

ที่มา: ดัดแปลงจากกรมอุตุนิยมวิทยา (2553)

1.1.5 ความสัมพันธ์ระหว่างปริมาณน้ำฝนปีปกติกับปริมาณน้ำฝนในปีที่เกิดปรากฏการณ์อ่อนน้อมๆ และลานีญาของลุ่มน้ำแม่แตง ผลการศึกษาเมื่อสร้างความสัมพันธ์แบบบุคคลราย แสดงความสัมพันธ์ ดังภาพที่ 14 พบว่าระดับความสัมพันธ์มีค่าสูง โดยมีค่าสัมประสิทธิ์ตัวกำหนด ( $R^2$ ) ของปีปกติกับปีอ่อนน้อมๆ เท่ากับ 0.9418 และค่าสัมประสิทธิ์ตัวกำหนด ( $R^2$ ) ของปีปกติกับปีแล้ง เท่ากับ 0.9469 จากค่าความสัมพันธ์ที่มีลักษณะแปรผันตามกันในระดับสูง อธิบายได้ว่า ปรากฏการณ์อ่อนน้อมๆ และลานีญา มีผลต่อปริมาณน้ำฝนในลุ่มน้ำแม่แตงน้อยมาก ทั้งนี้เนื่องจากการตกของฝนในประเทศไทยขึ้นอยู่กับลมมรสุมตะวันออกเฉียงเหนือและลมมรสุมตะวันตกเฉียงใต้



ภาพที่ 14 ความสัมพันธ์ระหว่างปริมาณน้ำฝนปีปกติกับปริมาณน้ำฝนในปีที่เกิดปรากฏการณ์เอลนีโญและลานีโญในพื้นที่ลุ่มน้ำแม่แตง จังหวัดเชียงใหม่

เป็นส่วนใหญ่ โดยอิทธิพลของลมมรสุมตะวันตกเฉียงใต้เริ่มตั้งแต่เดือนพฤษภาคมถึงเดือนตุลาคม และลมมรสุมตะวันออกเฉียงเหนือเริ่มตั้งแต่เดือนพฤษภาคมถึงเดือนตุลาคม ซึ่งผลของอิทธิพลจะมีมากหรือน้อยขึ้นอยู่กับลักษณะที่ตั้งและตำแหน่งที่แตกต่างกัน รวมไปถึงสภาพภูมิประเทศของแต่ละพื้นที่ด้วย ซึ่งภาคเหนือเป็นพื้นที่ตั้งของลุ่มน้ำแม่แตง พื้นที่ส่วนใหญ่เป็นภูเขาสูง มีลมมรสุมตะวันตกเฉียงใต้ที่พัดเข้ามาทำให้เกิดฝนตกหนักตามบริเวณภูเขา ไปจนถึงช่วงกลางเดือนตุลาคม ในช่วงเดือนสิงหาคมถึงกันยายนมีฝนตกหนักที่สุด และมีความถี่ของพายุหมุนเวียนจากทะเลจีนใต้ซึ่งเกิดขึ้นในช่วงเวลาดังกล่าว เช่น กันเคลื่อนที่เข้าสู่ประเทศไทยตอนบนมากที่สุดในช่วงเดือนกันยายน ทำให้ฝนตกชุก และเป็นสาเหตุที่ทำให้เกิดน้ำท่วมตามบริเวณที่รับอุ่นสองฝั่งของลำน้ำสายต่าง ๆ

1.1.6 การทดสอบความแตกต่างของข้อมูลปริมาณน้ำฝนรายเดือนระหว่างปีปกติกับปีเอลนีโญและปีลานีโญ ของลุ่มน้ำแม่แตง จากการทดสอบความแตกต่างของข้อมูลแบบสองทาง (two tailed test) โดยใช้สถิติทดสอบที (t-test) ได้แสดงค่านัยสำคัญทางสถิติดังตารางที่ 14 พบว่าค่าเฉลี่ยของปริมาณน้ำฝนรายเดือนในปีที่เกิดปรากฏการณ์เอลนีโญ และลานีโญในพื้นที่ลุ่มน้ำแม่แตง ไม่มีความแตกต่างจากปีปกติอย่างมีนัยสำคัญที่ระดับความเชื่อมั่นร้อยละ 95 ทุกช่วงการทดสอบ จากผลการทดสอบอิบิยา ได้ว่าปรากฏการณ์เอลนีโญและลานีโญไม่มีผลกระทบต่อปริมาณน้ำฝนในพื้นที่ลุ่มน้ำแม่แตง เนื่องมาจากพื้นที่ลุ่มน้ำแม่แตงตั้งอยู่ทางภาคเหนือของประเทศไทย มีความห่างไกลจากทะเล ซึ่งปรากฏการณ์เอลนีโญและลานีโญมีผลกระทบที่ชัดเจนกับพื้นที่ที่อยู่ติดต่อกับทะเล ความห่างไกลจากทะเลของลุ่มน้ำแม่แตงทำให้ปรากฏการณ์ที่สองแพร่อิทธิพลเข้าไปไม่ถึง ซึ่งการตกลงฝนในพื้นที่ลุ่มน้ำแม่แตง ได้รับอิทธิพลมาจากการลมมรสุมตะวันตกเฉียงเหนือในช่วงเดือนพฤษภาคมจนถึงเดือนกันยายน เป็นหลักประกอบกับมีลักษณะภูมิประเทศเป็นภูเขา

**ตารางที่ 14 เปรียบเทียบข้อมูลปริมาณน้ำฝนรายเดือนระหว่างปีปกติกับปีอ่อนนิโญ และปีลานีญา  
ของคุณน้ำแม่แตง จังหวัดเชียงใหม่**

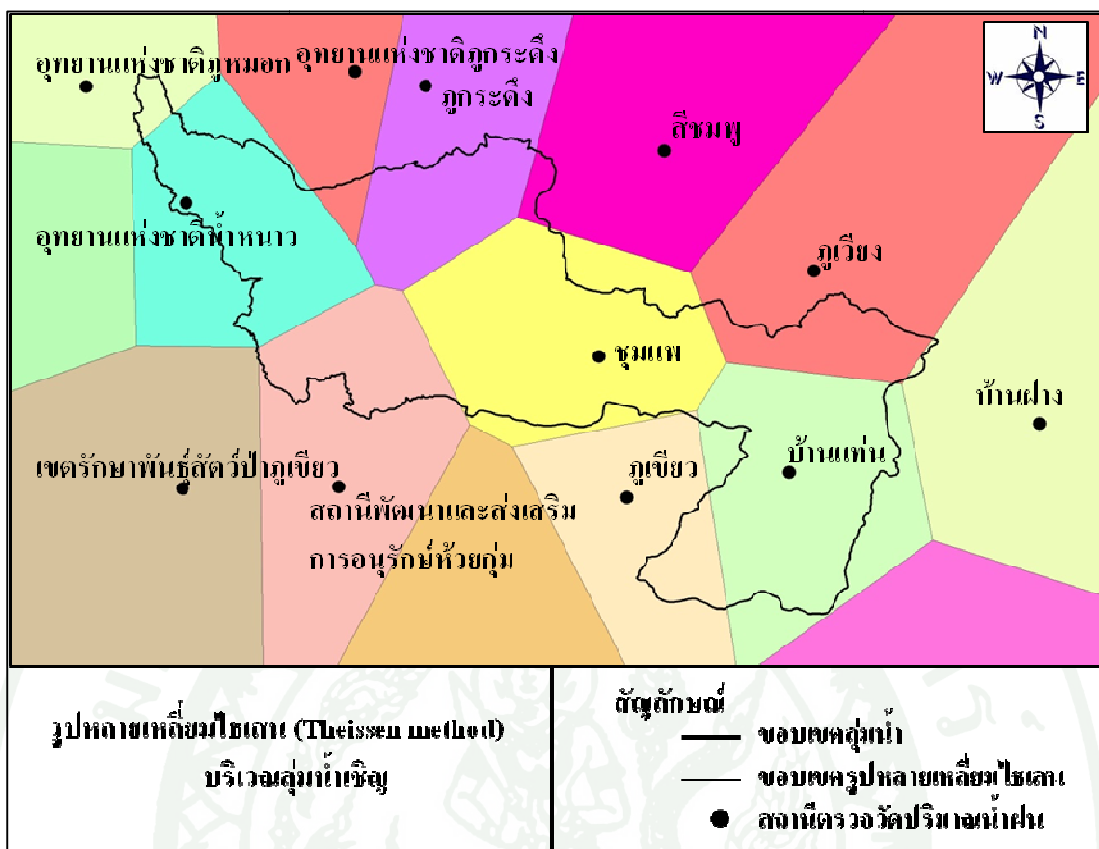
<b>เปรียบเทียบปริมาณน้ำฝน</b>			
<b>ปีปกติกับปีอ่อนนิโญ</b>		<b>ปีปกติกับปีลานีญา</b>	
<b>ช่วงการเปรียบเทียบ</b>	<b>นัยสำคัญทางสถิติ</b>	<b>ช่วงการเปรียบเทียบ</b>	<b>นัยสำคัญทางสถิติ</b>
รายปี	0.571 <sup>ns</sup>	รายปี	0.565 <sup>ns</sup>
น้ำหลากรainfall	0.438 <sup>ns</sup>	น้ำหลากรainfall	0.533 <sup>ns</sup>
น้ำแล้ง	0.590 <sup>ns</sup>	น้ำแล้ง	0.162 <sup>ns</sup>

หมายเหตุ ns = ไม่มีความแตกต่างอย่างมีนัยสำคัญทางสถิติที่ระดับความเชื่อมั่นร้อยละ 95

สูงทำให้อาภัยเกิดการยกตัวเมื่อเคลื่อนที่ผ่านภูเขาประกอบกับได้รับความชื้นจากป่าดิบเขาที่ปักคลุมอยู่บนภูเขาซึ่งทำหน้าที่เป็นแหล่งความชื้นขนาดใหญ่จากการขยายตัวของพืชซึ่งสามารถส่งเสริมกระบวนการเกิดฝนในพื้นที่คุณน้ำแม่แตงได้เป็นอย่างดี การที่คุณน้ำแม่แตงมีพื้นที่เป็นภูเขารูปแบบน้ำตกและมีพื้นที่ป่าทำให้เกิดความสมดุล และมีปริมาณน้ำฝนในสัดส่วนสูงมีการเปลี่ยนแปลงในระบบน้อย ส่วนปรากภูการณ์อ่อนนิโญและลานนีญาที่เกิดขึ้นเนื่องจากการหมุนเวียนของกระแสน้ำทะเลขามหาสมุทรที่อยู่ห่างไกลจากพื้นที่คุณน้ำมากจึงทำให้ปรากภูการณ์ทั้งสองไม่มีผลกระทบต่อปริมาณน้ำฝนในพื้นที่คุณน้ำแม่แตง

## 1.2 คุณน้ำเชี่ยว

1.2.1 ปริมาณน้ำฝนเฉลี่ย จากการศึกษาข้อมูลปริมาณน้ำฝนระหว่างปี พ.ศ. 2518 ถึง พ.ศ. 2552 จำนวน 12 สถานี ทั้งสถานีที่อยู่ในพื้นที่คุณน้ำและพื้นที่ไกลเคียง โดยหาค่าเฉลี่ยด้วยวิธี Thiessen method (ภาพที่ 15) ซึ่งค่าเฉลี่ยปริมาณน้ำฝนของคุณน้ำเชี่ยวเท่ากับ 1,328.53 มิลลิเมตรต่อปี พื้นที่คุณน้ำเชี่ยวตั้งอยู่ในภาคตะวันออกเฉียงเหนือซึ่งอยู่ภายใต้อิทธิพลของลมมรสุมและลมพายุ หมุนเวคร้อน ลมพายุที่พัดผ่าน คือลมมรสุมตะวันตกเฉียงใต้ และลมมรสุมตะวันออกเฉียงเหนือ จึงทำให้คุณน้ำเชี่ยวมีลักษณะภูมิอากาศแบบเบตร้อนที่มีปริมาณฝนต่ำคือมีปริมาณฝนต่ำสุดเท่ากับ 796 มิลลิเมตร และปริมาณน้ำฝนสูงสุดเท่ากับ 1,785.06 มิลลิเมตร ดังตารางที่ 15 เนื่องด้วยลักษณะที่ตั้งที่อยู่ห่างไกลจากทะเลส่งผลต่อปริมาณไอน้ำในอากาศซึ่งโอกาสที่ลมหรือมวลอากาศจะนำไอน้ำเข้า



**ภาพที่ 15 รูปหลากราบีเยน (Thiessen method) สำหรับคำนวณค่าปริมาณน้ำฝนคลื่นบริเวณ  
ลุ่มน้ำเชียง จังหวัดชัยภูมิ ขอนแก่น และเพชรบูรณ์**

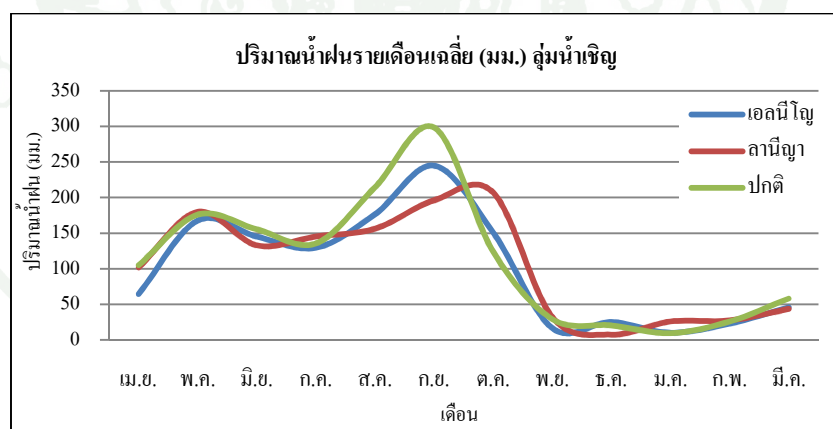
ไปถึงมีน้อยโดยเฉพาะช่วงฤดูแล้งระหว่างเดือนธันวาคมถึงเดือนเมษายน อากาศมีความชื้นต่ำมาก ซึ่งฝนที่ตกในภาคตะวันออกเฉียงเหนือส่วนใหญ่ได้รับอิทธิพลมาจากการพาหุழุนที่เคลื่อนที่มาจากทะเลจีนใต้ ดังนั้นทางภาคตะวันออกของภาคได้รับอิทธิพลมากกว่าพระอาทิตย์ตั้นลมหรืออุ่นไก่ทะเลจีนมากกว่าทางภาคตะวันตกของภาค เช่น จังหวัดชัยภูมิ จังหวัดขอนแก่น ซึ่งลุ่มน้ำเชิญอุ่นในพื้นที่ดังกล่าว จึงทำให้มีปริมาณฝนน้อย ประกอบกับลุ่มน้ำเชิญอุ่นในเขตเงาฝน (rain shadow) อันเนื่องมาจากมีเทือกเขาเพชรบูรณ์และเทือกเขาดงพญาเย็นวางตัวห่างทิศทางลมมรสุมกู้ร้อนจากอ่าวไทย ทะเลอันดามัน (จมพล, 2554)

1.2.2 ความผันแปรของปริมาณน้ำฝนในพื้นที่คุณน้ำเชิญ จากภาพที่ 16 พบว่ารูปแบบความผันแปรในปีอ่อนนิโสู ปีล้านิษฐา และปีปกติมีแนวโน้มความผันแปรไปในทิศทางเดียวกันคือมีจุดสูงสุดของปริมาณน้ำฝนอยู่ในช่วงน้ำหลากระหว่างเดือนกันยายนถึงเดือนตุลาคม โดยเฉพาะเดือนกันยายนมีปริมาณน้ำฝนสูงสุด กีดความผันแปรของปริมาณน้ำฝนในปีปกติมีปริมาณน้ำฝน

ตารางที่ 15 ปริมาณน้ำฝนรายปีของลุ่มน้ำชีญ จังหวัดชัยภูมิ ขอนแก่น และเพชรบูรณ์

ปี (พ.ศ.)	ปริมาณน้ำฝน รายปี (มม.)	ปี (พ.ศ.)	ปริมาณน้ำฝน รายปี (มม.)	ปี (พ.ศ.)	ปริมาณน้ำฝน รายปี (มม.)
2518	1,230.34	2530	1,226.20	2542	1,331.81
2519	1,110.49	2531	1,290.51	2543	1,554.40
2520	1,096.38	2532	1,212.61	2544	1,555.42
2521	1,631.73	2533	1,334.06	2545	1,578.16
2522	1,129.79	2534	1,359.47	2546	1,303.46
2523	1,538.34	2535	1,054.76	2547	1,264.37
2524	796.00	2536	985.34	2548	1,166.04
2525	1,096.09	2537	1,250.98	2549	1,416.21
2526	1,389.53	2538	1,305.12	2550	1,222.14
2527	1,254.65	2539	1,657.66	2551	1,785.06
2528	1,115.33	2540	974.77	2552	1,421.03
2529	1,043.42	2541	1,252.11		

ที่มา: กรมอุตุนิยมวิทยา (2553)

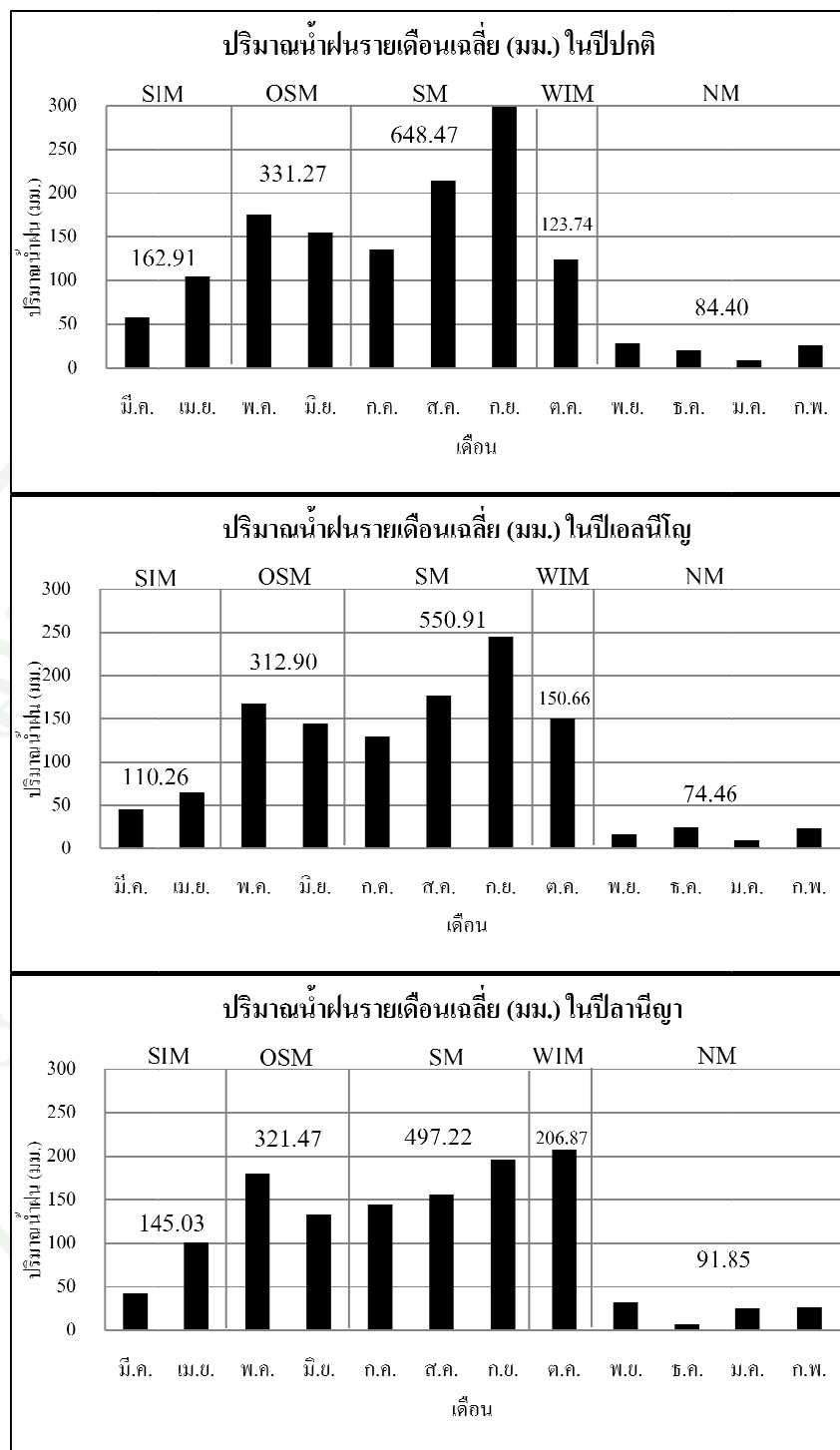


ภาพที่ 16 ความผันแปรของปริมาณน้ำฝนบริเวณลุ่มน้ำชีญ จังหวัดชัยภูมิ ขอนแก่นและเพชรบูรณ์

สูงสุดเท่ากับ 298.36 มิลลิเมตร รองลงมาเป็นความผันแปรของปริมาณน้ำฝนสูงสุดในปีอโยธยาในเดือนกันยายน เช่นกันมีปริมาณน้ำฝนเท่ากับ 244.9 มิลลิเมตร ส่วนความผันแปรในปีลพบุรีมีปริมาณน้ำฝนสูงสุดในเดือนตุลาคมเท่ากับ 206.87 มิลลิเมตร จากภาพที่ 16 สรุปได้ว่าพื้นที่ลุ่มน้ำ

เชิญมีช่วงเวลาที่ฝนตกสูงเป็นเวลาแค่ 3 เดือน ก็อเดือนสิงหาคมถึงเดือนตุลาคม ทั้งนี้เนื่องมาจากลมมรสุมฤดูร้อนซึ่งพัดเข้ามาสู่ตอนใต้ของภาคตะวันออกเฉียงเหนือในเวลาดังกล่าว จึงส่งผลให้ลุ่มน้ำเชิญซึ่งตั้งอยู่ในบริเวณตอนใต้ของภาคส่วนกลางให้มีปริมาณน้ำฝนสูงตามไปด้วย ส่วนความผันแปรในช่วงน้ำแล้งมีรูปแบบความผันแปรไปในทิศทางเดียวกันโดยปริมาณน้ำฝนเริ่มลดลงตั้งแต่เดือนพฤษภาคมถึงเดือนเมษายน โดยทั้ง 3 ชนิดปี ซึ่งมีจุดต่ำสุดอยู่ในเดือนธันวาคม ทั้งนี้เนื่องจากได้รับลมมรสุมตะวันออกเฉียงเหนือซึ่งมีกำเนิดจากไซบีเรียพัดผ่านผืนแผ่นดินใหญ่ของจีนมาสู่ภาคนี้ ทำให้อากาศหนาวเย็น และเกือบจะไม่มีฝนตกเลย ต่อจากนั้นมวลอากาศครอแรนแบซิฟิกเหนือซึ่งได้รับความร้อนในเขตตื้นน้ำเริ่มพัดจากทิศตะวันออกและตะวันออกเฉียงใต้ ทำให้อากาศร้อนและแห้งแล้งตั้งแต่เดือนธันวาคมถึงเดือนเมษายน

1.2.3 การกระจายของฝนตามฤดูกาลของลุ่มน้ำเชิญ จากภาพที่ 17 พบว่าการกระจายของปริมาณน้ำฝนในพื้นที่ลุ่มน้ำเชิญในปีก่อนนี้โดยและลานีญา มีการกระจายของปริมาณน้ำฝนในแต่ละฤดูกาลเหมือนกัน โดยมีการกระจายของฝนสูงสุดในช่วงฝน (SM; ก.ค.-ก.ย.) และรองลงมาได้แก่ ช่วงต้นฤดูฝน (OSM; พ.ค.-มิ.ย.) ต้นฤดูหนาว (WIM; ต.ค.) ฤดูร้อน (SIM; มี.ค.-เม.ย.) และฤดูหนาว (NM; พ.ย.-ก.พ.) ตามลำดับ โดยปีก่อนนี้โดยมีการกระจายปริมาณน้ำฝนเท่ากับ 550.91 312.90 150.66 110.26 และ 74.46 มิลลิเมตร ตามลำดับ ส่วนปีล่ามีญา มีการกระจายปริมาณน้ำฝนเท่ากับ 497.22 321.47 206.87 145.03 และ 91.85 มิลลิเมตร ตามลำดับ สำหรับปีปกติ มีการกระจายของปริมาณน้ำฝนเหมือนกับปีก่อนนี้โดยและลานีญา 3 ฤดู ก็อฤดูฝน (SM; ก.ค.-ก.ย.) มีการกระจายของปริมาณน้ำฝนสูงสุดเท่ากับ 648.47 มิลลิเมตร และรองลงมาได้แก่ ช่วงต้นฤดูฝน (OSM; พ.ค.-มิ.ย.) มีปริมาณน้ำฝนเท่ากับ 331.27 มิลลิเมตร และช่วงฤดูหนาว (NM; พ.ย.-ก.พ.) มีการกระจายของปริมาณน้ำฝนต่ำสุดมีปริมาณน้ำฝนเท่ากับ 84.4 มิลลิเมตร ซึ่งผลการศึกษาการกระจายของปริมาณน้ำฝนตามฤดูกาลของลุ่มน้ำเชิญสอดคล้องกับ จริญญา (2554) ซึ่งศึกษาการกระจายของฝนบริเวณสถานีตรวจอากาศบ้านตาก ณ วนอุทยานไม็กลายเป็นพื้นที่ อำเภอเมือง จังหวัดตาก พบว่า การกระจายของฝนสูงสุดอยู่ในฤดูฝน (SM; ก.ค.-ก.ย.) ช่วงต้นฤดูฝน (OSM; พ.ค.-มิ.ย.) ต้นฤดูหนาว (WIM; ต.ค.) ฤดูร้อน (SIM; มี.ค.) และฤดูหนาว (NM; พ.ย.-ก.พ.) ตามลำดับ การกระจายของปริมาณน้ำฝนที่เหมือนกันก็เนื่องมาจากพื้นที่ทั้งสองอยู่ในเขต bergen ที่เหมือนกันคือ พื้นที่จังหวัดตากมีเทือกเขาบนนั้นชัยขวางลมมรสุมตะวันตกเฉียงใต้จากมหาสมุทรอินเดีย ส่วนลุ่มน้ำเชิญมีเทือกเขาเพชรบูรณ์ ชัยขวางตัวขวางลมมรสุมตะวันตกเฉียงใต้จากทะเลอันดามัน และเทือกเขาคงพญาเย็น ชัยขวางตัวขวางทิศทางลมมรสุมฤดูร้อนจากอ่าวไทย จึงทำให้พื้นที่ทั้งสองได้รับลมมรสุมได้ไม่เต็มที่ส่งผลให้มีลักษณะการกระจายของปริมาณน้ำฝนที่เหมือนกัน



ภาพที่ 17 การกระจายของปริมาณน้ำฟ่นของปีปกติ เอ่อนนิสัย และปีลานีญาบริเวณลุ่มน้ำเชิง  
จังหวัดชัยภูมิ ขอนแก่น และเพชรบูรณ์

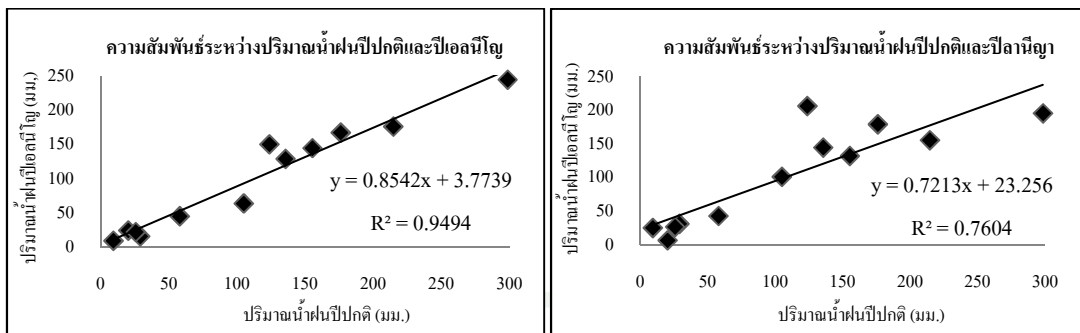
1.2.4 ปริมาณน้ำฝนแต่ละชนิดปีของคุณน้ำเชิญ โดยแบ่งออกเป็น 3 ชนิดปี ได้แก่ ปีปกติ ปีอ่อนน้อม และปีแลนเนี้ย จากการศึกษาข้อมูลปริมาณน้ำฝนระหว่างปี พ.ศ. 2518 ถึง พ.ศ. 2552 (ตารางที่ 16) พบว่าปีที่เกิดปรากฏการณ์อ่อนน้อมุนขาดรุนแรงจำนวน 8 ปี ปริมาณน้ำฝนรายเดือนสูงสุดของปีอ่อนน้อมุนค่าเท่ากับ 304.12 มิลลิเมตร ในเดือนสิงหาคม และมีค่าต่ำสุดในเดือนพฤษภาคมมีปริมาณน้ำฝนเพียง 0.2 มิลลิเมตร ส่วนปรากฏการณ์แลนเนี้ยขนาดรุนแรงมีจำนวน 6 ปี ซึ่งปริมาณน้ำฝนสูงสุดในปีแลนเนี้ยมีค่าเท่ากับ 335.93 มิลลิเมตร ในเดือนตุลาคมและปริมาณน้ำฝนต่ำสุดในเดือนมกราคมมีค่าเท่ากับ 2.78 มิลลิเมตร ส่วนปีปกติมีปริมาณน้ำฝนรายเดือนสูงสุดในเดือนกันยายนมีค่าเท่ากับ 566.16 มิลลิเมตร ปริมาณน้ำฝนรายเดือนต่ำสุดในเดือนมกราคมมีค่าเท่ากับ 0.05 มิลลิเมตร เมื่อพิจารณาปริมาณน้ำฝนเฉลี่ยของคุณน้ำเชิญทั้งสามช่วงเวลาทั้งปีอ่อนน้อมุนแลนเนี้ย และปีปกติ มีค่าเท่ากับ 1,199.19, 1,253.44 และ 1,350.79 มิลลิเมตรต่อปี ตามลำดับ เห็นได้ว่าปริมาณน้ำฝนเฉลี่ยมีค่าใกล้เคียงกันมากแม้ในปีปกติมีค่าสูงสุดก็ตาม การที่ปีอ่อนน้อมุนและปีแลนเนี้ยมีค่าปริมาณน้ำฝนใกล้เคียงกันสามารถอธิบายได้ว่าอิทธิพลของปรากฏการณ์อ่อนน้อมุนและแลนเนี้ยไม่มีผลต่อปริมาณน้ำฝนในพื้นที่คุณน้ำเชิญนี้องค์วิพันธ์ที่ต้องอยู่ห่างไกลจากทะเลลึกเข้าไปในพื้นดินทำให้ผลของปรากฏการณ์อ่อนน้อมุนและแลนเนี้ยซึ่งเป็นปรากฏการณ์ที่เกิดในในมหาสมุทรสั่งผลกระทบได้น้อยลงเมื่อพื้นที่อยู่ห่างไกลทะเลมากขึ้น จากค่าปริมาณน้ำฝนสูงสุดทั้งสามช่วงเวลาอยู่ในช่วงฤดูฝนของภาคตะวันออกเฉียงเหนือ โดยพำนัช่วงปลายฤดูฝนประมาณเดือนสิงหาคมถึงเดือนกันยายน ฝนที่ตกในภาคตะวันออกเฉียงเหนือเกิดจากพาหุคุร้อนซึ่งเริ่มพัดเข้ามาสู่ภาคตะวันออกเฉียงเหนือ เดือนพฤษภาคมถึงเดือนตุลาคม และพาหุหมุนจากทะเลจีนใต้ เริ่มเคลื่อนที่ผ่านเข้ามาตั้งแต่ประมาณเดือนกรกฎาคมถึงเดือนตุลาคม ในเดือนกรกฎาคมเคลื่อนผ่านภาคตะวันออกเฉียงเหนือตอนบน เดือนสิงหาคมถึงเดือนกันยายนเคลื่อนที่ผ่านตอนกลางของภาคตะวันออกเฉียงเหนือ และเดือนตุลาคมจะผ่านตอนใต้ของภาคตะวันออกเฉียงเหนือ และพาหุหมุนนี้ช่วยให้เกิดฝนตกในภาคตะวันออกเฉียงเหนือเพิ่มจากที่ได้จากลมมรสุมตะวันตกเฉียงใต้มาก ถ้าปีได้พาหุหมุนเข้ามาน้อย ภาคตะวันออกเฉียงเหนือ ต้องประสบกับความแห้งแล้ง ความเยาวนานของฤดูฝนประมาณ 4 เดือนครึ่ง ลมที่นำไอน้ำไปก่อตัวเป็นเมฆและตกลงมาเป็นฝนน้ำเป็นลมที่มีพลังมากเพราะจะต้องพัดผ่านแนวเทือกเขาต่าง ๆ ที่กันเป็นกำแพงอยู่ ถ้าลมมีกำลังมากก็นำฝนมาตกมาก ดังนั้นในเดือนสิงหาคมและกันยายนมีฝนตกเฉลี่ยถึง 250.3 และ 281.7 มิลลิเมตร ตามลำดับ เพราะเป็นระยะที่มีพาหุหมุนเคลื่อนผ่านเข้ามามาก (จุ่มพล, 2554)

**ตารางที่ 16 ปริมาณน้ำฝนรายเดือนตามชนิดปีของลุ่มน้ำเชียง จังหวัดชัยภูมิ ขอนแก่น  
และเพชรบูรณ์ ระหว่างปี พ.ศ. 2518 - 2552**

เดือน	ปริมาณน้ำฝนรายเดือน (มิลลิเมตร)								
	ปีปกติ			ปีเอลนีโญ			ปีแลนีญา		
	สูงสุด	ต่ำสุด	เฉลี่ย	สูงสุด	ต่ำสุด	เฉลี่ย	สูงสุด	ต่ำสุด	เฉลี่ย
ม.ค.	19.07	0.05	9.39	25.03	0.60	10.78	63.45	2.78	28.16
ก.พ.	67.42	0.70	26.47	53.13	7.01	24.65	52.35	6.70	27.94
มี.ค.	138.53	0.75	58.96	88.08	4.50	45.92	54.85	15.13	40.98
เม.ย.	294.72	54.25	110.71	94.78	29.53	63.97	187.9	36.78	104.71
พ.ค.	272.78	87.27	176.34	249.78	129.8	172.15	223.21	127.6	178.53
มิ.ย.	366.64	69.02	160.47	312.60	94.57	156.84	184.93	69.33	131.11
ก.ค.	386.55	50.91	142.48	218.12	96.98	135.72	174.31	131.9	147.12
ส.ค.	325.46	97.97	214.32	340.12	72.78	183.17	252.08	100.7	161.16
ก.ย.	566.16	96.38	301.10	332.29	150.3	244.10	243.46	152.4	196.50
ต.ค.	266.23	2.00	124.61	232.93	75.60	151.46	335.93	121.6	212.34
พ.ย.	122.20	1.93	32.00	43.58	0.20	17.81	63.28	5.30	32.49
ธ.ค.	38.25	2.40	20.27	76.06	4.60	29.44	9.15	4.45	7.08
ปริมาณ น้ำฝนรายปี	1,785.06	796.0	1,377.15	1,389.53	523.9	1,236.0	1,331.81	728.2	1,268.09

ที่มา: ดัดแปลงจากกรมอุตุนิยมวิทยา (2553)

1.2.5 ความสัมพันธ์ระหว่างปริมาณน้ำฝนปีปกติกับปริมาณน้ำฝนในปีที่เกิดปรากฏการณ์เอลนีโญ และ lanine ของลุ่มน้ำเชียง ผลการศึกษาเมื่อสร้างความสัมพันธ์แบบบุคคลกระหาย แสดงความสัมพันธ์ ดังภาพที่ 18 พบว่าระดับความสัมพันธ์มีค่าสูง โดยมีค่าสัมประสิทธิ์ตัวกำหนด ( $R^2$ ) ของปีปกติกับปีเอลนีโญ เท่ากับ 0.9494 และค่าสัมประสิทธิ์ตัวกำหนด ( $R^2$ ) ของปีปกติกับปีแลนีญา เท่ากับ 0.7604 จากค่าความสัมพันธ์ที่มีลักษณะแปรผันตามกันในระดับสูงอย่างมาก ได้ว่าปรากฏการณ์เอลนีโญและ lanine มีผลต่อปริมาณน้ำฝนในลุ่มน้ำเชียงน้อยมากทั้งนี้เนื่องจาก การตกของฝนในประเทศไทยขึ้นอยู่กับลมมรสุมตะวันออกเฉียงเหนือและลมมรสุมตะวันตกเฉียงใต้เป็นส่วนใหญ่ โดยอิทธิพลของลมมรสุมตะวันตกเฉียงเหนือเริ่มตั้งแต่เดือนพฤษภาคมถึงเดือนตุลาคม และลมมรสุมตะวันออกเฉียงเหนือเริ่มตั้งแต่เดือนพฤษภาคมถึงเดือนตุลาคม ซึ่งผลของ



**ภาพที่ 18 ความสัมพันธ์ระหว่างปริมาณน้ำฝนปีปกติกับปริมาณน้ำฝนในปีที่เกิดปรากฏการณ์  
ออกซิเจน ไลน์โซลและลานีโซลในพื้นที่ลุ่มน้ำเชิญ จังหวัดชัยภูมิ ขอนแก่น และเพชรบูรณ์**

อิทธิพลมีมากหรือน้อยขึ้นอยู่กับลักษณะที่ตั้งและตำแหน่งที่แตกต่างกัน รวมไปถึงสภาพภูมิประเทศของแต่ละพื้นที่ด้วย ส่วนลุ่มน้ำเชิญซึ่งตั้งอยู่ในภาคตะวันออกเฉียงเหนือมีเทือกเขาสูงทางด้านทิศใต้และทิศตะวันตก จึงทำให้เกิดการปิดกั้นกระแสอากาศที่มีไอน้ำและความชื้นจากทะเล ทำให้ภูมิภาคนี้มีปริมาณฝนตกน้อยและไม่สม่ำเสมอ โดยฝนตกน้อยทางด้านทิศตะวันตกของภาคซึ่งลุ่มน้ำเชิญมีตำแหน่งที่ตั้งอยู่บริเวณนี้และฝนค่อนข้างน้อย ตอกมากขึ้นในด้านทิศตะวันออกของภาคโดยเฉพาะอย่างยิ่งในพื้นที่จังหวัดหนองคาย และสกลนคร

1.2.6 การทดสอบความแตกต่างของข้อมูลปริมาณน้ำฝนรายเดือนระหว่างปีปกติกับปีออกซิเจน ไลน์โซลและลานีโซล ของการทดสอบความแตกต่างของข้อมูลแบบสองทาง (two tailed test) โดยใช้สถิติทดสอบที (t-test) ได้แสดงค่านัยสำคัญทางสถิติดังตารางที่ 17 พบว่าค่าเฉลี่ยของปริมาณน้ำฝนรายเดือนในปีที่เกิดปรากฏการณ์ออกซิเจน ไลน์โซลและลานีโซลในพื้นที่ลุ่มน้ำเชิญ ไม่มีความแตกต่างจากปีปกติอย่างมีนัยสำคัญที่ระดับความเชื่อมั่นร้อยละ 95 ทุกช่วงการทดสอบ จากผลการทดสอบอธิบายได้ว่า ปรากฏการณ์ออกซิเจน ไลน์โซลและลานีโซลไม่มีผลกระทบต่อปริมาณน้ำฝนในพื้นที่ลุ่มน้ำเชิญ เนื่องมาจากการตกของฝนในลุ่มน้ำเชิญมาจากลมรสูดตะวันตกเฉียงเหนือหรือลมรสุมฤดูร้อนซึ่งพัดจากบริเวณเหนือพื้นที่ทางเดิมมีไอน้ำหรือความชื้นสูงและมีแหล่งกำเนิดจากเบตอร้อนจึงมีอุณหภูมิสูง เมื่อเคลื่อนที่ผ่านเข้ามาสู่ภาคตะวันออกเฉียงเหนือจึงเป็นมวลอากาศหรือลมที่อุ่นและชื้น ทำให้เกิดการกลับตัวเป็นเมฆฝนตกลงมา ดังนั้น เดือนพฤษภาคมถึงเดือนตุลาคมจึงเป็นช่วงที่มีฝนตกชุดที่สุดของปี ประกอบกับบางครั้งมีพายุหมุนเบตอร้อนเกิดขึ้นบริเวณทะเลจีนใต้ จึงส่งผลให้พื้นที่ทางภาคตะวันออกเฉียงเหนือมีฝนตกหนักและเกิดน้ำท่วมในช่วงฤดูฝน

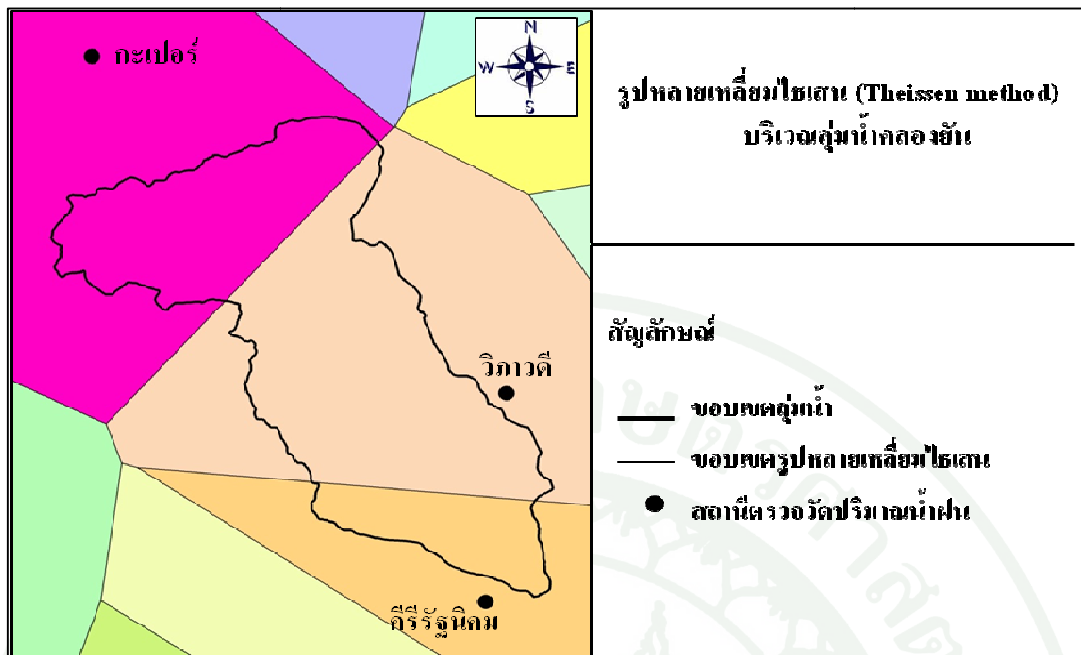
ตารางที่ 17 เปรียบเทียบข้อมูลปริมาณน้ำฝนรายเดือนระหว่างปีปกติกับปีโอลนีโอล และปีล้านีญา  
ของกลุ่มน้ำเชิญ จังหวัดชัยภูมิ ขอนแก่น และเพชรบูรณ์

เปรียบเทียบปริมาณนำฝน			
ปีปกติกับปีเอลนีโญ		ปีปกติกับปีลาเนิร์ญา	
ช่วงการเปรียบเทียบ	นัยสำคัญทางสถิติ	ช่วงการเปรียบเทียบ	นัยสำคัญทางสถิติ
รายปี	0.717 <sup>ns</sup>	รายปี	0.811 <sup>ns</sup>
นำหลากรายปี	0.728 <sup>ns</sup>	นำหลากรายปี	0.760 <sup>ns</sup>
นำแมลง	0.627 <sup>ns</sup>	นำแมลง	0.914 <sup>ns</sup>

หมายเหตุ ns = ไม่มีความแตกต่างอย่างมีนัยสำคัญทางสถิติที่ระดับความเชื่อมั่นร้อยละ 95

### 1.3 គំនឹកគុណឃាន

1.3.1 ปริมาณน้ำฝนลี่ย์ จากการศึกษาข้อมูลปริมาณน้ำฝนระหว่างปี พ.ศ. 2518 ถึง พ.ศ. 2552 จำนวน 3 สถานี โดยหาค่าเฉลี่ยด้วยวิธี Thiessen method (ภาพที่ 19) ซึ่งค่าเฉลี่ยปริมาณน้ำฝนของคุณน้ำคลองยันเท่ากับ 2,116.48 มิลลิเมตร พื้นที่คุณน้ำคลองยันตั้งอยู่ในจังหวัดสุราษฎร์ธานีและจังหวัดระนองซึ่งอยู่ทางภาคใต้ของประเทศไทย พื้นที่มีทะเลน้ำทึบสองด้านจึงได้รับอิทธิพลจากลมรสุนตะวันตกเฉียงใต้และลมรสุนตะวันออกเฉียงเหนือทำให้พื้นที่คุณน้ำคลองยันมีฝนตกชุกเกือบทตลอดทั้งปี โดยมีปริมาณฝนสูงสุดในปี พ.ศ. 2523 เท่ากับ 3,918.8 มิลลิเมตรต่อปี และมีปริมาณฝนต่ำสุดในปี พ.ศ. 2552 เท่ากับ 1,167.2 มิลลิเมตรต่อปี ดังตารางที่ 18 ประกอบกับคุณน้ำคลองยันมีลักษณะภูมิประเทศเป็นลูกคลื่นล่อนลاد ไปจนถึงภูเขาหรือบางส่วนเป็นที่ราบสูงสลับกันไป มีป่าดงดิบปกคลุมให้ความชุ่มชื้นในบรรยากาศ และพื้นที่อยู่ใกล้ทะเลทำให้ลมที่พัดเอ้าไอน้ำจากทะเลปะทะกับภูมิประเทศที่เป็นภูเขาที่วางตัวลาดเอียงจากทิศตะวันตกเฉียงเหนือไปยังทิศตะวันออกเฉียงใต้ ทำให้ความชื้นที่เกิดจากป่าดงดิบที่เกิดจากกระบวนการขยายตัวของพื้นที่ลูกเคลือกันไอน้ำที่พัดมาจากการความสูงต่างของภูมิประเทศ เกิดการกลั่นตัวกลายเป็นเม็ดฝนจึงทำให้พื้นที่คุณน้ำคลองยันมีฝนตกชุกเกือบทตลอดทั้งปี



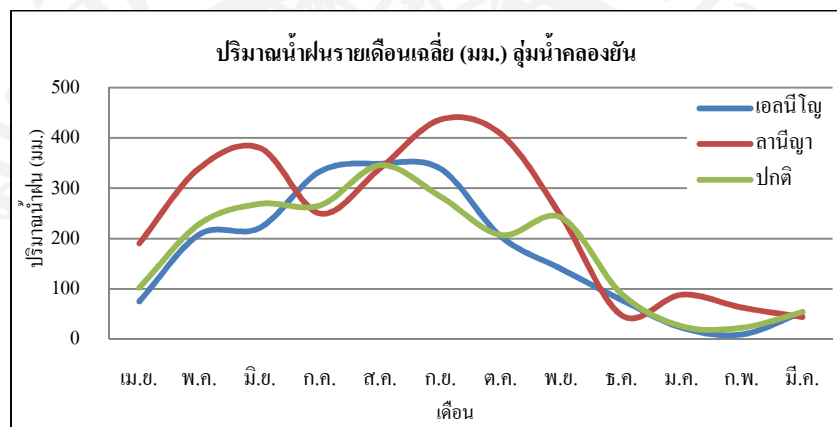
ภาพที่ 19 รูปหอดาษที่ดินไชเส้น (Theissen method) สำหรับคำนวณค่าปริมาณน้ำฝนเฉลี่ยบริเวณลุ่มน้ำคลองยัน จังหวัดสุราษฎร์ธานี และจังหวัดระนอง

ตารางที่ 18 ปริมาณน้ำฝนรายปีของลุ่มน้ำคลองยัน จังหวัดสุราษฎร์ธานี และจังหวัดระนอง

ปี (พ.ศ.)	ปริมาณน้ำฝน รายปี (มม.)	ปี (พ.ศ.)	ปริมาณน้ำฝน รายปี (มม.)	ปี (พ.ศ.)	ปริมาณน้ำฝน รายปี (มม.)
2518	3,457.30	2530	1,762.50	2542	2,896.38
2519	2,356.60	2531	2,761.55	2543	2,600.63
2520	2,164.70	2532	2,454.30	2544	2,361.05
2521	1,355.20	2533	2,155.35	2545	1,941.50
2522	2,695.20	2534	2,317.10	2546	2,084.85
2523	3,918.80	2535	1,910.60	2547	2,031.28
2524	1,958.00	2536	1,969.75	2548	2,342.37
2525	1,406.40	2537	2,130.60	2549	2,632.98
2526	1,961.10	2538	2,063.25	2550	1,672.10
2527	1,928.55	2539	2,560.25	2551	1,289.40
2528	1,514.05	2540	2,328.32	2552	1,167.20
2529	2,414.15	2541	2,246.88		

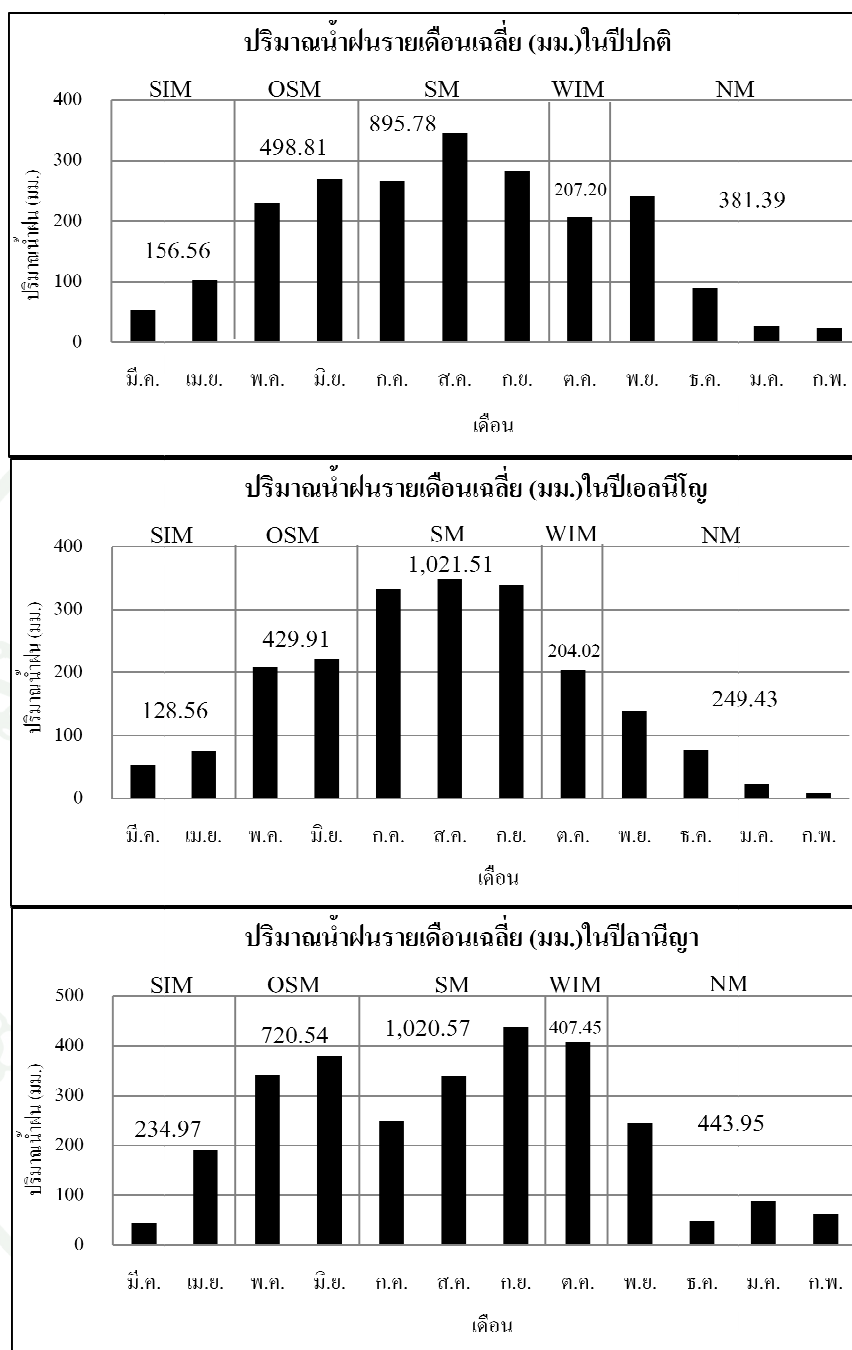
ที่มา: กรมอุตุนิยมวิทยา (2553)

1.3.2 ความผันแปรของปริมาณน้ำฝนในพื้นที่ลุ่มน้ำคลองยัณ ภาพที่ 20 พบว่ารูปแบบความผันแปรในปีปกติและปีเอลนีโญมีจุดสูงสุดอยู่ในช่วงน้ำหลา ก คือมีจุดสูงสุดในเดือนสิงหาคม โดยปีปกติมีจุดสูงสุดเท่ากับ 346.07 มิลลิเมตร และปีเอลนีโญมีจุดสูงสุดเท่ากับ 349.04 มิลลิเมตร ส่วนความผันแปรของปีล้านีญา มีค่าสูงสุดในเดือนกันยายน มีค่าเท่ากับ 436.58 มิลลิเมตร โดยความผันแปรของปีล้านีญา มีค่ามากที่สุดเมื่อเทียบกับปีปกติและปีเอลนีโญ และแนวโน้มความผันแปรตลอดทั้งปีมีค่าสูงกว่าปีปกติและปีเอลนีโญเกือบทุกเดือนรวมถึงเดือนมกราคมและเดือนกุมภาพันธ์ ซึ่งเป็นช่วงเวลาที่อยู่ในช่วงแล้งฝนแต่ปริมาณน้ำฝนในช่วงเวลาดังกล่าวก็สูงกว่าปีปกติและปีเอลนีโญ ทั้งนี้อธิบายได้ว่าปรากฏการณ์ล้านีญา มีผลกระทบต่อปริมาณน้ำฝนในพื้นที่ลุ่มน้ำคลองยัณ



ภาพที่ 20 ความผันแปรของปริมาณน้ำฝนบริเวณลุ่มน้ำคลองยัณ จังหวัดสุราษฎร์ธานี และจังหวัดระนอง

1.3.3 การกระจายของฝนตามฤดูกาลของลุ่มน้ำคลองยัณ จากภาพที่ 21 พบว่าการกระจายของปริมาณน้ำฝนปีปกติ ปีเอลนีโญ และล้านีญา มีการกระจายของปริมาณน้ำฝนเหมือนกัน ทั้งสามชนิดปีโดยในแต่ละชนิดปีมีปริมาณน้ำฝนสูงสุดอยู่ในฤดูฝน (SM; ก.ค.-ก.ย.) และรองลงมา ได้แก่ ช่วงต้นฤดูฝน (OSM; พ.ค.-มิ.ย.) ฤดูหนาว (NM; พ.ย.-ก.พ.) ต้นฤดูหนาว (WIM; ต.ค.) และ ฤดูร้อน (SIM; มี.ค.-เม.ย.) ตามลำดับ โดยปีปกติมีการกระจายปริมาณน้ำฝนสูงสุดเท่ากับ 498.81 498.81 381.39 207.20 และ 156.56 มิลลิเมตร ตามลำดับ ส่วนการกระจายของปริมาณน้ำฝนปีเอลนีโญมีค่าเท่ากับ 1,021.51 429.91 249.43 204.02 และ 128.56 มิลลิเมตร ตามลำดับ และการกระจายปริมาณน้ำฝนปีล้านีญาเท่ากับ 1,020.57 720.54 443.95 407.45 และ 234.97 มิลลิเมตร ตามลำดับ ซึ่งการกระจายปริมาณน้ำฝนตามฤดูกาลในพื้นที่ลุ่มน้ำคลองยัณ สอดคล้องกับช่วงเวลาที่พื้นที่ภาคใต้ได้รับลมรสุมตะวันตกเฉียงใต้ที่ทำให้มีฝนตกชุกระหว่างเดือนพฤษภาคมถึงเดือน



**ภาพที่ 21 การกระจายของปริมาณน้ำฝนของปีปกติ เอลนีโญ และปีล้านีญาบริเวณลุ่มน้ำคลองขัน จังหวัดสุราษฎร์ธานี และจังหวัดระนอง**

ตุลาคมและมกราคมจะมีปริมาณน้ำฝนมากที่สุด โดยเฉพาะในเดือนพฤษภาคม ซึ่งเป็นเดือนที่มีปริมาณน้ำฝนมากที่สุด คาดว่าสาเหตุมาจากการเคลื่อนที่ของพายุฤดูร้อนที่เข้ามาในประเทศไทย ทำให้เกิดฝนตกหนักในช่วงนี้ ขณะที่เดือนกุมภาพันธ์และมีนาคมจะมีปริมาณน้ำฝนน้อยลง คาดว่าสาเหตุมาจากการที่ลมตะวันออกเฉียงเหนือที่พัดผ่านประเทศไทยอย่างอ่อนโยน

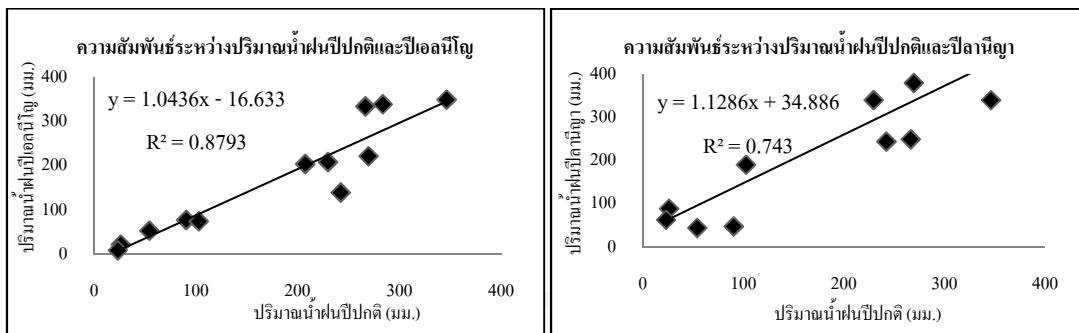
1.3.4 ปริมาณน้ำฝนแต่ละชนิดปีของกลุ่มน้ำคลองยัง โดยแบ่งออกเป็น 3 ชนิดคือ ได้แก่ ปีปกติ ปีเอลนีโญ และปีล้านีญา จากการศึกษาข้อมูลปริมาณน้ำฝนระหว่างปี พ.ศ. 2518 ถึง พ.ศ. 2552 ตารางที่ 19 พบว่าปีที่เกิดปรากฏการณ์เอลนีโญขนาดครุณแรงจำนวน 8 ปี ปริมาณน้ำฝนรายเดือนสูงสุดของปีเอลนีโญมีค่าเท่ากับ 623.33 มิลลิเมตร ในเดือนสิงหาคม และมีค่าต่ำสุดในเดือนกุมภาพันธ์มีปริมาณฝนเพียง 2.6 มิลลิเมตร ส่วนปรากฏการณ์ล้านีญาขนาดครุณแรงมีจำนวน 6 ปี ซึ่งปริมาณน้ำฝนสูงสุดในปีล้านีญาเท่ากับ 791.4 มิลลิเมตร ในเดือนมิถุนายน และปริมาณน้ำฝนต่ำสุดในเดือนกุมภาพันธ์เท่ากับ 8.1 มิลลิเมตร ส่วนปีปกติมีปริมาณน้ำฝนรายเดือนสูงสุดในเดือนกรกฎาคมเท่ากับ 727.15 มิลลิเมตร ปริมาณน้ำฝนรายเดือนต่ำสุดอยู่ระหว่างเดือนมกราคมถึงเดือนมีนาคมมีเพียง 0.1 ถึง 0.9 มิลลิเมตรเท่านั้น ซึ่งเมื่อศึกษาค่าปริมาณน้ำฝนสูงสุดของปีล้านีญา ระหว่างเดือนมกราคมถึงเดือนมิถุนายนพบว่าปริมาณน้ำฝนส่วนใหญ่สูงกว่าปีเอลนีโญและปีปกติ ในช่วงเวลาเดียวกัน ซึ่งสอดคล้องกับ สำนักจัดการคุณภาพน้ำ กรมควบคุมมลพิษ (2554) อธิบายไว้ว่าในปีที่เกิดล้านีญาปริมาณน้ำฝนของประเทศไทยส่วนใหญ่สูงกว่าปกติโดยเฉพาะช่วงฤดูร้อนและต้นฤดูฝนซึ่งเป็นระยะที่ล้านีญามีผลกระทบต่อสภาวะฝนของประเทศไทยชัดเจนกว่าช่วงอื่น ส่วนปริมาณน้ำฝนเฉลี่ยของกลุ่มน้ำคลองยังทั้งสามช่วงเวลาทั้งปีเอลนีโญ ปีล้านีญา และปีปกติ มีค่าเท่ากับ 2,033.44, 2,833.48 และ 2,139.74 มิลลิเมตรต่อปี ตามลำดับ จะเห็นได้ว่ามีปริมาณน้ำฝนที่สูงในทุกช่วงเวลาทั้งนี้เนื่องด้วยพื้นที่ลุ่มน้ำคลองยังอยู่ภายใต้อิทธิพลของลมมรสุมที่พัดประจำปีน ฤดู 2 ชนิด คือ ฤดูมรสุมตะวันออกเฉียงเหนือ และฤดูลมมรสุมตะวันตกเฉียงใต้ซึ่งลมมรสุมตะวันตกเฉียงใต้ซึ่งเป็นลมร้อนและซึ่นจากมหาสมุทรอินเดียพัดปกคลุม ทำให้มีฝนตกทั่วไป และในช่วงฤดูฝนยังมีร่องความกดอากาศต่ำปกคลุมภาคใต้เป็นระยะ ๆ อีกด้วย จึงทำให้มีฝนตกมากแต่ไม่ปริมาณฝนน้อยกว่าฤดูมรสุมตะวันออกเฉียงเหนือ เพราะลักษณะภูมิประเทศที่มีแนวเทือกเขาต้นเขาศรีเป็นเทือกเขาชาวปีกดัก ทำให้ได้รับกระแสลมจากมรสุมนี้ไม่เต็มที่ ทั้งนี้พื้นที่ลุ่มน้ำคลองยังซึ่งตั้งอยู่ทางด้านตะวันออกของภาคใต้ จึงได้รับอิทธิพลจากลมมรสุมตะวันออกเฉียงเหนือที่พัดผ่านอ่าวไทย ทำให้มีฝนตกมากในช่วงฤดูหนาว คือระหว่างเดือนพฤษภาคมและธันวาคมอีกช่วงหนึ่งด้วย

**ตารางที่ 19 ปริมาณน้ำฝนรายเดือนตามชนิดปีของลุ่มน้ำคลองขัน จังหวัดสุราษฎร์ธานี  
และชั้งหัวดรอนอง ระหว่างปี พ.ศ. 2518 - 2552**

เดือน	ปริมาณน้ำฝนรายเดือน (มิลลิเมตร)								
	ปีปกติ			ปีเออลนีโญ			ปีลานีญา		
	สูงสุด	ต่ำสุด	เฉลี่ย	สูงสุด	ต่ำสุด	เฉลี่ย	สูงสุด	ต่ำสุด	เฉลี่ย
ม.ค.	83.93	0.10	27.39	48.60	3.00	23.46	263.20	9.70	104.66
ก.พ.	51.60	0.10	23.42	20.15	2.60	10.09	123.50	8.10	64.12
มี.ค.	225.83	0.90	59.67	113.40	14.35	55.97	120.97	8.40	50.15
เม.ย.	218.6	28.07	104.28	144.73	30.47	77.68	370.73	90.50	202.05
พ.ค.	428.0	46.20	230.09	324.70	85.0	207.69	474.70	246.40	346.17
มิ.ย.	579.83	42.40	272.83	396.95	86.05	225.51	791.40	241.85	419.12
ก.ค.	727.15	45.10	276.24	512.00	191.9	337.81	392.40	88.70	247.45
ส.ค.	574.65	25.20	342.22	623.33	124.0	354.51	709.50	97.20	356.01
ก.ย.	536.5	70.20	285.12	407.25	249.9	336.45	751.70	296.15	458.42
ต.ค.	463.55	106.60	213.69	275.20	90.90	199.36	584.25	130.55	394.94
พ.ย.	549.10	43.83	246.60	255.67	31.50	140.49	391.80	141.30	249.93
ธ.ค.	326.70	9.90	97.06	151.87	13.60	78.93	98.90	13.10	50.15
ปริมาณน้ำฝนรายปี	3,918.8	1,167.2	2,178.62	2,328.32	542.0	2,047.97	3,457.3	1,704.9	2,943.17

**ที่มา:** ดัดแปลงจากกรมอุตุนิยมวิทยา (2553)

1.3.5 ความสัมพันธ์ระหว่างปริมาณน้ำฝนปีปกติกับปริมาณน้ำฝนในปีที่เกิดปรากฏการณ์เออลนีโญ และลานีญาของลุ่มน้ำคลองขัน ผลการศึกษาเมื่อสร้างความสัมพันธ์แบบจุดกระจาย แสดงความสัมพันธ์ ดังภาพที่ 22 พบว่าระดับความสัมพันธ์มีค่าสูง โดยมีค่าสัมประสิทธิ์ตัวกำหนด ( $R^2$ ) ของปีปกติกับปีเออลนีโญ เท่ากับ 0.8793 และค่าสัมประสิทธิ์ตัวกำหนด ( $R^2$ ) ของปีปกติกับปีลานีญา เท่ากับ 0.743 จากค่าความสัมพันธ์ที่มีลักษณะแปรผันตามกันในระดับสูง อธิบายได้ว่าปรากฏการณ์เออลนีโญและลานีญา มีผลต่อปริมาณน้ำฝนในลุ่มน้ำคลองขันน้อยมาก ทั้งนี้เนื่อง



**ภาพที่ 22 ความสัมพันธ์ระหว่างปริมาณน้ำฝนปีปกติกับปริมาณน้ำฝนในปีที่เกิดปรากฏการณ์เอลนีโญและลานีนูในพื้นที่คุ้มน้ำคลองยัน จังหวัดสุราษฎร์ธานี และจังหวัดระนอง**

จากการตกลงฝันในประเทศไทยขึ้นอยู่กับลมมรสุมตะวันออกเฉียงเหนือและลมมรสุมตะวันตกเฉียงใต้เป็นส่วนใหญ่ โดยอิทธิพลของลมมรสุมตะวันตกเฉียงใต้เริ่มตั้งแต่เดือนพฤษภาคมถึงเดือนตุลาคมและลมมรสุมตะวันออกเฉียงเหนือเริ่มตั้งแต่เดือนพฤษภาคมถึงเดือนตุลาคม ซึ่งผลของอิทธิพลมีมากหรือน้อยขึ้นอยู่กับลักษณะที่ตั้งและตำแหน่งที่แตกต่างกัน รวมไปถึงสภาพภูมิประเทศของแต่ละพื้นที่ด้วย ส่วนลุ่มน้ำคลองบันชั่งตั้งอยู่ทางภาคใต้เป็นพื้นที่มีฝนตกชุกมากที่สุด โดยฤดูฝนของภาคใต้นี้จะมี 2 ระยะ คือ mgrsusumตะวันตกเฉียงใต้ ระหว่างเดือนพฤษภาคมถึงกันยายน มีฝนตกมากทางฝั่งตะวันตกของภาค และมรสุมตะวันออกเฉียงเหนือ ระหว่างเดือนพฤษภาคมถึงกันยายนนี้ มีฝนตกมากทางฝั่งตะวันออกของภาค

1.3.6 การทดสอบความแตกต่างของข้อมูลปริมาณน้ำฝนรายเดือนระหว่างปีปกติกับปีอ่อนนิสูญและปีลานิษฐาน ของลุ่มน้ำคลองยัน จากการทดสอบความแตกต่างของข้อมูลแบบสองทาง (two tailed test) โดยใช้สถิติทดสอบที่ (t-test) ได้แสดงค่านัยสำคัญทางสถิติดังตารางที่ 20 พบว่า ค่าเฉลี่ยของปริมาณน้ำฝนรายเดือนในปีที่เกิดปรากฏการณ์อ่อนนิสูญ และลานิษฐานในพื้นที่ลุ่มน้ำคลองยันไม่มีความแตกต่างจากปีปกติอย่างมีนัยสำคัญที่ระดับความเชื่อมั่นร้อยละ 95 ทุกช่วงการทดสอบยกเว้นปีลานิษฐานช่วงน้ำหลาก พนว่าปริมาณน้ำฝนปีลานิษฐานมีความแตกต่างจากปริมาณน้ำฝนปีปกติ อาจเนื่องมาจากการปกติช่วงน้ำหลากของลุ่มน้ำคลองยัน ได้รับอิทธิพลจากมรสุมตะวันตกเฉียงใต้ซึ่งทำให้มีฝนตกชุกระหว่างเดือนพฤษภาคมถึงเดือนกันยายนอยู่แล้ว เมื่อเกิดปรากฏการณ์ลานิษฐานซึ่งเป็นปรากฏการณ์ที่ทำให้มีปริมาณฝนสูงกว่าปกติอยู่แล้ว ประกอบกับลุ่มน้ำคลองยันตั้งอยู่ในภาคใต้มีพื้นที่ติดต่อกับทะเลทำให้อิทธิพลของปรากฏการณ์ลานิษฐานแฝงเข้ามาถึง จึงทำให้ปริมาณน้ำฝนปีลานิษฐานแตกต่างจากปริมาณน้ำฝนปีปกติในช่วงน้ำหลาก

ตารางที่ 20 เปรียบเทียบข้อมูลปริมาณน้ำฝนรายเดือนระหว่างปีปกติกับปีอ่อนนิโภุ และปีลานีญา  
ของคุณน้ำคลองยัน จังหวัดสุราษฎร์ธานี และจังหวัดระนอง

เปรียบเทียบปริมาณน้ำฝน			
ปีปกติกับปีอ่อนนิโภุ		ปีปกติกับปีลานีญา	
ช่วงการเปรียบเทียบ	นัยสำคัญทางสถิติ	ช่วงการเปรียบเทียบ	นัยสำคัญทางสถิติ
รายปี	0.856 <sup>ns</sup>	รายปี	0.291 <sup>ns</sup>
นำาหลา ก	0.848 <sup>ns</sup>	นำาหลา ก	0.031*
นำาแล้ง	0.603 <sup>ns</sup>	นำาแล้ง	0.405 <sup>ns</sup>

หมายเหตุ \* = มีความแตกต่างอย่างมีนัยสำคัญทางสถิติที่ระดับความเชื่อมั่นร้อยละ 95

ns = ไม่มีความแตกต่างอย่างมีนัยสำคัญทางสถิติที่ระดับความเชื่อมั่นร้อยละ 95

## 2. อุณหภูมิอากาศ

### 2.1 คุณน้ำแม่แตง

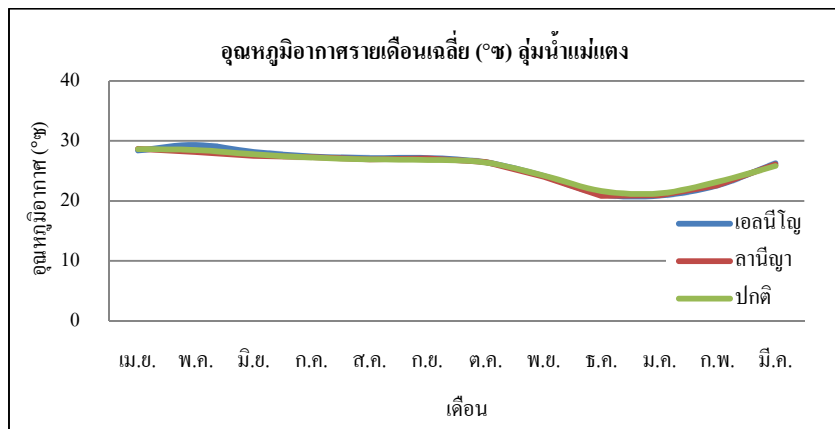
2.1.1 อุณหภูมิเฉลี่ยโดยวิธี Isohyetal method จากการศึกษาข้อมูลอุณหภูมิอากาศระหว่างปี พ.ศ. 2494 ถึง พ.ศ. 2552 จำนวน 6 สถานี จากร้านน้ำที่ตรวจอากาศที่อยู่โดยรอบพื้นที่ลุ่มน้ำ หากค่าเฉลี่ยด้วยวิธี Isohyetal method ได้ค่าเฉลี่ยอุณหภูมิอากาศรายปีของลุ่มน้ำแม่แตงเท่ากับ 25.86 องศาเซลเซียส ซึ่งลุ่มน้ำแม่แตงมีอุณหภูมิอากาศเฉลี่ยรายปีสูงสุดเท่ากับ 26.59 องศาเซลเซียส ในปี พ.ศ. 2552 และมีอุณหภูมิอากาศเฉลี่ยต่ำสุดในปี พ.ศ. 2514 เท่ากับ 24.84 องศาเซลเซียส ดังตารางที่ 21 ที่นี้เนื่องจากของลุ่มน้ำแม่แตงซึ่งมีพื้นที่ตั้งอยู่ทางภาคเหนือของประเทศไทยซึ่งมีลักษณะภูมิประเทศเป็นภูเขาเป็นส่วนใหญ่ซึ่งอุณหภูมิอากาศจะเปลี่ยนแปลงตามความสูงของภูมิประเทศถ้าหากความสูงเพิ่มสูงขึ้น 100 เมตร อุณหภูมิลดลง 1 องศาเซลเซียส (วิชา, 2535) ประกอบกับลุ่มน้ำแม่แตงมีพื้นที่ป่าดิบเขาป่าคุณจึงช่วยเพิ่มความชุ่มชื้นให้กับอากาศทำให้ลุ่มน้ำแม่แตงมีอากาศเย็นจากค่าเฉลี่ยของอุณหภูมิที่มีค่าไม่สูงมากนักเนื่องด้วยพื้นที่ภาคเหนือได้รับอิทธิพลจากลมแรงสูน ตัววันออกเฉียงเหนือที่มีแหล่งกำเนิดจากสาธารณรัฐประชาชนจีน ที่พัดเข้าสู่ประเทศไทยในช่วงเดือนตุลาคมถึงกุมภาพันธ์มีผลทำให้พื้นที่ภาคเหนือมีอุณหภูมิอากาศลดลงมีอากาศหนาวในช่วงเวลาดังกล่าว

ตารางที่ 21 อุณหภูมิอากาศเฉลี่ยรายปีของลุ่มน้ำแม่แตง จังหวัดเชียงใหม่

ปี (พ.ศ.)	อุณหภูมิ รายปี (°ช)						
2494	24.95	2510	25.78	2526	25.86	2542	25.79
2495	25.14	2511	25.81	2527	25.83	2543	25.79
2496	25.77	2512	25.79	2528	25.69	2544	25.96
2497	25.75	2513	25.58	2529	25.67	2545	25.98
2498	25.15	2514	24.84	2530	26.03	2546	25.95
2499	25.41	2515	25.67	2531	25.79	2547	25.77
2500	25.99	2516	25.51	2532	25.76	2548	26.18
2501	25.86	2517	25.26	2533	25.81	2549	26.24
2502	26.06	2518	25.76	2534	26.16	2550	26.14
2503	26.06	2519	25.40	2535	24.93	2551	26.01
2504	25.64	2520	25.19	2536	25.57	2552	26.59
2505	25.69	2521	25.73	2537	25.86		
2506	25.53	2522	25.90	2538	25.77		
2507	25.59	2523	25.93	2539	25.63		
2508	25.69	2524	25.64	2540	25.76		
2509	26.40	2525	25.43	2541	26.56		

ที่มา: กรมอุตุนิยมวิทยา (2553)

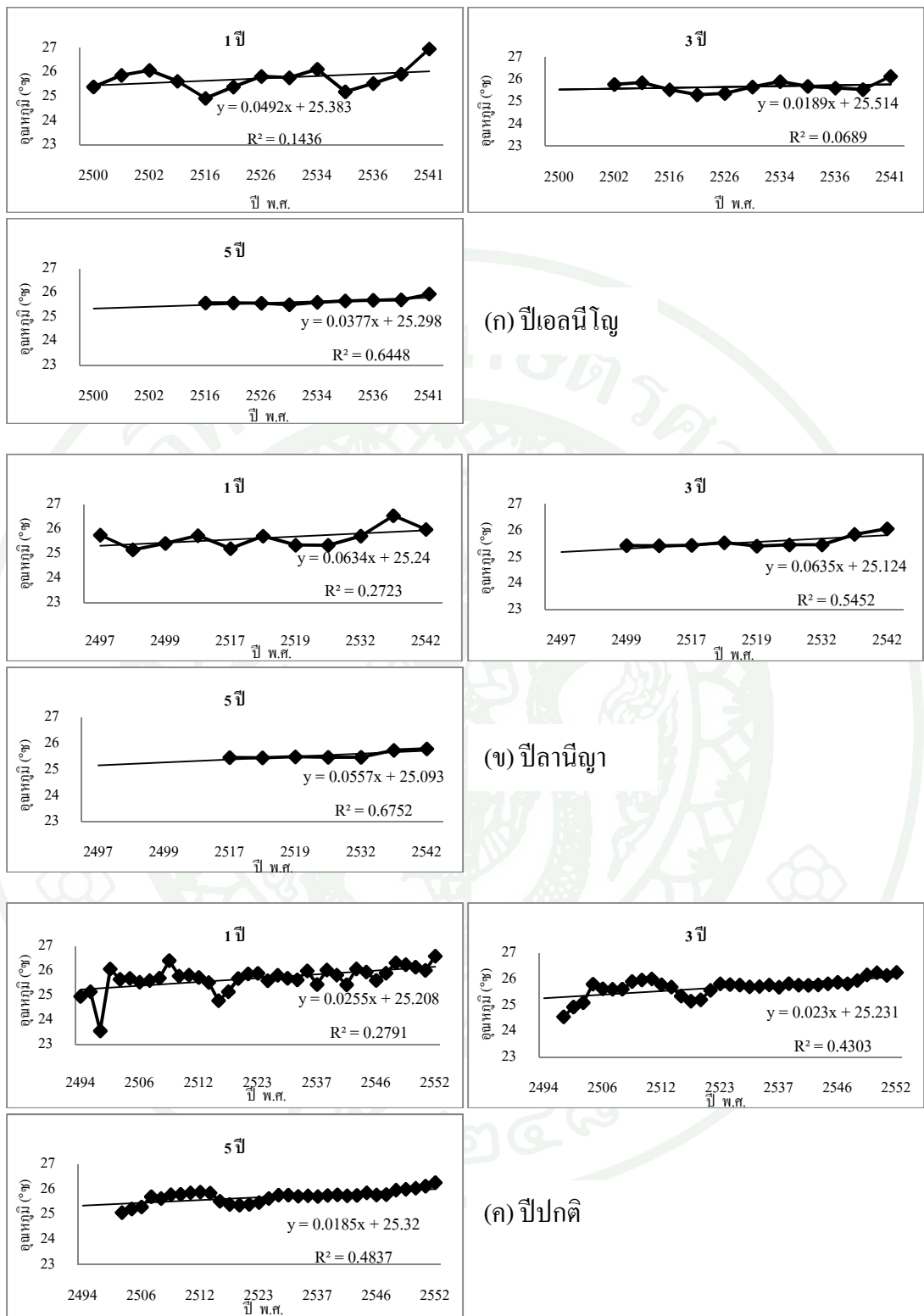
2.1.2 ความผันแปรของอุณหภูมิอากาศในพื้นที่ลุ่มน้ำแม่แตง จากภาพที่ 23 พบว่า รูปแบบความผันแปร ในปีอ่อนนิโญ ปีล้านีญา และปีปกติมีแนวโน้มความผันแปรไปในทิศทางเดียวกันคือมีจุดสูงสุดอยู่ในช่วงน้ำแล้งและมีจุดต่ำสุดอยู่ในฤดูหนาวระหว่างเดือนธันวาคมถึงเดือน มกราคม โดยมีค่าความผันแปรสูงสุดอยู่ในปีอ่อนนิโญมีค่าเท่ากับ 29.27 องศาเซลเซียส และมีจุดต่ำสุดอยู่ในปีล้านีญา มีค่าเท่ากับ 20.9 องศาเซลเซียส ในเดือนธันวาคม จากภาพที่ 23 เห็นได้ว่า อุณหภูมิอากาศทั้งสามช่วงเวลา มีความผันแปรตลอดทั้งปีอย่างมาก ทั้งนี้เนื่องมาจากลุ่มน้ำแม่แตงมีภูมิประเทศเป็นภูเขาสูงชัน ทำให้ช่วงเวลาที่มีแสงแดดรดตั้งจากกับพื้นดินและการตกกระแทกกับพื้นดินน้อยกว่าพื้นที่ที่เป็นพื้นราบ ประกอบกับมีพื้นที่ป่าดินเขาทำให้มีไอน้ำจากกระบวนการคายระเหยซึ่งลดความร้อนจากแสงแดดทำให้ลุ่มน้ำแม่แตงมีอุณหภูมิอากาศไม่ร้อนมากนัก



ภาพที่ 23 ความผันแปรของอุณหภูมิอากาศบริเวณลุ่มน้ำแม่แตง จังหวัดเชียงใหม่

2.1.3 ค่าเฉลี่ยเคลื่อนที่อุณหภูมิอากาศ (moving average) 3 ปี และ 5 ปี ของลุ่มน้ำแม่แตง พบว่าแนวโน้มของอุณหภูมิอากาศเพิ่มสูงขึ้นในทุกชนิดปี โดยแนวโน้มการเพิ่มขึ้นของอุณหภูมิอากาศเพิ่มสูงขึ้นตามค่าเฉลี่ย 3 และ 5 ปี ตามลำดับ (ภาพที่ 24)

2.1.4 อุณหภูมิอากาศแต่ละชนิดปีของลุ่มน้ำแม่แตง โดยแบ่งออกเป็น 3 ชนิดปี ได้แก่ ปีปกติ ปีเออลนีโซ และปีลานีญา จากการศึกษาข้อมูลอุณหภูมิอากาศระหว่างปี พ.ศ. 2494 ถึง พ.ศ. 2552 (ตารางที่ 22) พบว่าปีที่เกิดปรากฏการณ์เออลนีโซบนภาคธนาราชจำนวน 13 ปี ข้อมูลอุณหภูมิอากาศรายเดือนสูงสุดของปีเออลนีโซมีค่าเท่ากับ 30.18 องศาเซลเซียส ในเดือนเมษายน และมีค่าต่ำสุดในเดือนธันวาคมเท่ากับ 16.48 องศาเซลเซียส ส่วนปรากฏการณ์ลานีญาบนภาคธนาราชมีจำนวน 11 ปี ซึ่งมีอุณหภูมิอากาศสูงสุดในปีลานีญาเท่ากับ 29.32 องศาเซลเซียส ในเดือนเมษายน และอุณหภูมิอากาศต่ำสุดในเดือนมกราคมเท่ากับ 18.89 องศาเซลเซียส สำหรับอุณหภูมิอากาศสูงสุดในปีปกติเท่ากับ 30.15 องศาเซลเซียสในเดือนเมษายน อุณหภูมิต่ำสุดในเดือนมกราคมเท่ากับ 14.40 องศาเซลเซียส จากค่าอุณหภูมิอากาศสูงสุดของทั้งสามชนิดปีอยู่ในฤดูร้อน เช่นเดียวกันกับอุณหภูมิอากาศต่ำสุดที่อยู่ในช่วงฤดูหนาวซึ่งอยู่ระหว่างเดือนธันวาคมและเดือนมกราคม เมื่อพิจารณาอุณหภูมิอากาศเฉลี่ยปีปกติ เออลนีโซ และลานีญา มีค่าเท่ากับ 25.62 – 25.71 และ 25.55 องศาเซลเซียส ตามลำดับ ซึ่งเห็นได้ว่าอุณหภูมิอากาศเฉลี่ยปีเออลนีโซและลานีญามีค่าใกล้เคียงกับอุณหภูมิอากาศเฉลี่ยปีปกติมาก ยิ่งไปกว่านั้นได้ว่าปรากฏการณ์เออลนีโซและลานีญาไม่มีผลกระทบต่ออุณหภูมิอากาศในพื้นที่ลุ่มน้ำแม่แตง อาจเนื่องมาจากพื้นที่ลุ่มน้ำแม่แตงซึ่งตั้งอยู่ไกลจากทะเลห่างเข้าไปในพื้นดินมากทำให้อิทธิพลของปรากฏการณ์ทั้งสองแพร่เข้าไปไม่ถึง ซึ่งปกติการเปลี่ยนแปลงของอุณหภูมิอากาศในพื้นที่ภาคเหนือขึ้นอยู่กับอิทธิพลลมรสุမตะวันออกเฉียงเหนือซึ่งเป็นลม



ภาพที่ 24 ค่าเฉลี่ยเคลื่อนที่ (moving average) อุณหภูมิอากาศรายเดือน ในปีอ่อนนิโภุ ลานีญ่า และ ปีปกติ บริเวณลุ่มน้ำแม่น้ำแม่แตง จังหวัดเชียงใหม่

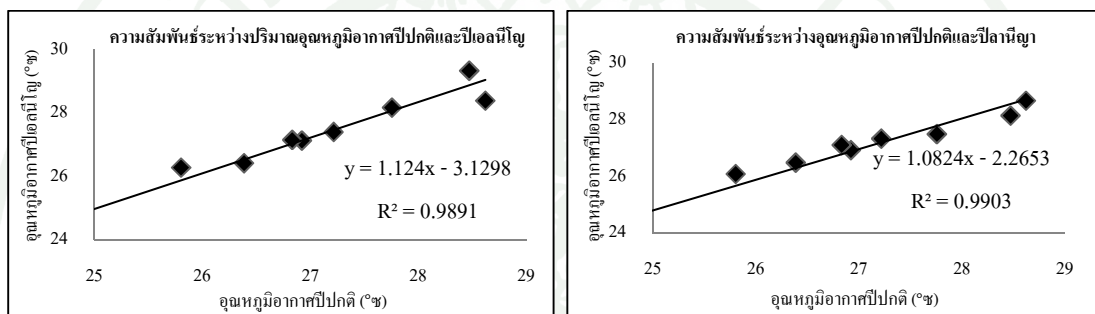
ตารางที่ 22 อุณหภูมิอากาศรายเดือนตามชนิดปีของลุ่มน้ำแม่แตง จังหวัดเชียงใหม่ ระหว่างปี พ.ศ. 2494 - 2552

เดือน	อุณหภูมิอากาศรายเดือน (องศาเซลเซียส)								
	ปีปกติ			ปีอ่อนน้อมๆ			ปีลานีญา		
	สูงสุด	ต่ำสุด	เฉลี่ย	สูงสุด	ต่ำสุด	เฉลี่ย	สูงสุด	ต่ำสุด	เฉลี่ย
ม.ค.	22.90	14.43	21.12	22.35	19.67	20.91	23.32	18.80	20.95
ก.พ.	25.05	21.50	23.19	23.62	21.40	22.58	25.57	19.62	22.58
มี.ค.	27.57	16.83	25.62	27.72	25.48	26.32	26.82	25.20	26.07
เม.ย.	30.15	18.70	28.41	30.18	21.85	28.06	29.32	27.90	28.65
พ.ค.	29.88	23.90	28.39	30.10	27.73	29.27	29.05	27.37	28.15
มิ.ย.	29.47	26.80	27.78	29.28	27.40	28.19	27.87	27.08	27.48
ก.ค.	28.70	26.08	27.23	28.30	26.83	27.42	27.90	26.82	27.33
ส.ค.	28.96	22.08	26.85	27.70	26.50	27.12	27.95	26.36	26.96
ก.ย.	28.50	17.87	26.65	27.63	26.58	27.14	27.73	26.58	27.11
ต.ค.	27.66	24.90	26.38	27.02	24.83	26.34	27.30	26.08	26.51
พ.ย.	25.90	21.74	24.20	25.50	22.58	24.13	24.90	22.15	23.94
ธ.ค.	24.08	18.56	21.63	24.53	16.48	21.02	23.60	19.13	20.90
อุณหภูมิ รายปี ( $^{\circ}\text{C}$ )	26.59	23.55	25.62	26.95	24.91	25.71	26.54	25.15	25.55

ที่มา: ดัดแปลงจากกรมอุตุนิยมวิทยา (2553)

มรสุมฤดูหนาวเป็นลมหนาวและแห้งมีแหล่งกำเนิดในเขตหนาวและบนทวีป เช่น ตอนใต้ของจีน หรืออาจมาจากเขตที่รับไชนีเรีย ซึ่งมีโขนน้ำอยู่มาก เมื่อพัดผ่านไปบริเวณใดจะดูดความชื้นหรือไอน้ำและรับอากาศร้อนจากอากาศของบริเวณที่เคลื่อนที่ผ่าน ดังนั้นลมนี้เมื่อเคลื่อนลงมาในเขตร้อนมีอุณหภูมิอากาศเพิ่มขึ้น ตามลำดับ

2.1.5 ความสัมพันธ์ระหว่างอุณหภูมิอากาศปีปกติกับอุณหภูมิอากาศในปีที่เกิดปรากฏการณ์เอลนีโญ และ lanineña ของลุ่มน้ำแม่แตงผลการศึกษามีอสร้างความสัมพันธ์แบบจุดกระจาย แสดงความสัมพันธ์ ดังภาพที่ 25 พบว่าระดับความสัมพันธ์มีค่าสูง โดยมีค่าสัมประสิทธิ์ตัวกำหนด ( $R^2$ ) ของปีปกติกับปีเอลนีโญ เท่ากับ 0.9891 และค่าสัมประสิทธิ์ตัวกำหนด ( $R^2$ ) ของปีปกติกับปี lanineña เท่ากับ 0.9903 จากค่าความสัมพันธ์ที่มีลักษณะแปรผันตามกันในระดับสูงเช่นนี้ ได้ว่าปรากฏการณ์เอลนีโญและ lanineña มีผลต่ออุณหภูมิอากาศในลุ่มน้ำแม่แตงน้อยมากเนื่องมาจากการแตกต่างของอุณหภูมิอากาศนั้นขึ้นอยู่กับการได้รับแสงแดดจากดวงอาทิตย์ในแต่ละวันและความยาวนานในการได้รับแสงแดดเป็นหลัก



ภาพที่ 25 ความสัมพันธ์ระหว่างอุณหภูมิปีปกติกับอุณหภูมิอากาศในปีที่เกิดปรากฏการณ์เอลนีโญและ lanineña ในพื้นที่ลุ่มน้ำแม่แตง จังหวัดเชียงใหม่

2.1.6 การทดสอบความแตกต่างของข้อมูลอุณหภูมิรายเดือนระหว่างปีปกติกับปีเอลนีโญและปี lanineña ของลุ่มน้ำแม่แตง จากการทดสอบความแตกต่างของข้อมูลแบบสองทาง (two tailed test) โดยใช้สถิติทดสอบที่ (t-test) ได้แสดงค่านัยสำคัญทางสถิติดังตารางที่ 23 พบว่าค่าเฉลี่ยของอุณหภูมิอากาศรายเดือนในปีที่เกิดปรากฏการณ์เอลนีโญ และ lanineña ในพื้นที่ลุ่มน้ำแม่แตงไม่มีความแตกต่างจากปีปกติอย่างมีนัยสำคัญที่ระดับความเชื่อมั่นร้อยละ 95 ทุกช่วงการทดสอบ จากการทดสอบเชิงรายได้ว่า ปรากฏการณ์เอลนีโญและ lanineña ไม่มีผลกระทบต่ออุณหภูมิอากาศในพื้นที่ลุ่มน้ำแม่แตง ทั้งนี้โดยปกติแล้วความแตกต่างของอุณหภูมิอากาศนั้นขึ้นอยู่กับการได้รับแสงจากดวงอาทิตย์ในแต่ละวันเป็นหลัก ลุ่มน้ำแม่แตงซึ่งมีพื้นที่เป็นภูเขาสูงทำให้ได้รับแสงแดดในแนวเนินซึ่งมีโอกาสในการรับแสงน้อยกว่าพื้นที่ที่เป็นที่ราบที่ได้รับแสงโดยตรงและยาวนานกว่าดังนั้น อุณหภูมิอากาศของลุ่มน้ำแม่แตงจึงไม่สูงประกอบกับมีความชื้นจากการพยายามนำของป่าดิบเข้าบันภูเขาจึงทำให้อุณหภูมิอากาศไม่มีความแตกต่างกัน

**ตารางที่ 23 เปรียบเทียบข้อมูลอุณหภูมิอากาศรายเดือนระหว่างปีปกติกับปีอ่อนนิโญ และปีล้านีญา  
ของคุณน้ำแม่แตง จังหวัดเชียงใหม่**

<b>เปรียบเทียบอุณหภูมิอากาศ</b>			
<b>ปีปกติกับปีอ่อนนิโญ</b>		<b>ปีปกติกับปีล้านีญา</b>	
<b>ช่วงการเปรียบเทียบ</b>	<b>นัยสำคัญทางสถิติ</b>	<b>ช่วงการเปรียบเทียบ</b>	<b>นัยสำคัญทางสถิติ</b>
รายปี	0.961 <sup>ns</sup>	รายปี	0.893 <sup>ns</sup>
นำหลากรายปี	0.735 <sup>ns</sup>	นำหลากรายปี	0.947 <sup>ns</sup>
นำແລ້ວ	0.905 <sup>ns</sup>	นำແລ້ວ	0.893 <sup>ns</sup>

หมายเหตุ ns = ไม่มีความแตกต่างอย่างมีนัยสำคัญทางสถิติที่ระดับความเชื่อมั่นร้อยละ 95

## 2.2 คุณน้ำเชี่ยน

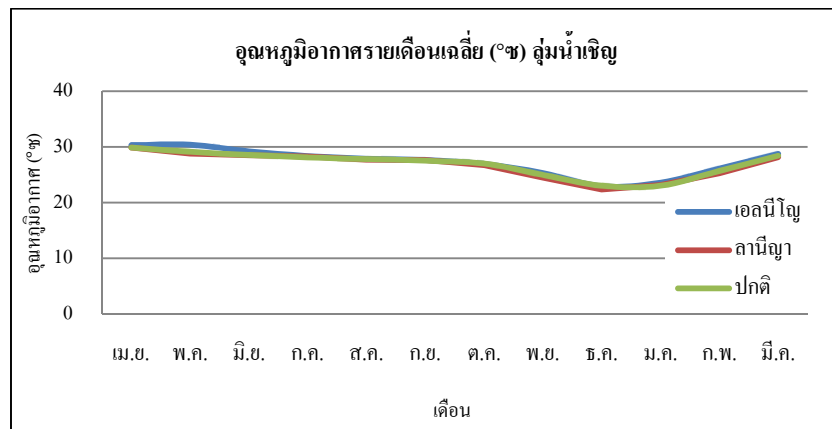
2.2.1 อุณหภูมิเฉลี่ยโดยวิธี Isohyetal method จากการศึกษาข้อมูลอุณหภูมิอากาศ ระหว่างปี พ.ศ. 2494 ถึง พ.ศ. 2552 จำนวน 6 สถานี จากร้านนี้ตรวจสอบภาคที่อยู่โดยรอบพื้นที่ลุ่มน้ำ หาค่าเฉลี่ยโดยวิธี Isohyetal method ได้ค่าเฉลี่ยอุณหภูมิอากาศรายปีของคุณน้ำเชี่ยนเท่ากับ 27.06 องศาเซลเซียส ซึ่งลุ่มน้ำเชี่ยนมีอุณหภูมิอากาศเฉลี่ยรายปีสูงสุดเท่ากับ 28.41 องศาเซลเซียส ในปี พ.ศ. 2541 ซึ่งตรงกับช่วงที่ประเทศไทยได้รับผลกระทบจากปรากฏการณ์อ่อนนิโญขนาดครุณแรงซึ่ง เป็นปีที่ประเทศไทยได้รับผลกระทบจากภัยแล้งและสร้างความเสียหายในหลายพื้นที่ทำให้ขาด แคลนน้ำในการอุปโภคบริโภคเพิ่มผลการเกษตรปีนงกวาง ส่วนมีอุณหภูมิอากาศเฉลี่ยต่ำสุดในปี พ.ศ. 2495 เท่ากับ 24.84 องศาเซลเซียส ดังตารางที่ 24 จะเห็นว่าพิสัยอุณหภูมิรายปีมีค่าประมาณ 3.57 องศาเซลเซียส ซึ่งมีค่าค่อนข้างสูง แสดงว่าการเปลี่ยนแปลงความร้อน - หน้าของพื้นที่ลุ่มน้ำ เชี่ยนค่อนข้างรุนแรง ระยะฤดูร้อนอากาศค่อนข้างร้อนมาก ระยะฤดูหนาวค่อนข้างหนาวมาก ประกอบกับลุ่มน้ำเชี่ยนมีลักษณะภูมิประเทศเป็นที่ราบสูงทำให้ได้รับความเยานานของแสงแดดในแต่ละวันนานกว่าพื้นที่ที่เป็นภูเขาสูงชัน ส่วนความท่ามกลางจากทะเลที่เป็นอีกปัจจัยสำคัญที่ทำให้ลุ่มน้ำเชี่ยนมีอุณหภูมิอากาศสูง เพราะปริมาณไอน้ำจากทะเลเข้าไปถึงพื้นที่ได้น้อยโดยเฉพาะ ในช่วงฤดูแล้งประมาณเดือนธันวาคมถึงเดือนเมษายน มีความชื้นสัมพัทธ์ต่ำมาก อัตราการระเหย สูงมาก การเปลี่ยนแปลงของอุณหภูมิอากาศจะค่อนข้างรุนแรง ช่วงอากาศหนาวก็หนาวมากและ ระยะฤดูร้อนอากาศก็ร้อนมากเมื่อเปรียบเทียบกับภูมิภาคอื่น ๆ

ตารางที่ 24 อุณหภูมิอากาศเฉลี่ยรายปีของลุ่มน้ำเชิญ จังหวัดชัยภูมิ ขอนแก่น และจังหวัดเพชรบูรณ์

ปี (พ.ศ.)	อุณหภูมิ รายปี ( $^{\circ}\text{ซ}$ )	ปี (พ.ศ.)	อุณหภูมิ รายปี ( $^{\circ}\text{ซ}$ )	ปี (พ.ศ.)	อุณหภูมิ รายปี ( $^{\circ}\text{ซ}$ )
2494	26.78	2515	27.13	2536	27.43
2495	24.84	2516	27.17	2537	27.45
2496	26.17	2517	26.80	2538	27.53
2497	26.91	2518	26.69	2539	27.06
2498	25.76	2519	26.51	2540	27.55
2499	26.28	2520	27.00	2541	28.41
2500	27.05	2521	27.13	2542	27.14
2501	26.92	2522	27.41	2543	27.14
2502	26.87	2523	27.35	2544	27.61
2503	27.00	2524	26.99	2545	27.60
2504	26.70	2525	27.07	2546	27.53
2505	26.23	2526	27.30	2547	27.31
2506	26.30	2527	27.08	2548	27.86
2507	26.48	2528	27.16	2549	27.61
2508	26.83	2529	27.09	2550	27.03
2509	27.37	2530	27.56	2551	26.51
2510	26.54	2531	26.99	2552	26.52
2511	26.92	2532	27.16		
2512	27.07	2533	27.53		
2513	26.99	2534	27.63		
2514	26.12	2535	25.95		

ที่มา: กรมอุตุนิยมวิทยา (2553)

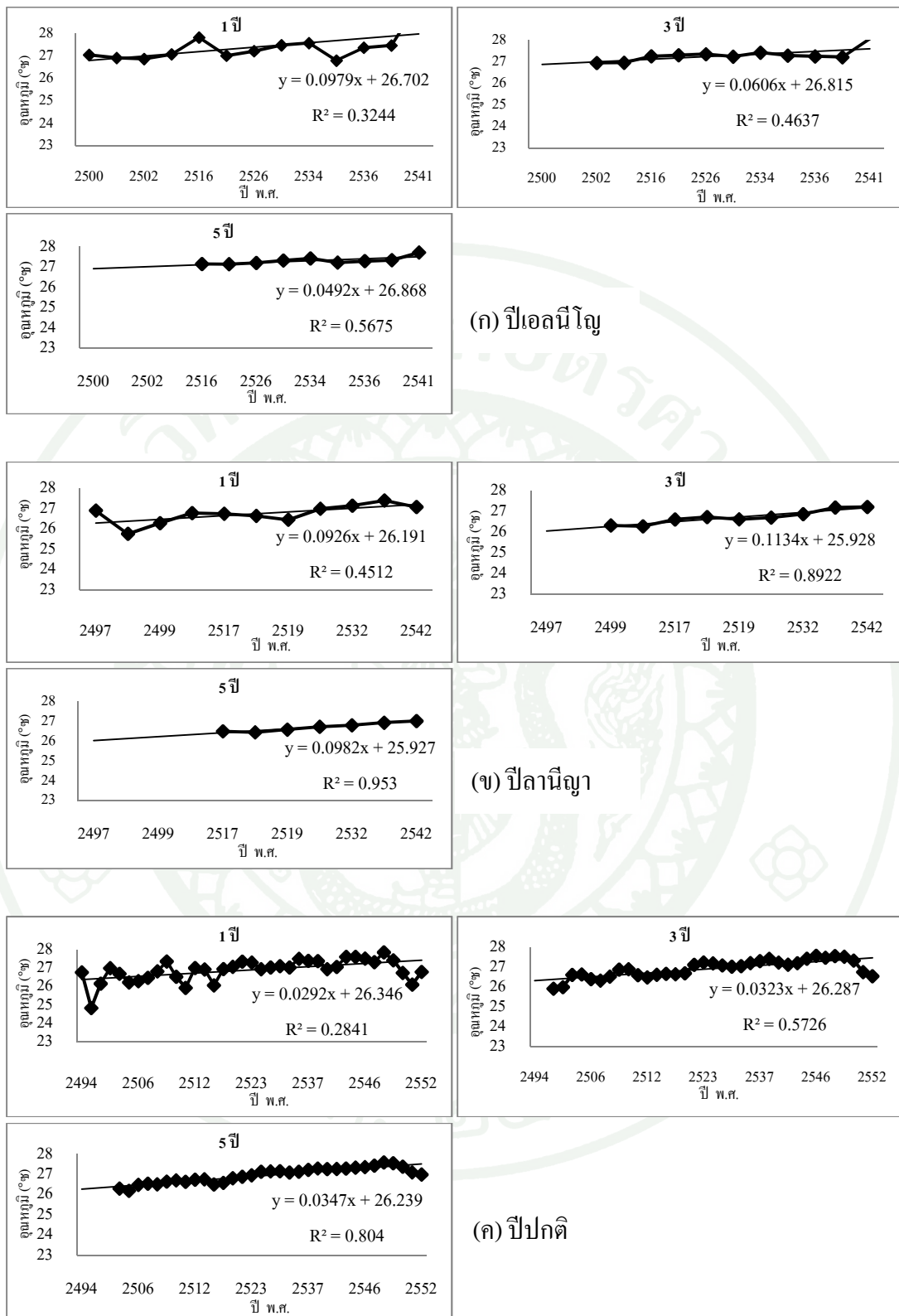
2.2.2 ความผันแปรของอุณหภูมิอากาศในพื้นที่ลุ่มน้ำเชิญ จากภาพที่ 26 พบร่วมรูปแบบความผันแปรในปีโอลนีโอลี ปีลานีญา และปีปกติมีแนวโน้มความผันแปรไปในทิศทางเดียว



ภาพที่ 26 ความผันแปรของอุณหภูมิอากาศบริเวณลุ่มน้ำเชญ จังหวัดชัยภูมิ ขอนแก่น และเพชรบูรณ์

กันคือมีจุดสูงสุดอยู่ในช่วงน้ำแล้งและมีจุดต่ำสุดอยู่ในฤดูหนาวระหว่างเดือนธันวาคมถึงเดือนมกราคม โดยมีค่าความผันแปรสูงสุดอยู่ในปีเอโอลีโน่ประมาณ 30.33 องศาเซลเซียส และมีจุดต่ำสุดอยู่ในปีลานีญาเมื่อเท่ากับ 22.36 องศาเซลเซียส ในเดือนธันวาคม จากภาพที่ 26 จะเห็นได้ว่า อุณหภูมิอากาศปีเอโอลีโน่ ลานีญา และปกติ มีความใกล้เคียงกันมากซึ่งอธิบายได้ว่าปรากฏการณ์เอโอลีโน่และลานีญาไม่มีผลกระทบต่ออุณหภูมิอากาศในพื้นที่ลุ่มน้ำเชญ โดยปกติแล้วความแตกต่างของอุณหภูมิอากาศนั้นขึ้นอยู่กับการได้รับแสงแดดจากดวงอาทิตย์เป็นหลัก ประกอบกับลุ่มน้ำเชญมีลักษณะภูมิอากาศแบบทุ่งหญ้าชาวนาเขตร้อนซึ่งลักษณะภูมิอากาศดังกล่าวมีฝนตกน้อยทำให้พื้นที่ได้รับแสงแดดรากดวงอาทิตย์นานในทุกฤดูกาล รวมไปถึงลักษณะของภูมิประเทศทางตอนใต้ของลุ่มน้ำเชญซึ่งมีลักษณะเป็นที่ราบสูง ทำให้พื้นที่ได้รับแสงแดดรากในปริมาณที่เพิ่มขึ้นเนื่องจากแสงอาทิตย์ตั้งฉาก โดยตรงกับพื้นที่ซึ่งเป็นปัจจัยสำคัญที่ทำให้พื้นที่ลุ่มน้ำเชญได้รับแสงแดดรากที่เพิ่มขึ้นและมีความยาวนานของแสงแดดรากมากกว่าพื้นที่ที่มีลักษณะภูมิประเทศที่เป็นภูเขาสูงซึ่งที่มีผลกระทบของแสงแดดรากน้อยกว่า

2.2.3 ค่าเฉลี่ยเคลื่อนที่อุณหภูมิอากาศ (moving average) 3 ปี และ 5 ปี ของลุ่มน้ำเชญ พบว่าอุณหภูมิอากาศของลุ่มน้ำเชญมีแนวโน้มเพิ่มสูงขึ้นในทุกชนิดปี โดยค่าเฉลี่ยเคลื่อนที่ 3 ปี ของปีลานีญาเมื่อแนวโน้มเพิ่มสูงขึ้นอย่างชัดเจนเมื่อเปรียบเทียบกับปีเอโอลีโน่และปกติ (ภาพที่ 27)



ກາພີ້ 27 ຄ່າເນັດຍົກລືອນທີ່ (moving average) ອຸນຫກມີອາກາສຽາຍເດືອນ ປິເວລີນີ້ຈູາ ລານີ້ຈູາ ແລະ ປີປັກຕິ ບຣິເວນຄຸ່ມນໍ້າເຊີ້ນ ຈຶ່ງກວດຂໍ້ມູນ ຂອນແກ່ນ ແລະ ເພີ່ມບຸນດຸນ

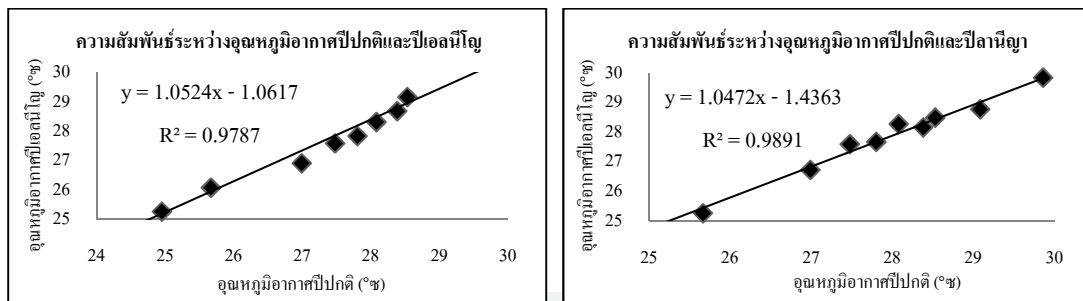
2.2.4 อุณหภูมิอากาศแต่ละชนิดปีของลุ่มน้ำเชญ โดยแบ่งออกเป็น 3 ชนิดปี ได้แก่ ปีปกติ ปีโอลนีโญ และปีลานีญา จากการศึกษาข้อมูลอุณหภูมิอากาศระหว่างปี พ.ศ. 2449 ถึง พ.ศ. 2552 ตารางที่ 25 พบว่าปีที่เกิดปรากฏการณ์โอลนีโญขนาดรุนแรงจำนวน 13 ปี ข้อมูลอุณหภูมิอากาศรายเดือนสูงสุดของปีโอลนีโญมีค่าเท่ากับ 32.05 องศาเซลเซียส ในเดือนเมษายน และมีค่าต่ำสุดในเดือนธันวาคมเท่ากับ 18.76 องศาเซลเซียส ส่วนปรากฏการณ์ลานีญาขนาดรุนแรงมีจำนวน 11 ปี ซึ่งมีอุณหภูมิอากาศสูงสุดในปีลานีญาเท่ากับ 31.25 องศาเซลเซียส ในเดือนเมษายน และอุณหภูมิอากาศต่ำสุดในเดือนมกราคมเท่ากับ 19.75 องศาเซลเซียส สำหรับอุณหภูมิอากาศสูงสุดในปีปกติเท่ากับ 31.93 องศาเซลเซียส ในเดือนเมษายน อุณหภูมิอากาศต่ำสุดในเดือนธันวาคมเท่ากับ 10.75 องศาเซลเซียส จากค่าอุณหภูมิอากาศสูงสุดของทั้งสามชนิดปีอยู่ใน quadrant คือเดือนเมษายน เช่นเดียวกันกับอุณหภูมิอากาศต่ำสุดที่อยู่ในช่วงฤดูหนาวซึ่งอยู่ระหว่างเดือนธันวาคมและเดือนมกราคม เมื่อพิจารณาอุณหภูมิอากาศเฉลี่ยปีปกติ เอลนีโญ และลานีญา มีค่าเท่ากับ 26.83, 27.24 และ 26.73 องศาเซลเซียส ตามลำดับ ซึ่งถือว่าอุณหภูมิอากาศเฉลี่ยของลุ่มน้ำเชญค่อนข้างสูง เมื่อเปรียบเทียบกับอุณหภูมิอากาศเฉลี่ยของลุ่มน้ำแม่แ.met ในช่วงเวลาเดียวกันทั้งนี้เนื่องมาจากการลุ่มน้ำเชญซึ่งตั้งอยู่ในภาคตะวันออกเฉียงเหนือซึ่งในช่วงฤดูร้อนของภาคตะวันออกเฉียงเหนือเริ่มประ�มาณกลางเดือนกุมภาพันธ์ถึงปลายเดือนเมษายน รวมเวลาประมาณ 3 เดือน เป็นช่วงที่ลมรสุมเปลี่ยนทิศทางคือเปลี่ยนจากทิศตะวันออกเฉียงเหนือเป็นทิศตะวันตกเฉียงใต้ ลมรสุมฤดูหนาวอ่อนกำลังและลมรสุมฤดูร้อนเข้ามามีอิทธิพลแทนที่ อุณหภูมิของอากาศจะสูงขึ้นตามลำดับจะเห็นว่าในเดือนเมษายนมีอากาศร้อนจัดที่สุดของปี เพราะเป็นระยะที่ภาคตะวันออกเฉียงเหนือได้รับแสงตั้งฉากของดวงอาทิตย์ (vertical rays) เป็นระยะที่ได้รับแสงแดดรากที่สุด อัตราการระเหยสูงมาก เพราะอากาศแห้งหรือมีความชื้นสัมพัทธ์ต่ำมาก โดยเฉพาะอย่างยิ่งในเดือนมีนาคมมีความชื้นสัมพัทธ์เฉลี่ยของภาคตะวันออกเฉียงเหนือเพียงร้อยละ 61.3 เป็นค่าที่ต่ำที่สุดของปี ในตอนบ่ายมักมีปรากฏการณ์ฟ้าหลัวหรือหมอกಡกเกิดขึ้นเสมอ เพราะแผ่นดินแห้งดินแตกเป็นฝุ่นพะยะาด้านหน้าเมื่ออากาศร้อนเบาลงอยู่ตัวสู่เบื้องบนจึงดูดเอาฝุ่นลงอยู่ตัวตามชั้นไปด้วย และฝุ่นเหล่านี้ทำให้ค่าทัศนวิสัยลดลง ในบางครั้งอาจก่อให้เกิดฝนพายุฟ้าคะนองขึ้นได้ (จุ่มพล, 2554)

ตารางที่ 25 อุณหภูมิอากาศรายเดือนตามชนิดปีของลุ่มน้ำเชิญ จังหวัดชัยภูมิ ขอนแก่น  
และเพชรบูรณ์ ระหว่างปี พ.ศ. 2494 - 2552

เดือน	อุณหภูมิอากาศรายเดือน (องศาเซลเซียส)								
	ปีปกติ			ปีอ่อนน้อม			ปี anomal		
	สูงสุด	ต่ำสุด	เฉลี่ย	สูงสุด	ต่ำสุด	เฉลี่ย	สูงสุด	ต่ำสุด	เฉลี่ย
ม.ค.	26.17	11.95	22.80	26.13	21.77	23.61	25.75	19.75	23.08
ก.พ.	28.67	18.30	25.55	27.67	24.68	26.10	26.57	22.70	25.15
มี.ค.	29.77	27.08	28.38	30.68	26.57	28.68	29.70	27.15	28.22
เม.ย.	31.93	28.15	29.87	32.05	28.30	30.27	31.25	28.15	29.83
พ.ค.	30.50	27.47	29.08	31.12	29.32	30.33	29.73	28.05	28.80
มิ.ย.	30.15	27.43	28.54	30.27	28.65	29.21	29.23	27.57	28.48
ก.ค.	29.28	27.08	28.08	29.12	27.70	28.33	29.08	27.60	28.30
ส.ค.	28.50	27.10	27.80	28.55	27.27	27.85	28.85	26.93	27.71
ก.ย.	28.07	26.75	27.47	28.05	26.67	27.56	28.25	27.03	27.61
ต.ค.	28.00	25.53	26.98	27.83	25.70	26.89	27.65	25.87	26.74
พ.ย.	27.15	12.70	24.69	26.40	23.45	25.22	26.12	23.23	24.48
ธ.ค.	25.73	10.75	22.76	25.80	18.76	22.81	24.50	20.50	22.36
อุณหภูมิ รายปี (°ช.)	27.86	24.84	26.83	29.37	26.8	27.24	27.41	25.76	26.73

ที่มา: ดัดแปลงจากกรมอุตุนิยมวิทยา (2553)

2.5 ความสัมพันธ์ระหว่างอุณหภูมิอากาศปีปกติกับอุณหภูมิอากาศในปีที่เกิดปรากฏการณ์อ่อนน้อม และ lanian ของลุ่มน้ำเชิญ ผลการศึกษาเมื่อสร้างความสัมพันธ์แบบจุดกระจาย แสดงความสัมพันธ์ ดังภาพที่ 28 พบว่าระดับความสัมพันธ์มีค่าสูง โดยมีค่าสัมประสิทธิ์ตัวกำหนด ( $R^2$ ) ของปีปกติกับปีอ่อนน้อม เท่ากับ 0.9787 และค่าสัมประสิทธิ์ตัวกำหนด ( $R^2$ ) ของปีปกติกับปี lanian เท่ากับ 0.9891 จากค่าความสัมพันธ์ที่มีลักษณะแปรผันตามกันในระดับสูงอธิบายได้ว่าปรากฏการณ์อ่อนน้อมและ lanian มีผลต่ออุณหภูมิอากาศในลุ่มน้ำเชิญน้อยมาก



ภาพที่ 28 ความสัมพันธ์ระหว่างอุณหภูมิอากาศปีปกติและปีโอลนีโญ่ และปีลานีญาในพื้นที่ลุ่มน้ำชีญ จังหวัดชัยภูมิ ขอนแก่น และเพชรบูรณ์

2.2.6 การทดสอบความแตกต่างของข้อมูลอุณหภูมิอากาศรายเดือนระหว่างปีปกติกับปีโอลนีโญ่และปีลานีญา ของลุ่มน้ำชีญ จากการทดสอบความแตกต่างของข้อมูลแบบสองทาง (two tailed test) โดยใช้สถิติทดสอบที (t-test) ได้แสดงค่านัยสำคัญทางสถิติดังตารางที่ 26 พบว่าค่าเฉลี่ยของอุณหภูมิอากาศรายเดือนในปีที่เกิดปรากฏการณ์โอลนีโญ่ และลานีญาในพื้นที่ลุ่มน้ำชีญ ไม่มีความแตกต่างจากปีปกติอย่างมีนัยสำคัญที่ระดับความเชื่อมั่นร้อยละ 95 ทุกช่วงการทดสอบ จากการทดสอบอธิบายได้ว่าปรากฏการณ์โอลนีโญ่และลานีญาไม่มีผลกระทบต่ออุณหภูมิอากาศในพื้นที่ลุ่มน้ำชีญ เนื่องมาจากพื้นที่ลุ่มน้ำชีญมีภูมิประเทศเป็นที่ราบสูงและมีลักษณะภูมิอากาศแบบทุ่งหญ้าชาวนานาในเขตต้อนมีการตกของฝนในปริมาณน้อยจึงทำให้พื้นที่ได้รับแสงจากดวงอาทิตย์นานนานในทุกฤดูกาลอุณหภูมิอากาศจึงไม่มีความแตกต่างกัน

ตารางที่ 26 เปรียบเทียบข้อมูลอุณหภูมิอากาศรายเดือนระหว่างปีปกติกับปีโอลนีโญ่ และปีลานีญา ของลุ่มน้ำชีญ จังหวัดชัยภูมิ ขอนแก่นและเพชรบูรณ์

เปรียบเทียบอุณหภูมิอากาศ			
ปีปกติกับปีโอลนีโญ่		ปีปกติกับปีลานีญา	
ช่วงการเปรียบเทียบ	นัยสำคัญทางสถิติ	ช่วงการเปรียบเทียบ	นัยสำคัญทางสถิติ
รายปี	0.720 <sup>ns</sup>	รายปี	0.863 <sup>ns</sup>
น้ำหลากร้อน	0.655 <sup>ns</sup>	น้ำหลากร้อน	0.872 <sup>ns</sup>
น้ำแล้ง	0.876 <sup>ns</sup>	น้ำแล้ง	0.913 <sup>ns</sup>

หมายเหตุ ns = ไม่มีความแตกต่างอย่างมีนัยสำคัญทางสถิติที่ระดับความเชื่อมั่นร้อยละ 95

### 2.3 ลุ่มน้ำคลองขัน

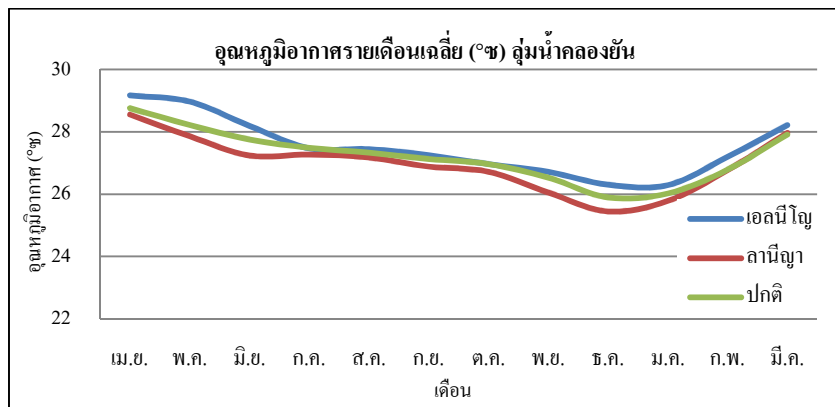
2.3.1 อุณหภูมิอากาศเฉลี่ยโดยวิธี Isohyetal method จากการศึกษาข้อมูลอุณหภูมิอากาศระหว่างปี พ.ศ. 2494 ถึง พ.ศ. 2552 จำนวน 6 สถานี จากสถานีตรวจอากาศที่อยู่โดยรอบพื้นที่ลุ่มน้ำหาค่าเฉลี่ยด้วยวิธี Isohyetal method ได้ค่าเฉลี่ยอุณหภูมิอากาศของลุ่มน้ำคลองขัน เท่ากับ 27.37 องศาเซลเซียส ซึ่งลุ่มน้ำคลองยังมีอุณหภูมิอากาศเฉลี่ยรายปีสูงสุดเท่ากับ 28.18 องศาเซลเซียส ในปีพ.ศ. 2533 และมีอุณหภูมิอากาศเฉลี่ยต่ำสุดในปี พ.ศ. 2498 เท่ากับ 26.49 องศาเซลเซียส ดังตารางที่ 27 ซึ่งตรงกับช่วงเวลาที่เกิดปรากฏการณ์ลานีญาขนาดครุณแรง จากค่าอุณหภูมิอากาศสูงสุดและต่ำสุดจะเห็นว่าพิสัยอุณหภูมิอากาศรายปีมีค่าประมาณ 1.69 องศาเซลเซียส ซึ่งมีค่าค่อนข้างน้อยมาก แสดงว่าการเปลี่ยนแปลงอุณหภูมิในแต่ละฤดูน้อยมาก ทั้งนี้เนื่องจากลุ่มน้ำคลองยังตั้งอยู่ในพื้นที่ภาคใต้ของประเทศไทยซึ่งมีเพียง 2 ฤดู คือฤดูร้อนและฤดูฝน ประกอบกับพื้นที่ตั้งอยู่ใกล้เขตศูนย์สูตรมากกว่าภูมิภาคอื่นของประเทศไทย ทำให้ได้รับแสงแดดที่ยาวนานและความเข้มของแสงแดดก็มีมากกว่าทำให้อุณหภูมิอากาศร้อนเกือบตลอดทั้งปีและมีค่าสูงกว่าภูมิภาคอื่นตามไปด้วย

2.3.2 ความผันแปรของอุณหภูมิอากาศในพื้นที่ลุ่มน้ำคลองขัน จากภาพที่ 29 พบว่ารูปแบบความผันแปรในปีเดือนนี้โดย ปีลานีญา และปีปกติมีแนวโน้มความผันแปรไปในทิศทางเดียวกันคือมีจุดสูงสุดอยู่ในช่วงน้ำแล้งและมีจุดต่ำสุดอยู่ในฤดูหนาวระหว่างเดือนธันวาคมถึงเดือนมกราคม โดยมีค่าความผันแปรสูงสุดอยู่ในปีเดือนนี้โดยมีค่าเท่ากับ 29.18 องศาเซลเซียส ในเดือนเมษายน และมีจุดต่ำสุดอยู่ในปีลานีญา มีค่าเท่ากับ 25.47 องศาเซลเซียส ในเดือนธันวาคม จากภาพที่ 29 พบว่าอุณหภูมิอากาศปีเดือนนี้โดย ปีลานีญา และปีปกติ มีความแตกต่างจากลุ่มน้ำแม่แตง และลุ่มน้ำเชิญที่ผ่านมา โดยอุณหภูมิอากาศปีเดือนนี้โดยมีค่าสูงสุด รองลงมาคือปีปกติ และปีลานีญา มีค่าต่ำสุดสามารถอธิบายได้ว่าปรากฏการณ์เดือนนี้โดยและลานีญา มีผลกระทบต่ออากาศอุณหภูมิในพื้นที่ลุ่มน้ำคลองยังซึ่งปีที่เกิดปรากฏการณ์ดังกล่าวทำให้อุณหภูมิอากาศสูงและต่ำกว่าค่าอุณหภูมิอากาศในปีปกติเกือบตลอดทั้งปี ทั้งนี้อาจเนื่องมาจากการณ์เดือนนี้โดยและลานีญาซึ่งเป็นปรากฏการณ์ที่เกิดขึ้นในมหาสมุทรส่งผลกระทบต่อประเทศที่อยู่เคียงข้างฝั่งมหาสมุทรแปซิฟิก ลุ่มน้ำคลองยังซึ่งอยู่ใกล้กับทะเลฝั่งอ่าวไทยจึงได้รับอิทธิพลจากปรากฏการณ์ทั้งสองที่ແผล์เข้ามาได้

ตารางที่ 27 อุณหภูมิอากาศเฉลี่ยรายปีของคุ่น้ำคลองขัน จังหวัดสุราษฎร์ธานี และจังหวัดระนอง

ปี (พ.ศ.)	อุณหภูมิ รายปี (°ช)	ปี (พ.ศ.)	อุณหภูมิ รายปี (°ช)	ปี (พ.ศ.)	อุณหภูมิ รายปี (°ช)
2494	27.57	2515	27.00	2536	26.54
2495	27.13	2516	27.11	2537	27.42
2496	27.00	2517	26.76	2538	27.43
2497	26.74	2518	26.84	2539	27.31
2498	26.49	2519	26.83	2540	27.59
2499	26.58	2520	27.30	2541	28.13
2500	27.18	2521	27.27	2542	27.24
2501	27.41	2522	27.50	2543	27.35
2502	27.16	2523	27.48	2544	27.46
2503	26.99	2524	27.28	2545	27.73
2504	26.72	2525	27.38	2546	27.71
2505	26.78	2526	27.51	2547	27.78
2506	26.85	2527	27.32	2548	27.83
2507	26.95	2528	27.40	2549	27.59
2508	26.87	2529	27.25	2550	27.57
2509	27.20	2530	28.06	2551	27.50
2510	26.87	2531	27.59	2552	27.60
2511	27.03	2532	27.64		
2512	27.48	2533	28.18		
2513	27.35	2534	27.94		
2514	26.68	2535	27.66		

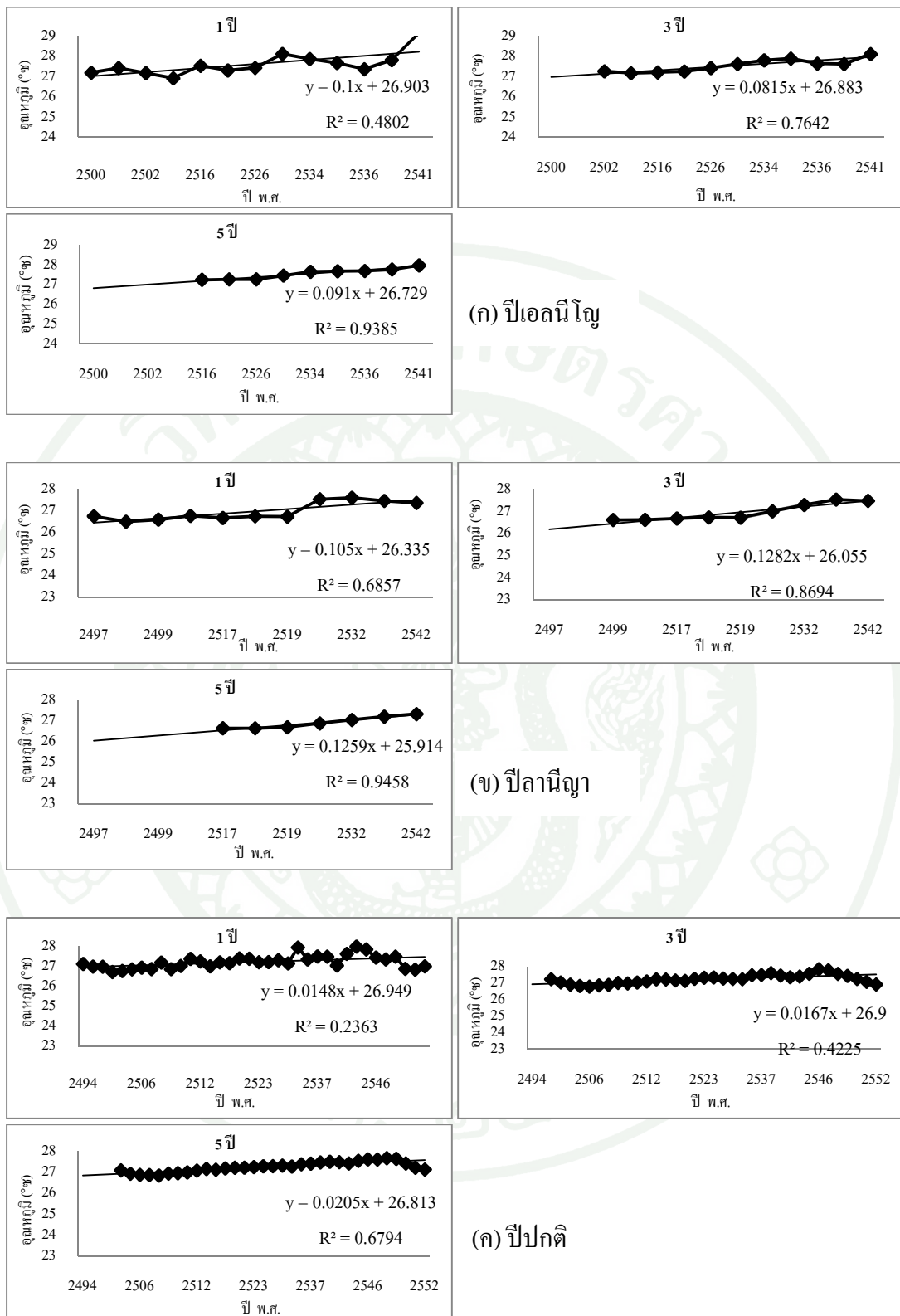
ที่มา: กรมอุตุนิยมวิทยา (2553)



ภาพที่ 29 ความผันแปรของอุณหภูมิอากาศบว谣言ลุ่มน้ำคoldongยัน จังหวัดสุราษฎร์ธานี และจังหวัดระนอง

2.3.3 ค่าเฉลี่ยเคลื่อนที่อุณหภูมิอากาศ (moving average) 3 ปี และ 5 ปี ของกลุ่มน้ำคoldongยัน พบว่าแนวโน้มของอุณหภูมิอากาศเพิ่มสูงขึ้นในทุกชนิดปี โดยแนวโน้มการเพิ่มขึ้นของอุณหภูมิอากาศเพิ่มสูงขึ้นตามค่าเฉลี่ย 3 และ 5 ปี ตามลำดับ (ภาพที่ 30)

2.3.4 อุณหภูมิอากาศแต่ละชนิดปีของกลุ่มน้ำคoldongยัน โดยแบ่งออกเป็น 3 ชนิดปี ได้แก่ ปีปกติ ปีเออลนีโญ และปีลาเนจู จากการศึกษาข้อมูลอุณหภูมิอากาศระหว่างปี พ.ศ. 2494 ถึง พ.ศ. 2552 (ตารางที่ 28) พบว่าปีที่เกิดปรากฏการณ์เออลนีโญขนาดรุนแรงจำนวน 13 ปี ข้อมูลอุณหภูมิอากาศรายเดือนสูงสุดของปีเออลนีโญมีค่าเท่ากับ 30.68 องศาเซลเซียส ในเดือนเมษายน และมีค่าต่ำสุดในเดือนกรกฎาคมเท่ากับ 24.85 องศาเซลเซียส ส่วนปรากฏการณ์ลาเนจูขนาดรุนแรง มีจำนวน 11 ปี ซึ่งมีอุณหภูมิอากาศสูงสุดในปีลาเนจูมีค่าเท่ากับ 29.43 องศาเซลเซียส ในเดือนเมษายน และอุณหภูมิอากาศต่ำสุดในเดือนธันวาคมเท่ากับ 25.47 องศาเซลเซียส สำหรับอุณหภูมิอากาศสูงสุดในปีปกติเท่ากับ 30.18 องศาเซลเซียส ในเดือนเมษายน อุณหภูมิอากาศต่ำสุดในเดือนธันวาคมเท่ากับ 19.28 องศาเซลเซียส จากค่าอุณหภูมิอากาศสูงสุดของทั้งสามชนิดปีจะอยู่ในดุรรัตน์คือเดือนเมษายนซึ่งมีอุณหภูมิอากาศไม่สูงมากนัก เช่นเดียวกันกับอุณหภูมิอากาศต่ำสุดที่อยู่ในช่วงฤดูหนาวซึ่งอยู่ระหว่างเดือนธันวาคมและเดือนกรกฎาคม เมื่อพิจารณาอุณหภูมิอากาศเฉลี่ยปีปกติ เออลนีโญ และลาเนจู มีค่าเท่ากับ 27.21, 27.53 และ 26.96 องศาเซลเซียส ตามลำดับ การที่พื้นที่กลุ่มน้ำคoldongยันมีอุณหภูมิอากาศที่ไม่สูงและไม่ต่ำมากนัก เนื่องมาจากการเปลี่ยนแปลงทางภูมิศาสตร์และการเปลี่ยนแปลงทางเศรษฐกิจ ทำให้อุณหภูมิลดลงทั่วไปและมีอากาศหนาวเย็น แต่เนื่องจากกลุ่มน้ำคoldongยันตั้งอยู่ในจังหวัดสุราษฎร์ธานี



ກາພີ້ 30 ຄ່າເນລື່ອງເຄລື່ອນທີ່ (moving average) ອຸນຫກມີອາກາສຽາຍເດືອນ ປີເລນីໂល ລານីສ្មា ແລະ ປີປົກຕິ ບຣິເວນ ຄຸ່ມນໍາຄລອງບັນ ຈັງຫວັດສູງຢູ່ຮ້ານີແລະ ຈັງຫວັດຮະນອງ

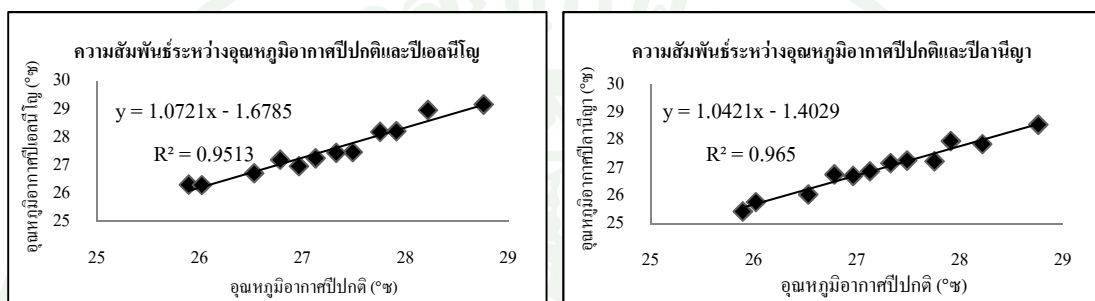
**ตารางที่ 28 อุณหภูมิอากาศรายเดือนตามชนิดปีของกลุ่มน้ำ氣คลองขัน จังหวัดสุราษฎร์ธานี  
และขั้งหวัดระนอง ระหว่างปี พ.ศ. 2494 - 2552**

เดือน	อุณหภูมิอากาศรายเดือน (องศาเซลเซียส)								
	ปีปกติ			ปีโอล尼โญ			ปี anomal		
	สูงสุด	ต่ำสุด	เฉลี่ย	สูงสุด	ต่ำสุด	เฉลี่ย	สูงสุด	ต่ำสุด	เฉลี่ย
ม.ค.	27.36	21.58	25.94	27.38	24.85	26.27	26.98	24.2	25.75
ก.พ.	28.08	22.24	26.70	28.43	26.38	27.23	28.13	25.95	26.82
มี.ค.	28.94	26.90	27.91	29.18	26.75	28.18	28.58	26.90	27.92
เม.ย.	30.18	27.54	28.77	30.68	27.80	29.18	29.43	27.90	28.57
พ.ค.	29.05	27.12	28.21	30.55	28.40	29.04	28.38	27.20	27.85
มิ.ย.	28.70	26.92	27.76	29.10	27.55	28.21	28.00	26.15	27.21
ก.ค.	28.97	26.75	27.51	28.20	26.80	27.48	28.45	26.30	27.29
ส.ค.	28.20	26.70	27.33	28.45	26.80	27.47	28.18	25.70	27.14
ก.ย.	27.88	26.40	27.13	27.78	26.85	27.26	27.68	24.90	26.79
ต.ค.	28.03	25.86	26.96	27.75	26.35	26.98	27.25	26.05	26.71
พ.ย.	27.53	25.70	26.53	27.40	25.95	26.71	26.98	25.10	26.05
ธ.ค.	27.42	19.28	25.76	27.30	25.65	26.33	26.63	24.60	25.47
อุณหภูมิ รายปี (°ช.)	28.00	26.72	27.21	29.13	26.91	27.53	27.59	26.49	26.96

ที่มา: ดัดแปลงจากกรมอุตุนิยมวิทยา (2553)

ซึ่งอยู่ด้านชายฝั่งตะวันออกของภาคใต้อุณหภูมิจึงลดลงเล็กน้อยเป็นครั้งคราว อากาศเงือกไม่หนาวเย็นมากนัก และตามชายฝั่งทะเลจะมีฝนตกทั่วไปโดยเฉพาะในเดือนตุลาคมและพฤษภาคม ส่วนฤดูร้อนเริ่มตั้งแต่กลางเดือนกุมภาพันธ์ถึงกลางเดือนพฤษภาคม เป็นช่วงที่จะสีสุกคุณรสูม ตะวันออกเฉียงเหนืออากาศเริ่มร้อนและมีอากาศร้อนจัดที่สุดในเดือนเมษายน แต่ไม่ร้อนมากนัก เนื่องจากภูมิประเทศเป็นคาบสมุทรอยู่ใกล้ทะเล กระแสลมและไอน้ำจากทะเลทำให้อากาศคลายร้อนลง ไปมาก

2.3.5 ความสัมพันธ์ระหว่างอุณหภูมิอากาศปีปกติกับอุณหภูมิอากาศในปีที่เกิดปรากฏการณ์โอลนีโญ และ lanine ของลุ่มน้ำคลองยัน ผลการศึกษาเมื่อสร้างความสัมพันธ์แบบจุดกระจาย แสดงความสัมพันธ์ ดังภาพที่ 31 พบว่าระดับความสัมพันธ์มีค่าสูง โดยมีค่าสัมประสิทธิ์ตัวกำหนด ( $R^2$ ) ของปีปกติกับปีโอลนีโญ เท่ากับ 0.9513 และค่าสัมประสิทธิ์ตัวกำหนด ( $R^2$ ) ของปีปกติกับปี lanine เท่ากับ 0.965 จากค่าความสัมพันธ์ที่มีลักษณะแปรผันตามกันในระดับสูงเชิงบวก ได้ว่า ปรากฏการณ์โอลนีโญและ lanine มีผลต่อปริมาณน้ำฝนในลุ่มน้ำคลองยันน้อยมาก



ภาพที่ 31 ความสัมพันธ์ระหว่างอุณหภูมิอากาศปีปกติกับปีโอลนีโญ และ lanine ในพื้นที่ลุ่มน้ำคลองยัน จังหวัดสุราษฎร์ธานี และจังหวัดระนอง

2.3.6 การทดสอบความแตกต่างของข้อมูลอุณหภูมิอากาศรายเดือนระหว่างปีปกติกับปีโอลนีโญและปี lanine ของลุ่มน้ำคลองยัน จากการทดสอบความแตกต่างของข้อมูลแบบสองทาง (two tailed test) โดยใช้สถิติทดสอบที่ (t-test) ได้แสดงค่านัยสำคัญทางสถิติดังตารางที่ 29 พบว่า ค่าเฉลี่ยของอุณหภูมิรายเดือนในปีที่เกิดปรากฏการณ์โอลนีโญ และ lanine ในพื้นที่ลุ่มน้ำคลองยัน ไม่มีความแตกต่างจากปีปกติอย่างมีนัยสำคัญที่ระดับความเชื่อมั่นร้อยละ 95 ทุกช่วงการทดสอบ จากการทดสอบเชิงบวก ได้ว่า ปรากฏการณ์โอลนีโญและ lanine ไม่มีผลกระทบต่ออุณหภูมิอากาศ ในพื้นที่ลุ่มน้ำคลองยัน ทั้งนี้เนื่องมาจากพื้นที่ลุ่มน้ำคลองยันมีพื้ียง 2 ถู คือ ถูฝุ่น กับถูร้อน ซึ่ง ส่วนใหญ่มีฝุ่นสลับกับมีแสงแดดรเกื่อบตลอดทั้งปี ประกอบกับมีพื้นที่ป่าดินชื้นสร้างความชื้นชื้น ให้กับบรรยากาศจากกระบวนการรายน้ำของพืช ทำให้ค่าความต่างของอุณหภูมิอากาศมีความใกล้เคียงกันในแต่ละถู จึงทำให้ อุณหภูมิปีโอลนีโญและ lanine ไม่ต่างจากปีปกติ

**ตารางที่ 29 เปรียบเทียบข้อมูลอุณหภูมิอากาศรายเดือนระหว่างปีปกติกับปีอ่อนนีโญ และปีล้านีญา  
ของลุ่มน้ำคลองยัน จังหวัดสุราษฎร์ธานี และจังหวัดระนอง**

<b>เปรียบเทียบอุณหภูมิอากาศ</b>			
<b>ปีปกติกับปีอ่อนนีโญ</b>		<b>ปีปกติกับปีล้านีญา</b>	
<b>ช่วงการเปรียบเทียบ</b>	<b>นัยสำคัญทางสถิติ</b>	<b>ช่วงการเปรียบเทียบ</b>	<b>นัยสำคัญทางสถิติ</b>
รายปี	0.449 <sup>ns</sup>	รายปี	0.489 <sup>ns</sup>
นำทาง	0.534 <sup>ns</sup>	นำทาง	0.308 <sup>ns</sup>
นำแสง	0.657 <sup>ns</sup>	นำแสง	0.840 <sup>ns</sup>

หมายเหตุ ns = ไม่มีความแตกต่างอย่างมีนัยสำคัญทางสถิติที่ระดับความเชื่อมั่น 95%

### 3. ปริมาณน้ำท่า

#### 3.1 ลุ่มน้ำแม่แตง

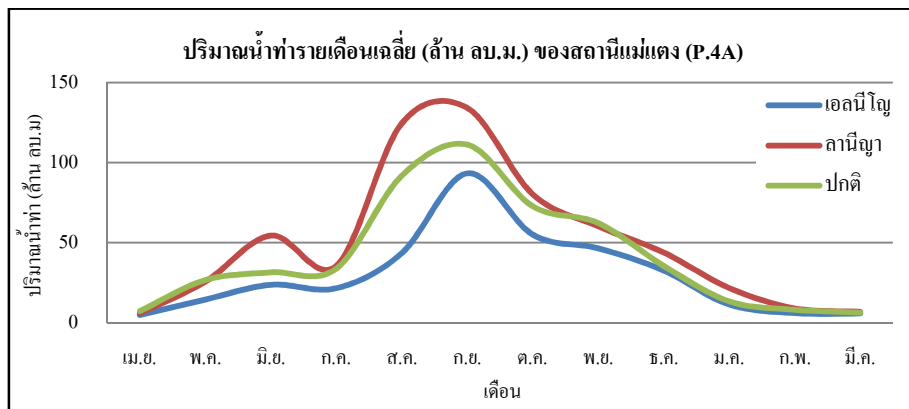
3.1.1 ปริมาณน้ำท่าเฉลี่ย โดยใช้ข้อมูลปริมาณน้ำท่า ณ จุดตรวจวัด จากการศึกษาข้อมูลปริมาณน้ำท่าระหว่างปี พ.ศ. 2498 ถึง พ.ศ. 2552 (ตารางที่ 30) ของสถานีแม่แตง (P.4A) มีพื้นที่รับน้ำ 1,902 ตารางกิโลเมตร พบว่า ลุ่มน้ำแม่แตงมีปริมาณน้ำท่าเฉลี่ยเท่ากับ 477.80 ล้านลูกบาศก์เมตรต่อปี มีปริมาณน้ำท่าสูงสุดในปี พ.ศ. 2516 เท่ากับ 1,423.57 ล้านลูกบาศก์เมตรต่อปี และมีปริมาณน้ำท่าต่ำสุดในปี พ.ศ. 2541 เท่ากับ 48.38 ล้านลูกบาศก์เมตรต่อปี จากตารางที่ 30 เห็นได้ว่า ปริมาณน้ำท่าในพื้นที่ลุ่มน้ำแม่แตงมีปริมาณน้ำท่าใกล้เคียงกันเกือบทุกปี คือ มีความผันแปรระหว่างปีน้อย ทั้งนี้เนื่องมาจากการพื้นที่ลุ่มน้ำแม่แตงมีลักษณะเป็นภูเขาสูงปักคลุมด้วยพื้นที่ป่าดิบชื้น เป็นปัจจัยสำคัญในการกักเก็บน้ำในช่วงที่ฝนตกและปลดปล่อยน้ำในช่วงแสงน้ำได้อย่างมีประสิทธิภาพ ในปี พ.ศ. 2541 มีปริมาณน้ำท่าต่ำสุด เนื่องมาจากเป็นปีที่ประเทศไทยได้รับผลกระทบจากปรากฏการณ์อ่อนนีโญทำให้พื้นที่ส่วนใหญ่แห้งแล้ง ซึ่งสอดคล้องกับปริมาณน้ำฝนในปีเดียวกันคือ มีปริมาณน้ำฝนเพียง 780.93 มิลลิเมตร จึงส่งผลให้ปริมาณน้ำท่าในพื้นที่ลุ่มน้ำแม่แตงน้อยลงไปด้วย

ตารางที่ 30 ปริมาณน้ำท่ารายปีบริเวณจุดวัดน้ำสถานีแม่แตง (P.4A) ลุ่มน้ำแม่แตง จังหวัดเชียงใหม่

ปี (พ.ศ.)	ปริมาณน้ำท่า (ล้าน ลบ.ม.)	ปี (พ.ศ.)	ปริมาณน้ำท่า (ล้าน ลบ.ม.)	ปี (พ.ศ.)	ปริมาณน้ำท่า (ล้าน ลบ.ม.)
2498	752.90	2517	495.43	2536	146.60
2499	1,059.80	2518	784.82	2537	693.30
2500	629.40	2519	334.71	2538	623.80
2501	474.70	2520	381.53	2539	412.73
2502	641.20	2521	445.33	2540	218.10
2503	476.70	2522	228.47	2541	48.38
2504	713.10	2523	325.89	2542	245.03
2505	380.40	2524	447.11	2543	389.04
2506	999.16	2525	363.52	2544	306.31
2507	916.30	2526	476.19	2545	534.56
2508	731.40	2527	378.68	2546	205.49
2509	278.11	2528	513.30	2547	532.55
2510	574.71	2529	393.48	2548	688.94
2511	427.03	2530	406.86	2549	523.26
2512	575.62	2531	376.59	2550	219.05
2513	765.03	2532	344.46	2551	352.01
2514	768.39	2533	190.02	2552	178.91
2515	429.24	2534	201.11		
2516	1,423.57	2535	239.05		

ที่มา: กรมชลประทาน (2553)

3.1.2 ความผันแปรของปริมาณน้ำท่าในพื้นที่ลุ่มน้ำแม่แตง จากภาพที่ 32 พนว  
รูปแบบความผันแปรในปีอ่อนนิโ-li ปีนานิษญา และปีปกติมีแนวโน้มความผันแปรไปในทิศทาง  
เดียวกันคือมีจุดสูงสุดอยู่ในช่วงน้ำ高涨 และมีจุดต่ำสุดอยู่ในช่วงน้ำลดลง โดยมีค่าความผันแปร  
สูงสุดอยู่ในปีนานิษญา มีค่าเท่ากับ 162.21 ล้านลูกบาศก์เมตร ในเดือนสิงหาคม รองลงมาคือปีปกติ



ภาพที่ 32 ความผันแปรของปริมาณน้ำท่าบริเวณจุดวัดน้ำสถานีแม่ตั้ง (P.4A) ลุ่มน้ำแม่ตั้ง จังหวัดเชียงใหม่

ในเดือนกันยายนมีค่าเท่ากับ 111.41 ล้านลูกบาศก์เมตร และปีเอโอลินีโซyu มีค่าเท่ากับ 88.84 ล้านลูกบาศก์เมตร ตามลำดับ จากภาพที่ 32 ปริมาณน้ำท่าปีปกติ เอโอลินีโซyu และลานีญา ผันแปรไปตามฤดูกาลตกลงของฝน คือมีจุดสูงสุดในช่วงที่ลุ่มน้ำแม่ตั้งมีฝนตกชุกในเดือนสิงหาคมและกันยายน เนื่องมาจากพื้นที่ภาคเหนือของประเทศไทยได้รับอิทธิพลจากพายุหมุนเวียนและร่องความกดอากาศต่ำพาดผ่านในช่วงเวลาดังกล่าวจึงทำให้มีฝนตกหนัก ส่วนในช่วงน้ำแล้งปริมาณน้ำท่าเริ่มลดลงอย่างชัดเจนตั้งแต่ปลายเดือนพฤษภาคม โดยช่วงเดือนปลายเดือนพฤษภาคมถึงกลางเดือนกุมภาพันธ์เป็นช่วงที่ลุ่มน้ำแม่ตั้ง ได้รับอิทธิพลจากมรสุมตะวันออกเฉียงเหนือทำให้มีอากาศเย็นและแห้ง มีการตกลงของฝนน้อยมาก เมื่อเข้าช่วงฤดูร้อนตั้งแต่กลางเดือนกุมภาพันธ์ถึงเมษายนซึ่งเป็นช่วงที่มีอุณหภูมิสูงและมีแสงแดดจัดประกอบกับไม่มีฝนตกทำให้ปริมาณน้ำท่าลดลงตามไปด้วยซึ่งช่วงเวลาเดียวกันน้ำท่าจากปริมาณน้ำที่สะสมอยู่ได้ดินที่ค่อยๆ ไหลและซึมออกมาน้ำ

3.1.3 ปริมาณน้ำท่าแต่ละชนิดปีของลุ่มน้ำแม่ตั้ง โดยแบ่งออกเป็น 3 ชนิดปี ได้แก่ ปีปกติ ปีเอโอลินีโซyu และปีลานีญา จากการศึกษาข้อมูลปริมาณน้ำท่าระหว่างปี พ.ศ. 2498 ถึง พ.ศ. 2552 (ตารางที่ 31) พบว่าปีที่เกิดปรากฏการณ์เอโอลินีโซyu นาครุณแรงจำนวน 13 ปี ข้อมูลปริมาณน้ำท่ารายเดือนสูงสุดของปีเอโอลินีโซyu มีค่าเท่ากับ 178.07 ล้านลูกบาศก์เมตร ในเดือนกันยายน และมีค่าต่ำสุดระหว่างเดือนกุมภาพันธ์ถึงเดือนมีนาคมเท่ากับ 0.3 ล้านลูกบาศก์เมตร ส่วนปรากฏการณ์ลานีญา นาครุณแรงมีจำนวน 10 ปี ซึ่งมีปริมาณน้ำท่าสูงสุดในปีลานีญาเท่ากับ 531.53 ล้านลูกบาศก์เมตร ในเดือนสิงหาคมและปริมาณน้ำท่าต่ำสุดในเดือนกุมภาพันธ์เท่ากับ 0.52 ลูกบาศก์เมตร สำหรับปริมาณน้ำท่าสูงสุดในปีปกติเท่ากับ 377.57 ล้านลูกบาศก์เมตร ในเดือนพฤษภาคม

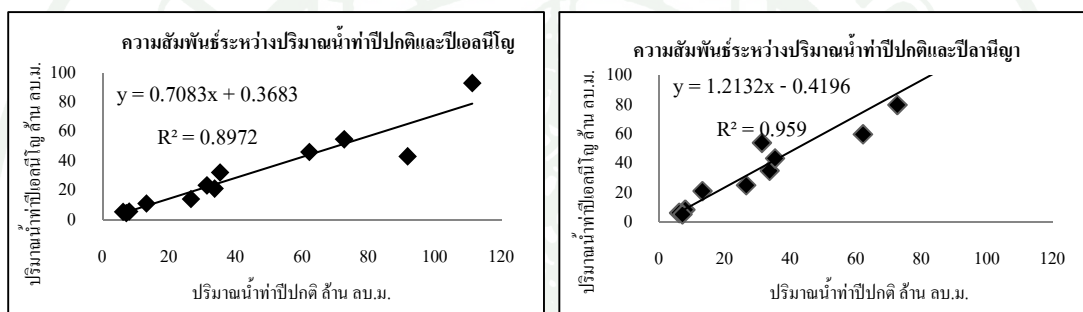
**ตารางที่ 31 ปริมาณน้ำท่ารายเดือนตามชนิดปีบริเวณจุดวัดน้ำสถานีแม่แตง (P.4A) ลุ่มน้ำแม่แตง  
จังหวัดเชียงใหม่ ระหว่างปี พ.ศ. 2498 - 2552**

เดือน	ปริมาณน้ำท่ารายเดือน (ล้านลูกบาศก์เมตร)								
	ปีปกติ			ปีอ่อนนีโญ			ปีแลนนีโญ		
	สูงสุด	ต่ำสุด	เฉลี่ย	สูงสุด	ต่ำสุด	เฉลี่ย	สูงสุด	ต่ำสุด	เฉลี่ย
ม.ค.	44.24	0.02	13.74	30.32	0.44	11.00	54.17	0.53	22.87
ก.พ.	33.52	0.76	8.55	23.92	0.30	7.21	27.87	0.52	9.12
มี.ค.	29.60	0.10	6.65	19.14	0.30	6.57	23.88	0.57	7.30
เม.ย.	23.13	0.03	7.39	21.11	0.43	5.95	19.98	0.72	6.20
พ.ค.	49.43	4.75	26.60	28.89	3.27	14.70	36.36	12.79	25.36
มิ.ย.	68.77	5.83	31.71	51.42	3.93	24.25	100.73	29.99	56.38
ก.ค.	95.98	0.93	34.57	68.95	1.45	22.03	82.85	0.87	39.65
ส.ค.	220.91	13.00	93.24	90.89	2.64	40.99	531.53	10.82	162.21
ก.ย.	208.08	21.26	111.41	178.07	19.94	88.84	327.11	37.52	153.2
ต.ค.	187.14	6.19	74.04	107.31	0.99	51.02	163.26	11.17	88.59
พ.ย.	377.57	10.03	69.71	110.48	6.38	45.28	88.99	39.71	65.80
ธ.ค.	75.69	6.66	35.71	62.52	1.62	30.25	75.17	21.58	48.42
ปริมาณ น้ำท่ารายปี	1,023.68	178.90	513.31	641.50	48.41	348.08	1,358.71	245.00	685.09

**ที่มา: ดัดแปลงจากกรมชลประทาน (2553)**

ปริมาณน้ำท่าต่ำสุดในเดือนกรกฎาคมเท่ากับ 0.02 ล้านลูกบาศก์เมตร จากปริมาณน้ำท่ารายเดือนสูงสุดทั้งปีปกติ เออนนีโญ และล้านน้ำอยู่ระหว่างเดือนสิงหาคมถึงเดือนพฤษภาคมซึ่งเป็นช่วงที่พื้นที่ลุ่มน้ำแม่แตงมีฝนตกชุกจึงทำให้มีปริมาณน้ำท่าสูงตามไปด้วย เช่นเดียวกันกับปริมาณน้ำท่าต่ำสุดที่อยู่ในช่วงน้ำแล้งซึ่งเป็นช่วงที่มีฝนตกในพื้นที่น้อยมาก โดยปริมาณน้ำที่ไหลในลำธารในช่วงนี้มาจากการระบายน้ำสู่ลำธารของระบบนิเวศภัยในลุ่มน้ำ ลักษณะของระบบนิเวศภัยในลุ่มน้ำมีความอุดมสมบูรณ์ระบบการระบายน้ำสู่ลำธารก็มีประสิทธิภาพมีปริมาณน้ำเพียงพอต่อความต้องการ หากระบบนิเวศภัยทำลายก็ส่งผลให้บางเวลาในช่วงน้ำแล้งขาดแคลนน้ำได้

3.1.4 ความสัมพันธ์ระหว่างปริมาณน้ำท่าปีปกติกับปริมาณน้ำท่าในปีที่เกิดภัยธรรมชาติ เอเลนีโอลู และลานีญาของคุณน้ำแม่ແ霆 ผลการศึกษาเมื่อสร้างความสัมพันธ์แบบจุดกระจาย แสดงความสัมพันธ์ ดังภาพที่ 33 พบว่าระดับความสัมพันธ์มีค่าสูง โดยมีค่าสัมประสิทธิ์ตัวกำหนด ( $R^2$ ) ของปีปกติกับปีเอเลนีโอลู เท่ากับ 0.8972 และค่าสัมประสิทธิ์ตัวกำหนด ( $R^2$ ) ของปีปกติกับปีลานีญา เท่ากับ 0.959 จากค่าความสัมพันธ์ที่มีลักษณะแปรผันตามกันในระดับสูง อธิบายได้ว่าภัยธรรมชาติเอเลนีโอลูและลานีญา มีผลต่อปริมาณน้ำท่าในคุณน้ำแม่ແ霆น้อยมาก เนื่องจากปริมาณน้ำท่าในคุณน้ำขึ้นอยู่กับลักษณะภูมิอากาศ คือ ปริมาณน้ำฝนเป็นหลักโดยในช่วงฤดูฝนซึ่งเป็นช่วงที่ฝนตกชุกปริมาณน้ำท่าก็มีปริมาณมากตามไปด้วย เช่นเดียวกับช่วงน้ำแล้งซึ่งเป็นช่วงที่มีฝนตกน้อย อุณหภูมิสูง อัตราการระเหยสูง ทำให้ปริมาณน้ำท่าลดน้อยลงไปด้วย



**ภาพที่ 33 ความสัมพันธ์ระหว่างปริมาณน้ำท่าปีกติกับปริมาณน้ำท่าในปีที่เกิดปรากฏการณ์เอลนีโญและลานลู่ในพื้นที่คุ่นน้ำแม่แตง จังหวัดเชียงใหม่**

3.1.5 การทดสอบความแตกต่างของข้อมูลปริมาณน้ำท่ารายเดือนระหว่างปีปกติกับปีเอลอนีโซญและปีลานีโซญา ของคุณน้ำแม่แตง จากการทดสอบความแตกต่างของข้อมูลแบบสองทาง (two tailed test) โดยใช้สถิติทดสอบที่ (t-test) ได้แสดงค่านัยสำคัญทางสถิติดังตารางที่ 32 พบว่า ค่าเฉลี่ยของปริมาณน้ำท่ารายเดือนในปีที่เกิดปรากฏการณ์เอลอนีโซญ และลานีโซญาในพื้นที่คุณน้ำแม่แตง ไม่มีความแตกต่างจากปีปกติอย่างมีนัยสำคัญที่ระดับความเชื่อมั่นร้อยละ 95 ทุกช่วงการทดสอบ จากผลการทดสอบอธินาย ได้ว่าปรากฏการณ์เอลอนีโซญและลานีโซญา ไม่มีผลกระทบต่อปริมาณน้ำท่าในพื้นที่คุณน้ำแม่แตง เนื่องจากพื้นที่คุณน้ำแม่แตงปักคลุมด้วยป่าดิบเขาร้อยในชั้นคุณภาพคุณน้ำที่ 1A ถึงร้อยละ 95 ทำให้ระบบ rak ของพื้นที่มีหลายระดับช่วงชั้นลดลง ให้ลดลงน้ำลดการไหลบ่าหน้าดินน้ำที่ไหลสู่ได้ดินจะถูกเก็บไว้ในดินแล้วค่อยๆ ซึมออกมากเมื่อฤดูน้ำแล้งทำให้น้ำที่ระบบ rak ของพื้นที่และดินเก็บไว้ไหลซึมลงสู่ล้ำชาร ได้อย่างมีประสิทธิภาพและถูกต้องตามฤดูกาล จึงทำให้ปริมาณน้ำท่าปีเอลอนีโซญและลานีโซญาในคุณน้ำแม่แตง ไม่มีความแตกต่างจากปีปกติ

**ตารางที่ 32 เปรียบเทียบข้อมูลปริมาณน้ำท่ารายเดือนระหว่างปีปกติกับปีอ่อนนิญา  
ของคุณน้ำแม่แตง จังหวัดเชียงใหม่**

<b>เปรียบเทียบปริมาณน้ำท่า</b>			
<b>ปีปกติกับปีอ่อนนิญา</b>		<b>ปีปกติกับปีอ่อนนิญา</b>	
<b>ช่วงการเปรียบเทียบ</b>	<b>นัยสำคัญทางสถิติ</b>	<b>ช่วงการเปรียบเทียบ</b>	<b>นัยสำคัญทางสถิติ</b>
รายปี	0.362 <sup>ns</sup>	รายปี	1.717 <sup>ns</sup>
น้ำหลากราช	0.262 <sup>ns</sup>	น้ำหลากราช	0.559 <sup>ns</sup>
น้ำแล้ง	0.809 <sup>ns</sup>	น้ำแล้ง	0.719 <sup>ns</sup>

หมายเหตุ ns = ไม่มีความแตกต่างอย่างมีนัยสำคัญทางสถิติที่ระดับความเชื่อมั่นร้อยละ 95

### 3.2 คุณน้ำเชิง

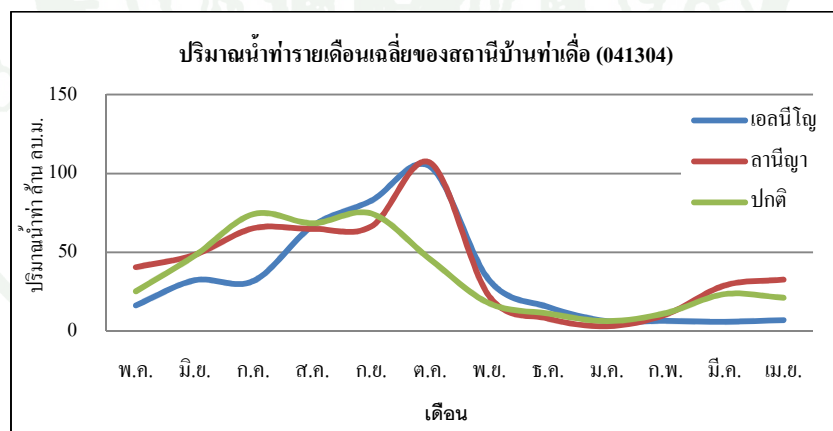
3.2.1 ปริมาณน้ำท่าเฉลี่ย โดยใช้ข้อมูลปริมาณน้ำท่า ณ จุดตรวจวัด ข้อมูลปริมาณน้ำท่าระหว่างปี พ.ศ. 2521 ถึง พ.ศ. 2550 (ตารางที่ 33) ของสถานีบ้านท่าเดื่อ (041304) มีพื้นที่รับน้ำ 1,500 ตารางกิโลเมตร พบร่วมคุณน้ำเชิงมีปริมาณน้ำท่าเฉลี่ยเท่ากับ 437.22 ล้านลูกบาศก์เมตรต่อปี มีปริมาณน้ำท่าสูงสุดในปี พ.ศ. 2543 เท่ากับ 899.49 ล้านลูกบาศก์เมตร และมีปริมาณน้ำท่าต่ำสุดในปี พ.ศ. 2524 เท่ากับ 112.59 ล้านลูกบาศก์เมตร ซึ่งสอดคล้องกับปริมาณน้ำฝนในปี พ.ศ. 2524 ซึ่งเป็นปีที่คุณน้ำเชิงมีปริมาณน้ำฝนต่ำสุดคือมีปริมาณน้ำฝนเพียง 796 มิลลิเมตร จากตารางที่ 33 จะเห็นได้ว่าคุณน้ำเชิงมีปริมาณน้ำท่าไม่สูงมากนัก แม้พื้นที่ส่วนใหญ่จะอยู่ในชั้นคุณภาพลุ่มน้ำชั้น 1A คือมีความสูง 500 เมตรจากระดับน้ำทะเลปานกลางขึ้นไป ทั้งนี้อาจเนื่องมาจากการคุณน้ำเชิงมีลักษณะของดินเป็นดินร่วนหรือดินร่วนปนทรายแบ่งซึ่งส่งผลต่อระบบการกักเก็บน้ำไม่ดีเท่าที่ควรประกอบกับปัจจุบันพื้นที่ป่าลูกนุกruk เพื่อเป็นพื้นที่ทำการทำให้พื้นดินไม่สามารถดูดซับน้ำฝนได้อย่างมีประสิทธิภาพส่งผลให้มีปริมาณน้ำท่ามากในช่วงฤดูฝน และขาดแคลนน้ำในช่วงหน้าแล้ง

3.2.2 ความผันแปรของปริมาณน้ำท่าในพื้นที่คุณน้ำเชิง จากภาพที่ 34 พบร่วมแบบความผันแปรในปีอ่อนนิญา ปีอ่อนนิญา และปีปกติมีแนวโน้มความผันแปรไปในทิศทางเดียวกันคือมีจุดสูงสุดอยู่ในช่วงน้ำหลากราชและมีจุดต่ำสุดอยู่ในช่วงน้ำแล้ง โดยมีค่าความผันแปรสูงสุดอยู่ในปีอ่อนนิญา มีค่าเท่ากับ 106.65 ล้านลูกบาศก์เมตร ในเดือนตุลาคม รองลงมาคือปีอ่อนนิญาในเดือน

ตารางที่ 33 ปริมาณน้ำท่ารายปีบริเวณจุดวัดน้ำสถานีบ้านท่าเดื่อ (041304) ลุ่มน้ำเชิญ จังหวัดชัยภูมิ ขอนแก่น และเพชรบูรณ์

ปี (พ.ศ.)	ปริมาณน้ำท่า (ล้าน ลบ.ม.)	ปี (พ.ศ.)	ปริมาณน้ำท่า (ล้าน ลบ.ม.)	ปี (พ.ศ.)	ปริมาณน้ำท่า (ล้าน ลบ.ม.)
2521	545.22	2531	719.14	2543	899.49
2522	503.15	2532	397.45	2544	424.38
2523	789.23	2533	605.51	2545	526.90
2524	112.59	2534	600.85	2546	321.10
2525	214.75	2535	341.31	2547	302.45
2526	527.35	2537	195.65	2548	197.05
2527	551.95	2538	372.49	2549	415.63
2528	365.66	2540	157.45	2550	430.45
2529	162.91	2541	256.67		
2530	473.96	2542	591.55		

ที่มา: กรมทรัพยากรน้ำ (2553)



ภาพที่ 34 ความผันแปรของปริมาณน้ำท่าบริเวณจุดวัดน้ำสถานีบ้านท่าเดื่อ (041304) ลุ่มน้ำเชิญ จังหวัดชัยภูมิ ขอนแก่น และเพชรบูรณ์

กันยายนมีค่าเท่ากับ 104.37 ล้านลูกบาศก์เมตร และปีปกติมีค่าเท่ากับ 74.62 ล้านลูกบาศก์เมตร ในเดือนกันยายน ตามลำดับ จากภาพที่ 34 พบร่วมปริมาณน้ำท่าทั้งปีปกติ เอลนีโญ และลาเนินญาผันแปร

ตามถูกผน โดยปริมาณน้ำท่าเริ่มเพิ่มมากขึ้นตั้งแต่เดือนพฤษภาคมและสูงสุดในเดือนตุลาคมซึ่งตรงกับลมรศุ่มถูร้อนซึ่งเริ่มพัดเข้ามาสู่ภาคตะวันออกเฉียงเหนือในเดือนพฤษภาคมถึงเดือนตุลาคม จึงทำให้ปริมาณน้ำท่าเพิ่มมากขึ้นตามไปด้วยโดยเฉพาะในเดือนกรกฎาคมถึงเดือนตุลาคมซึ่งมีอิทธิพลจากพายุหมุนจากทะเลจีนใต้เข้ามาด้วยจึงทำให้ช่วงเวลาดังกล่าวลุ่มน้ำเชิงมีปริมาณน้ำท่าสูง และเมื่อเข้าช่วงน้ำแล้ง เห็นได้ว่าปริมาณน้ำท่าปีปกติ เอลนีโญ และลานีโญมีปริมาณน้ำท่าลดลงอย่างรวดเร็ว โดยในเดือนพฤษภาคมปีปกติ ปีลานีโญ และปีเอลนีโญลดลงเหลือ 17.84, 22.24 และ 32.52 ล้านลูกบาศก์เมตร ตามลำดับ ทั้งนี้อธิบายได้ว่าวนอกจากช่วงน้ำแล้งซึ่งเป็นช่วงที่มีฝนตกน้อยมากแล้วประกอบกับลักษณะดินในลุ่มน้ำเชิงมีคุณภาพดินร่วนหรือดินร่วนปนทรายแบ่งชั้นส่งผลต่อระบบการกักเก็บน้ำเพราดินอุ่นน้ำได้ไม่ดีเท่าที่ควร และปัจจุบันพื้นที่ป่าถูกบุกรุก ประชาชนเข้าไปจ้างของเพื่อทำการเกษตร จึงส่งผลให้ลุ่มน้ำเชิงมีปริมาณน้ำท่าลดลงอย่างรวดเร็วเมื่อหมดฤดูฝน ส่วน Graf ปริมาณน้ำท่าที่เพิ่มสูงขึ้นซึ่งเป็นช่วงถูร้อนนั้นอาจเนื่องจากในช่วงเดือนมีนาคมถึงเมษายนเป็นช่วงที่ได้รับแสงแดดมากที่สุด อัตราการระเหยจะสูงมาก เพราะอากาศแห้งหรือมีความชื้นสัมพัทธ์ต่ำมาก ในตอนบ่ายจึงมักมีปรากฏการณ์ฟ้าหลัวหรือหมอกಡกิดขึ้น เพราะแผ่นดินแห้งดินแตกเป็นฝุ่นเพราขาคน้ำ เมื่ออากาศร้อนเบาloyตัวสูงเบื้องต้นจึงคุณภาพฝุ่นลอยตัวตามขึ้นไปด้วย และฝุ่นเหล่านี้จะทำให้ค่าทัศนวิสัยลดลง ในบางครั้งอาจก่อให้เกิดพายุถูร้อนได้ซึ่งช่วยให้มีฝนตกมากขึ้นตั้งแต่เดือนมีนาคม และช่วยเพิ่มปริมาณน้ำท่าด้วย

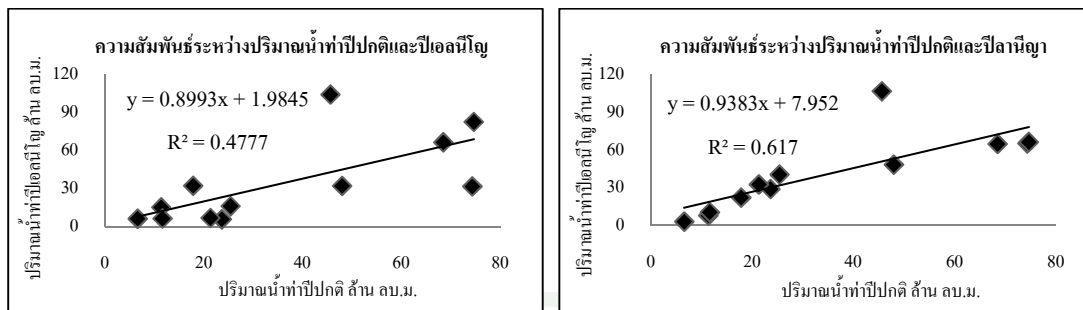
3.2.3 ปริมาณน้ำท่าแต่ละชนิดปีของลุ่มน้ำเชิง โดยแบ่งออกเป็น 3 ชนิดปี ได้แก่ ปีปกติ ปีเอลนีโญ และปีลานีโญ จากการศึกษาข้อมูลปริมาณน้ำท่าระหว่างปี พ.ศ. 2521 ถึง พ.ศ. 2550 ตารางที่ 34 พบว่าปีที่เกิดปรากฏการณ์เอลนีโญขนาดรุนแรงจำนวน 7 ปี ข้อมูลปริมาณน้ำท่ารายเดือนสูงสุดของปีเอลนีโญมีค่าเท่ากับ 190 ล้านลูกบาศก์เมตร ในเดือนกันยายน และมีค่าต่ำสุดในเดือนกรกฎาคมเท่ากับ 0.45 ล้านลูกบาศก์เมตร ส่วนปรากฏการณ์ลานีโญขนาดรุนแรงมีจำนวน 4 ปี ซึ่งมีปริมาณน้ำท่าสูงสุดในปีลานีโญเท่ากับ 224.90 ล้านลูกบาศก์เมตร ในเดือนตุลาคมและปริมาณน้ำท่าต่ำสุดในเดือนธันวาคมเท่ากับ 0.77 ล้านลูกบาศก์เมตร สำหรับปริมาณน้ำท่าสูงสุดในปีปกติเท่ากับ 223.95 ล้านลูกบาศก์เมตร ในเดือนกันยายน ปริมาณน้ำท่าต่ำสุดในเดือนกุมภาพันธ์เท่ากับ 0.06 ล้านลูกบาศก์เมตร จากปริมาณน้ำท่ารายเดือนสูงสุดทั้งปีปกติ เอลนีโญ และลานีโญอยู่ในช่วงเดือนกันยายนถึงตุลาคมก็เนื่องมาจากเป็นช่วงเวลาที่ลุ่มน้ำเชิงมีฝนตกหนักจึงทำให้พื้นที่ลุ่มน้ำเชิงมีปริมาณน้ำท่าสะสมสูงสุดในช่วงเวลาดังกล่าว ส่วนปริมาณน้ำท่าต่ำสุดอยู่ในช่วงถูร้อน เนื่องจากเป็นช่วงที่ลุ่มน้ำเชิงได้รับผลกระทบสูงที่สุดทำให้มีปริมาณฝนลดลงอย่างรวดเร็วอากาศแห้งประกอบกับมีลมแรงซึ่งเป็นปัจจัยหนึ่งที่ทำให้อัตราการระเหยของปริมาณน้ำท่าสูงตามไปด้วย

**ตารางที่ 34 ปริมาณน้ำท่ารายเดือนตามชนิดปีบริเวณจุดวัดน้ำสถานีบ้านท่าเคื่อ (041304)**  
**คุณน้ำเชิญ จังหวัดชัยภูมิ ขอนแก่น และเพชรบูรณ์ระหว่างปี พ.ศ. 2521 - 2550**

เดือน	ปริมาณน้ำท่ารายเดือน (ล้านลูกบาศก์เมตร)								
	ปีปกติ			ปีเออลนีโอลู			ปีลานีญา		
	สูงสุด	ต่ำสุด	เฉลี่ย	สูงสุด	ต่ำสุด	เฉลี่ย	สูงสุด	ต่ำสุด	เฉลี่ย
ม.ค.	15.12	0.30	6.60	18.58	0.45	6.56	5.48	1.56	3.18
ก.พ.	64.20	0.06	11.64	11.84	0.90	6.74	20.65	1.35	10.59
มี.ค.	210.60	1.18	23.64	11.06	1.75	6.11	65.84	4.28	29.02
เม.ย.	139.70	1.02	21.34	11.15	1.75	7.19	79.06	5.71	32.69
พ.ค.	89.25	3.10	25.41	62.47	1.88	16.46	54.00	33.70	40.52
มิ.ย.	190.50	0.36	47.98	82.77	0.76	32.42	93.74	22.72	48.38
ก.ค.	200.80	2.19	74.33	69.29	10.54	31.99	114.20	24.19	65.24
ส.ค.	190.90	0.92	68.46	95.39	45.45	66.77	141.40	18.49	64.86
ก.ย.	224.00	1.38	74.62	190.00	6.58	82.83	104.40	12.61	66.38
ต.ค.	184.20	5.39	45.62	178.4	1.53	104.40	224.90	5.66	106.70
พ.ย.	73.44	0.79	17.84	66.87	10.54	32.52	63.59	1.90	22.24
ธ.ค.	45.10	0.90	11.36	29.72	8.61	15.53	14.52	0.77	8.08
ปริมาณ น้ำท่ารายปี	899.50	112.60	428.80	582.00	82.19	409.50	719.10	118.80	497.80

ที่มา: ดัดแปลงจากกรมทรัพยากรน้ำ (2553)

3.2.4 ความสัมพันธ์ระหว่างปริมาณน้ำท่าปีปกติกับปริมาณน้ำท่าในปีที่เกิดปรากฏการณ์เออลนีโอลู และลานีญาของคุณน้ำเชิญ ผลการศึกษาเมื่อสร้างความสัมพันธ์แบบจุดกระจาย แสดงความสัมพันธ์ดังภาพที่ 35 พบว่าค่าสัมประสิทธิ์ตัวกำหนด ( $R^2$ ) ของปีปกติกับปีเออลนีโอลู เท่ากับ 0.4777 และค่าสัมประสิทธิ์ตัวกำหนด ( $R^2$ ) ของปีปกติกับปีลานีญา เท่ากับ 0.617 จากค่าความสัมพันธ์เชิงลบได้ว่าปรากฏการณ์เออลนีโอลูมีผลต่อปริมาณน้ำท่าในพื้นที่คุณน้ำเชิญมากกว่าปรากฏการณ์ลานีญา



ภาพที่ 35 ความสัมพันธ์ระหว่างปริมาณน้ำท่าปีปกติและปีอ่อนน้อม  
เอลนีโญและล้านีญาในพื้นที่ลุ่มน้ำเชิญ จังหวัดชัยภูมิ ขอนแก่น และเพชรบูรณ์

3.2.5 การทดสอบความแตกต่างของข้อมูลปริมาณน้ำท่ารายเดือนระหว่างปีปกติกับปีอ่อนน้อมและปีล้านีญา ของลุ่มน้ำเชิญ จากการทดสอบความแตกต่างของข้อมูลแบบสองทาง (two tailed test) โดยใช้สถิติทดสอบที่ (t-test) ได้แสดงค่านัยสำคัญทางสถิติดังตารางที่ 35 พบว่าค่าเฉลี่ยของปริมาณน้ำท่ารายเดือนในปีที่เกิดปรากฏการณ์เอลนีโญ และล้านีญาในพื้นที่ลุ่มน้ำเชิญไม่มีความแตกต่างจากปีปกติอย่างมีนัยสำคัญที่ระดับความเชื่อมั่นร้อยละ 95 ทุกช่วงการทดสอบ จากการทดสอบอธิบายได้ว่า ปรากฏการณ์เอลนีโญและล้านีญาไม่มีผลกระทบต่อปริมาณน้ำท่าในพื้นที่ลุ่มน้ำเชิญ ทั้งนี้ปริมาณน้ำท่าในลุ่มน้ำเชิญขึ้นอยู่กับปริมาณฝนที่ตกลงมาในพื้นที่เป็นหลัก คือ เมื่อหนาดกถูกฝนปริมาณน้ำท่าในลุ่มน้ำเชิญลดลงอย่างรวดเร็ว ทั้งนี้เนื่องมาจากลักษณะดินเป็นดินร่วนหรือดินร่วนปนทรายแข็งทำให้มีการระบายน้ำอย่างรวดเร็วเมื่อหนาดกถูกฝนจึงทำให้ปริมาณน้ำท่าลดลงอย่างรวดเร็ว ปริมาณน้ำท่าในปีปกติจึงไม่แตกต่างจากปริมาณน้ำท่าในปีอ่อนน้อมและล้านีญา

ตารางที่ 35 เปรียบเทียบข้อมูลปริมาณน้ำท่ารายเดือนระหว่างปีปกติกับปีอ่อนน้อม และปีล้านีญา  
ของลุ่มน้ำเชิญ จังหวัดชัยภูมิ ขอนแก่น และเพชรบูรณ์

เปรียบเทียบปริมาณน้ำท่า			
ปีปกติกับปีอ่อนน้อม		ปีปกติกับปีล้านีญา	
ช่วงการเปรียบเทียบ	นัยสำคัญทางสถิติ	ช่วงการเปรียบเทียบ	นัยสำคัญทางสถิติ
รายปี	0.895 <sup>ns</sup>	รายปี	0.620 <sup>ns</sup>
น้ำหลากราช	0.903 <sup>ns</sup>	น้ำหลากราช	0.531 <sup>ns</sup>
น้ำแล้ง	0.117 <sup>ns</sup>	น้ำแล้ง	0.797 <sup>ns</sup>

หมายเหตุ ns = ไม่มีความแตกต่างอย่างมีนัยสำคัญทางสถิติที่ระดับความเชื่อมั่นร้อยละ 95

### 3.3 ลุ่มน้ำคลองยัน

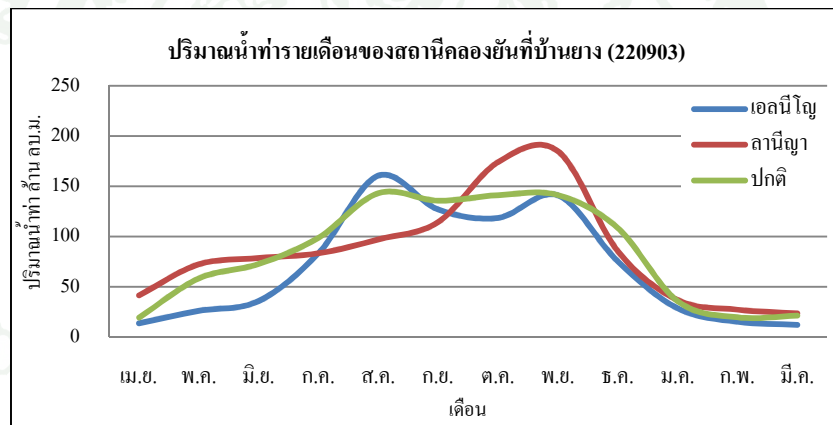
3.3.1 ปริมาณน้ำท่าเฉลี่ย โดยใช้ข้อมูลปริมาณน้ำท่า ณ จุดตรวจวัด จากการศึกษาข้อมูลปริมาณน้ำท่าระหว่างปี พ.ศ. 2527 ถึง พ.ศ. 2550 (ตารางที่ 36) ของสถานีคลองยันที่บ้านยาง (220903) มีพื้นที่รับน้ำ 980 ตารางกิโลเมตร พบว่าลุ่มน้ำคลองยันมีปริมาณน้ำท่าเฉลี่ยเท่ากับ 959.60.22 ล้านลูกบาศก์เมตรต่อปี มีปริมาณน้ำท่าสูงสุดในปี พ.ศ. 2529 เท่ากับ 1,356.82 ล้านลูกบาศก์เมตร และมีปริมาณน้ำท่าต่ำสุดในปี พ.ศ. 2530 เท่ากับ 592.38 ล้านลูกบาศก์เมตรต่อปี ตามลำดับ จากตารางที่ 33 จะเห็นได้ว่าลุ่มน้ำคลองยันมีปริมาณน้ำท่าค่อนข้างสูงเกือบทุกปีเมื่อเปรียบเทียบกับพื้นที่รับน้ำ ซึ่งสอดคล้องกับการตกของฝนในพื้นที่โดยมีจำนวนวันที่ฝนตกโดยเฉลี่ยถึง 147 วันต่อปี ประกอบกับมีพื้นที่ป่าดงดิบปักคลุ่มเป็นส่วนใหญ่ช่วยในการกักเก็บน้ำและทำให้ระบบการระบายน้ำสู่ลำธารเป็นไปอย่างมีประสิทธิภาพเพราลักษณะของดินในที่ลุ่มน้ำการสะสมของดินเหนียวในดินชั้นล่างช่วยในการกักเก็บน้ำในช่วงน้ำ高涨 และระบายน้ำในช่วงแล้งน้ำได้เป็นอย่างดี (ภัทร์ประภา, 2549)

ตารางที่ 36 ปริมาณน้ำท่ารายปีบริเวณจุดตรวจวัดสถานีคลองยันที่บ้านยาง (220903)  
ลุ่มน้ำคลองยัน จังหวัดสุราษฎร์ธานี และจังหวัดระนอง

ปี (พ.ศ.)	ปริมาณน้ำท่า (ล้าน ลบ.ม.)	ปี (พ.ศ.)	ปริมาณน้ำท่า (ล้าน ลบ.ม.)	ปี (พ.ศ.)	ปริมาณน้ำท่า (ล้าน ลบ.ม.)
2527	928.02	2535	597.46	2543	1,144.28
2528	600.83	2536	837.65	2544	1,280.36
2529	1,356.82	2537	1,092.10	2545	836.44
2530	592.38	2538	935.71	2546	986.52
2531	1,032.76	2539	1,291.95	2547	733.62
2532	983.40	2540	1,260.06	2548	1,048.52
2533	789.87	2541	830.56	2549	1,105.32
2534	723.95	2542	1,049.41	2550	992.48

ที่มา: กรมทรัพยากรน้ำ (2553)

3.3.2 ความผันแปรของปริมาณน้ำท่าในพื้นที่ลุ่มน้ำคลองขัน จากภาพที่ 36 พบว่า รูปแบบความผันแปรในปีอ่อนน้ำ ปีลาเนozy และปีปกติมีแนวความผันแปรไปในทิศทางเดียวกันคือมีจุดสูงสุดอยู่ในช่วงน้ำ高涨 และมีจุดต่ำสุดอยู่ในช่วงน้ำลดลง โดยมีค่าความผันแปรสูงสุดอยู่ในปีลาเนozy มีค่าเท่ากับ 184.85 ล้านลูกบาศก์เมตร ในเดือนพฤษภาคม รองลงมาคือปีอ่อนน้ำ ในเดือนสิงหาคม มีค่าเท่ากับ 160.48 ล้านลูกบาศก์เมตร และปีปกติมีค่าเท่ากับ 143.23 ล้านลูกบาศก์เมตร ในเดือนสิงหาคม ตามลำดับ จากภาพที่ 35 จะเห็นได้ว่าลุ่มน้ำคลองขันมีปริมาณน้ำท่าสูง จากรูปของกราฟที่กว้างมีช่วงที่ปริมาณน้ำท่าลดลงในช่วงฤดูแล้งเพียง 3 เดือน ทั้งนี้ก็เนื่องมาจากลุ่มน้ำคลองขันมีฝนตกชุกเกือบทตลอดทั้งปี เพราะได้รับอิทธิพลจากลมรสุนทึ้งพัดเข้าหาทั้งสองด้านของลุ่มน้ำ ประกอบกับพื้นที่ส่วนใหญ่เป็นป่าดงดิบ ซึ่งระบบระบายน้ำพื้นที่มีอยู่หนาแน่นช่วยในการดูดเก็บน้ำไว้ในดิน ทำให้พื้นที่มีความชื้น เมื่อถึงฤดูแล้งน้ำเหล่านี้จะค่อย ๆ ซึมและไหลเป็นปริมาณน้ำท่าหล่อเลี้ยงลำธาร ได้ตลอดฤดูกาล



ภาพที่ 36 ความผันแปรของปริมาณน้ำท่าบริเวณจุดวัดน้ำสถานีคลองขันที่บ้านยาง (220903)  
ลุ่มน้ำคลองขัน จังหวัดสุราษฎร์ธานี และจังหวัดระนอง

3.3.3 ปริมาณน้ำท่าแต่ละชนิดปีของลุ่มน้ำคลองขัน โดยแบ่งออกเป็น 3 ชนิดปี ได้แก่ ปีปกติ ปีอ่อนน้ำ และปีลาเนozy จากการศึกษาข้อมูลปริมาณน้ำท่าระหว่างปี พ.ศ. 2527 ถึง พ.ศ. 2550 (ตารางที่ 37) พบว่าปีที่เกิดปรากฏการณ์อ่อนน้ำครุณแรงจำนวน 6 ปี ข้อมูลปริมาณน้ำท่ารายเดือนสูงสุดของปีอ่อนน้ำอยู่ที่ 402.71 ล้านลูกบาศก์เมตร ในเดือนสิงหาคม และมีค่าต่ำสุดในเดือนเมษายนเท่ากับ 8.73 ล้านลูกบาศก์เมตร ส่วนปรากฏการณ์ลาเนozy ขนาดแรงมีจำนวน 4 ปี ซึ่งมีปริมาณน้ำท่าสูงสุดในปีลาเนozyเท่ากับ 318.12 ล้านลูกบาศก์เมตร ในเดือนพฤษภาคม และปริมาณน้ำท่าต่ำสุดในเดือนมีนาคมเท่ากับ 8.57 ล้านลูกบาศก์เมตร สำหรับปริมาณ

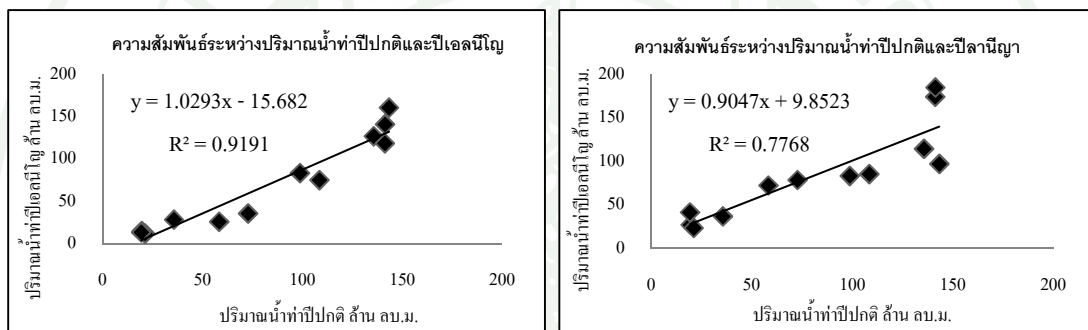
**ตารางที่ 37 ปริมาณน้ำท่ารายเดือนตามชนิดปีบริเวณจุดวัดน้ำสถานีคลองขันที่บ้านยาง (220903)**  
**คุณน้ำคลองขันจังหวัดสุราษฎร์ธานี และจังหวัดระนอง ระหว่างปี พ.ศ. 2527 - 2550**

เดือน	ปริมาณน้ำท่ารายเดือน (ล้านลูกบาศก์เมตร)								
	ปีปกติ			ปีเออลนีโญ			ปีแลนีญา		
	สูงสุด	ต่ำสุด	เฉลี่ย	สูงสุด	ต่ำสุด	เฉลี่ย	สูงสุด	ต่ำสุด	เฉลี่ย
ม.ค.	81.39	20.30	35.64	40.87	18.40	28.54	47.95	24.71	36.72
ก.พ.	38.79	9.24	19.56	21.51	11.40	15.08	36.72	15.64	27.13
มี.ค.	88.82	7.36	21.15	16.07	9.33	12.04	36.37	8.57	23.45
เม.ย.	52.10	3.46	19.27	23.85	8.73	13.56	82.34	11.40	41.36
พ.ค.	162.95	10.71	58.26	48.82	13.39	26.02	82.17	61.34	72.23
มิ.ย.	201.83	29.46	72.73	51.15	21.43	35.78	116.73	52.10	78.54
ก.ค.	197.77	16.68	98.71	144.98	22.12	83.36	103.68	43.03	83.22
ส.ค.	289.96	38.97	143.2	402.71	73.79	160.5	191.81	51.75	97.05
ก.ย.	271.64	57.46	135.6	193.36	88.13	126.8	131.85	95.13	114.39
ต.ค.	227.92	63.42	141.2	173.06	79.32	118.4	236.48	141.4	174.05
พ.ย.	257.73	31.19	141.3	196.73	55.04	140.9	318.12	108.3	184.85
ธ.ค.	397.09	37.76	108.4	183.00	30.67	75.12	105.32	49.77	85.38
ปริมาณ น้ำท่ารายปี	1,356.82	592.40	995.00	1,260.06	102.00	836.0	1,049.41	728.5	1,018.38

**ที่มา:** ดัดแปลงจากกรมทรัพยากรน้ำ (2553)

น้ำท่าสูงสุดในปีปกติเท่ากับ 397.09 ล้านลูกบาศก์เมตร ในเดือนธันวาคมปริมาณน้ำท่าต่ำสุดในเดือนเมษายนเท่ากับ 3.46 ล้านลูกบาศก์เมตร จากปริมาณน้ำท่ารายเดือนสูงสุดทั้งปีปกติ เออลนีโญ และลานีญาอยู่ในช่วงเดือนพฤษภาคมถึงเดือนธันวาคมก็เนื่องมาจากเป็นช่วงที่คุณน้ำคลองขันมีฝนตกหนัก ประกอบกับได้รับปริมาณน้ำฝนสะสมตั้งแต่เดือนมิถุนายนเรื่อยมา จึงทำให้มีปริมาณน้ำท่าสูงสุด ส่วนปริมาณน้ำท่ารายเดือนต่ำสุดอยู่ในช่วงเดือนมีนาคมถึงเมษายน ก็เนื่องมาจากเป็นช่วงที่คุณน้ำคลองขันมีปริมาณน้ำฝนต่ำสุด มีอุณหภูมิสูง อากาศร้อน โดยเฉพาะเดือนเมษายนซึ่งเป็นเดือนที่ร้อนที่สุด เมื่อมีปริมาณน้ำฝนต่ำสุด อุณหภูมิสูง แสงแดดจัด จึงเป็นปัจจัยสำคัญที่ทำให้อัตราการระเหยของน้ำสูบประมาณมากตามไปด้วยซึ่งเป็นการสูญเสียน้ำออกจากคุณน้ำอีกทางหนึ่ง จึงทำให้คุณน้ำคลองขันมีปริมาณน้ำท่าต่ำสุดในช่วงเวลาดังกล่าว

3.3.4 ความสัมพันธ์ระหว่างปริมาณน้ำท่าปีกดิกับปริมาณน้ำท่าในปีที่เกิดปรากฏการณ์โอลนีโญ และ lanine ของลุ่มน้ำคลองยันผลการศึกษาเมื่อสร้างความสัมพันธ์แบบจุดกระจาย แสดงความสัมพันธ์ ดังภาพที่ 37 พบว่าระดับความสัมพันธ์มีค่าสูง โดยมีค่าสัมประสิทธิ์ตัวกำหนด ( $R^2$ ) ของปีกดิกับปีโอลนีโญ เท่ากับ 0.9191 และค่าสัมประสิทธิ์ตัวกำหนด ( $R^2$ ) ของปีกดิกับปี lanine ค่า 0.7768 จากค่าความสัมพันธ์ที่มีลักษณะแปรผันตามกันในระดับสูงเชิงเส้น ได้ว่าปรากฏการณ์โอลนีโญและ lanine มีผลต่อปริมาณน้ำท่าในลุ่มน้ำคลองยันอย่างมาก เนื่องจากปริมาณน้ำท่าในพื้นที่ลุ่มน้ำขึ้นอยู่กับลักษณะภูมิอากาศ คือ ปริมาณน้ำฝนเป็นหลักโดยในช่วงฤดูฝนซึ่งเป็นช่วงที่ฝนตกชุกปริมาณน้ำท่าเกิดจะมีปริมาณมากตามไปด้วย เช่นเดียวกับช่วงน้ำแล้งซึ่งเป็นช่วงที่มีฝนตกน้อยมาก อุณหภูมิสูง อัตราการระเหยสูง ทำให้ปริมาณน้ำท่าลดน้อยลงไปด้วย



ภาพที่ 37 ความสัมพันธ์ระหว่างปริมาณน้ำท่าปีกดิกับปริมาณน้ำท่าในปีที่เกิดปรากฏการณ์โอลนีโญและ lanine ในพื้นที่ลุ่มน้ำคลองยัน จังหวัดสุราษฎร์ธานี และจังหวัดระนอง

3.3.5 การทดสอบความแตกต่างของข้อมูลปริมาณน้ำท่ารายเดือนระหว่างปีกดิกับปีโอลนีโญและปี lanine ของลุ่มน้ำคลองยัน จากการทดสอบความแตกต่างของข้อมูลแบบสองทาง (two tailed test) โดยใช้สถิติทดสอบที่ (t-test) ได้แสดงค่านัยสำคัญทางสถิติตั้งตารางที่ 38 พบว่าค่าเฉลี่ยของปริมาณน้ำท่ารายเดือนในปีที่เกิดปรากฏการณ์โอลนีโญ และ lanine ในพื้นที่ลุ่มน้ำคลองยันไม่มีความแตกต่างจากปีกดิอย่างมีนัยสำคัญที่ระดับความเชื่อมั่นร้อยละ 95 ทุกช่วงการทดสอบจากผลการทดสอบเชิงเส้น ได้ว่า ปรากฏการณ์โอลนีโญและ lanine ไม่มีผลกระทบต่อปริมาณน้ำท่าในพื้นที่ลุ่มน้ำคลองยัน อาจเนื่องมาจากพื้นที่ลุ่มน้ำคลองยันตั้งอยู่ในพื้นที่ภาคใต้ปักลุมด้วยป่าดงดิบที่สมบูรณ์และมีพื้นที่ไม่สูงมากนักช่วยลดความเร็วของน้ำทำให้น้ำมีเวลาไหลชีมลงสู่ดินโดยมีระบบระบายน้ำของป่าสู่ลำธารเป็นไปอย่างมีประสิทธิภาพสม่ำเสมอตลอดทั้งปี ประกอบ

**ตารางที่ 38** เปรียบเทียบข้อมูลปริมาณน้ำท่ารายเดือนระหว่างปีปกติกับปีอ่อนนิโภุ และปีลานีญา  
ของลุ่มน้ำคลองยัน จังหวัดสุราษฎร์ธานี และจังหวัดระนอง

เปรียบเทียบปริมาณน้ำท่า			
ปีปกติกับปีอ่อนนิโภุ		ปีปกติกับปีลานีญา	
ช่วงการเปรียบเทียบ	นัยสำคัญทางสถิติ	ช่วงการเปรียบเทียบ	นัยสำคัญทางสถิติ
รายปี	0.548 <sup>ns</sup>	รายปี	0.548 <sup>ns</sup>
น้ำหาด	0.565 <sup>ns</sup>	น้ำหาด	0.565 <sup>ns</sup>
น้ำแล้ง	0.925 <sup>ns</sup>	น้ำแล้ง	0.925 <sup>ns</sup>

หมายเหตุ ns = ไม่มีความแตกต่างอย่างมีนัยสำคัญทางสถิติที่ระดับความเชื่อมั่นร้อยละ 95

กับมีผนตกระชากตลอดทั้งปี จึงทำให้ปริมาณน้ำท่าในลุ่มน้ำคลองยันไม่ได้รับผลกระทบจาก  
ปรากฏการณ์อ่อนนิโภุและลานีญา

## สรุปและข้อเสนอแนะ

### สรุป

ผลของปรากฏการณ์ olein โภู และ lanolin ต่อปริมาณน้ำฝน อุณหภูมิอากาศ และปริมาณน้ำท่าในพื้นที่ลุ่มน้ำแม่แตง เชิญ และคลองยัน สามารถสรุปผลได้ดังต่อไปนี้

#### 1. ปริมาณน้ำฝน

คุณน้ำแม่แตง เชิญ และคลองยัน มีปริมาณน้ำฝนเฉลี่ย เท่ากับ 1,199.60 1,328.53 และ 2,116.48 มิลลิเมตร ตามลำดับ และมีความผันแปรส่วนใหญ่มีแนวโน้มผันแปรไปในทิศทางเดียวกัน โดยมีปริมาณน้ำฝนสูงสุดอยู่ในช่วงน้ำหลากรสและต่ำสุดในช่วงแล้งน้ำ ซึ่งมีค่าเฉลี่ยความผันแปรปีปกติสูงกว่าปี olein โภูและ lanolin โภูเป็นส่วนใหญ่ ยกเว้นคุณน้ำคลองยันที่ปี lanolin โภูสูงกว่าปี olein โภูและปีปกติ ทั้งสามคุณน้ำมีการกระจายของปริมาณน้ำฝนตามคุณภาพสูงสุดในฤดูฝน (ก.ค.-ก.ย.; SM) และรองลงมาได้แก่ช่วงต้นฤดูฝน (พ.ค.-มิ.ย.; OSM) เหมือนกันทั้งสามคุณน้ำและทุกชนิดปี สำหรับปริมาณน้ำฝนตามชนิดปี ของคุณน้ำแม่แตง พ布ว่าปีปกติมีปริมาณน้ำฝนสูงสุด เท่ากับ 535.83 มิลลิเมตร และต่ำสุดในปี lanolin โภู เท่ากับ 0.40 มิลลิเมตร ส่วนปริมาณน้ำฝนตามชนิดปี ของคุณน้ำเชิญ พ布ว่ามีปริมาณน้ำฝนสูงสุดและต่ำสุดอยู่ในปีปกติ มีค่าเท่ากับ 566.16 และ 0.05 มิลลิเมตร ตามลำดับ และคุณน้ำคลองยันปี lanolin โภูมีปริมาณน้ำฝนสูงสุด เท่ากับ 791.40 มิลลิเมตร และต่ำสุดในปีปกติ เท่ากับ 0.1 มิลลิเมตร

เมื่อนำปริมาณน้ำฝนปีปกติมาหารความสัมพันธ์กับปี olein โภูและปี lanolin โภู พ布ว่า ลักษณะความสัมพันธ์เปรียบพันตามกันในระดับสูง ทั้งสามคุณน้ำ และเมื่อทดสอบความแตกต่าง พ布ว่าปริมาณน้ำฝนเฉลี่ยปี olein โภูและ lanolin โภูไม่มีความแตกต่างจากปีปกติอย่างมีนัยสำคัญที่ระดับความเชื่อมั่นร้อยละ 95 ทุกช่วงการทดสอบ ยกเว้นปริมาณน้ำฝนในพื้นที่ลุ่มน้ำคลองยันปี lanolin โภูช่วงน้ำหลากรสและต่ำสุดอยู่ในปีปกติ จากการหารความสัมพันธ์และทดสอบความแตกต่าง สรุปได้ว่าปรากฏการณ์ olein โภูและ lanolin โภูมีผลกระทบต่อปริมาณน้ำฝนในพื้นที่ลุ่มน้ำแม่แตง เชิญ และคลองยันน้อยมาก ซึ่งปรากฏการณ์ lanolin โภูมีผลต่อปริมาณน้ำฝนในคุณน้ำคลองยันช่วงน้ำหลากรสมากที่สุด

## 2. อุณหภูมิอากาศ

ลุ่มน้ำแม่แตง เชิญ และคลองยัน มีอุณหภูมิอากาศเฉลี่ย เท่ากับ 25.86, 27.06 และ 27.35 องศาเซลเซียส ตามลำดับ ซึ่งทั้งสามลุ่มน้ำมีความผันแปรไปในทิศทางเดียวกัน โดยมีอุณหภูมิอากาศสูงสุดในช่วงเดือนเมษายนและต่ำสุดในช่วงเดือนธันวาคมและมกราคม มีค่าความผันแปรของอุณหภูมิอากาศของลุ่มน้ำแม่แตงและลุ่มน้ำเชิญทั้งสามชนิดปีมีค่าใกล้เคียงกันมาก ส่วนลุ่มน้ำคลองยันความผันแปรแตกต่างกันคือ ปี Olsen น้ำโญมีค่าสูงสุดรองลงมาคือปีปกติ และปีลานีญา มีค่าต่ำสุด และเมื่อศึกษาค่าเฉลี่ยเคลื่อนที่ 3 ปี และ 5 ปี พบว่าทั้งสามลุ่มน้ำมีอุณหภูมิอากาศสูงขึ้นอย่างต่อเนื่อง โดยแนวโน้มการเพิ่มขึ้นตามค่าเฉลี่ย 3 ปี และ 5 ปี ตามลำดับ สำหรับอุณหภูมิอากาศตามชนิดปี พบว่าลุ่มน้ำแม่แตง เชิญ และคลองยัน มีอุณหภูมิอากาศสูงสุดในปี Olsen น้ำโญมีค่าเท่ากับ 30.18, 32.05 และ 30.68 องศาเซลเซียส ตามลำดับ เช่นเดียวกับอุณหภูมิอากาศต่ำสุดอยู่ในปีปกติ มีค่าเท่ากับ 14.43, 10.75 และ 19.28 องศาเซลเซียส ตามลำดับ

เมื่อนำอุณหภูมิอากาศปีปกติมาหาความสัมพันธ์กับปี Olsen น้ำโญ และปีลานีญา พบว่าลักษณะความสัมพันธ์เปรียบพนักกันในระดับสูง ทั้งสามลุ่มน้ำ และเมื่อทดสอบความแตกต่างพบว่าอุณหภูมิอากาศเฉลี่ยปี Olsen น้ำโญ และลานีญา ไม่มีความแตกต่างจากปีปกติอย่างมีนัยสำคัญที่ระดับความเชื่อมั่นร้อยละ 95 ทุกช่วงการทดสอบ จากการหาความสัมพันธ์และทดสอบความแตกต่าง สรุปได้ว่าปรากฏการณ์ Olsen น้ำโญ และลานีญา มีผลกระทบต่ออุณหภูมิอากาศในพื้นที่ลุ่มน้ำแม่แตง เชิญ และคลองยันน้อยมาก

## 3. การศึกษาปริมาณน้ำท่า

ลุ่มน้ำแม่แตง เชิญ และคลองยัน มีปริมาณน้ำท่าเฉลี่ย เท่ากับ 477.80, 437.22 และ 959.60 ล้านลูกบาศก์เมตร ตามลำดับ ซึ่งปริมาณน้ำท่ามีความผันแปรไปในทิศทางเดียวกันทั้งสามลุ่มน้ำ โดยมีปริมาณน้ำท่าสูงสุดในช่วงหน้าากาและชุดต่ำสุดในช่วงหน้าแล้ง สำหรับปริมาณน้ำท่าตามชนิดปีของลุ่มน้ำแม่แตง และเชิญ พบว่ามีปริมาณน้ำท่าสูงสุดในปีลานีญา เท่ากับ 531.53 และ 224.90 และปริมาณน้ำท่าต่ำสุดในปีปกติ เท่ากับ 0.02 และ 0.06 ล้านลูกบาศก์เมตร ตามลำดับ ส่วนลุ่มน้ำคลองยันปริมาณน้ำท่าสูงสุดอยู่ในปี Olsen น้ำโญ มีค่าเท่ากับ 402.71 ล้านลูกบาศก์เมตร และปริมาณน้ำท่าต่ำสุดอยู่ในปีปกติ เท่ากับ 3.46 ล้านลูกบาศก์เมตร

เมื่อนำปริมาณน้ำท่าปีปกติมาหาความสัมพันธ์กับปีเอลนีโญและปีลานีโญ พบร่วมกับความสัมพันธ์ที่ประผันตามกันในระดับสูง ทึ้งสามคุณน้ำ ยกเว้นคุณน้ำเชิงที่มีความสัมพันธ์ระหว่างปริมาณน้ำท่าปีปกติกับปีเอลนีโญน้อยสุด โดยมีค่าสัมประสิทธิ์ตัวกำหนด ( $R^2$ ) เท่ากับ 0.477 และเมื่อทดสอบความแตกต่าง พบร่วมปริมาณน้ำท่าเฉลี่ยปีเอลนีโญและลานีโญไม่มีความแตกต่างจากปีปกติอย่างมีนัยสำคัญที่ระดับความเชื่อมั่นร้อยละ 95 ทุกช่วงการทดสอบ จากการหาความสัมพันธ์และทดสอบความแตกต่าง สรุปได้ว่า ปรากฏการณ์เอลนีโญและลานีโญมีผลกระทบต่อปริมาณน้ำท่าในพื้นที่คุณน้ำแม่แตง เชิญ และคลองบันน้อymาก



## ข้อเสนอแนะ

### 1. ข้อเสนอแนะจากการวิจัย

1.1 ข้อมูลปริมาณน้ำท่าบางสถานีไม่มีความต่อเนื่อง และรายงานพอจึงทำให้ผลการศึกษาที่ได้ไม่เห็นผลการเปลี่ยนแปลงที่ชัดเจน

1.2 เนื่องจากประเทศไทยได้รับอิทธิพลจากลมมรสุมตะวันตกเฉียงใต้และมรสุมตะวันออกเฉียงเหนือเป็นหลัก จึงทำให้เกิดเปลี่ยนแปลงของสภาพอากาศตลอดทั้งปีแตกต่างกันตามแต่ละฤดูกาลและลมมรสุมที่พัดผ่านพื้นที่นั้น ๆ จึงทำให้อิทธิพลจากลมมรสุมมีผลกระทบต่อภูมิอากาศในประเทศไทยมากกว่าอิทธิพลจากปรากฏการณ์โอล尼โญและลานีโญ

### 2. ข้อเสนอแนะเพื่อการศึกษาวิจัยครั้งต่อไป

การศึกษาผลของปรากฏการณ์โอล尼โญ และลานีโญ ต่อปริมาณน้ำฝน อุณหภูมิอากาศ และปริมาณน้ำท่าในถุ่มน้ำครั้งต่อไปควรศึกษาปัจจัย การใช้ประโยชน์ที่ดิน ความชื้นในดิน กิจกรรมของมนุษย์ ลักษณะภูมิประเทศ และความถี่ของการเกิดพายุร่วมด้วย เพื่อจะได้ให้ผลที่ชัดเจนมากยิ่งขึ้น

## เอกสารและสิ่งอ้างอิง

กนกพร บุชานุญ. 2541. ผลกระทบของปรากฏการณ์เอโนโซ (ENSO) และการเปลี่ยนแปลงการใช้ที่ดินต่อสมดุลของน้ำในลุ่มน้ำชี. วิทยานิพนธ์ปริญญาโท, มหาวิทยาลัยเกษตรศาสตร์.

กรมชลประทาน. 2553. สถานีวัดน้ำท่า และข้อมูลปริมาณน้ำท่า. กระทรวงเกษตรและสหกรณ์, กรุงเทพฯ.

กรมทรัพยากรน้ำ. 2553. สถานีวัดน้ำท่า และข้อมูลปริมาณน้ำท่า. กระทรวงทรัพยากรธรรมชาติและสิ่งแวดล้อม, กรุงเทพฯ.

กรมแผนที่ทหาร. 2552. แผนที่ภูมิประเทศลำดับชุด L7018.

กรมพัฒนาที่ดิน. 2552. แผนที่การใช้ประโยชน์ที่ดินบริเวณลุ่มน้ำแม่แตง เซิง และคลองยัน.

กรมอุตุนิยมวิทยา. 2522. นิยามศัพท์อุตุนิยมวิทยา. กระทรวงคมนาคม, กรุงเทพฯ.

\_\_\_\_\_. 2546ก. เอลนีโอย. ความรู้อุตุนิยมวิทยา.

แหล่งที่มา: <http://www.tmd.go.th/info/info.php?FileID=17.html>, 5 เมษายน 2552.

\_\_\_\_\_. 2546ข. ลานีโอย. ความรู้อุตุนิยมวิทยา.

แหล่งที่มา: <http://www.tmd.go.th/info/info.php?FileID=18.html>, 5 เมษายน 2552.

\_\_\_\_\_. 2549. ภูมิอากาศบ้านเรา.

แหล่งที่มา: [http://www.tmd.go.th/knowledge/book\\_weather02.html](http://www.tmd.go.th/knowledge/book_weather02.html), 20 กุมภาพันธ์ 2549.

\_\_\_\_\_. 2553. สถานีอุตุนิยมวิทยา สถานีวัดปริมาณน้ำฝน ข้อมูลอุณหภูมิอากาศ ข้อมูลปริมาณน้ำฝน และสถิติการเกิดปรากฏการณ์อ่อนนีโอยและลานีโอย. กระทรวงเทคโนโลยีสารสนเทศและการสื่อสาร, กรุงเทพฯ.

กรมอุตุนิยมวิทยา. 2554ก. ฉุภกาล. แหล่งที่มา: <http://www.tmd.go.th/info/info.php?FileID=23>,  
14 มิถุนายน 2554.

\_\_\_\_\_ 2554ข. หนังสืออุตุนิยมวิทยา.

แหล่งที่มา: <http://www.tmd.go.th/info/info.php?FileID=71>, 20 สิงหาคม 2554.

กรมอุทบยานแห่งชาติ สัตว์ป่า และพันธุ์พืช. ม.ป.ป. กลุ่มสถานีวิจัยลุ่มน้ำแม่แตง. กลุ่มลุ่มน้ำ  
สำนักวิชาการป่าไม้ จตุจักร กรุงเทพฯ. แหล่งที่มา:

[http://www.dnp.go.th/Ferd/ferdTHAI/mt\\_watershed\\_station.html](http://www.dnp.go.th/Ferd/ferdTHAI/mt_watershed_station.html), 20 เมษายน 2552.

กัณฑรีย์ บุญประกอบ. 2548ก. ความเชื่อมโยงของอนุสัญญาสหประชาติว่าด้วยการเปลี่ยนแปลง  
สภาพภูมิอากาศกับอนุสัญญาความหลากหลายทางชีวภาพ. ภาควิชาชีววิทยา  
คณะวิทยาศาสตร์ มหาวิทยาลัยรามคำแหง, กรุงเทพฯ.

\_\_\_\_\_ 2548ข. การเปลี่ยนแปลงสภาพภูมิอากาศ: ประมาณสถานภาพการศึกษา.  
คณะวิทยาศาสตร์ มหาวิทยาลัยรามคำแหง, กรุงเทพฯ.

เกย์น จันทร์แก้ว. 2539. หลักการจัดการลุ่มน้ำ. ภาควิชาอนุรักษ์วิทยา คณะวนศาสตร์  
มหาวิทยาลัยเกษตรศาสตร์, กรุงเทพฯ.

\_\_\_\_\_ และ นิพนธ์ ตั้งธรรม. 2517. หลักในการจัดการลุ่มน้ำ. ภาควิชาอนุรักษ์วิทยา  
คณะวนศาสตร์ มหาวิทยาลัยเกษตรศาสตร์, กรุงเทพฯ.

\_\_\_\_\_ 2525. หลักปฏิบัติในการจัดการลุ่มน้ำ. ภาควิชาอนุรักษ์วิทยา คณะวนศาสตร์  
มหาวิทยาลัยเกษตรศาสตร์, กรุงเทพฯ.

กีรติ ลีวัฒนกุล. 2539. วิศวกรรมชลศาสตร์. ภาควิชาวิศวกรรมโยธา คณะวิศวกรรมศาสตร์  
มหาวิทยาลัยรังสิต, ปทุมธานี.

จริญญา จินา. 2551. การวางแผนริเวณและแผนการจัดการสิ่งแวดล้อม ณ วนอุทยานไม้กลายเป็นหิน อำเภอข้านทาก จังหวัดตาก. วิทยานิพนธ์ปริญญาโท, มหาวิทยาลัยเกษตรศาสตร์.

จุ่มพล วิเชียรศิลป์. 2554. ภูมิอากาศภาคตะวันออกเฉียงเหนือ.

แหล่งที่มา <http://gi.bru.ac.th/gis/dr/files/10local/28.pdf>, 22 สิงหาคม 2554.

เจษฎา เดชมหาสารนนท์. 2544. ผลกระทบของการเปลี่ยนแปลงภูมิอากาศและวิถีทางการใช้ที่ดินต่อการเปลี่ยนแปลงสภาพป่าไม้และปริมาณน้ำท่าในลุ่มน้ำเจ้าพระยาตอนบน. วิทยานิพนธ์ปริญญาโท, มหาวิทยาลัยเกษตรศาสตร์.

จำง แก้วชฎา. 2544. การเปลี่ยนแปลงภูมิอากาศและผลกระทบ. ฝ่ายวิชาการภูมิอากาศ กองภูมิอากาศ กรมอุตุนิยมวิทยา, กรุงเทพฯ.

\_\_\_\_\_. 2548. ความผันแปรและแนวโน้มของฝนและอุณหภูมิในประเทศไทย. ใน รายงานการประชุมวิชาการการเปลี่ยนแปลงสภาพภูมิอากาศทางด้านป่าไม้ “ศักภาพของป่าไม้ในการสนับสนุนพัชีสารเกียวโต”. กลุ่มวิชาการภูมิอากาศ กรมอุตุนิยมวิทยา. 4 - 5 สิงหาคม 2548.

ดวงรัตน์ พูลเกยม. 2540. อิทธิพลของลักษณะทางภูมิกายภาพลุ่มน้ำต่อช่วงเวลาการไหลของน้ำในลำธาร. วิทยานิพนธ์ปริญญาโท, มหาวิทยาลัยเกษตรศาสตร์.

ธนาวัฒน์ จากรุพย์สกุล. 2549. เดือนภัยโลกร้อน: สัญญาณพิบัติภัยแห่งอนาคต. หน่วยศึกษาพิบัติภัยและข้อเสนอแนะเพื่อ减缓ภัยธรรมชาติ คณะวิทยาศาสตร์, จุฬาลงกรณ์มหาวิทยาลัย. แหล่งที่มา: [http://www.sri.cmu.ac.th/environment/phpnuke/html/images/article\\_15.pdf](http://www.sri.cmu.ac.th/environment/phpnuke/html/images/article_15.pdf), 10 เมษายน 2552.

นิพนธ์ ใจดีบaal. 2525. อิทธิพลของลักษณะทางกายภาพของลุ่มน้ำ และการทำลายป่าต่อปริมาณน้ำในลำธารในลุ่มน้ำภาคตะวันออกของประเทศไทย. วิทยานิพนธ์ปริญญาโท, มหาวิทยาลัยเกษตรศาสตร์.

บุญช่วย ชุมหกิจ. 2536. อิทธิพลของลักษณะทางภูมิภาคของลุ่มน้ำและการทำลายป่าต่อ  
ลักษณะการไหลของน้ำในลำธารในลุ่มน้ำมูล. วิทยานิพนธ์ปริญญาโท,  
มหาวิทยาลัยเกษตรศาสตร์.

ประภัสสร ยอดส่ง. 2549. อิทธิพลของผู้คนและองค์กรภาคต่อการลดลงของปริมาณรังสีดวง  
อาทิตย์ และการผันแปรของอุณหภูมิภาคในแต่ละภูมิภาคของประเทศไทย. วิทยานิพนธ์  
ปริญญาโท, มหาวิทยาลัยเกษตรศาสตร์.

เพิ่มศักดิ์ mgr.กิริมย์. 2522. ลักษณะอุทกวิทยาของดินที่สัมพันธ์กับน้ำในลำธารช่วงแม่น้ำของ  
ป่าดิบเขารมชาติ ภาคเหนือของประเทศไทย. วิทยานิพนธ์ปริญญาโท,  
มหาวิทยาลัยเกษตรศาสตร์.

มันนา พฤกษะวน. 2531. การหาผลกระทบของอ่อนโนยที่มีต่อฟันในประเทศไทย.  
เอกสารวิชาการ ลขที่ 551.578.1-02-2531. กรมอุตุนิยมวิทยา, กรุงเทพฯ.

\_\_\_\_\_ และ สุดาร พนิมมา. 2542. ผลกระทบของลานปลูกที่มีต่อฟันและอุณหภูมิของประเทศไทย.  
เอกสารวิชาการเลขที่ 551.46 -01 – 2542. กรมอุตุนิยมวิทยา, กรุงเทพฯ.

กัทร์ประภา พูลผ่าดำรงค์. 2549. โครงการจัดการการเรียนรู้ในการอนุรักษ์ลุ่มน้ำคลองยัน จังหวัด  
สุราษฎร์ธานี. ชุดบทเรียนประสบการณ์โครงการพัฒนาเครือข่ายภาคประชาสัมคมในการ  
ส่งเสริมและคุ้มครองสิทธิมนุษยชนเพื่อสุขภาวะของบุคคลและชุมชน (คส.). สำนักงาน  
กองทุนสนับสนุนการสร้างเสริมสุขภาพ (สสส.).

รัศมี สุวรรณวีระกำธร. 2550. แนวทางการวิเคราะห์ความแห้งแล้งด้วยระบบสารสนเทศ  
ภูมิศาสตร์: กรณีพื้นที่ศึกษาลุ่มน้ำเชิง. วิทยานิพนธ์ปริญญาเอก, มหาวิทยาลัยขอนแก่น.

เรณุ สุวรรณตัน. 2524. สมดุลของน้ำในป่าดิบเขารมชาติดอยปุย เชียงใหม่. วิทยานิพนธ์  
ปริญญาโท, มหาวิทยาลัยเกษตรศาสตร์.

วิชา นิยม. 2523. ลักษณะน้ำใจในคำสารจากพื้นที่ป่าไม้และไร่เลื่อนลอย บริเวณสถานีวิจัยสิ่งแวดล้อมสะแกราก. วิทยานิพนธ์ปริญญาโท, มหาวิทยาลัยเกษตรศาสตร์.

\_\_\_\_\_. 2535. อุทกวิทยาป่าไม้. ภาควิชาอนุรักษ์วิทยา คณะวันศาสตร์ มหาวิทยาลัยเกษตรศาสตร์, กรุงเทพฯ.

วิรช นัตตรงค์, สุจาริต คุณชนกกลาง และวิชญาน เจริญกุล. 2552. พฤติกรรมของอุณหภูมิเฉลี่ยและปริมาณน้ำฝนของประเทศไทยจากการเปลี่ยนแปลงสภาพภูมิอากาศ. ภาควิชาวิศวกรรมแหล่งน้ำ คณะวิศวกรรมศาสตร์, จุฬาลงกรณ์มหาวิทยาลัย.

วีระาช พรรตันพันธุ์. 2546. การพยากรณ์การไหลของน้ำสำหรับแม่น้ำเจ้าพระยาเป็นฤดูกาลโดยอาศัยปรากฏการณ์เอ็นโซ'. วิทยานิพนธ์ปริญญาโท, มหาวิทยาลัยเกษตรศาสตร์.

วีระศักดิ์ อุดมโชค, นิพนธ์ ตั้งธรรม, สมนิมิต พุกงาม, พงศกร จิวารณ์คุปต์ และรองจิต เกษ جونดา. 2551. การพัฒนาระบบพยากรณ์อากาศและโอกาสความสำเร็จในการปฏิบัติการฟันหลวงในสภาวะโลกร้อน บริเวณประเทศไทย. ใน รายงานการประชุมวิชาการและนำเสนอผลงานวิจัย “ฟันหลวง” ครั้งที่ 2. สำนักฟันหลวงและการบริหารฯ กระทรวงเกษตรและสหกรณ์, 26 ธันวาคม 2551.

สมเกตุน์ จันทวัฒน์. 2522. การอนุรักษ์ดินและน้ำ เล่มที่ 1. ภาควิชาปฐพีวิทยา คณะเกษตร มหาวิทยาลัยเกษตรศาสตร์, กรุงเทพฯ.

สถาบันสิ่งแวดล้อมไทย. 2550. คู่มือการจัดการเรียนรู้เพื่อการพิทักษ์ภูมิอากาศ. รุ่งเรืองวิชัย พัฒนาโรงพิมพ์, กรุงเทพฯ.

สาวิตรี จันทรานุรักษ์. 2547. ปรากฏการณ์ที่สำคัญทางสิ่งแวดล้อมระดับโลก. เอกสารประกอบการสอนวิชา 999213 บูรณาการสิ่งแวดล้อมเทคโนโลยีและชีวิต. ภาควิชาเทคโนโลยีชีวภาพ คณะอุตสาหกรรมเกษตร มหาวิทยาลัยเกษตรศาสตร์, กรุงเทพฯ.

สุนามาศ ไชยวังค์. 2553. การวิเคราะห์ความเสี่ยง เพื่อกำหนดแผนบรรเทาอุทกภัยบริเวณลุ่มน้ำ  
น่านตอนบน. วิทยานิพนธ์ปริญญาโท, มหาวิทยาลัยเกษตรศาสตร์.

สำนักงานคณะกรรมการพัฒนาการเศรษฐกิจและสังคมแห่งชาติ. ม.ป.ป. การเปลี่ยนแปลงสภาพ  
ภูมิอากาศ. แหล่งที่มา: <http://www.nesdb.go.th/Portals/0/tasks/endure/01.pdf>, 10 เมษายน  
2552.

สำนักงานนโยบายและแผนทรัพยากรธรรมชาติและสิ่งแวดล้อม. 2537. โครงการศึกษาสถานภาพ  
ของประชากรที่อาศัยอยู่ในพื้นที่ป่าอนุรักษ์ (ลุ่มน้ำแม่แตง เชิญ คลองยัน). พื้นนีพันลิขชิง,  
กรุงเทพฯ.

\_\_\_\_\_. 2553. แผนที่ลุ่มน้ำในประเทศไทย. กระทรวงทรัพยากรธรรมชาติและสิ่งแวดล้อม,  
กรุงเทพฯ.

สำนักจัดการคุณภาพน้ำ กรมควบคุมมลพิษ. 2554. ผลกระทน “ลาเนี่ยนา” ต่อภาคเกษตรกรรม.  
แหล่งที่มา <http://wqm.pcd.go.th/water/images/stories/agriculture/journal/2554/lanina.pdf>,  
23 สิงหาคม 2554.

หน่วยวิจัยภัยพิบัติทางธรรมชาติ. 2554. สภาพน้ำท่วมที่เคยเกิดขึ้นในพื้นที่เขตเมืองเชียงใหม่.  
แหล่งที่มา [http://202.28.24.131/flooding/?name=/chapter1/cp1\\_5/artical5](http://202.28.24.131/flooding/?name=/chapter1/cp1_5/artical5), 20 สิงหาคม  
2554.

อดิศร เจียมจิตร. 2551. การสร้างภายนตร์และนิเมชัน 3 มิติเพื่อรับรองค์การใช้จัดเรียนเพื่อลด  
ภัยภัยโลกร้อน. วิทยานิพนธ์ปริญญาโท, มหาวิทยาลัยเชียงใหม่.

Austin, M.A. 1961. **Climatology**. Geography, University of Reading. Methuen and Co. Ltd,  
London.

Brikshavana, M. and S. Nimma. 1995. The EL Nino/Southeern Oscillation Phenomena, pp. 60-70. In Proc. of International Workshop on **The Changes of Tropical Forest Ecosystems by El Nino and Others**, 7-10 Feb. 1995, Kanchanaburi, Thailand. JS&TA, NRCT and Japan International Science and Technology Exchange Center, Bangkok.

Custodio, E., A.D. Arenas and A. Falkland. 1991. Conditions for freshwater occurrence in small islands, pp. 10-43. In A. Falkland, ed. **Hydrology and Water Resources of Small Island : A Practical Guide**. UNESCO, Paris.

Glantz, M.H. 2001. **Currents of Change** : Impacts of El Niño and La Niña on Climate and Society. 2<sup>nd</sup> edition, Cambridge University Press, Cambridge.

Grant, T. and G. Littlejohn. 2001. **Teaching About Climate Change**. Gabriola : New Society Publishers, Island.

Mantua, N.J. and D.S. Battisti. 1994. **Evidence for the Delayed Oscillator Mechanism for ENSO**. n.p.

Nick, H. and C. Jodan. 2006. **Greenhouse Gases**. Available Source:<http://www.umich.edu/~gs265/society/greenhouse.htm>. April 7, 2009.

Ruangpanit, N. and N.Tangtham. 1982. **Khao Yai Ecosystem Project. Final Report Vol.1: Surface Water Hydrology**. Faculty of Forest, Kasetsart University, Bangkok.

Silverman, B.A., S.A. Changnon., J.A. Flueck and S.F. Lintner. 1986. **Weather Modification Assessment: Kingdom of Thailand**. Bureau of Reclamation, United Department of Interior, Denver, Colorado.

Wallace, J.M. and P.V. Hobbs. 1977. **Atmospheric Science an Introductory Survey**. University of Washington. Academic Press, Inc., USA.

Ward, R.C. 1974. **Principles of Hydrology**. McGraw-Hill Book Company, London.

Yaning, C., Changchun, X., Xingming, H., Weihong, L., Yapeng, C., Chenggang, Z., and Zhaoxia, Y. 2007. Effects of Climate Change on Water Resources in Tarim River Basin, Northwest China. **Journal of Environmental Sciences** . 19: 488 – 493.





สิงหนาท มหาวิทยาลัยเกษตรศาสตร์

**ตารางผนวกที่ 1 ลักษณะทางภูมิศาสตร์กายภาพของคลุ่มน้ำแม่แตง จังหวัดเชียงใหม่**

ลักษณะทางภูมิศาสตร์กายภาพ	คลุ่มน้ำแม่แตง	หน่วย
พื้นที่ (watershed area)	1,962.29	ตร.กม.
ความยาวเส้นขอบเขตคลุ่มน้ำ (perimeter)	302.25	กม.
สัมประสิทธิ์ความกระชับ (compactness coefficient: Kc)	1.91	-
รูปร่างของคลุ่มน้ำ (shape)	สี่เหลี่ยมผืนผ้า	-
ฟอร์มแฟคเตอร์ (FF)	0.35	-
ระดับสูงสุด (max. elevation)	1,961.00	ม.รทก.
ระดับที่ปากลำน้ำ (outlet)	360.00	ม.รทก.
ความสูงเฉลี่ย (mean elevation)	1,160.50	ม.รทก.
อัตราส่วนความแตกต่างระดับความสูง ของคลุ่มน้ำ (relief ratio: RR)	12.17	ม./กม.
ความลาดชันเฉลี่ย (mean slope)	23.21	ร้อยละ
ทิศด้านลาด (aspect)	ตะวันออกเฉียงใต้	-
ความยาวลำน้ำสายหลัก	131.59	กม.
ความยาวลำธารทั้งหมด	3,216.28	กม.
ความหนาแน่นการระบายน้ำ (drainage density: Dd)	1.63	กม./ตร.ม.

**ตารางผนวกที่ 2 ลักษณะทางภูมิศาสตร์กายภาพของคุ่มน้ำเชิญ จังหวัดชัยภูมิ ขอนแก่น และ เพชรบูรณ์**

ลักษณะทางภูมิศาสตร์กายภาพ	คุ่มน้ำเชิญ	หน่วย
พื้นที่ (watershed area)	2,911.51	ตร.กม.
ความยาวเส้นขอบเขตคุ่มน้ำ (perimeter)	427.83	กม.
สัมประสิทธิ์ความกระชับ (compactness coefficient: Kc)	2.22	-
รูปร่างของคุ่มน้ำ (shape)	สี่เหลี่ยมผืนผ้า	-
ฟอร์มแฟลกเตอร์ (FF)	0.32	-
ระดับสูงสุด (max. elevation)	1,109.00	ม.รทก.
ระดับที่ปากลำน้ำ (outlet)	180.00	ม.รทก.
ความสูงเฉลี่ย (mean elevation)	644.50	ม.รทก.
อัตราส่วนความแตกต่างระดับความสูง ของคุ่มน้ำ (relief ratio: RR)	4.79	ม./กม.
ความลาดชันเฉลี่ย (mean slope)	12.89	ร้อยละ
ทิศด้านลาด (aspect)	ตะวันออก	-
ความยาวลำน้ำสายหลัก	193.90	กม.
ความยาวลำธารทั้งหมด	3,148.11	กม.
ความหนาแน่นการระบายน้ำ (drainage density: Dd)	1.08	กม./ตร.ม.

**ตารางผนวกที่ 3 ลักษณะทางภูมิศาสตร์กายภาพของคุณน้ำคลองบัน จังหวัดสุราษฎร์ธานี  
และจังหวัดระนอง**

ลักษณะทางภูมิศาสตร์กายภาพ	คุณน้ำคลองบัน	หน่วย
พื้นที่ (watershed area)	1,168.01	ตร.กม.
ความยาวเส้นขอบเขตคุณน้ำ (perimeter)	194.37	กม.
สัมประสิทธิ์ความกระชับ (compactness coefficient: Kc)	1.59	-
รูปร่างของคุณน้ำ (shape)	สี่เหลี่ยมผืนผ้า	-
ฟอร์มแฟลกเตอร์ (FF)	0.21	-
ระดับสูงสุด (max. elevation)	1,399.00	ม.รทก.
ระดับที่ปากลำน้ำ (outlet)	20.00	ม.รทก.
ความสูงเฉลี่ย (mean elevation)	709.50	ม.รทก.
อัตราส่วนความแตกต่างระดับความสูง ของคุณน้ำ (relief ratio: RR)	10.70	ม./กม.
ความลาดชันเฉลี่ย (mean slope)	14.19	ร้อยละ
ทิศด้านลาด (aspect)	ใต้	-
ความยาวลำน้ำสายหลัก	128.84	กม.
ความยาวลำธารทั้งหมด	1,210	กม.
ความหนาแน่นการระบายน้ำ (drainage density: Dd)	1.03	กม./ตร.ม.

ตารางผนวกที่ 4 ปริมาณน้ำฝนรายเดือนเฉลี่ยทั้ง 5 สถานีของกลุ่มน้ำแม่แตง

พ.ศ.	ปริมาณน้ำฝนรายเดือน (มิลลิเมตร)											ปริมาณน้ำฝน รายปี (มม.)	
	ม.ค.	ก.พ.	มี.ค.	เม.ย.	พ.ค.	มิ.ย.	ก.ค.	ส.ค.	ก.ย.	ต.ค.	พ.ย.	ธ.ค.	
2504	-	-	29.80	54.40	228.90	86.10	10.70	320.80	258.10	18.20	17.40	44.90	1,069.30
2505	-	-	21.50	17.90	220.30	96.70	266.40	182.90	160.40	196.90	31.20	-	1,194.20
2506	-	-	-	-	71.90	182.70	336.30	369.00	-	509.20	-	-	1,469.10
2507	-	-	-	89.20	364.50	47.90	234.00	223.20	216.20	48.60	-	-	1,223.60
2508	-	-	-	8.40	168.20	144.20	278.60	250.70	267.50	-	-	-	1,117.60
2509	-	-	65.80	60.90	263.70	125.20	247.70	182.60	-	-	-	-	945.90
2510	-	-	74.30	89.20	144.80	272.60	149.10	182.10	315.20	79.40	-	-	1,306.70
2511	6.30	-	-	21.50	163.60	351.00	163.00	368.20	158.20	-	-	-	1,231.80
2512	*	*	*	*	*	*	*	*	*	*	*	*	*
2513	-	-	117.50	176.00	317.20	328.60	209.50	309.60	394.30	78.80	26.20	67.10	2,024.80
2514	-	-	33.30	76.60	282.20	143.40	346.30	277.80	23.80	-	-	-	1,183.40
2515	*	*	*	*	*	*	*	*	*	*	*	*	*
2516	*	*	*	*	*	*	*	*	*	*	*	*	*
2517	*	*	*	*	*	*	*	*	*	*	*	*	*
2518	-	-	-	-	93.80	294.65	136.65	324.60	357.40	148.15	19.90	30.50	1,405.65
2519	-	0.40	-	13.20	53.10	139.40	144.60	196.20	126.20	205.10	-	7.50	885.70
2520	83.60	-	24.75	156.45	162.95	115.30	283.25	274.70	381.55	272.00	18.00	82.00	1,854.55
2521	88.10	27.75	-	62.00	135.83	188.67	535.83	274.67	271.80	80.60	14.25	12.50	1,692.00

ตารางผนวกที่ 4 (ต่อ)

พ.ศ.	ปริมาณน้ำฝนรายเดือน (มิลลิเมตร)											ปริมาณน้ำฝน รายปี (มม.)	
	ม.ค.	ก.พ.	มี.ค.	เม.ย.	พ.ค.	มิ.ย.	ก.ค.	ส.ค.	ก.ย.	ต.ค.	พ.ย.	ธ.ค.	
2522	-	-	25.50	-	109.33	150.65	83.70	199.37	74.83	104.15	-	-	747.53
2523	-	-	26.63	19.17	167.48	194.38	267.73	191.85	119.53	76.93	6.43	32.95	1,103.06
2524	1.00	-	14.03	45.73	265.37	155.35	349.95	246.30	177.30	53.40	115.15	42.20	1,465.78
2525	16.07	-	231.10	120.28	201.98	190.43	138.43	179.30	262.27	50.67	7.50	-	1,398.01
2526	4.60	-	1.30	39.93	145.90	146.43	163.03	252.18	257.55	119.70	129.93	20.67	1,281.22
2527	-	7.13	-	48.77	177.23	186.20	173.00	197.33	149.10	186.87	4.30	-	1,129.93
2528	-	-	-	37.07	150.67	164.20	203.77	182.77	234.83	110.10	140.93	-	1,224.33
2529	-	-	-	68.50	121.60	120.37	242.57	246.03	182.07	70.50	29.03	114.13	1,194.80
2530	-	8.55	17.40	48.35	79.80	156.98	120.93	321.45	152.73	51.33	62.40	-	1,019.90
2531	-	8.70	-	96.38	229.10	208.33	216.50	211.70	94.60	94.18	63.63	1.55	1,224.65
2532	2.83	-	19.20	7.58	149.00	140.60	215.18	160.10	183.38	158.15	33.90	-	1,069.91
2533	1.00	20.48	5.17	32.06	220.80	112.58	157.80	136.68	123.78	129.86	42.46	3.70	986.37
2534	4.77	-	17.13	106.43	96.90	148.73	99.00	269.05	203.20	78.75	56.38	10.68	1,091.00
2535	-	28.13	-	34.58	34.13	80.32	217.40	176.30	213.10	112.02	52.43	103.88	1,052.27
2536	-	-	19.06	60.16	168.58	115.78	160.06	191.64	207.42	102.78	-	-	1,025.48
2537	-	-	183.40	41.14	182.38	174.20	243.46	380.34	147.90	61.44	39.58	19.26	1,473.10
2538	-	-	13.08	54.96	186.26	147.92	286.90	344.24	245.52	85.20	69.98	-	1,434.05
2539	-	30.95	9.50	48.12	125.96	191.60	178.58	228.16	154.86	43.98	93.76	3.00	1,108.47

ตารางผนวกที่ 4 (ต่อ)

พ.ศ.	ปริมาณน้ำฝนรายเดือน (มิลลิเมตร)												ปริมาณน้ำฝน รายปี (มม.)
	ม.ค.	ก.พ.	มี.ค.	เม.ย.	พ.ค.	มิ.ย.	ก.ค.	ส.ค.	ก.ย.	ต.ค.	พ.ย.	ธ.ค.	
2540	-	-	16.55	26.68	86.08	61.96	247.38	221.58	232.92	97.18	18.85	-	1,009.18
2541	-	-	25.73	16.54	176.74	77.96	129.82	180.78	112.66	28.46	30.13	2.10	780.93
2542	22.80	5.63	48.27	82.75	227.66	84.72	107.08	216.13	201.65	108.30	24.77	22.57	1,152.32
2543	-	38.77	31.27	59.23	186.03	206.87	144.67	163.70	138.57	140.90	2.15	1.95	1,114.10
2544	14.70	-	79.90	10.93	381.73	86.93	241.68	283.33	123.93	123.23	29.90	57.17	1,433.40
2545	12.48	14.25	2.60	40.90	270.60	118.74	96.72	215.74	269.00	85.42	130.46	44.28	1,301.19
2546	54.35	32.00	22.55	40.32	57.94	178.30	154.86	141.72	234.66	40.92	25.00	-	982.62
2547	7.70	-	-	53.53	214.30	193.38	258.00	190.66	259.12	38.76	14.55	-	1,230.00
2548	-	-	28.20	63.14	90.60	175.33	220.83	281.38	355.96	90.84	92.83	53.37	1,452.46
2549	-	7.60	21.95	136.73	179.80	141.85	240.10	315.17	193.87	87.60	20.16	-	1,344.82
2550	-	-	19.15	73.38	209.66	181.82	101.60	157.55	191.85	130.43	103.30	-	1,168.74
2551	6.40	46.40	10.50	80.90	178.77	126.63	182.26	171.68	223.48	174.07	40.65	1.70	1,243.43
2552	-	-	4.75	53.05	202.47	160.93	147.40	213.17	164.30	93.07	1.00	-	1,040.13

หมายเหตุ \* = มีข้อมูลไม่สมบูรณ์

ที่มา: ดัดแปลงจากกรมอุตุนิยมวิทยา (2553)

ตารางผนวกที่ 5 อุณหภูมิอากาศรายเดือนเฉลี่ยทั้ง 6 สถานีของลุ่มน้ำแม่แแตง

พ.ศ	อุณหภูมิอากาศรายเดือน (องศาเซลเซียส)												อุณหภูมิรายปี (องศาเซลเซียส)
	ม.ค.	ก.พ.	มี.ค.	เม.ย.	พ.ค.	มิ.ย.	ก.ค.	ส.ค.	ก.ย.	ต.ค.	พ.ย.	ธ.ค.	
2494	19.80	21.50	26.00	26.40	28.00	26.80	26.60	26.30	26.50	25.50	24.00	22.00	24.95
2495	14.43	23.87	25.27	27.93	29.57	27.77	27.10	26.83	26.57	26.60	25.00	20.77	25.14
2496	21.77	23.03	25.25	28.05	28.13	27.93	27.37	26.73	26.80	27.17	25.00	22.03	25.77
2497	21.43	23.23	25.63	28.30	28.20	27.87	27.80	27.13	27.28	26.13	24.23	21.75	25.75
2498	20.20	22.83	25.20	27.90	28.48	27.18	26.98	26.55	27.08	26.50	23.78	19.13	25.15
2499	19.95	22.63	26.15	28.85	27.75	27.43	27.10	26.80	26.95	26.08	23.73	21.50	25.41
2500	21.08	22.00	25.75	29.13	30.08	27.68	27.03	27.28	27.38	26.68	25.50	22.33	25.99
2501	21.45	22.58	27.15	29.50	29.93	28.03	27.18	27.30	27.33	26.98	23.70	19.20	25.86
2502	21.35	22.35	25.83	30.18	29.00	28.03	27.18	26.53	26.58	26.10	25.15	24.53	26.06
2503	22.08	23.10	25.40	30.15	29.15	27.93	26.98	26.73	26.78	26.55	25.90	22.03	26.06
2504	21.48	23.88	26.13	28.93	28.38	26.90	26.73	26.35	26.25	26.13	24.53	22.08	25.64
2505	21.45	22.43	25.48	28.95	29.33	27.50	27.18	26.98	27.23	26.25	24.45	21.03	25.69
2506	20.05	22.25	25.73	28.38	29.70	27.53	26.43	26.87	27.20	26.00	24.80	21.40	25.53
2507	21.18	23.05	26.35	28.60	28.13	27.60	26.85	26.95	27.08	26.68	23.88	20.80	25.59
2508	20.45	22.85	25.05	28.98	29.48	27.03	27.20	26.83	26.85	25.95	24.30	23.38	25.69
2509	22.90	23.73	26.28	30.10	29.08	27.43	27.23	26.60	26.85	26.80	25.80	24.08	26.40

ตารางผนวกที่ 5 (ต่อ)

พ.ศ	อุณหภูมิอากาศรายเดือน (องศาเซลเซียส)											อุณหภูมิรายปี (องศาเซลเซียส)	
	ม.ค.	ก.พ.	มี.ค.	เม.ย.	พ.ค.	มิ.ย.	ก.ค.	ส.ค.	ก.ย.	ต.ค.	พ.ย.	ธ.ค.	
2510	21.93	22.83	26.05	29.05	28.65	28.05	27.38	26.73	26.55	25.78	24.48	21.88	25.78
2511	21.43	22.03	26.25	27.98	28.25	27.25	27.48	26.95	27.33	26.53	25.35	22.98	25.81
2512	21.06	22.70	26.40	29.78	29.16	27.82	27.04	26.36	27.26	26.84	23.62	21.40	25.79
2513	21.66	22.70	25.96	28.14	28.02	27.50	26.60	26.60	26.74	26.04	24.32	22.72	25.58
2514	20.32	22.16	25.84	27.90	28.12	26.88	26.16	26.02	26.76	24.96	21.80	21.12	24.84
2515	20.30	22.52	25.56	27.40	28.92	27.86	27.32	26.56	27.42	26.92	25.06	22.24	25.67
2516	21.04	23.68	25.92	29.26	28.00	27.86	27.16	26.48	26.66	26.64	23.44	20.02	25.51
2517	18.84	21.56	25.52	28.22	27.92	27.14	26.88	26.78	26.64	26.84	24.56	22.16	25.26
2518	22.12	23.40	26.42	29.38	28.44	27.62	26.92	26.86	27.02	26.78	24.42	19.78	25.76
2519	19.54	21.98	25.98	28.74	27.78	27.40	27.34	26.42	27.16	26.36	24.54	21.50	25.40
2520	21.16	22.48	25.68	27.10	27.54	27.92	27.00	27.04	26.08	25.94	23.20	21.18	25.19
2521	20.78	22.74	25.42	28.82	28.70	28.26	27.10	27.22	27.02	26.12	24.68	21.94	25.73
2522	22.20	23.70	26.62	29.68	29.27	27.97	28.07	26.90	27.24	25.10	22.90	21.14	25.90
2523	20.40	22.72	26.82	30.02	29.38	27.58	27.36	27.16	26.68	26.00	24.43	22.60	25.93
2524	21.33	22.80	26.07	28.47	28.17	27.25	26.90	27.20	27.32	26.75	24.78	20.62	25.64
2525	20.75	22.75	26.28	27.73	28.52	27.45	27.27	26.77	26.68	26.45	24.62	19.87	25.43
2526	19.72	23.35	26.35	30.13	30.03	28.28	28.35	27.73	27.32	26.43	22.65	20.00	25.86
2527	21.13	25.10	26.48	29.38	28.37	27.55	26.98	26.98	26.64	25.43	24.08	21.82	25.83

ตารางผนวกที่ 5 (ต่อ)

พ.ศ	อุณหภูมิอากาศรายเดือน (องศาเซลเซียส)											อุณหภูมิรายปี (องศาเซลเซียส)	
	ม.ค.	ก.พ.	มี.ค.	เม.ย.	พ.ค.	มิ.ย.	ก.ค.	ส.ค.	ก.ย.	ต.ค.	พ.ย.	ธ.ค.	
2528	22.20	23.12	26.62	29.10	28.38	27.22	26.58	26.72	26.88	26.13	24.02	21.32	25.69
2529	20.82	23.22	24.83	28.80	28.10	27.93	27.13	27.55	26.95	26.18	24.52	22.05	25.67
2530	21.83	22.90	25.43	28.80	29.63	28.35	27.60	27.67	27.48	27.37	25.90	19.45	26.03
2531	21.45	24.53	26.63	28.83	28.70	27.48	27.53	27.37	27.53	26.27	22.20	20.93	25.79
2532	21.70	22.70	26.62	29.28	29.10	27.62	27.52	27.37	27.23	26.37	23.95	19.63	25.76
2533	21.53	23.07	26.02	28.82	27.78	27.87	26.87	27.77	27.30	26.57	24.70	21.43	25.81
2534	21.70	23.37	27.77	29.68	29.70	27.73	27.57	27.12	27.70	26.65	23.70	21.22	26.16
2535	19.93	21.47	25.83	29.85	30.15	29.25	27.35	27.62	27.32	24.93	22.70	12.77	24.93
2536	20.32	21.77	26.07	28.37	28.58	28.23	27.97	26.80	27.13	26.20	23.73	21.72	25.57
2537	22.37	24.15	26.12	28.95	28.37	27.72	27.25	26.56	27.37	25.72	23.43	22.27	25.86
2538	21.87	22.27	26.93	29.23	28.27	28.37	27.13	26.77	27.30	26.67	23.93	20.53	25.77
2539	20.43	22.23	26.63	28.47	28.57	27.80	27.40	26.63	26.97	26.13	24.53	21.80	25.63
2540	20.33	22.03	26.17	26.60	29.27	28.83	27.97	27.33	26.57	26.57	24.30	23.17	25.76
2541	22.27	23.40	26.97	29.17	29.67	29.50	27.77	27.97	27.47	26.93	24.43	23.23	26.56
2542	23.17	25.30	26.30	28.47	27.17	27.70	28.07	26.87	27.07	25.97	24.43	18.93	25.79
2543	22.20	23.53	25.30	28.00	27.10	27.43	27.23	27.53	26.85	26.85	24.05	23.40	25.79
2544	22.93	24.30	25.57	29.83	27.53	27.73	27.20	27.73	27.23	26.40	22.33	22.70	25.96
2545	21.77	24.10	26.13	28.73	28.03	28.03	27.37	27.10	26.93	26.03	24.23	23.23	25.98

ตารางผนวกที่ 5 (ต่อ)

พ.ศ.	อุณหภูมิอากาศรายเดือน (องศาเซลเซียส)												อุณหภูมิรายปี (องศาเซลเซียส)
	ม.ค.	ก.พ.	มี.ค.	เม.ย.	พ.ค.	มิ.ย.	ก.ค.	ส.ค.	ก.ย.	ต.ค.	พ.ย.	ธ.ค.	
2546	21.60	23.40	25.77	28.70	28.63	27.47	27.93	27.37	27.33	26.90	24.53	21.80	25.95
2547	21.87	23.53	27.27	29.17	28.23	27.40	27.10	27.43	26.60	25.93	24.43	20.23	25.77
2548	22.13	24.83	26.40	28.60	28.80	28.37	28.07	27.00	26.83	26.47	24.97	21.73	26.18
2549	21.77	24.35	27.57	29.05	27.80	28.88	28.20	28.00	28.08	26.87	23.45	20.90	26.24
2550	21.05	23.40	25.50	29.15	28.95	29.47	28.12	28.15	27.63	26.58	23.03	22.68	26.14
2551	21.32	23.38	26.52	29.98	28.22	28.86	27.88	28.06	28.22	27.66	22.06	19.94	26.01
2552	20.85	24.98	25.94	29.20	29.88	28.46	28.70	28.96	28.50	27.54	24.20	21.84	26.59

ที่มา: ดัดแปลงจากกรมอุตุนิยมวิทยา (2553)

ตารางผนวกที่ 6 ปริมาณน้ำท่ารายเดือน ของสถานีแม่ตั้ง (P.4A)

ปี ปั้น น้ำ	ปริมาณน้ำท่ารายเดือน (ล้านลูกบาศก์เมตร)												ปริมาณน้ำ ค้าง ลบ.ม.
	เม.ย.	พ.ค.	มิ.ย.	ก.ค.	ส.ค.	ก.ย.	ต.ค.	พ.ย.	ธ.ค.	ม.ค.	ก.พ.	มี.ค.	
2498	20.00	30.10	80.40	50.20	133.00	142.00	103.00	67.00	44.80	38.10	25.50	18.80	752.90
2499	-	-	-	76.60	242.00	327.00	144.00	89.00	75.20	54.20	27.90	23.90	1,059.80
2500	21.10	19.30	47.10	68.90	78.40	166.00	90.00	40.00	34.30	30.30	20.20	13.80	629.40
2501	12.90	22.20	30.30	42.50	82.90	108.00	59.00	38.30	28.00	23.50	15.80	11.30	474.70
2502	10.00	18.00	29.10	49.00	90.90	178.00	107.00	54.10	36.60	26.60	23.90	18.00	641.20
2503	13.60	24.40	22.10	27.60	75.30	97.90	73.00	40.00	55.20	21.60	14.90	11.10	476.70
2504	11.50	27.80	31.90	25.80	101.00	180.00	138.00	69.20	50.60	34.20	23.70	19.40	713.10
2505	14.90	20.40	17.00	37.20	67.30	49.40	83.60	29.50	23.30	15.60	11.70	10.50	380.40
2506	7.92	6.24	19.20	42.90	86.00	70.70	187.00	396.00	75.90	44.20	33.50	29.60	999.16
2507	21.40	45.80	68.80	69.60	180.00	173.00	144.00	75.40	53.90	39.80	25.30	19.30	916.30
2508	13.60	21.20	40.60	26.30	117.00	66.20	148.00	217.00	22.90	21.20	18.90	18.50	731.40
2509	13.90	22.90	16.70	18.50	-	103.00	38.40	17.90	15.80	13.00	9.39	8.62	278.11
2510	6.81	17.20	25.10	28.60	61.30	177.00	99.40	50.70	39.60	29.40	20.00	19.60	574.71
2511	23.10	32.80	40.40	43.40	96.20	53.00	45.20	28.30	26.10	17.80	14.10	6.63	427.03
2512	4.84	26.00	31.20	41.90	170.00	87.80	77.10	57.50	39.30	24.00	9.05	6.93	575.62
2513	6.48	28.00	50.80	81.80	172.00	197.00	73.00	38.70	66.30	28.40	14.60	7.95	765.03
2514	3.54	10.50	11.70	109.00	172.00	142.00	128.00	67.90	63.50	33.50	18.30	8.45	768.39
2515	13.40	11.70	16.10	4.37	81.00	72.80	70.60	68.60	58.80	21.60	6.17	4.10	429.24

ตารางผนวกที่ 6 (ต่อ)

ปีงบฯ	ปริมาณน้ำท่ารายเดือน (ล้านลูกบาศก์เมตร)												ปริมาณน้ำ (ล้าน ลบ.ม.)
	เม.ย.	พ.ค.	มิ.ย.	ก.ค.	ส.ค.	ก.ย.	ต.ค.	พ.ย.	ธ.ค.	ม.ค.	ก.พ.	มี.ค.	
2516	1.14	19.60	53.20	82.80	592.00	326.00	168.00	87.40	66.50	24.20	0.61	2.12	1,423.57
2517	1.61	26.40	42.50	10.70	93.10	106.00	56.50	85.90	43.00	21.80	4.54	3.38	495.43
2518	2.72	13.80	101.00	45.20	135.00	174.00	119.00	75.40	73.30	34.50	8.11	2.79	784.82
2519	0.77	12.80	32.00	7.04	35.00	74.50	67.40	41.50	40.30	18.80	2.34	2.26	334.71
2520	3.10	23.20	16.30	13.80	14.50	111.00	69.80	47.90	36.90	30.50	9.32	5.21	381.53
2521	2.07	17.20	22.41	78.90	79.60	119.15	60.74	23.08	35.39	2.90	2.00	1.89	445.33
2522	3.52	17.59	47.91	3.69	19.92	21.26	87.47	10.03	16.89	0.02	0.00	0.17	228.47
2523	0.03	13.77	45.92	22.34	13.00	125.59	42.49	25.72	34.79	2.14	0.00	0.10	325.89
2524	2.20	41.45	42.71	32.53	89.14	50.49	50.47	66.31	51.19	14.21	3.66	2.75	447.11
2525	1.95	21.84	51.42	5.28	18.58	97.26	75.02	46.76	41.00	2.72	0.80	0.89	363.52
2526	0.43	8.13	30.74	1.93	26.59	140.74	80.27	113.64	63.18	6.50	3.43	0.61	476.19
2527	0.66	18.82	33.11	13.68	63.72	102.01	76.44	36.43	29.56	1.75	1.22	1.28	378.68
2528	1.15	25.18	46.95	21.10	39.23	107.83	67.97	120.96	70.35	9.78	1.64	1.16	513.30
2529	0.95	38.53	37.25	46.16	65.59	104.86	26.38	29.74	33.19	9.52	0.90	0.41	393.48
2530	0.84	9.26	28.07	2.74	140.88	62.64	49.91	68.85	39.08	2.21	1.33	1.05	406.86
2531	5.03	29.82	65.07	36.40	43.11	37.52	52.89	59.64	40.76	3.38	1.59	1.38	376.59
2532	0.72	26.47	48.82	37.30	21.35	53.86	83.05	39.71	30.30	1.38	0.85	0.65	344.46
2533	2.11	28.89	35.05	5.93	16.42	31.69	17.17	32.48	16.38	2.03	1.00	0.87	190.02

ตารางผนวกที่ 6 (ต่อ)

ปีงบฯ	ปริมาณน้ำท่ารายเดือน (ล้านลูกบาศก์เมตร)												ปริมาณน้ำ (ล้าน ลบ.ม.)
	เม.ย.	พ.ค.	มิ.ย.	ก.ค.	ส.ค.	ก.ย.	ต.ค.	พ.ย.	ธ.ค.	ม.ค.	ก.พ.	มี.ค.	
2534	3.93	12.38	12.37	1.88	29.06	55.77	15.10	49.02	16.25	2.32	1.64	1.39	201.11
2535	0.56	4.74	10.30	9.97	25.40	76.92	30.17	35.45	38.75	4.34	1.30	1.15	239.05
2536	0.56	14.82	13.25	3.78	7.54	52.24	12.19	9.04	12.58	0.83	0.63	19.14	146.60
2537	6.95	30.95	45.50	27.20	221.00	208.00	60.70	36.30	40.30	12.60	2.06	1.74	693.30
2538	1.70	32.59	26.16	41.44	161.37	191.11	84.44	43.48	27.91	5.01	4.65	3.94	623.80
2539	2.96	27.44	48.20	13.36	101.68	104.77	34.65	50.59	24.45	2.52	1.15	0.97	412.73
2540	1.48	3.27	3.93	43.45	21.44	50.09	50.71	26.44	12.43	2.22	1.53	1.12	218.10
2541	0.87	8.83	4.65	1.44	2.64	19.93	0.99	6.38	1.62	0.44	0.30	0.30	48.38
2542	7.08	34.35	29.99	0.87	10.82	77.95	11.17	49.60	21.58	0.53	0.52	0.57	245.03
2543	9.34	49.43	58.62	33.90	44.59	47.40	57.00	52.13	23.92	1.99	1.49	9.23	389.04
2544	2.79	37.25	15.42	10.71	106.78	28.81	25.67	45.77	29.30	1.59	1.40	0.82	306.31
2545	0.75	39.96	21.36	0.93	56.46	170.37	71.35	87.08	55.08	25.79	3.53	1.91	534.56
2546	14.37	15.39	7.23	7.69	15.99	98.51	6.19	24.04	11.31	2.17	1.65	0.97	205.49
2547	3.87	37.94	30.22	64.62	102.47	199.38	42.13	32.57	14.47	1.84	1.59	1.47	532.55
2548	7.63	11.66	24.28	56.64	100.98	195.14	96.59	87.38	50.32	21.95	17.82	18.57	688.94
2549	19.49	34.38	18.58	32.86	117.28	137.95	114.52	32.41	12.80	1.39	0.77	0.84	523.26
2550	5.33	46.60	31.82	6.38	22.30	37.62	17.63	30.01	17.72	1.59	1.03	1.02	219.05

ตารางผนวกที่ 6 (ต่อ)

ปีงบฯ	ปริมาณน้ำท่ารายเดือน (ล้านลูกบาศก์เมตร)												ปริมาณน้ำ (ล้าน ลบ.ม.)
	เม.ย.	พ.ค.	มิ.ย.	ก.ค.	ส.ค.	ก.ย.	ต.ค.	พ.ย.	ธ.ค.	ม.ค.	ก.พ.	มี.ค.	
2551	6.51	42.81	19.64	7.51	51.25	87.06	60.56	57.10	13.34	2.30	2.60	1.34	352.01
2552	1.68	4.75	5.83	4.99	18.42	76.54	30.52	20.82	6.66	3.49	2.48	2.73	178.91

หมายเหตุ ปีงบฯ เริ่มตั้งแต่ 1 เม.ย. ถึง 31 มี.ค. ของปีต่อไป

ที่มา: กรมชลประทาน (2553)

ตารางผนวกที่ 7 ปริมาณน้ำฝนรายเดือนเฉลี่ยทั้ง 12 สถานีของกลุ่มน้ำเชิง

พ.ศ.	ปริมาณน้ำฝนรายเดือน (มิลลิเมตร)												ปริมาณน้ำฝน รายปี (มม.)
	ม.ค.	ก.พ.	มี.ค.	เม.ย.	พ.ค.	มิ.ย.	ก.ค.	ส.ค.	ก.ย.	ต.ค.	พ.ย.	ธ.ค.	
2518	32.25	52.35	54.85	36.78	223.21	184.93	135.70	100.67	243.46	137.32	24.37	4.45	1,230.34
2519		24.83	46.55	119.53	127.63	69.33	145.30	134.33	217.35	207.74	17.90		1,110.49
2520	2.40	34.90	36.43	108.43	92.07	119.54	51.68	210.53	289.57	109.88	8.80	32.17	1,096.38
2521	13.95	27.38	39.58	54.25	185.35	102.83	386.55	203.02	566.16	46.64	6.03	-	1,631.73
2522	-	12.64	0.75	109.45	218.62	288.94	84.05	148.68	264.66	2.00	-	-	1,129.79
2523	-	16.70	59.24	58.93	272.78	366.64	125.10	167.92	329.08	126.54	15.40	-	1,538.34
2524	-	9.37	45.11	57.91	96.85	92.93	143.25	97.97	96.38	124.54	31.68	-	796.00
2525	-	15.63	67.26	57.60	144.86	95.69	105.86	72.78	332.29	178.01	7.10	19.02	1,096.09
2526	25.03	-	4.50	44.91	161.13	312.60	147.19	276.00	186.78	187.96	30.64	12.80	1,389.53
2527	10.30	23.34	41.51	84.81	170.90	220.99	141.03	136.19	211.04	179.44	35.10	-	1,254.65
2528	18.45	19.10	35.20	87.35	165.85	110.06	157.83	111.54	215.95	186.48	7.53	-	1,115.33
2529	-	0.70	8.03	162.48	199.24	110.50	92.70	139.43	178.19	86.13	27.78	38.25	1,043.42
2530	-	16.74	115.36	76.24	137.17	123.10	50.91	285.53	270.14	112.85	38.16	-	1,226.20
2531	63.45	24.70	15.13	91.81	165.23	157.39	148.59	135.89	152.40	335.93	-	-	1,290.51
2532	4.23		52.51	72.29	177.53	145.88	134.91	175.01	206.90	238.04	5.30	-	1,212.61
2533	6.95	37.53	78.28	57.05	249.78	116.98	96.98	186.04	255.46	232.93	16.09	-	1,334.06
2534	1.37		44.11	67.83	172.33	97.33	121.91	340.12	296.63	141.78	-	76.06	1,359.47
2535	22.84	16.70	6.35	29.53	133.42	180.59	218.12	139.84	181.37	112.02	1.07	12.92	1,054.76

ตารางผนวกที่ 7 (ต่อ)

พ.ศ.	ปริมาณน้ำฝนรายเดือน (มิลลิเมตร)											ปริมาณน้ำฝน รายปี (มม.)	
	ม.ค.	ก.พ.	มี.ค.	เม.ย.	พ.ค.	มิ.ย.	ก.ค.	ส.ค.	ก.ย.	ต.ค.	พ.ย.	ธ.ค.	
2536	0.60	7.01	42.17	94.78	154.37	97.49	106.62	90.34	311.56	75.60	0.20	4.60	985.34
2537	-	57.56	83.70	83.95	245.49	167.62	54.67	184.85	252.39	76.11	14.83	29.82	1,250.98
2538	9.40	7.73	47.64	89.07	173.54	138.12	188.00	292.22	243.14	96.92	19.33	-	1,305.12
2539	-	30.75	83.37	136.77	110.08	238.60	187.62	306.06	336.96	105.25	122.20	-	1,657.66
2540	3.80	7.03	88.08	91.11	129.79	94.57	109.71	130.52	150.25	126.33	43.58	-	974.77
2541	-	53.13	35.88	72.63	196.28	165.99	131.91	252.08	165.51	121.58	47.98	9.15	1,252.11
2542	2.78	6.70	47.80	187.90	205.27	105.94	174.31	138.52	190.51	200.64	63.28	8.18	1,331.81
2543	19.07	40.26	26.18	294.72	268.13	197.03	130.99	237.07	224.35	114.68	1.93	-	1,554.40
2544	8.75	7.50	138.53	55.40	213.29	171.99	80.57	297.81	299.54	266.23	11.97	3.85	1,555.42
2545	1.07	37.19	123.30	87.63	184.32	104.83	63.56	217.51	505.55	199.22	27.78	26.22	1,578.16
2546	2.30	67.42	135.99	92.56	87.27	133.65	172.40	235.73	310.90	51.04	-	14.20	1,303.46
2547	18.26	36.64	27.18	103.94	160.17	194.13	262.91	234.45	217.16	4.20	5.33	-	1,264.37
2548	3.80	6.90	26.90	90.17	149.24	102.79	154.95	146.26	341.03	61.88	79.72	2.40	1,166.04
2549	-	18.79	54.15	125.47	169.86	118.34	140.99	240.31	320.73	208.99	18.59	-	1,416.21
2550	-	10.49	22.24	78.33	186.54	85.77	57.60	287.24	266.25	202.02	25.66	-	1,222.14
2551	14.00	24.23	47.22	175.47	140.22	158.30	124.33	325.46	482.48	209.22	61.60	22.53	1,785.06
2552	0.05	60.93	78.23	94.74	245.20	69.02	130.48	214.54	342.30	152.14	20.55	12.85	1,421.03

ที่มา: ดัดแปลงจากกรมอุตุนิยมวิทยา (2553)

ตารางผนวกที่ 8 อุณหภูมิอากาศรายเดือนเฉลี่ยทั้ง 6 สถานี ของคุณน้ำเชิญ

พ.ศ.	อุณหภูมิอากาศรายเดือน (องศาเซลเซียส)												อุณหภูมิรายปี (องศาเซลเซียส)
	ม.ค.	ก.พ.	มี.ค.	เม.ย.	พ.ค.	มิ.ย.	ก.ค.	ส.ค.	ก.ย.	ต.ค.	พ.ย.	ธ.ค.	
2494	22.80	25.35	28.35	30.25	29.15	27.65	27.50	27.60	27.65	26.45	25.60	22.95	26.78
2495	23.50	27.20	28.15	29.05	29.30	28.30	27.45	27.10	27.35	27.20	12.70	10.75	24.84
2496	11.95	25.80	28.15	29.55	28.90	28.30	28.00	27.55	28.00	28.00	26.05	23.75	26.17
2497	25.75	26.10	27.55	31.25	29.00	28.73	28.73	27.63	27.03	25.87	23.95	21.30	26.91
2498	19.75	24.45	27.15	28.15	28.45	27.57	27.87	27.20	27.47	26.13	23.70	21.20	25.76
2499	21.33	26.17	28.77	29.40	28.43	28.20	27.60	27.00	27.13	26.20	23.23	21.93	26.28
2500	23.30	24.68	27.58	29.15	30.50	28.87	28.03	27.90	27.80	26.80	25.73	24.27	27.05
2501	24.00	24.97	29.63	30.93	30.93	28.98	27.73	27.67	27.13	26.60	23.45	21.00	26.92
2502	22.13	26.47	26.57	30.00	29.40	29.33	27.70	27.27	26.67	26.33	25.80	24.80	26.87
2503	23.33	24.80	28.77	30.63	29.88	28.70	28.18	27.95	27.43	26.38	25.78	22.23	27.00
2504	22.00	26.33	28.40	29.93	28.68	27.53	27.73	27.40	26.80	26.60	25.20	23.83	26.70
2505	21.15	23.60	27.73	29.93	29.03	28.50	27.80	27.55	26.90	26.53	24.98	21.10	26.23
2506	19.18	23.75	27.08	29.63	30.00	28.60	27.08	27.70	27.50	26.73	25.98	22.38	26.30
2507	24.18	24.80	27.50	29.83	28.18	28.48	27.90	27.65	27.28	26.98	23.28	21.70	26.48
2508	21.40	26.25	27.53	29.28	29.18	27.43	27.83	27.75	27.30	27.40	25.88	24.78	26.83
2509	25.00	27.03	29.10	30.23	28.53	28.35	28.20	27.43	26.75	27.20	25.50	25.10	27.37
2510	22.40	24.28	27.60	29.35	29.25	29.00	28.40	27.88	27.00	26.05	25.33	21.90	26.54
2511	22.90	24.40	28.58	28.15	28.65	28.43	28.30	27.90	27.83	26.60	26.20	25.08	26.92

ตารางผนวกที่ 8 (ต่อ)

พ.ศ.	อุณหภูมิอากาศรายเดือน (องศาเซลเซียส)												อุณหภูมิรายปี (องศาเซลเซียส)
	ม.ค.	ก.พ.	มี.ค.	เม.ย.	พ.ค.	มิ.ย.	ก.ค.	ส.ค.	ก.ย.	ต.ค.	พ.ย.	ธ.ค.	
2512	25.64	26.18	29.14	29.96	30.18	28.48	27.64	27.62	27.22	27.24	24.00	21.58	27.07
2513	23.55	25.53	29.32	29.25	29.48	28.02	28.05	27.32	27.33	26.68	24.78	24.53	26.99
2514	21.78	24.48	27.48	29.57	28.87	27.77	27.23	27.22	27.63	25.58	22.78	23.03	26.12
2515	21.82	26.03	26.75	28.72	31.15	28.78	28.35	27.80	27.77	27.65	26.42	24.27	27.13
2516	23.52	27.32	29.33	31.32	29.80	29.25	28.30	27.70	27.53	26.70	24.12	21.20	27.17
2517	22.62	24.33	27.32	29.20	29.07	28.98	28.45	27.63	27.78	27.07	24.93	24.25	26.80
2518	23.60	26.05	28.58	30.90	28.83	28.17	27.75	27.45	27.23	26.83	24.37	20.53	26.69
2519	20.98	25.35	27.43	29.85	28.10	28.95	28.08	26.98	27.57	27.30	23.88	23.58	26.51
2520	23.85	23.70	27.75	29.45	28.97	30.20	28.50	28.27	27.37	27.57	24.42	24.02	27.00
2521	24.52	25.82	29.82	30.27	29.14	28.82	27.50	27.55	26.98	26.72	25.00	23.45	27.13
2522	25.68	26.93	29.70	30.27	29.62	28.37	29.15	27.95	27.97	26.22	23.88	23.13	27.41
2523	23.70	25.92	29.35	30.77	29.87	28.05	28.47	28.23	27.22	27.25	25.57	23.87	27.35
2524	22.52	26.88	29.15	29.53	29.18	28.50	27.57	27.97	28.10	27.08	25.73	21.67	26.99
2525	22.93	26.35	29.63	28.72	30.30	29.00	28.53	27.55	27.03	27.20	26.45	21.08	27.07
2526	22.12	26.83	28.76	32.47	30.43	29.15	29.13	28.07	28.05	27.08	23.67	21.88	27.30
2527	22.35	26.85	28.47	30.83	29.17	28.53	28.08	27.93	27.57	26.27	25.33	23.53	27.08
2528	24.17	27.18	28.18	30.03	29.05	28.20	27.80	27.95	27.63	26.75	26.22	22.78	27.16
2529	22.30	26.20	27.80	30.10	28.57	29.07	28.13	28.53	28.00	27.55	25.08	23.73	27.09

ตารางผนวกที่ 8 (ต่อ)

พ.ศ.	อุณหภูมิอากาศรายเดือน (องศาเซลเซียส)												อุณหภูมิรายปี (องศาเซลเซียส)
	ม.ค.	ก.พ.	มี.ค.	เม.ย.	พ.ค.	มิ.ย.	ก.ค.	ส.ค.	ก.ย.	ต.ค.	พ.ย.	ธ.ค.	
2530	24.18	26.67	28.37	30.10	30.15	29.42	29.32	28.53	27.90	27.75	27.20	21.08	27.56
2531	24.82	22.70	29.73	30.25	29.15	28.83	28.82	28.33	28.30	26.68	23.68	22.57	26.99
2532	24.92	25.92	27.53	30.77	29.23	28.17	28.03	28.20	27.97	26.83	25.45	22.95	27.16
2533	25.60	26.62	27.72	30.62	29.37	28.75	28.23	28.60	28.08	27.28	25.87	23.60	27.53
2534	25.90	25.97	30.17	30.83	30.22	28.72	28.73	27.52	28.10	27.05	24.77	23.60	27.63
2535	22.40	25.50	29.37	32.12	31.13	29.13	28.30	27.97	27.97	25.78	23.87	7.87	25.95
2536	23.32	25.27	29.02	30.33	30.05	29.77	29.35	28.12	27.85	26.97	25.87	23.20	27.43
2537	24.77	28.25	27.37	30.63	29.48	28.53	28.32	27.68	27.97	26.20	25.45	24.75	27.45
2538	24.23	25.70	29.83	31.27	29.77	29.67	27.93	27.97	28.23	27.43	25.33	22.97	27.53
2539	24.27	24.10	28.87	29.00	29.10	29.07	28.47	28.20	27.47	27.27	26.03	22.93	27.06
2540	23.63	26.03	27.93	28.37	30.30	29.80	28.13	28.47	27.83	27.90	26.33	25.87	27.55
2541	26.23	27.60	30.63	30.57	30.77	30.30	29.17	28.93	28.30	27.73	26.27	24.47	28.41
2542	24.67	26.53	29.77	29.23	28.20	28.57	28.37	27.87	27.77	27.23	25.90	21.57	27.14
2543	25.27	25.53	28.40	29.10	28.40	28.00	27.77	28.07	27.20	27.80	25.07	25.13	27.14
2544	26.20	26.90	27.80	31.97	28.87	28.60	28.47	28.00	27.93	27.93	24.17	24.43	27.61
2545	23.93	26.77	28.70	30.20	29.07	29.33	28.83	27.83	27.33	27.17	26.27	25.77	27.60
2546	23.20	26.67	27.53	30.40	30.47	29.07	29.07	28.40	27.83	27.67	26.73	23.27	27.53
2547	24.47	24.63	29.33	30.43	29.17	28.30	28.30	28.27	27.90	27.03	26.43	23.47	27.31

ตารางผนวกที่ 8 (ต่อ)

พ.ศ.	อุณหภูมิอากาศรายเดือน (องศาเซลเซียส)												อุณหภูมิรายปี (องศาเซลเซียส)
	ม.ค.	ก.พ.	มี.ค.	เม.ย.	พ.ค.	มิ.ย.	ก.ค.	ส.ค.	ก.ย.	ต.ค.	พ.ย.	ธ.ค.	
2548	24.47	28.67	28.17	30.53	30.43	29.33	28.57	28.07	27.83	27.87	26.57	23.83	27.86
2549	24.98	27.03	29.12	30.08	28.77	29.75	28.60	28.13	28.37	27.32	26.30	22.92	27.61
2550	23.17	25.33	29.22	30.18	28.87	29.42	28.72	28.22	27.52	26.32	22.87	24.50	27.03
2551	23.10	24.37	27.42	29.08	28.08	28.55	28.13	28.00	27.53	27.77	23.88	22.15	26.51
2552	21.68	27.28	27.83	29.88	29.03	28.80	28.92	28.58	28.57	27.75	20.28	19.62	26.52

ที่มา: ดัดแปลงจากกรมอุตุนิยมวิทยา (2553)

ตารางผนวกที่ 9 ปริมาณน้ำท่ารายเดือน สถานีบ้านท่าเคื่อ (041304)

ปี/งวด	ปริมาณน้ำท่ารายเดือน (ล้านลูกบาศก์เมตร)												ปริมาณน้ำ (ล้าน ลบ.ม.)
	เม.ย.	พ.ค.	มิ.ย.	ก.ค.	ส.ค.	ก.ย.	ต.ค.	พ.ย.	ธ.ค.	ม.ค.	ก.พ.	มี.ค.	
2521		10.80	2.71	98.41	65.06	190.94	136.68	24.36	16.24	-	-	-	545.22
2522	8.15	55.64	190.51	45.79	41.39	77.24	47.78	4.20	4.99	10.89	9.24	7.33	503.15
2523	1.82	37.15	152.15	85.19	50.28	223.95	184.20	36.12	15.72	1.37	0.06	1.21	789.23
2524	10.45	23.16	33.35	2.27	0.92	1.38	5.62	5.82	2.63	3.48	13.91	9.59	112.59
2525	1.75	1.88	0.76	-	-	75.25	102.64	17.54	8.61	1.74	1.57	3.00	214.75
2526	11.15	6.63	33.52	69.29	95.39	132.45	79.83	59.70	29.72	0.45	4.96	4.26	527.35
2527	32.92	41.47	29.46	29.64	45.88	111.72	105.24	65.49	45.10	15.12	3.05	26.87	551.95
2528	2.57	17.37	13.39	2.19	4.80	46.66	111.72	73.44	31.71	1.94	12.27	47.61	365.66
2529	7.57	36.12	16.76	8.73	9.50	36.89	11.23	7.85	7.15	7.46	6.41	7.23	162.91
2530	4.12	13.48	54.43	10.37	58.84	146.71	122.52	29.81	21.77	1.74	3.19	7.00	473.96
2531	13.31	54.00	93.74	71.54	52.70	88.04	224.90	63.59	14.26	5.48	20.65	16.93	719.14
2532	5.71	33.87	28.68	24.19	18.49	60.48	183.17	20.22	14.52	2.50	1.35	4.28	397.45
2533	5.17	62.47	82.77	47.43	45.45	49.59	218.07	66.87	12.36	1.53	7.32	6.48	605.51
2534	10.45	15.90	20.22	22.03	82.77	208.83	175.13	19.09	19.35	10.28	9.07	7.72	600.85
2535	7.97	11.75	15.21	10.63	52.36	63.16	105.93	21.34	11.84	18.58	11.49	11.06	341.31
2537	20.65	8.09	17.28	6.33	85.10	36.98	8.13	11.84	-	-	-	1.25	195.65
2538	4.86	11.49	8.28	88.82	138.24	85.45	11.58	5.88	0.90	7.60	8.20	1.18	372.49
2540	10.89	7.52	9.33	10.54	57.89	6.58	1.53	10.54	11.32	10.97	11.84	8.51	157.45

ตารางผนวกที่ 9 (ต่อ)

ปีงบฯ	ปริมาณนำเข้ารายเดือน (ล้านลูกบาศก์เมตร)												ปริมาณนำ (ล้าน ลบ.ม.)
	เม.ย.	พ.ค.	มิ.ย.	ก.ค.	ส.ค.	ก.ย.	ต.ค.	พ.ย.	ธ.ค.	ม.ค.	ก.พ.	มี.ค.	
2541	2.93	9.07	65.15	106.70	46.83	12.61	5.66	1.90	0.77	2.40	0.90	1.75	256.67
2542	79.06	33.70	22.72	114.22	141.44	104.37	12.87	3.26	2.76	1.56	9.76	65.84	591.55
2543	139.71	89.25	97.37	117.59	97.20	43.55	18.84	6.79	5.63	8.81	64.20	210.56	899.49
2544	17.88	3.28	54.52	140.57	108.86	45.27	5.70	11.15	5.53	7.33	9.24	15.03	424.38
2545	7.64	3.38	1.43	293.16	103.77	58.92	12.87	7.27	6.76	10.37	12.18	9.16	526.90
2546	15.64	23.41	25.49	151.89	23.76	10.97	8.33	12.10	10.28	13.56	13.05	12.61	321.10
2547	61.78	59.96	100.92	33.09	8.90	6.94	6.61	5.57	1.87	5.23	4.37	7.21	302.45
2548	1.02	8.35	0.36	152.24	10.63	12.01	5.98	0.79	1.87	-	-	3.79	197.05
2549	9.50	3.10	9.59	133.40	190.86	13.74	5.39	5.74	5.73	0.30	15.03	23.24	415.63
2550	16.42	11.92	55.64	124.76	153.10	24.71	12.70	6.89	9.24	3.75	0.25	11.06	430.45

หมายเหตุ ปีงบฯเริ่มตั้งแต่ 1 เม.ย. ถึง 31 มี.ค. ของปีต่อไป

ที่มา: กรมทรัพยากรน้ำ (2552)

ตารางผนวกที่ 10 ปริมาณน้ำฝนรายเดือนเฉลี่ยทั้ง 3 สถานีของกลุ่มน้ำคลองขัน

พ.ศ.	ปริมาณน้ำฝนรายเดือน (มิลลิเมตร)												ปริมาณน้ำฝน รายปี (มม.)
	ม.ค.	ก.พ.	มี.ค.	เม.ย.	พ.ค.	มิ.ย.	ก.ค.	ส.ค.	ก.ย.	ต.ค.	พ.ย.	ธ.ค.	
2518	263.20	8.10	8.40	150.60	246.40	791.40	88.70	709.50	510.80	517.40	162.80	-	3,457.30
2519	-	-	20.30	207.20	474.70	270.00	392.40	221.05	373.80	130.55	249.20	17.40	2,356.60
2520	27.70	11.20	5.50	75.60	105.00	222.85	238.30	470.80	299.35	177.80	478.50	52.10	2,164.70
2521	49.10	20.95	35.40	99.90	46.20	42.40	289.90	527.10	70.20	124.15	49.90	-	1,355.20
2522	10.30	0.10	-	95.60	181.55	350.15	507.15	574.65	459.30	201.70	203.70	111.00	2,695.20
2523	-	10.30	63.10	149.60	402.10	474.65	727.15	553.30	535.30	463.55	503.60	36.15	3,918.80
2524	0.70	-	-	143.85	368.35	293.35	140.75	52.20	328.70	127.90	269.30	232.90	1,958.00
2525	-	-	103.70	115.05	85.00	86.05	191.90	256.90	287.65	90.90	146.75	42.50	1,406.40
2526	17.10	-	44.00	-	324.70	396.95	291.35	124.00	360.80	224.90	96.20	81.10	1,961.10
2527	42.80	24.60	83.50	154.85	190.60	443.25	159.60	310.70	134.05	152.55	49.00	183.05	1,928.55
2528	19.40	51.60	51.35	90.60	117.35	267.40	86.00	375.00	197.75	149.25	82.95	25.40	1,514.05
2529	28.90	-	35.40	86.40	386.00	329.30	226.40	457.90	328.65	333.80	168.75	32.65	2,414.15
2530	19.00	-	7.50	44.55	140.60	297.55	91.65	550.20	169.20	178.70	193.80	69.75	1,762.50
2531	9.70	57.40	55.35	90.50	280.70	241.85	180.60	97.20	751.70	584.25	391.80	20.50	2,761.55
2532	49.40	-	16.70	134.10	402.90	312.60	260.30	535.55	296.15	292.20	141.30	13.10	2,454.30
2533	-	-	30.40	63.55	320.70	243.65	302.60	231.70	404.20	275.20	232.35	51.00	2,155.35
2534	48.60	8.40	44.15	65.40	211.80	210.45	512.00	460.05	407.25	191.95	31.50	125.55	2,317.10
2535	28.50	2.60	-	54.15	153.40	249.65	209.55	573.50	300.60	211.00	114.05	13.60	1,910.60

ตารางผนวกที่ 10 (ต่อ)

พ.ศ.	ปริมาณน้ำฝนรายเดือน (มิลลิเมตร)											ปริมาณน้ำฝน รายปี (มม.)	
	ม.ค.	ก.พ.	มี.ค.	เม.ย.	พ.ค.	มิ.ย.	ก.ค.	ส.ค.	ก.ย.	ต.ค.	พ.ย.	ธ.ค.	
2536	15.43	6.65	113.40	144.73	188.83	139.07	321.57	173.80	249.93	208.80	255.67	151.87	1,969.75
2537	4.20	9.10	83.57	119.63	242.47	266.30	342.17	325.90	368.97	131.97	179.93	56.40	2,130.60
2538	13.60	-	47.35	28.07	73.83	175.27	207.83	321.97	449.83	149.27	546.23	50.00	2,063.25
2539	13.50	43.25	-	213.03	110.47	197.60	302.37	279.20	536.50	188.33	349.30	326.70	2,560.25
2540	-	20.15	26.00	30.47	218.50	136.53	507.43	623.33	360.47	225.40	100.73	79.30	2,328.32
2541	3.00	-	14.35	50.60	164.30	309.73	248.90	255.60	335.73	462.90	302.87	98.90	2,246.88
2542	32.75	123.50	120.97	370.73	297.40	284.73	327.63	222.50	351.30	457.40	218.33	89.13	2,896.38
2543	23.90	24.50	83.23	156.00	399.67	357.87	158.67	465.10	161.27	393.20	318.87	58.37	2,600.63
2544	83.93	16.17	225.83	121.30	339.93	579.83	227.63	310.73	181.13	130.05	84.75	59.75	2,361.05
2545	0.10	-	52.50	39.57	173.17	217.40	190.97	362.10	380.77	162.83	259.13	102.97	1,941.50
2546	9.50	-	42.05	31.50	275.30	405.35	314.25	453.45	149.75	163.63	136.17	103.90	2,084.85
2547	10.50	40.95	15.90	106.20	181.67	337.60	310.13	355.40	269.83	221.90	117.70	63.50	2,031.28
2548	10.50	-	32.65	69.20	360.57	209.60	408.87	351.20	281.93	292.47	124.33	201.05	2,342.37
2549	40.95	46.80	38.87	218.60	428.00	189.17	435.63	374.10	501.10	274.53	43.83	41.40	2,632.98
2550	41.70	-	19.20	103.10	126.30	120.10	268.90	73.60	133.50	294.60	432.40	58.70	1,672.10
2551	20.60	0.10	0.90	57.60	187.70	74.20	45.10	43.70	150.50	139.70	549.10	20.20	1,289.40
2552	75.10	-	102.60	51.20	211.20	74.60	178.10	25.20	148.60	106.60	184.10	9.90	1,167.20

ที่มา: ดัดแปลงจากกรมอุตุนิยมวิทยา (2553)

ตารางผนวกที่ 11 อุณหภูมิอากาศรายเดือนเฉลี่ยทั้ง 6 สถานีของกลุ่มน้ำคoldong ขัน

พ.ศ.	อุณหภูมิอากาศรายเดือน (องศาเซลเซียส)												อุณหภูมิรายปี (องศาเซลเซียส)
	ม.ค.	ก.พ.	มี.ค.	เม.ย.	พ.ค.	มิ.ย.	ก.ค.	ส.ค.	ก.ย.	ต.ค.	พ.ย.	ธ.ค.	
2494	26.10	27.10	28.20	29.70	29.00	28.70	27.80	27.60	27.20	27.00	26.85	25.55	27.57
2495	26.50	27.65	28.35	28.70	28.05	27.00	27.70	26.75	27.05	27.10	25.90	24.80	27.13
2496	25.80	26.50	27.80	28.55	27.75	27.70	26.80	27.55	26.60	27.25	26.00	25.65	27.00
2497	26.75	26.95	28.40	29.20	27.95	27.25	26.30	25.70	24.90	26.35	25.85	25.30	26.74
2498	24.7	26.40	27.60	28.45	27.80	26.15	26.90	26.90	26.85	26.05	25.10	24.95	26.49
2499	25.25	27.10	28.35	28.35	27.25	26.75	26.60	26.70	26.45	26.25	25.30	24.65	26.58
2500	25.30	26.55	27.80	29.20	28.70	27.95	27.30	27.15	26.85	26.35	26.85	26.20	27.18
2501	26.85	27.30	28.75	29.50	29.05	27.60	27.35	27.10	27.15	26.70	25.95	25.65	27.41
2502	26.05	27.00	28.00	28.80	28.55	27.90	26.80	26.80	26.90	26.60	26.45	26.10	27.16
2503	25.80	26.35	27.45	28.45	28.00	27.40	27.20	27.40	26.90	26.80	26.20	25.90	26.99
2504	25.40	26.70	27.70	28.10	27.55	27.40	26.85	26.70	26.40	26.20	26.10	25.55	26.72
2505	25.60	25.30	26.90	28.20	28.30	27.45	27.15	27.00	26.80	26.90	26.10	25.60	26.78
2506	24.50	25.55	26.90	27.90	28.60	27.75	27.85	27.05	27.05	26.55	26.60	25.95	26.85
2507	26.55	26.90	27.20	28.55	27.95	27.50	27.60	26.80	26.80	26.75	25.75	25.00	26.95
2508	24.65	26.50	27.30	28.25	27.75	27.50	27.15	26.90	26.80	26.85	26.75	26.05	26.87
2509	26.20	27.25	28.05	28.70	27.90	27.75	27.20	27.30	27.50	26.60	26.00	25.95	27.20
2510	25.25	26.45	27.00	28.40	28.05	27.40	27.10	26.75	27.20	26.75	26.55	25.50	26.87
2511	25.30	25.95	27.45	28.30	27.70	27.70	27.20	27.10	27.10	26.95	26.70	26.90	27.03

ตารางผนวกที่ 11 (ต่อ)

พ.ศ.	อุณหภูมิอากาศรายเดือน (องศาเซลเซียส)											อุณหภูมิรายปี (องศาเซลเซียส)	
	ม.ค.	ก.พ.	มี.ค.	เม.ย.	พ.ค.	มิ.ย.	ก.ค.	ส.ค.	ก.ย.	ต.ค.	พ.ย.	ธ.ค.	
2512	26.45	26.85	28.25	29.55	29.15	27.75	27.75	27.65	26.90	27.30	26.20	26.00	27.48
2513	26.65	26.75	28.40	29.00	28.80	27.90	27.15	27.15	27.20	26.90	26.30	26.00	27.35
2514	25.10	26.35	26.90	28.35	28.05	27.20	27.10	26.90	27.25	25.90	25.20	25.80	26.68
2515	24.95	26.45	26.85	27.90	28.50	27.65	27.35	27.30	27.35	27.10	26.40	26.20	27.00
2516	26.00	27.20	28.25	29.05	28.40	27.50	27.00	27.35	27.10	26.65	25.90	24.95	27.11
2517	24.80	26.40	27.00	28.05	27.60	27.55	27.40	27.15	26.95	26.65	26.15	25.45	26.76
2518	26.10	26.45	27.70	28.55	28.10	26.70	27.35	27.20	26.90	26.55	25.80	24.70	26.84
2519	24.30	26.10	27.55	28.55	27.30	27.35	27.30	27.05	27.00	27.15	26.15	26.10	26.83
2520	26.35	26.65	27.10	28.75	28.80	28.10	27.85	27.05	27.15	27.10	26.15	26.55	27.3
2521	26.65	27.25	28.45	28.75	28.35	27.35	26.85	27.20	26.80	27.00	26.35	26.25	27.27
2522	26.40	27.30	28.30	29.25	28.75	28.00	27.00	27.65	27.20	27.35	27.00	25.85	27.50
2523	26.05	27.30	28.35	29.40	28.7	27.50	27.25	26.90	27.45	27.35	26.85	26.70	27.48
2524	25.77	26.87	27.97	28.60	28.20	27.67	27.77	28.30	27.30	27.33	26.37	25.25	27.28
2525	25.97	27.07	28.10	28.37	28.50	28.10	27.10	27.30	27.40	27.07	27.23	26.40	27.38
2526	26.70	26.93	28.37	29.17	28.93	27.90	27.50	27.33	27.17	27.10	26.83	26.20	27.51
2527	26.20	27.17	28.20	28.63	28.03	27.37	27.33	27.63	27.00	26.87	27.10	26.33	27.32
2528	26.30	27.73	28.00	28.63	28.13	27.83	27.53	27.50	26.90	26.80	26.93	26.50	27.40
2529	26.23	26.87	28.17	29.07	27.83	27.67	27.40	26.93	26.57	26.97	26.83	26.50	27.25

ตารางผนวกที่ 11 (ต่อ)

พ.ศ.	อุณหภูมิอากาศรายเดือน (องศาเซลเซียส)											อุณหภูมิรายปี (องศาเซลเซียส)	
	ม.ค.	ก.พ.	มี.ค.	เม.ย.	พ.ค.	มิ.ย.	ก.ค.	ส.ค.	ก.ย.	ต.ค.	พ.ย.	ธ.ค.	
2530	26.73	27.13	28.80	29.80	28.87	28.57	29.07	27.47	28.03	28.17	27.6	26.47	28.06
2531	26.88	28.13	28.65	29.50	28.45	28.08	27.53	27.75	27.08	27.05	26.03	26.00	27.59
2532	27.05	26.78	28.48	28.93	28.28	27.63	28.10	27.63	27.70	27.33	27.05	26.70	27.64
2533	27.00	28.15	29.18	30.25	28.88	28.88	28.28	28.53	27.70	27.53	27.08	26.75	28.18
2534	27.23	27.88	28.60	29.63	29.05	29.18	27.58	27.80	27.35	27.28	26.93	26.75	27.94
2535	26.32	27.24	28.22	30.00	29.66	28.38	28.06	27.74	27.64	26.82	26.34	25.55	27.66
2536	26.66	21.28	27.88	28.52	28.74	28.40	27.66	27.70	27.06	21.56	26.90	26.12	26.54
2537	26.52	27.56	28.02	28.68	28.26	27.86	27.66	27.14	26.76	27.14	26.76	26.64	27.42
2538	26.40	26.40	27.77	29.00	29.23	28.63	27.80	27.57	27.50	27.13	26.17	25.57	27.43
2539	25.87	26.60	27.47	28.83	28.53	28.33	28.07	27.83	27.33	27.03	26.67	25.20	27.31
2540	25.67	27.27	27.97	28.63	28.97	28.50	27.70	27.65	27.75	27.40	26.85	26.70	27.59
2541	26.80	27.95	28.85	30.40	30.50	28.80	28.45	28.25	27.90	27.15	26.70	25.75	28.13
2542	26.30	26.63	28.30	28.00	28.17	27.67	27.67	27.90	27.73	27.20	26.57	24.70	27.24
2543	26.60	26.63	27.63	28.33	28.27	27.63	27.09	27.43	27.87	27.40	26.07	26.43	27.35
2544	26.67	27.30	27.70	29.03	28.33	27.97	27.93	27.87	27.73	27.07	26.00	25.97	27.46
2545	26.13	26.67	28.30	29.17	28.50	28.57	28.43	27.83	27.73	27.57	26.80	27.10	27.73
2546	26.50	27.30	28.70	29.17	28.77	28.53	27.90	28.17	27.77	26.90	26.93	25.83	27.71
2547	26.97	27.50	28.83	29.70	28.73	27.93	27.77	27.70	27.80	27.27	26.93	26.23	27.78

ตารางผนวกที่ 11 (ต่อ)

พ.ศ.	อุณหภูมิอากาศรายเดือน (องศาเซลเซียส)											อุณหภูมิรายปี (องศาเซลเซียส)	
	ม.ค.	ก.พ.	มี.ค.	เม.ย.	พ.ค.	มิ.ย.	ก.ค.	ส.ค.	ก.ย.	ต.ค.	พ.ย.	ธ.ค.	
2548	26.63	27.80	28.40	30.00	29.10	28.13	28.07	28.30	28.00	27.30	26.80	25.40	27.83
2549	26.26	27.56	28.32	28.43	27.72	27.88	27.88	27.65	27.73	27.82	27.36	26.46	27.59
2550	26.42	27.10	28.18	29.00	28.20	28.16	27.76	27.88	28.06	26.90	26.60	26.58	27.57
2551	27.18	27.08	28.32	28.46	27.80	27.74	27.68	27.70	27.40	27.24	27.18	26.24	27.50
2552	25.70	27.60	28.04	28.52	28.18	28.26	28.02	27.88	27.42	27.50	27.30	26.78	27.60

ที่มา: ดัดแปลงจากกรมอุตุนิยมวิทยา (2553)

ตารางผนวกที่ 12 ปริมาณน้ำท่ารายเดือน ของสถานีคลองขันทีบ้านยาง (220903)

ปี/นำ ร์	ปริมาณน้ำท่ารายเดือน (ล้านลูกบาศก์เมตร)												ปริมาณน้ำ (ล้านลบ.ม.)
	เม.ย.	พ.ค.	มิ.ย.	ก.ค.	ส.ค.	ก.ย.	ต.ค.	พ.ย.	ธ.ค.	ม.ค.	ก.พ.	มี.ค.	
2527	17.45	47.35	44.67	97.89	218.94	198.46	109.21	31.19	104.11	28.94	20.30	9.50	928.02
2528	14.60	30.07	96.94	23.85	38.97	66.27	108.60	80.70	66.44	31.28	23.67	19.44	600.83
2529	3.46	95.99	89.68	174.96	289.96	187.06	227.92	146.10	96.77	27.30	9.24	8.37	1,356.82
2530	5.90	25.75	45.96	16.68	79.40	62.64	63.42	130.72	102.47	35.25	15.55	8.64	592.38
2531	11.40	61.34	52.10	98.58	51.75	121.56	164.16	318.12	104.80	24.71	15.64	8.57	1,032.76
2532	30.33	73.18	66.79	87.61	191.81	131.85	141.44	108.26	49.77	47.95	29.03	25.40	983.40
2533	11.32	32.57	51.15	40.95	80.01	108.09	173.06	169.00	64.63	33.87	14.69	10.54	789.87
2534	11.92	25.92	37.84	94.87	165.28	148.52	92.79	55.04	43.37	24.62	12.70	11.06	723.95
2535	10.54	15.55	24.97	22.12	80.61	95.64	138.76	126.06	30.67	27.82	15.38	9.33	597.46
2536	23.85	19.87	21.43	144.98	73.79	88.13	79.32	157.42	183.00	18.40	11.40	16.07	837.65
2537	8.90	40.61	70.93	161.91	162.43	271.64	111.72	130.98	63.94	35.86	14.52	18.66	1,092.10
2538	10.71	10.71	29.46	31.45	154.57	231.21	98.15	257.73	56.51	26.78	14.52	13.91	935.71
2539	26.78	24.71	35.77	60.39	105.93	214.10	153.79	222.83	397.09	24.54	17.88	8.13	1,291.95
2540	15.03	48.82	49.59	113.88	402.71	193.36	108.17	196.73	53.91	40.87	21.51	15.47	1,260.06
2541	8.73	13.39	29.72	43.03	55.04	109.04	236.48	203.30	81.65	25.66	14.77	9.76	830.56
2542	82.34	82.17	116.73	103.68	89.60	95.13	154.14	109.73	105.32	37.50	36.72	36.37	1,049.41
2543	35.25	162.95	142.47	63.16	130.12	87.52	158.54	210.64	75.77	30.59	20.39	26.87	1,144.28
2544	35.25	124.33	201.83	197.77	123.64	68.34	130.20	142.04	47.95	81.39	38.79	88.82	1,280.36

ตารางผนวกที่ 12 (ต่อ)

ปีงบฯ	ปริมาณนำเข้ารายเดือน (ล้านลูกบาศก์เมตร)												ปริมาณนำเข้า (ล้านลบ.ม.)
	เม.ย.	พ.ค.	มิ.ย.	ก.ค.	ส.ค.	ก.ย.	ต.ค.	พ.ย.	ธ.ค.	ม.ค.	ก.พ.	มี.ค.	
2545	17.80	29.64	37.24	78.71	122.69	128.91	113.53	169.00	74.30	29.89	17.54	17.19	836.44
2546	21.25	39.14	40.26	73.87	145.24	131.16	137.03	122.26	190.17	47.52	22.90	15.72	986.52
2547	12.44	31.54	67.65	123.38	115.86	57.46	124.07	69.38	42.42	43.20	26.35	19.87	733.62
2548	6.18	27.30	96.60	62.73	140.83	118.11	185.93	148.87	222.91	20.30	11.40	7.36	1,048.52
2549	52.10	152.24	56.59	133.23	195.61	99.71	203.90	63.16	37.76	48.47	28.68	33.87	1,105.32
2550	21.00	31.54	34.91	180.66	124.24	111.54	191.55	193.45	47.87	23.33	11.58	20.82	992.48

หมายเหตุ ปีงบฯเริ่มตั้งแต่ 1 เม.ย. ถึง 31 มี.ค. ของปีต่อไป

ที่มา: กรมทรัพยากรน้ำ (2553)

## ประวัติการศึกษา และการทำงาน

ชื่อ – นามสกุล  
วัน เดือน ปี ที่เกิด  
สถานที่เกิด<sup>1</sup>  
ประวัติการศึกษา  
ทุนการศึกษาที่ได้รับ

นายสาวาจตุพร พดุงกาญจน์  
วันที่ 13 มกราคม 2527  
นครศรีธรรมราช  
วิทยาศาสตรบัณฑิต (ภูมิศาสตร์) มหาวิทยาลัยทักษิณ

